

AYDIN İLİ JEOTERMAL ALANLARININ HİDROJEOKİMYASAL İNCELENMESİ

Dokuz Eylül Üniversitesi

Fen Bilimleri Enstitüsü

Yüksek Lisans Tezi

Jeoloji Mühendisliği Bölümü, Uygulamalı Jeoloji Ana Bilim Dalı

109573

Kazım Mutlu CANDAŞ

**T.C. YÜKSEKÖĞRETİM KURULU
DOKÜMANTASYON MERKEZİ**

Ocak, 2001

İZMİR

YÜKSEK LİSANS TEZİ SINAV SONUÇ FORMU

Mutlu CANDAŞ, tarafından **Doç. Dr. Gültekin TARCAN** yönetiminde hazırlanan “**Aydın İli Jeotermal Alanlarının Hidrojeokimyasal İncelenmesi**” başlıklı tez tarafımızdan okunmuş, kapsamı ve niteliği açısından bir Yüksek Lisans tezi olarak kabul edilmiştir.

709573


Doç. Dr. Gültekin TARCAN

Yönetici



Prof. Dr. Şevki FİLİZ

Juri Üyesi



Doç. Dr. Coşkun SARI

Juri Üyesi



Prof. Dr. Cahit HELVACI

Müdür

Fen Bilimleri Enstitüsü

TEŞEKKÜR

Dokuz Eylül Üniversitesi, Fen Bilimleri Enstitüsü, Uygulamalı Jeoloji Anabilim Dalı Yüksek Lisans Tezi olarak hazırlanan bu rapor Aydın İli jeotermal alanlarında yapılmış olan hidrojeolojik ve hidrojeokimyasal çalışmaları kapsamaktadır.

Çalışmalarımı yöneten ve yönlendiren Doç. Dr. Gültekin TARCAN' na teşekkürlerimi sunarım. Ayrıca bana tez yazımı sırasında büyük yardımları dokunan sevgili arkadaşım Fuat CİHAN ve bana her konuda destegini esirgemeyen aileme sonsuz teşekkürlerimi sunarım.

Saygılarımla,

Kazım Mutlu CANDAŞ

Ocak, 2001

ÖZ

Bu çalışma Aydın İli jeotermal alanlarında yapılan hidrojeolojik ve hidrojeokimyasal çalışmaları kapsamaktadır. Aydın İli merkez olmak üzere doğuya ve batıya uzanan inceleme alanında Menderes Masifi metamorfik kayaları yer almaktadır. Bunlar gnayslar, şistler, metakuvarsitler ve mermelerdir. Menderes Masifi metamorfiklerini uyumsuzlukla Neojen yaşı tortullar üstlerler. Bunlar ise çakıltaşı, kumtaşı, kultaşı birimleridir. Kuvaterner yaşı alüvyon ve yamaç molozu en genç oluşuklardır. Menderes Masifi metamorfik kayalarından gnays, kuvars şist ve karstik mermeler ile bazı alanlarda Neojen yaşı çakıltaşları jeotermal sistemlerin haznesini oluştururlar. Neojen yaşı kultaşı ve çamurtaş gibi geçirimsiz kayalarda örtü kaya özelliği taşırlar.

Gnayslar çatlaklı olması nedeniyle akifer özelliğinde olup, içme suyu temini edilmektedir. Şistler geçirimsiz kaya özelliği taşırlar. Mermeler erime çatlakları ve karstik boşluklar içermeleriyle akifer özelliğine taşırlar. Neojen çakıltaşları gevşek tutturulmuş ve ortaç pekleşmiş özelliği ile akifer karakteri taşırlar. Kumtaşı, kultaşı ve silttaş ile ardalanma göstermesi özelliği ile akifer olma özelliği daha zayıftır. İnceleme alanında akifer olma özelliği taşıyan en önemli birim alüvyondur.

İnceleme alanındaki sıcak sular devirli jeotermal sistem özelliği taşırlar. Meteorik sular fay hatları ve tektonik hatlar boyunca yeraltına süzülürler. Graben tektoğine bağlı olarak yüzeye yaklaşan magma tarafından ısıtılır ve sıvılarda yoğunluk farkından dolayı ortaya çıkan konveksiyon ısı akımları ile ısınan sular tektonik hatlar boyunca yükselerek yeryüzüne ulaşırlar. İnceleme alanındaki sıcak suların yüzeye çıkış sıcaklıkları $30-65^{\circ}\text{C}$ arasında değişmektedir. Uygulanan çeşitli jeotermometreler yöntemi ile hesaplanan hazne kaya sıcaklıklar ise $150-250^{\circ}\text{C}$

arasında değişmektedir. Özellikle Germencik Ömerbeyli jeotermal alanında açılmış olan derin sondaj kuyularında ölçülen sıcaklıklar ($203\text{--}231\text{ }^{\circ}\text{C}$) bu hesaplanan hazne sıcaklıklarını doğrulamaktadır.

Yeni, temiz ve tekrarlanabilen enerji kaynaklarından birisi olan jeotermal enerjiden enerji sıkıntısı çekilen yurdumuzda olabildiğince yararlanılması gerekmektedir. Özellikle Germencik Ömerbeyli ve Sultanhisar Salavathlı jeotermal alanlarının yüksek sıcaklıklar içermeleri sebebiyle başta elektrik üretimi olmak üzere ısıtma, sera ve diğer kullanım alanlarının da yaygınlaştırılması gerekmektedir.

İnceleme alanındaki sıcak sular yüksek bor konsantrasyonu içermektedirler. Borun sıcaklıkla çözünürlüğünün artması ve sıcak suların değişik nedenlerle Büyük Menderes Nehri'ne karışıyor olması, yaklaşık 25.000 km^2 'lik bir alanı kaplayan Büyük Menderes Havzası'nda bor kirliliği gibi bir tehlikeye de neden olabilir. Bu nedenle havzadaki sıcak su kaynaklarının kullanıldıktan sonra hazneye geri basılmaları (re-enjeksiyon) gerekmektedir.

ABSTRACT

This study is about the hydrogeological and hydrogeochemical investigations of Aydin geothermal fields. In the study area metamorphic rocks of the Menderes massif are outcropped from west to east where Aydin is located at the center. These rocks are, gneisses, schists, metaquartzites and marbles. These rocks are covered by with Neogene aged sedimentary rocks, pebble stones, sandstones, claystones, by an unconformable contact. Quaternary aged alluvium and Slopewash are the youngest units observed in the study area. Gneiss' s, quartzite-schists and carstic marbles of Menderes massif and in some places Neogene aged pebble stones form the reservoir of the geothermal systems. Claystones and mudstones carry the feature of cap rock.

Due to the joints and fractures observed in the gneisses they carry the properties of aquifer and used as drinking water supply. Schist are impermeable rocks. Marbles contain dissolving spaces and have carstic properties and can be stated as aquifer. Neogene pebble stones has loose and low cemented character and aquifer property. Interbeded sandstones, claystones and siltstones have less aquiferic property. The most important unit in the study area is the alluvium as an aquifer.

Thermal waters in the study area represent cycled geothermal system. Meteoric water go under the crust along the tectonic lines and faults. According to the graben tectonics this meteoric water is heated by the rising magma and convection heat currents make it come to the surface along the tectonic lines, due to density difference in the liquids. Surface water temperatures in the study area vary between 30-65 °C. Reservoir temperatures obtained by the different geothermometer methods show 150-250 °C. Especially the temperatures obtained from the deep wells drilled in Germencik, Ömerbeyli prove the calculated reservoir temperatures (203-231 °C).

Geothermal energy, which is new, clean and renewable energy source, must be used in our country as lack of energy still goes on. Especially Germencik Ömerbeyli and Sultanhisar Salavatlı Geothermal fields should be used widely in electricity producing heating, greenhouses, as they have high temperatures.

The thermal waters in the study area show high borate concentration. Due to the high solubility of borate in thermal water and mixing of them to Büyük Menderes River should cause borate pollution in the 25.000 km² Büyük Menderes basin. For this reason thermal water in the area must be re-injected after the usage.

ÖNSÖZ

Aydın İli ilk çağlardan beri verimli toprakları, elverişli iklimi, ticaret yolları üzerinde bulunması ve jeotermal alanlara sahip olması özelliği ile insanlar için önemli bir yerleşim merkezi olmuştur.

Yeni ve yenilebilir enerji kaynaklarından biri olan jeotermal enerji yönünden de oldukça zengin bir potansiyele sahip olan Aydın İli jeotermal alanları en yüksek sıcaklığa ve en zengin sahalara sahiptir. 21. Yüzyıla girdiğimiz şu günlerde ülkemizde ki enerji yetersizliği kendini göstermekte, bu durumda ucuz ve aynı zamanda temiz bir enerji kaynağı olan jeotermal enerjiden daha çok yararlanılması gerekliliğini göstermektedir. Jeotermal alanlar bugünkü konum itibarıyle bölge halkı tarafından sağlık amaçlı yıkamalar dışında kullanılamamaktadır. Bu kullanılamamasının en büyük nedenlerinden birisi jeotermal akışkanların kimyasal yapılarının çevreye ve tarıma olabilecek olumsuz etkileridir.

Bu alanlarda başta MTA'lı araştırmacılar olmak üzere bir çok araştırmacı tarafından araştırmalar yapılmıştır. Ancak son yıllarda yeni yapılmış kimyasal analizler bulunmadığından, Aydın İli Jeotermal Alanlarının Hidrojeokimyasal İncelenmesi isimli proje çalışmalarıyla alanın kimyasal analizleri güncelleştirilmiş ve jeotermal yapıların çevreye ve tarıma olabilecek etkileri irdelenerek belirli yaklaşımlar getirilmiştir. Yapmış olduğum bu çalışmaların Aydın halkı ve Aydın İli için yararlı olacağı düşüncesiyle projenin ortaya çıkışını sağlayan projeyi yöneten ve yönlendiren Doç. Dr. Gültekin TARCAN'a teşekkürü bir borç bilirim.

İÇİNDEKİLER

	<u>Sayfa No</u>
İÇİNDEKİLER	ix
ŞEKİLLER LİSTESİ	xv
TABLOLAR LİSTESİ	xviii

Bölüm-1

GİRİŞ

1.1 Çalışma Alanının Yeri	1
1.2 Amaç ve Kapsam	1
1.3 Uygulanan Yöntemler	3
1.3.1. Sülfat Tayini	4
1.3.2. Klorür Tayini	4
1.3.3. HCO_3^- ve $\text{CO}_3^{=}$ Tayini	5
1.3.4. Ca^{++} ve Mg^{++} Tayini	5
1.3.5. Bor Tayini	6
1.4 Aydın İli' nin Coğrafik Konumu	7
1.4.1. Dağlar	7
1.4.2. Ovalar	7
1.4.2.1. Pamuk	7
1.4.2.2. Zeytin	8
1.4.2.3. İncir	8
1.4.3. Akarsular	8
1.4.4. Gölle	9
1.4.5. İklim	10
1.5 Aydın İli' nin Tarihçe	10

1.6	Önceki Çalışmalar	13
-----	-------------------------	----

Bölüm-2 JEOLOJİ

2.1	Bölgesel Jeoloji	15
2.1.1	Aydın İlçecabası ve İmamköy Jeotermal Alanının Jeolojisi	17
2.1.2	Aydın Sultanhisar Salavatlı Jeotermal Alanının Jeolojisi	20
2.1.3	Aydın Germencik Ömerbeyli Jeotermal Alanının Jeolojisi	23
2.2	Paleozoik Yaşılı Kayalar	26
2.2.1	Gnayslar	26
2.2.2	Şistler	26
2.2.3	Mermerler	27
2.2.4	Kuvarsitler	27
2.3	Senozoyik Yaşılı Kayalar	28
2.3.1	Çakıltaşı Kumtaşı Kilitaşı Birimleri	28
2.3.2	Alüvyon ve Yamaç Molozu	29

Bölüm-3 AYDIN İLİ JEOTERMAL ALANLARININ HİDROJEOLojİK ÖZELLİKLERİ

3.1	Kaya Birimlerinin Hidrojeolojik Özellikleri	30
3.1.1	Gnays Birimi	30
3.1.2	Şist Birimi	30
3.1.3	Mermer Birimi	31
3.1.4	Çakıltaşı, Kumtaşı, Kilitaşı Birimleri	31
3.1.5	Alüvyon	31

3.2	Aydın İli Jeotermal Alanları	32
3.2.1	Aydın İli Jeotermal Alanlarının Oluşumu	33
3.2.2	Aydın İlçebası Jeotermal Alanı	34
3.2.3	Aydın İmamköy Jeotermal Alanı	38
3.2.4	Aydın Sultanhisar Salavatlı Jeotermal Alanı	41
3.2.5	Aydın Germencik Ömerbeyli Jeotermal Alanı	43

Bölüm-4

AYDIN İLİ JEOTERMAL ALANLARININ HİDROJEOKİMYASAL ÖZELLİKLERİ

4.1	Temel Jeokimyasal Hesaplamalar	47
4.1.1.	İyonlaşma Gücü (I)	48
4.1.2.	İyon Etkinliği (AC)	49
4.1.3.	İyon Etkinlik Katsayısı (F)	49
4.2	İnceleme Alanında Örnek Alınan Su Noktaları	51
4.3	Doğal İzotoplarda (O^{18} , H^2 , H^3) Suyun Yaşı ve İzlediği Yolun Araştırılması	73
4.3.1.	Trityum (H^3)	73
4.3.2.	O^{18} ve D (H^2) Kararlı İzotopları	74
4.4	Jeotermal Sistemlerde Hazne Kaya Sıcaklıklarının Saptanması	78
4.4.1.	Kimyasal Jeotermometreler	79
4.4.1.1.	Kalitatif Kimyasal Jeotermometreler	79
	- SiO ₂	79
	- Klorür	79
	- B, NH ₄ , H ₂ S, Hg, Cl, Na, K, Li, Rb, Cs, As	80
	- Na / K Oranı	80
	- Traverten Çökelmeleri	80
	- Cl / HCO ₃ + CO ₃)	80
	- Mg ve Mg / Ca Oranı	80

-	Cl / SO ₄	80
-	Cl / F Oranı	80
-	H ₂ / Diğer Gazlar (Buhar Dışında) Oranı	81
4.4.1.2.	Kantitatif Kimyasal Jeotermometreler	81
4.4.1.2.1.	Çözünürlüğe Bağlı Jeotermometreler	82
-	Silis Jeotermometresi	82
-	Silis Jeotermometre Bağıntılarının Çıkarılışı . .	83
4.4.1.2.2.	İyon Değişimine Bağlı Jeotermometreler	86
-	Na / K Jeotermometresi	86
-	Na - K - Ca Jeotermometresi.	88
-	Na - K - Ca Jeotermometresinde Magnezyum Düzeltmesi	88
4.4.1.2.3.	İyon Etkinliğine Bağlı Jeotermometreler	89
-	İyon Etkinliğine Bağlı Na / Li Jeotermometresi	90
4.5	Su Kimyası	90
4.5.1.	Suların Kimyasal Özellikleri	90
4.5.2.	Suların Elektriksel İletkenliği	91
4.5.3.	Suların Sertliği	92
4.5.4.	Suların Kalsit, Dolomit, Jips Doygunluğu ve CO ₂ Gaz Basıncı	94
4.5.4.1.	Kalsit Doygunluk İndeksi (SIc)	94
4.5.4.2.	Dolomit Doygunluk İndeksi (SId)	96
4.5.4.3.	Jips Doygunluk İndeksi (SIj)	97
4.5.4.4.	Suda Çözünmüş Kısmi CO ₂ Basıncının (PCO ₂) Saptanması .	98
4.6	Suların Kimyasal Sınıflaması	99
4.6.1.	Çözünmüş Toplam Katı Maddelere Göre Sınıflanması	100
4.6.2.	Schoeller Sınıflaması	101
4.6.2.1.	Klorür Derişimi	101
4.6.2.2.	Sülfat Derişimi	101
4.6.2.3.	Karbonat + Bikarbonat Derişimi	102
4.7	Suların Kullanma Özellikleri	102
4.7.1.	Suların İçme Özellikleri	102

4.7.2. Suların Sulama Özellikleri	104
4.7.2.1. Sodyum Tehlikesi (SAR)	106
4.7.2.2. Sulama Sularının Wilcox' a Göre Sınıflaması	107
4.7.2.3. ABD Tuzluluk Laboratuvarı Diyagramı	110
4.7.2.3.1. Genel Tuzluluk Özellikleri	110
4.7.2.3.2. Sodyum Tehlikesi Özellikleri	110
4.7.3. Suların Endüstride Kullanılma Özellikleri	112

Bölüm-5

JEOTERMAL ALANLARDAN KAYNAKLANAN BOR KİRLİLİĞİ

5.1 Bor Kirliliği	115
5.2 Bor Kirliliği İle İlgili Alınması Gerekli Tedbirler	121
5.2.1. Reenjeksiyon	122

Bölüm-6

JEOTERMAL ENERJİNİN KULLANIM ALANLARI

6.1 Jeotermal Enerji' nin Kullanım Alanları	124
6.1.1. Jeotermal Enerjinin Dünya' da ve Türkiye' de Kullanımı	126
6.1.2. Jeotermal Enerjinin Aydın İl'in deki Kullanımı	128

Bölüm-7

SONUÇLAR 129

Bölüm-8

KAYNAKÇA 132

**EK-1 AYDIN İLİ JEOTERMAL ALANLARINDA AÇILAN SONDAJLARIN
KİMYASAL ANALİZLERİ (Erişen ve diğ., 1996)**

**EK-2 AYDIN İLİ JEOTERMAL ALANLARINDA AÇILAN SONDAJLARIN
KUYU LOGLARI (Kulkış ve diğ., 1996)**

ŞEKİLLER LİSTESİ

	<u>Sayfa No</u>
Şekil 1.1 Çalışma alanının yer bulduru haritası	2
Şekil 2.1 Aydın İli' nin genelleştirilmiş jeoloji haritası (Sarıkaya, 1994' den değiştirilerek)	16
Şekil 2.2 Aydın İlicabaşı İmamköy jeotermal alanının jeoloji haritası (Erişen ve diğ., 1996' dan değiştirilerek)	18
Şekil 2.3 Aydın İlicabaşı İmamköy jeotermal alanlarının genelleştirilmiş kolon kesiti (Erişen ve diğ., 1996' dan değiştirilerek)	19
Şekil 2.4 Sultanhisar Salavathlı jeotermal alanının jeoloji haritası (Erişen ve diğ., 1996' dan değiştirilerek)	21
Şekil 2.5 Aydın Sultanhisar Salavathlı jeotermal alanının genelleştirilmiş kolon kesiti (Erişen ve diğ., 1996' dan değiştirilerek)	22
Şekil 2.6 Germencik Ömerbeyli jeotermal alanının jeoloji haritası (Erişen ve diğ., 1996' dan değiştirilerek).	24
Şekil 2.7 Aydın Germencik Ömerbeyli jeotermal alanının genelleştirilmiş kolon kesiti (Erişen ve diğ., 1996' dan değiştirilerek).	25
Şekil 2.8 Aydın İmamköy kuzeyindeki gnayalar içinde gözlenen metakuvarsit merceğinden görünüm	26
Şekil 2.9 Aydın Sultanhisar Salavathlı kaplıcası çevresindeki şistlerden görünüm	27
Şekil 2.10 Aydın İmamköy kuzeyi Neojen çökellerinden çakıltaşlı kumtaşı kiltaşı ardalanmasından bir görünüm	28
Şekil 3.1 Aydın İli jeotermal alanları (Kılıkış ve diğ., 1996)	32
Şekil 3.2 Jeotermal alanların oluşum mekanizması (Filiz ve diğ., 1998)	34
Şekil 3.3 Aydın İlicabaşı jeotermal alanının yer bulduru haritası (Kılıkış ve diğ., 1996' dan değiştirilerek)	36

Şekil 3.4	Aydın İlicabaşı jeotermal alanında açılmış Ayter 2 sondajından bir görünüm	35
Şekil 3.5	Aydın İmamköy araştırma (İ-1) kuyusu muhtemel logu (Tıkır., 2000).	39
Şekil 3.6	Aydın Yılmazköy araştırma (Y-1) kuyusu muhtemel logu (Tıkır., 2000).	40
Şekil 3.7	Aydın Sultanhisar Salavatlı kaplicasından bir görünüm	41
Şekil 3.8	Aydın Sultanhisar Salavatlı jeotermal alanı içinde açılan AS-1 nolu sondaj kuyusundan bir görünüm	42
Şekil 3.9	Aydın Germencik Ömerbeyli jeotermal alanı içinde açılan sondajların yer bulduru haritası (Kırkış ve diğ., 1996' dan değiştirilerek)	45
Şekil 3.10	Aydın Germencik Ömerbeyli jeotermal alanı içinde açılan ÖB-1 nolu sondaj kuyusundan bir görünüm	46
Şekil 3.11	Aydın Germencik Ömerbeyli jeotermal alanı içinde açılan ÖB-8 nolu sondaj kuyusundan bir görünüm, arka fonda Menderes Masifi metamorfikleri	46
Şekil 4.1	Ayter 1 nolu su noktasından bir görünüm	51
Şekil 4.2	Ayter 2 nolu su noktasından bir görünüm	52
Şekil 4.3	Ayter 2 nolu su noktasında görülen kabuklaşmalar	53
Şekil 4.4	Salavatlı sarısudan bir görünüm	54
Şekil 4.5	İmamköy kuzeyindeki kaynaktan bir görünüm	55
Şekil 4.6	İmamköy kuzeyindeki kaynağı, eski kaynak çıkış gözeleri ve alterasyon ürünleri.	55
Şekil 4.7	İmamköy İlicası 1. kaynağı tesislerinden görünüm	56
Şekil 4.8	İmamköy İlicası 2. kaynağı tesislerinden görünüm	57
Şekil 4.9	Bozköy (Germencik) kaplicası kaynağından görünüm	58
Şekil 4.10	Çamur kaynağından (Germencik) bir görünüm	58
Şekil 4.11	Yağış ve doğal sularda O ¹⁸ ile D(H ²) ilişkileri (Şahinci, 1991)	76
Şekil 4.12	Germencik Ömerbeyli jeotermal alanındaki su noktalarının O ¹⁸ ve H ² diagramındaki yeri (Şimşek ve diğ., 2000).	77
Şekil 4.13	Sıcaklık (°C) ve SiO ₂ (mg/l) çözünürlüğü	83
Şekil 4.14	Schoeller' e göre suların içilebilirlik diyagramı	105

Şekil 4.15 Wilcox diyagramına göre sulama sularının sınıflanması	109
Şekil 4.16 ABD Tuzluluk diyagramına göre sulama sularının sınıflanması	111
Şekil 5.1 Aydın Germencik Ömerbeyli jeotermal alanı çevresindeki incir bahçelerinden bir görünüm	117
Şekil 5.2 Aydın İmamköy jeotermal alanı çevresindeki zeytin bahçelerinden bir görünüm	117
Şekil 5.3 Aydın Sultanhisar Salavatlı jeotermal alanı çevresindeki narenciye bahçelerinden bir görünüm	121
Şekil 5.4 Jeotermal atık suların reenjeksiyon yöntemiyle geri basımı (Filiz ve diğ., 1998)	123
Şekil 6.1 Jeotermal akışkanlarının sıcaklıklarına göre doğrudan kullanım alanları (Kılıkış ve diğ., 1996)	125

TABLULAR LİSTESİ

	<u>Sayfa No</u>
Tablo 1.1 Aydin İli sınırları içindeki su kaynakları (Uyar ve diğ., 1998)	9
Tablo 1.2 Aydin İli' nin 1929-1990 yılları meteorolojik değişkenleri (Uyar ve diğ., 1998).	11
Tablo 1.3 Aydin İli' nin 1929-1990 yılları meteorolojik değişkenleri (Uyar ve diğ., 1998' den değiştirilerek)	11
Tablo 3.1 Alüvyonda D.S.İ' nin açmış olduğu sondaj kuyuları (DSİ., 2000)	31
Tablo 3.2 Aydin İlçabası jeotermal alanında açılan sondajlar (Erişen ve diğ., 1996)	34
Tablo 3.3 Aydin Sultanhisar Salavatlı jeotermal alanında açılan sondajlar (Erişen ve diğ., 1996)	41
Tablo 3.4 Aydin Germencik Ömerbeyli jeotermal alanında açılan sondajlar (Erşen ve diğ., 1996)	44
Tablo 4.1 Ayter-1 su noktasının kimyasal özellikleri	60
Tablo 4.2 Ayter-2 su noktasının kimyasal özellikleri	61
Tablo 4.3 Salavatlı sarısı kimyasal özellikleri	62
Tablo 4.4 Salavatlı çeşmesi kimyasal özellikleri	63
Tablo 4.5 İmamköy kuzeyi kaynağının kimyasal özellikleri	64
Tablo 4.6 İmamköy ilicası 1. kaynağı kimyasal özellikleri	65
Tablo 4.7 İmamköy ilicası 2. kaynağı kimyasal özellikleri	66
Tablo 4.8 Bozköy kaplıca kaynağının kimyasal özellikleri	67
Tablo 4.9 Çamur kaynağı kimyasal özellikleri	68
Tablo 4.10 Hıdırbeyli göleti yüzey suyu kimyasal özellikleri	69
Tablo 4.11 Geçmiş yıllarda yapılan kimyasal analizler	70
Tablo 4.12 Germencik Ömerbeyli jeotermal alanı içindeki sıcak suların ^{18}O , $^2\text{H=D}$ ve $^3\text{H=T}$ izotop analizleri	77

Tablo 4.13 Bir litre suda çözünen deneysel silis miktarı (Fournier and Potter, 1982)	82
Tablo 4.14 İnceleme alanındaki suların SiO_2 miktarına göre hesaplanan hzne kaya sıcaklıkları	85
Tablo 4.15 Na-K jeotermometresine göre saptanan hzne kaya sıcaklıkları	87
Tablo 4.16 İnceleme alanındaki suların iyon etkinliğine bağlı Na/Li jeotermometresine göre hesaplanan hzne kaya sıcaklıkları	90
Tablo 4.17 Suların elektriksel iletkenliğine göre sınıflaması	91
Tablo 4.18 Suların Fransız sertliğine göre sınıflaması	93
Tablo 4.19 İnceleme alanındaki suların sertliklerine göre sınıflaması	93
Tablo 4.20 İnceleme alanındaki suların kalsit doyma indeksleri (SIc) ve yorumları	95
Tablo 4.21 İnceleme alanındaki suların dolomit doyma indeksleri (SID) ve yorumları	97
Tablo 4.22 İnceleme alanındaki suların jips doyma indeksleri (SIj) ve yorumları	98
Tablo 4.23 İnceleme alanındaki suların kısmi CO_2 gaz basınçları (P_{CO_2}) ve yorumları	99
Tablo 4.24 Su içinde çözünmüş iyonların toplam miktarlarına göre suların sınıflaması	100
Tablo 4.25 İnceleme alanındaki suların suda çözünmüş toplam iyon miktarına göre sınıflaması ve yorumu	100
Tablo 4.26 İnceleme alanındaki suların kimyasal analiz sonuçlarına göre inceleme özelliğleri	103
Tablo 4.27 % SAR' a göre sulama suların sınıflaması	106
Tablo 4.28 İnceleme alanındaki suların % SAR' a göre sınıflaması	107
Tablo 4.29 Sulama sularının Wilcox' a göre sınıflaması (Şahinci, 1991).	107
Tablo 4.30 Sulama sularının Wilcox sınıflamasında bor miktarına göre sınıflaması	108
Tablo 4.31 İnceleme alanındaki su noktalarının sulama amaçlı Wilcox sınıflamasındaki yeri	108
Tablo 4.32 Suların köpürme özelliğinin sınıflaması	113

Tablo 4.33 İnceleme alanındaki suların köpürme özelliği	113
Tablo 4.34 Sudaki sülfat miktarına göre betonların etkime dereceleri	114
Tablo 4.35 İnceleme alanındaki su noktalarının sülfat miktarına göre betonların etkime dereceleri	114
Tablo 5.1 Bitkilerin bor mineraline karşı duyarlılıklarını (Oruç, 1994' den değiştirilerek	116
Tablo 5.2 Büyük Menderes Nehri bor düzeyleri ppm(Oruç, 1994).....	118
Tablo 5.3 İnceleme alanındaki bor değerleri	119
Tablo 5.4 Geçmiş yıllarda açılan sondajlardaki bor konsantrasyonları (Erişen ve diğ., 1996)	120

BÖLÜM 1

GİRİŞ

Aydın İli 37-38 kuzey paralelli ile 27-29 doğu meridyenleri arasındadır. Doğudan Denizli, batıdan Ege Denizi, güneyden Muğla, kuzeyden İzmir ve kuzeydoğudan Manisa illeri ile çevrilidir.

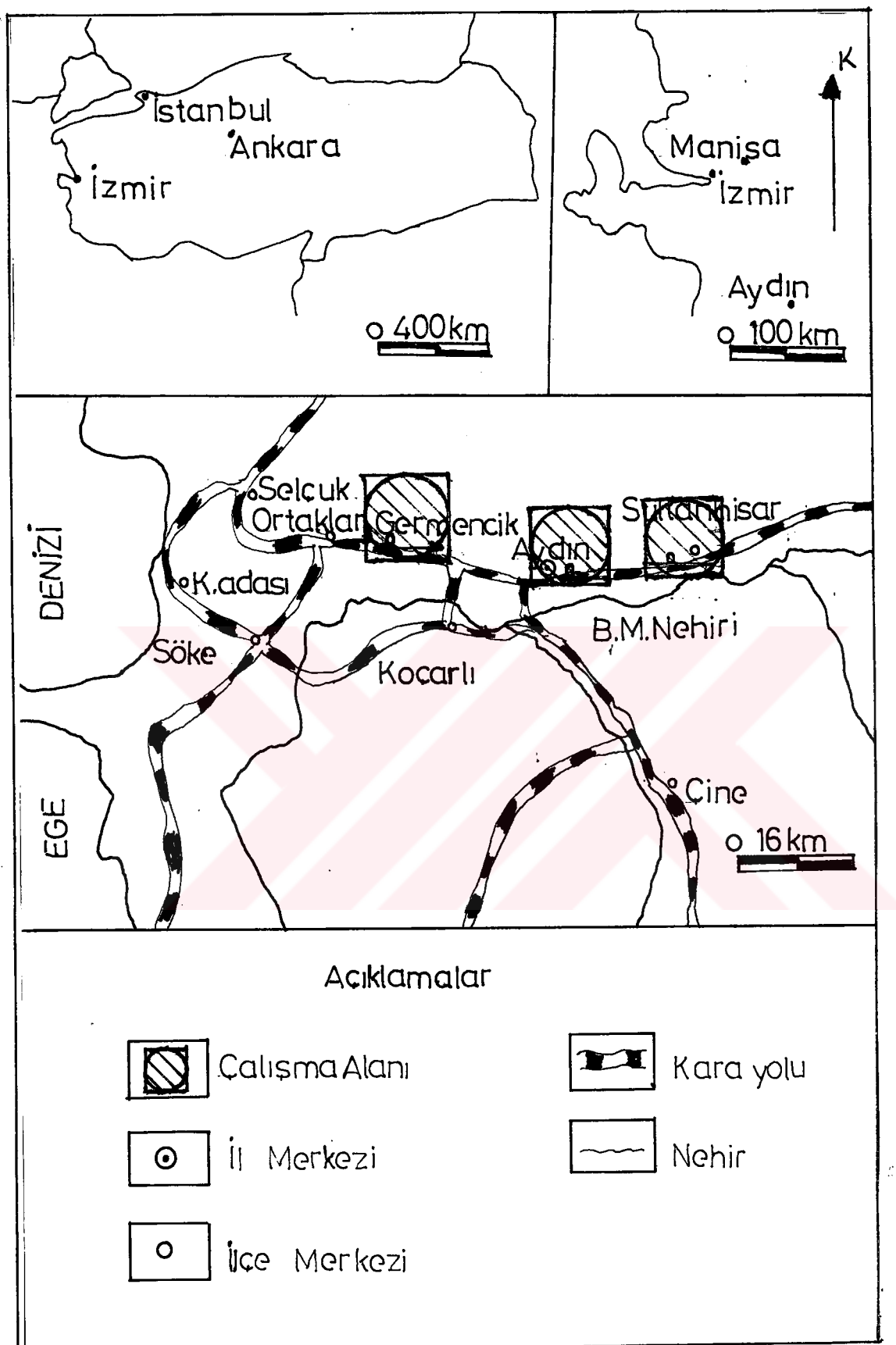
Aydın İli verimli toprakları, ılımlı Akdeniz iklimi ile yurdumuzda başta pamuk ve tütün olmak üzere endüstri bitkilerinin en çok yetiştirdiği zengin bir ildir. Aydın İli topraklarından geçen Büyük Menderes Nehri' nin alüvyonlu vadilerinde dünyanın en nefis incirleri yetiştirilir. Büyük Menderes Havzası' nın iki tarafını meydana getiren yüksekliklerin tamamı zeytin ağaçları ile kaplıdır.

1.1 Çalışma Alanının Yeri

Çalışma alanı Büyük Menderes Grabeni' nin kuzey kesimindedir. Aydın İli merkez olmak üzere doğuya doğru İmamköy, Sultanhisar, Salavatlı, batıya doğru Germencik, Ömerbeyli ilçe ve köylerini içine alır (Şekil 1.1). Aydın İlçabası ve İmamköy jeotermal alanları Aydın M 19/b3, Aydın Sultanhisar Salavatlı jeotermal alanı Aydın M 20/a2, Aydın Germencik Ömerbeyli jeotermal alanı Aydın M 19/a1-a3-a4 paftalarında yer alır.

1.2 Amaç ve Kapsam

Bu çalışma Dokuz Eylül Üniversitesi, Fen Bilimleri Enstitüsü, Jeoloji Mühendisliği Bölümü, Uygulamalı Jeoloji Anabilim Dalı' nda Yüksek Lisans tezi olarak hazırlanmıştır.



Şekil 1.1 Çalışma alanının yer bulduru haritası

Yapılan çalışmalarda inceleme alanında bulunan sıcak ve soğuk suların örnekler alınmıştır. Alınan su örneklerinin kimyasal analizleri yapılarak geçmiş yıllarda analizlerle karşılaştırmaları yapılmıştır. Çalışmada, yeraltı suyu taşıyan birimlerin hidrojeolojik özellikleri incelenmiştir. Ayrıca alandaki sıcak su noktalarının hazne kaya sıcaklıklarını kalitatif ve kantitatif olarak değerlendirilmiş ve yer altındaki hazne kaya sıcaklıklarını saptanmıştır. Yapılan kimyasal analizlerle suların kimyasal özellikleri, suların kökenleri, tarımsal, içilebilirlik ve termal amaçlarla kullanılabilme özellikleri saptanmıştır. Jeotermal atık suların çevreye ve tarıma olabilecek olan etkileri incelenmiş ve uygulanabilecek çözüm önerileri saptanmıştır. Ayrıca jeotermal enerjinin dünyada ve Türkiye'de kullanımı ile Aydın İl'ndeki kullanım alanlarından bahsedilmiştir.

1.3 Uygulanan Yöntemler

Dokuz Eylül Üniversitesi Fen Bilimleri Enstitüsü, Jeoloji Mühendisliği Bölümü, Uygulamalı Jeoloji Anabilim Dalı'nda Yüksek Lisans tezi olarak hazırlanan bu rapor 15 Mart 2000 – 15 Ocak 2001 tarihleri arasındaki çalışmaları kapsar.

Çalışmalara 20 Haziran 2000- 20.Aralık.2000 tarihleri arasında belirlenen jeotermal alanlarda saha çalışmaları yapılarak başlanmıştır. Her jeotermal alandan seçilen sıcak ve soğuk su noktaları kimyasal analiz amaçlı örneklenerek Dokuz Eylül Üniversitesi, Mühendislik Fakültesi, Jeoloji Mühendisliği Bölümü jeokimya laboratuarlarında kimyasal analizleri yapılmıştır. Yapılan çalışmalar sonucunda edinilen yeni kimyasal verilerle tüm sahaların hazne sıcaklıklarının belirlenmesine yönelik tahminlerde bulunulmuştur. Arazi çalışmalarında harita, pusula, fotoğraf makinesi ve kimyasal analizler için alınan su örneklerinde steril şişeler kullanılmıştır.

Çalışmaların son aşaması edinilen bilgilerin raporlaştırılması olmuş ve bu çalışmalar da 15 Ocak 2001 tarihinde bitirilmiştir. Sonuçta bir Yüksek Lisans tezi yazılarak proje yöneticisine sunulmuştur.

1.3.1 Sülfat Tayini

Reaktifler :

- Hidroklorik asit : 1 + 1
- Baryum klorür çözeltisi : 100 gr BaCl₂, 2H₂O, 1 litre distili suda çözülür.

Mebran filtreden veya özel olarak hazırlanmış filtre kağıdından süzülür. Hazırlama işlemi sırasında filtre kağıdı asit ile yıkılır.

- Metil kırmızısı indikatör çözeltisi

100 cc' lik örnek pipetle 250 cc' lik erlene alınır, 2,5 cc derişik HCl katılarak kaynatılır ve ateşten alınır. % 10' luk BaCl₂ çözeltisi katılır. Bir gece bekletilir. Mavi bant süzgeç kağıdından süzüllererek sabit tartıma getirilmiş krozeye konup, benzen bekinde yakılır. 800-900 °C firında 45 dakika bekletilerek desikatörde soğutulup tartılır.

$$\text{BaSO}_4 \text{ (mg)} \cdot 411,5$$

$$\text{Hesaplama : SO}_4 = \frac{\text{(mg/l)}}{\text{Örnek (1)}}$$

1.3.2 Klorür Tayini

Reaktifler :

- K₂CrO₄ çözeltisi : 5 gr K₂CrO₄ 100 ml suda çözülür.
- AgNO₃ çözeltisi : 30 gr AgNO₃ kristali temiz bir havanda dövülerek 105-120 °C'de kurutulur. 30 gr AgNO₃' ten 23,96 gr alınarak suda çözülür, 1 litreye tamamlanır.
- 25 ml klorür standardından alınıp 50 ml' ye seyreltilerek AgNO₃ titrasyonu yapılarak ayarlanır.
- Standart klorür çözeltisi : 1 ml = mg klorür, 1,648 gr NaCl su ile çözülür ve 1 litre tamamlanır. 50 ml örnek 200 ml' lik erlene konur, 0,5 ml % 10' luk K₂CrO₄ çözeltisi katılır, renk yeşilimsi sarıdır, kiremit rengine dönünceye kadar AgNO₃ çözeltisi ile titre edilir.

$$1 \text{ ml AgNO}_3 = 0,7092 \text{ mg Cl' dir.}$$

1.3.3 HCO_3^- , $\text{CO}_3^{=}$ Tayini

Reaktifler :

- 0,1 N HCl çözeltisi : 8,3 ml derişik HCl 1 litre distile suya tamamlanır.
- Metil oranı çözeltisi : 0,1 gr metil oranj 100 ml suda çözülür.
- Fenolftalein çözeltisi : 1 gr fenolftalein 100 ml (% 95' lik) etonelde çözülür.

100 cc örnek pipetle erlene konur. 3 damla fenolftalein çözeltisi eklenir. Eğer eflatun rengine dönüşüyorsa renk kayboluncaya kadar 0,1 N HCl ile litre edilir.

Ardından 3 damla metil oranj çözeltisi konur, eğer renk sarıysa soğan kabuğu rengine dönene deðin 0,1 N HCl ile titre edilir.

Hesaplama :

- P : Fenolftalein ile yapılan titrasyonda harcanan asit miktarı (ml)
- T : Kullanılan toplam asit miktarı (ml)

Titrasyon sonucu : $P = 0$ ise $\text{CO}_3^= = 0$, $\text{HCO}_3^- = T$

$P = 1/2 T$ ise $\text{CO}_3^= = 2P$, $\text{HCO}_3^- = T - 2P$ ' dir.

1.3.4 Ca^{++} ve Mg^{++} Tayini

Reaktifler :

- 0,01 M EDTA hazırlımı : 3,72 gr Na_2EDTA suda çözülüp 1 litreye tamamlanır. Standart Ca^{++} çözeltisine karşı standart hale getirilir.
- Standart Ca^{++} çözeltisinin hazırlanması : 1 ml = 0,4 mg Ca^{++} 1 gr CaCO_3 (180 °C'de 1 saat kurutulmuş) 600 ml su ile çözülüp biraz seyreltik HCl damlatılır. 1 Litreye tamamlanır.

1 10 cc örnek pipetle erlene alınır. Bir spatül ucu calsein indikatörü atılır. 2 ml N NaOH eklenir ($\text{pH} = 12,5$). Renk yeşilden menekşe rengine dönene dek 0,01 M EDTA ile titre edilir.

2 10 cc örenek pipetle erlene alınır. Puffer tabletinin 1/4' ü atılarak NH_4 eklenir ($\text{pH} = 9,5$). Renk pembeden yeşile dönene deðin 0,01 M EDTA ile titre edilir.

Hesaplama :

- $\text{Ca}^{++} (\text{mg/l}) = 1' \text{ de harcanan ml EDTA} [1 \text{ ml EDTA' nın} (= 0,4008 \text{ mg Ca}^{++}) \text{ eşdeğer Ca}^{++}, \text{sı} .1000/10]$
- $\text{Mg}^{++} (\text{ml/l}) = 2' \text{ de harcanan ml EDTA} 1' \text{ de harcanan EDTA} [1 \text{ ml EDTA' nın} (= 0,2432 \text{ mg Mg}^{++}) \text{ eşdeğer Mg}^{++}, \text{sı}]. 1000/10$

1.3.5 Bor (B) Tayini

Bor ölçümlünde minimum ışık yolu 1 cm olan ve 585 nm' de okuma alabilecek nitelikte bir spektrofotometre cihazı gerekir.

Reaktifler :

- Standart bor çözeltisi : 10 ml stok bor çözeltisi 1000 ml' ye tamamlanarak hazırlanır. Bu çözeltinin 1 ml' si 1 µgr bor içerir.
- Derişik hidroklorik asit
- Derişik sülfirik asit
- Karmin reaktifi : 920 mg karmin NF 40 yada karminik asit 1 litre derişik sülfirik asitte çözülür.

100 ml' de 100, 250, 500, 750 ve 1000 µgr B bulunacak şekilde bir seri bor çözeltisi hazırlanır ve her standarttan alınarak erlene konur. Şhit ve kalibrasyon standartları örnek ile aynı işleme tabi tutulur. 2 damla (0,1 ml) derişik HCl ilave edilir. 10 ml derişik H_2SO_4 konulduktan sonra karıştırılır ve oda sıcaklığına kadar soğutulur. 10 ml karmin reaktifi ilave edilir, karıştırılır. 45-60 dakika sonra şahit, referans olarak kullanılarak 585 nm' de absorbans okunur. Okuma sırasında hava kabarcığının bulunmamasına ve reaktiflerin iyi karışmasına özen gösterilmeli, karmin reaktifi bozulmaya uğradığı için kalibrasyon eğrisi her ölçümde yeniden çizilmelidir.

Hesaplama :

- $B \text{ mg/l} = \mu\text{gr B} (\text{yaklaşık } 22 \text{ ml' lik son hacimdeki}) / \text{ml örnek}$

Silisyum, lityum kolorimetrik yöntemle, sodyum ve potasyum alev fotometriyle tayin edilmiştir. pH, pH metreyle, elektriksel iletkenlik kondüktivimetreyle ölçülmüştür.

1.4 Aydın İli' nin Coğrafik Konumu

1.4.1 Dağlar

Aydın İli' nin kuzey ve güney kesimini kaplar. Ortada kalan Büyük Menderes Nehri civarı düzüktür. Kuzey yönünü Dinar' dan başlayıp 300 km devam eden Samsun Dağları adını alarak Ege Denizi' nde sona eren Mezukis Dağları oluşturur. Mezukis Dağları' nın bol suları Büyük Menderes Nehri' ne onbir dere halinde yayılır. Mezukis Dağları' nın en yüksek noktası 1360 m' dir. Mezukis Sıradağlarının il içinde devam eden kısmında doğudan batıya doğru Çamlık, Oyük, Karlık, Malgaç, Cevizli adları ile sıralanan tepeler yer alır. Oyük, Karlık, Malgaç tepelerini meydana getiren Karadağ 1353 m yüksekliktedir. İlin güneyinde yükseklikleri 1800 m' yi bulan Çubuk, Karıncalı, Madran, Beşparmak Dağları Bafa Gölü'nü yarımcember içine alarak Ege Denizi' nde sona erer.

1.4.2 Ovalar

İlin en büyük ovası Büyük Menderes Ovası' dır. Doğudan batıya doğru uzanan vadi ooluğu içinde yer alır ve 25.000 km^2 ' lik bir alanı kaplar. Ovanın yüzeyi Büyük Menderes Nehri' nin getirdiği alüvyonlarla kaplıdır. Ovanın genişliği bazı alanlarda 20 km^2 ' ye yaklaşır ve bulunduğu yörelere göre isim alır. Bunlardan bazıları Aydın Ovası, Söke Ovası, Koçarlı Ovası ve Karpuzlu Ovası gibi isimlerdir.

1.4.2.1 Pamuk

Aydın İli verimli toprakları ve ılımlı Akdeniz iklimiyle başta pamuk olmak üzere endüstri bitkilerinin en çok yetiştirdiği zengin illerden birisidir. Aydın İli pamuk yetiştirilmesine son derece uygun toprak ve iklim yapısına sahiptir. Ekim alanı olarak

Adana, verim açısından da Antalya' dan sonra ikinci sıradadır. İlde 25.000' den fazla çiftçi ailesi geçimini pamuktan sağlamaktadır. Pamuk, elyafının yanısıra küspesinde yağından yararlanılan bir sanayi ürünüdür.

1.4.2.2 Zeytin

Türkiye' de en çok zeytin alanı olan illerden birisidir. Aydın Türkiye zeytin üretiminin % 19 ' unu karşılamaktadır. İlde yaklaşık 18.000.000'a yakın zeytin ağacı bulunmaktadır. Zeytin mahsulleri sofralık ve salamura olarak kullanıldığı gibi yağ çıkarılmasında da önemli bir yer tutmaktadır.

1.4.2.3 İncir

İncir dünyanın en eski kültür bitkilerinden birisi olduğu gibi, bütün dinlerce de kutsal sayılan bir meyvedir. İl ekonomisinde incir üretimi önemli bir yer tutar. Türkiye incir üretiminin % 60 ' lik kısmı 6 milyon incir ağacı ile Aydın İli' nden sağlanır. Bu üretimi ile Türkiye' de birinci sıradadır ve incirin anavatanıdır. İkliminin uygunluğu, nem oranının istenilen düzeyde olması ve rüzgarın incir gelişimine olumlu etkisi incir kalitesini yükseltmektedir. İncir ağaçlarının büyük bir bölümü Germencik, Ortaklar, İncirliova, Nazilli, Bozdoğan, Umurlu, Köşk İlçelerinde bulunmaktadır. Germencik jeotermal alanları çevresinde incir üretimi son 20 yıllık dönemde gerileme göstermiştir. Bu alanlarda açılan kuyulardan bırakılan sıcak suların incir ağaçlarında kurumalara ve verim düşüklüğüne sebep olduğu bilinmektedir.

1.4.3 Akarsular

Aydın İli' nin en büyük akarsuyu asırlarca taşıdığı verimli topraklarla ile hayat veren Büyük Menderes Nehri' dir. Beslenme havzası bölgenin iç kesimlerindeki çeşitli yerlerdir. İl topraklarına Denizli sınırından giren Büyük Menderes Nehri' nin Aydın İl sınırları içindeki uzunluğu 170 km' dir.

Büyük Menderes Ovası'ının eğimi düşük seviyede olduğundan ırmağın taşıdığı alüvyonlu topraklar düzgün kıvrımlar oluşturarak nehrin akış hızını yavaşlatır. Nehrin saniyede akışı su miktarı $95,90 \text{ m}^3$ 'dür. Yağışların arttığı mevsimlerde 700 m^3 'e kadar çıkmaktadır.

Nehir doğu batı akış yönünde Dandalas, Akçay ve Çine Çayı'ni da içine alarak Ege Denizi'ne dökülür. Bunların dışında Büyük Menderes Nehri'ni besleyen dereler de vardır. Bunlar Köşk, Koçak, Emirdoğan, İkizdere, Malgaç, Torluk, Kısır dereleridir (Tablo 1.1).

Tablo 1.1 Aydın İli sınırları içindeki su kaynakları (Uyar ve diğ., 1998)

SUYUN ADI	MİN.AKIM (m^3/sn)	MAX.AKIM (m^3/sn)	ORT.AKIM (m^3/sn)
B.Menderes Nehri	1,00	700	95,90
Çine Çayı	0,22	754	11,20
Akçay	0,004	467	18,51
Köşk Deresi	0,006	170	1,28
İkizdere	0,00	420	2,61
Dandalas Çayı	0,100	250	2,90

1.4.4 Gölleler

İlin en büyük gölü Bafa Gölü'dür. Büyük Menderes Nehri'nin körfezin ağzını doldurmasından meydana gelmiştir. Çevresi dağlık olduğundan kıyıları oldukça girintili çıkıntılıdır. Yüzölçümü 65 km^2 olan gölde kefal, sazan, levrek, yayın balıkları yaşar. Bunların dışında il sınırları içinde Karina Gölü, Azap Gölü ve Kemer, Topçam, Karpuzlu baraj gölleri bulunmaktadır.

1.4.5 İklim

Aydın İli'nde Akdeniz iklimi hakimdir. Yazlar sıcak ve kurak, kışlar ılık ve yağışlıdır. Yükselti dizilerinin doğu batı yönünde ve kıyıya dikey doğrultuda oluşu deniz etkisinin içерilere kadar girmesini sağlamaktadır. Şüphesiz ki dağlık arazi yükseltileri ile taban arazileri arasında ısı ve yağış farklılıklarını görülmektedir.

İlde yağışın hemen hepsi yağmur şeklinde olup, mevsimlere göre dağılışı ilkbahar aylarında 151,1 mm, yaz aylarında 17,3 mm, sonbahar aylarında 140,6 mm ve kış aylarında 368,6 mm yağış görülmektedir. Yıllık ortalama yağış miktarı 667,6 mm'dir. Yılda ortalama 80,6 gün yağışlı, 0,2 gün kar yağışlı geçmektedir. Yağışların % 70' i kış periyodunda olmaktadır (Tablo 1.2).

Aydın İli'nde yıllık ortama sıcaklık $17,7^{\circ}\text{C}$ ' dir. En yüksek sıcaklık Ağustos ayında 43°C ve en düşük sıcaklık ise Ocak ayında -11°C olarak ölçülmüştür. Mevsimlere göre sıcaklık ortalamaları ilkbahar aylarında $15,9^{\circ}\text{C}$, yaz aylarında $27,1^{\circ}\text{C}$, sonbahar aylarında $18,6^{\circ}\text{C}$ ve kış aylarında $9,1^{\circ}\text{C}$ ' dir (Tablo 1.3).

1.5 Aydın İli' nin Tarihçesi

Aydın İli'ne ilk çağlarda Antheia denildi. Bu gündü il merkezi olan Aydın şehri Aydın Dağı'ının ovaya bakan bir yamacında yer alıyordu. M.Ö XIII. yüzyılda da Tralles adıyla anılan bu şehir bakımlı, çiçekli ve kuvvetli gibi kelimelerle nitelendirilirdi. Aydın o çağlarda da Ege Bölgesi'nin en zengin en ünlü şehirlerinden sayılırdı. M.Ö 26' da meydana gelen şiddetli depremlerle yerle bir olun şehir Bizans İmparatoru Andronikas tarafından yeniden kuruldu, yeniden yapılandırıldı ve kentte Andropolis (Andronik kenti) denildi. Aydın ve çevresinin Türk'lerin eline geçmesi 1072 Malazgirt Meydan savaşından sonra Anadolu içinde ilerleyen Selçuklular zamanıdır. Selçuklular döneminde üç beylerinden Menteş Bey kenti ele geçirmiştir ve kentte Güzelhisar adını vermiştir. Beylikler döneminde yöreye Aydinoğulları egemen olmuş Aydinoğlu Mehmet Bey kentte büyük bir imar hareketinde bulunmuştur. Onun yeniden yarattığı kentte bir saygı ifadesinde bulunularak Aydın Güzelhisarı

**Tablo 1.2 Aydın İli' nin 1929-1990 yılları meteorolojik değişkenleri
(Uyar ve diğ., 1998)**

AYLAR	Mahalli ort.Aktifel Basınç (mb)	Ort. Sıcaklık (°C)	Ort. Yüksek Sıcaklık (°C)	Ort. Düşük Sıcaklık (°C)	Ort. Nisbi Nem (%)	Ort. Yağış Miktari (mm)	Ort. Kar Yağışlı Gün Sayısı	Ort. Karla Örtülü Gün Sayısı	Ort. Toprak Sıcaklık (°C) 10 cm	Ort. Toprak Sıcaklık (°C) 20 cm
OCAK	1009.1	8.1	12.5	4.3	76	127.1	0.1	0.3	8.6	8.9
ŞUBAT	1008.5	9.5	14.6	5.1	73	96.4	0.1	---	9.3	9.6
MART	1008.0	11.4	17.1	6.2	69	70.7	---	---	12.4	12.5
NİSAN	1006.9	15.7	22.5	9.8	64	42.9	---	---	17.1	17.0
MAYIS	1006.0	20.7	27.7	14.0	60	37.5	---	---	23.6	23.2
HAZİRAN	1004.4	25.4	37.8	17.8	51	12.1	---	---	29.5	29.0
TEMMUZ	1001.4	28.2	35.8	20.0	46	3.0	---	---	32.8	32.4
AĞUSTOS	1002.0	27.6	35.7	19.9	48	2.2	---	---	32.2	31.9
EYLÜL	1006.1	23.5	31.8	16.4	54	16.9	---	---	27.0	27.3
EKİM	1009.6	18.3	25.9	12.4	64	50.8	---	---	20.5	21.1
KASIM	1010.7	13.8	20.0	9.2	74	72.9	0.2	0.3	14.8	15.4
ARALIK	1010.0	9.8	14.4	6.0	78	145.1	---	---	10.6	11.1
YILLIK	1006.9	17.7	24.2	11.8	63	677.7	---	---	19.9	20.0

**Tablo 1.3 Aydın İli' nin 1929-1990 yılları meteorolojik değişkenleri
(Uyar ve diğ., 1998' den değiştirilerek)**

	Rasat Süresi	1	2	3	4	5	6	7	8	9	10	11	12
Saat 7'deki toplam ort yağış miktari mm	51	53,4	41,3	30	17,9	11,5	2,4	1	0,1	3,6	17,9	33,7	67,4
Saat 14 deki toplam ort yağış miktari mm	51	34,8	27,8	17,7	16	7,9	3,5	1,1	0,1	3,5	18,0	23,8	38,5
Saat 21 deki ort toplam yağış miktari mm	51	37,4	26,1	21,8	14,2	12,9	9	1,8	1,9	5,1	9,8	23,6	36,9
Ort toplam yağış miktarı mm	62	121	95,5	71,1	45,5	33,5	14	3,5	2,2	14,4	47,5	74,4	135
Günlük en çok yağış miktarı	62	67	90,5	53	48,2	51,3	46	33,2	24,4	60,1	60,6	57,3	80,2

Tablo 1.3 devam

Yağış > 0,1 mm olduğu günler sayısı	61	13,1	10	9,1	8,0	5,7	2,4	0,7	0,5	1,5	5,6	8,2	13,4
Yağış >10 mm olduğu günler sayısı	61	4,4	30,7	2,8	1,8	1,1	0,5	0,1	0,1	0,5	1,6	2,8	4,9
Yağış >50 mm olduğu günler sayısı	26	0,2	0,2	0,0	--	--	--	--	--	--	0,0	0,2	0,2
Ort. Kar yağışlı günler sayısı	36	0,0	0,0	0,0	--	--	--	--	--	--	--	--	--

olarak anılmaya başlanmıştır. Bu adın uzunluğu halkın dilinde ikinci plana atılarak kent Aydın olarak anılmaya başlanmıştır.

Aydın İli ilk çağlardan beri verimli toprakları, elverişli iklimi, ticaret yolları üzerinde bulunması nedeniyle önemli bir yerleşim merkezi olmuştur. Tarihi süreç içerisinde çeşitli uygarlıklara beşiklik etmiştir. Bugün ise hala geçmişin derin izlerini taşıyan güzel yurt köşelerinden birisidir. Günümüzde, tarımsal faaliyetlerin yoğunluğu ve çeşitliliği, turizm olanaklarına sahip bulunması, dünyanın hiçbir yerinde eşi bulunmayan tarih ve sanat eserleriyle dolu olması, jeotermal alanlarının sağlık ve şifa dağıtması, ilin önemi giderek arttırmıştır.

Aydın İli toprakları üzerinde gelmiş geçmiş birçok kavim yüksek uygarlıklar kurmuş ve bu toprakları korumak amacıyla sayısız savaşlara girmiştir. Bunun en taze örneği, yakın tarihte yurdumuza saldıran Yunanlı'ların ele geçirmek amacını güttükleri Aydın İli' nin de içinde bulunduğu Ege Bölgesi toprakları olmuştur. Ancak 7 Eylül 1922' de düşman yenilgiye uğratılarak ordumuz tarafından kurtarılmıştır.

Bütün bu özelliklerinden ötürüdür ki tarihin çok eski çağlarından beri insanlar için önemli bir yerleşme merkezi olan Aydın' da sıcak su kaynakları da tarih boyunca, antik çağdan bu yana tüm uygarlıklar tarafından kullanılmış olup, bir çok tarihi hamam kalıntıları bulunmaktadır.

1.6 Önceki Çalışmalar

Aydın İli Türkiye' de jeotermal enerji potansiyeli bakımından en yüksek sıcaklığa sahip jeotermal sahalara sahiptir. Germencik Ömerbeyli jeotermal sahası 230°C ' ye varan en zengin jeotermal sahadır. Bunun yanında çalışma alanı kapsamında olan Aydın İlçebabaşı, Aydın İmamköy, Aydın Sultanhisar Salavatlı jeotermal sahaları Aydın İli için en önemli sahalardır. Bu alanlarda başta MTA' li araştırcılar olmak üzere bir çok araştırcı tarafından jeoloji, jeofizik, jeokimya ve sondaj çalışmaları yapılmış bulunmaktadır.

Gökgöz (1984), Aydın ve yakın çevresinin hidrojeoloji isimli bitirme projesi yapmıştır.

Çakmak (1988), Ömerbeyli (Aydın-Germencik) köyü çevresinin hidrojeolojisi ve jeotermal enerji olanakları isimli bitirme projesi yapmıştır.

Khayat (1988), Germencik Kızılçapınar (Aydın) ve çevresinin hidrojeolojik incelenmesi, sıcak ve soğuk suların jeokimyasal yorumlanması isimli yüksek lisans tez çalışmalarında temeli Menderes Masifi' ne ait çeşitli metamorfik kayaların oluşturduğuunu ve bunların üzerine faylı dokanakla gözlenen çakıltaşı, kumtaşısı, kilitası' ndan oluşan Pliyosen yaşılı karasal tortulların uyumsuzlukla geldiğini belirtmektedir. Hidrojeoloji ve jeokimyasal incelemelerde çalışma alanında ki sıcak suların kökeni meteoriktir. Bu sular yağışlarla yeryüzüne ulaşıp derinlere süzülerken ısınıp konveksiyon akımları nedeniyle tektonik hatlar boyunca tekrar yeryüzüne çıkmaktadır. Temeldeki gnaysların ve mermerlerin hazne kaya, bunların üzerinde yer alan Pliyosen yaşılı killi düzeyler örtü kaya özelliğindedir. Hazne kaya sıcaklıklarının $150-275^{\circ}\text{C}$ arasında olduğu belirtilmektedir.

Karamanderesi (1997), Büyük Menderes vadisi içinde aktif olan jeotermal sahalardan Aydın Sultanhisar Salavatlı sahası ile Küçük Menderes vadisi içinde yer alan fosil jeotermal sahalardan Beydağı-Civa, Emirli- Antimuan sahaları arasındaki benzer jeolojik ilişkilerin araştırılması şeklinde bir doktora tezi yapmıştır.

Filiz, Tarcan ve Gemici (1999), Türkiye' nin en önemli jeotermal alanlarından birini oluşturan Germencik jeotermal alanında hidrojeolojik, hidrojeokimyasal ve izotopik incelemeler yapmışlardır. Yaptıkları hidrojeolojik ve hidrojeokimyasal çalışmalarla alandaki jeotermal suların yüksek entalpili çok az mağmatik katkı içerebilen meteorik kökenli ve yaşlı sular olduğunu saptamışlardır. Çalışma alanındaki tüm sıcak sular sodyumlu, bikarbonat klorürlü su tipindedir. Sıcak suların kaynak sıcaklıkları 50-70 °C arasında değişmektedir. Uygulanan jeotermometreler ve karışım modelleri alanda 150-250 °C arasında değişen hazne sıcaklıklarına sahip oldukları saptanmıştır.

BÖLÜM 2

JEOLOJİ

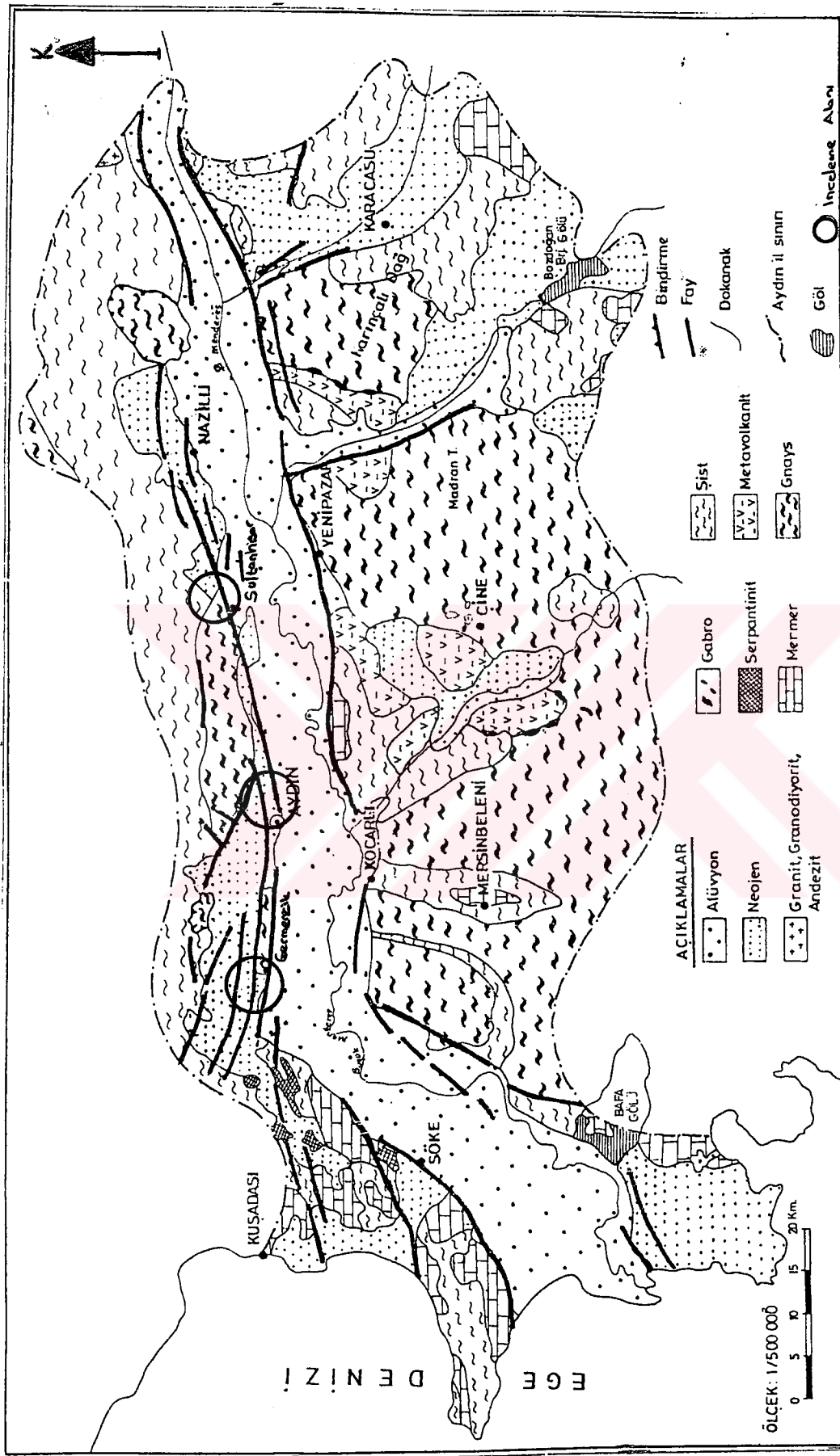
Bu bölümde, bölgesel jeoloji ve Aydın İli jeotermal alanlarının jeolojileri daha önceki MTA çalışmalarından (Erişen ve dig., 1996) yararlanarak ayrı, ayrı incelenmiştir. Çalışma alanı içerisinde üç ayrı kaya grubu kayaçları bulunmaktadır. Bunlar Paleozoik yaşlı Menderes Masifi metamorfik kayaları, Neojen tortul kayaları ve Kuvaterner yaşlı yamaç molozu ve alüvyonlardır.

2.1 Bölgesel Jeoloji

Çalışma alanının temelinde Menderes Masifi metamorfik kayaları yer almaktadır. Paleozoyik yaşlı Menderes Masifi metamorfik kayalarını gnayalar, şistler, metakuvarsitler ve mermerler oluşturmaktadır. Mermerler şistlerle uyumlu yer, yer geçişli mercek ve arakatkı konumundadır. Şistlerin alt seviyelerinde bulunan gnayalar bazı yerlerde şistlerin üzerine bindirme fayı ile yerleşmişlerdir.

Menderes Masifi'ne ait temel kayaçların üzerini çakıltaşı, kumtaşısı, çamurtaşısı ve kilitaşı ardalanmasından oluşan Neojen yaşlı kırıntılı tortullar uyumsuzlukla üstlenir.

Kuvaterner yaşlı alüvyon ve yamaç molozu birimleri en geç oluşuklar olup, tüm birimleri uyumsuzlukla örter (Şekil 2.1).



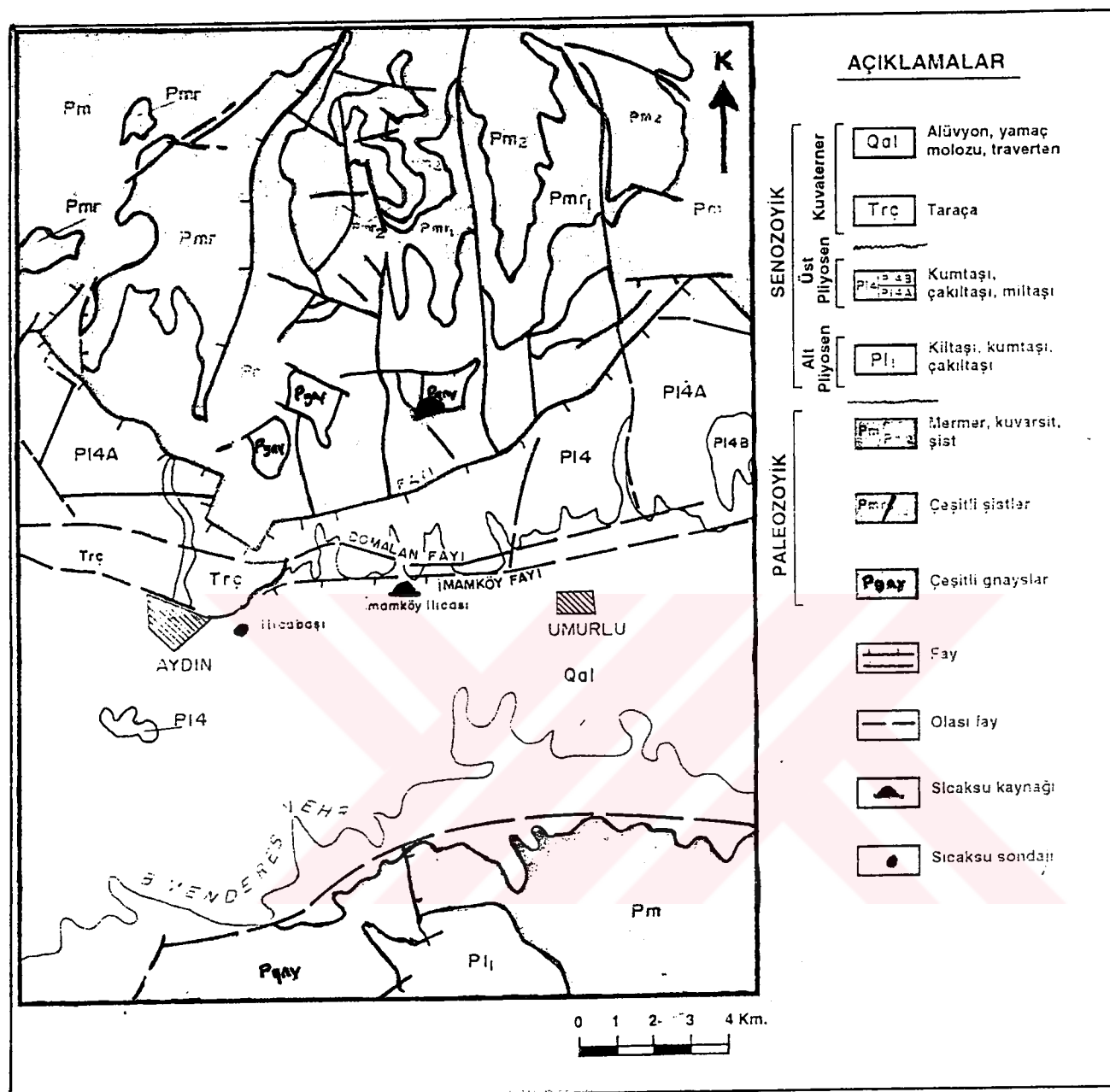
Şekil 2.1 Aydın III'ün genelleştirilmiş jeoloji haritası (Sarkaya, 1994' den değiştirilerek)

2.1.1 Aydın İlicabaşı ve İmamköy Jeotermal Alanının Jeolojisi

Aydın İlicabaşı ve Aydın İmamköy jeotermal alanlarının jeolojisi aynıdır. Bölgenin en yaşlı kayaları, Paleozoik yaşlı mikaşistlerdir. Mikaşistlerin bazı yerlerinde gnays blokları ile yer, yer kuvarsit ve mermere yüzlekleri mevcuttur.

Tersiyer tortulları olan çakıltaşı, kumtaşısı, miltaşı, kilitaşı birimleri diskordansla metamorfik temel üzerine oturlar. Bunlar Pliyosen yaşlı tortullardır. Çakıltaşları içerisinde gnays, şist, mermere ve metakuvarsit taneleri bulunmaktadır. Çeşitli boyutlardaki taneler kötü boyanmış ve kötü yuvarlaklılaşmışlardır. Altan üstte doğru kil, mıl, kum dan oluşmaktadır. Aydın Taraçaları (Trç) olarak isimlendirilirler ve devam ederler.

En üstte Kuvaterner yaşlı alüvyonlar gözlenmektedir (Şekil 2.2-3).



Şekil 2.2 Aydın İlçebası İmamköy jeotermal alanının jeoloji haritası
(Erişen ve dig., 1996' dan değiştirilerek).

P A L E O Z O Y İ K	S E N O Z O Y İ K	Ü st Sistem	Sistem	Seri	Şinge	LİTOLOJİ	AÇIKLAMA
Ku va ter ner				Qal			Alüvyon, yamaç molozu
				Trç			traverten
							uyumsuzluk
		Üst Pliyo sen	Pl4				Kumtaşı, çakıltaşı, miltaşı
			Pl4B				
			Pl4A				
		Alt Pliyo sen	Pl1				Kiltaşı, kumtaşı, çakıltaşı
							uyumsuzluk
			Pm				
			Pm2				Şist, metakuvarsit, mermel
			Pmr				
			1-2				Ceşitli şistler
			Pgny				Ceşitli gnayalar

Şekil 2.3 Aydın İlçebası İmamköy jeotermal alanının genelleştirilmiş kolon kesiti (Erişen ve dig., 1996' dan değiştirilerek)

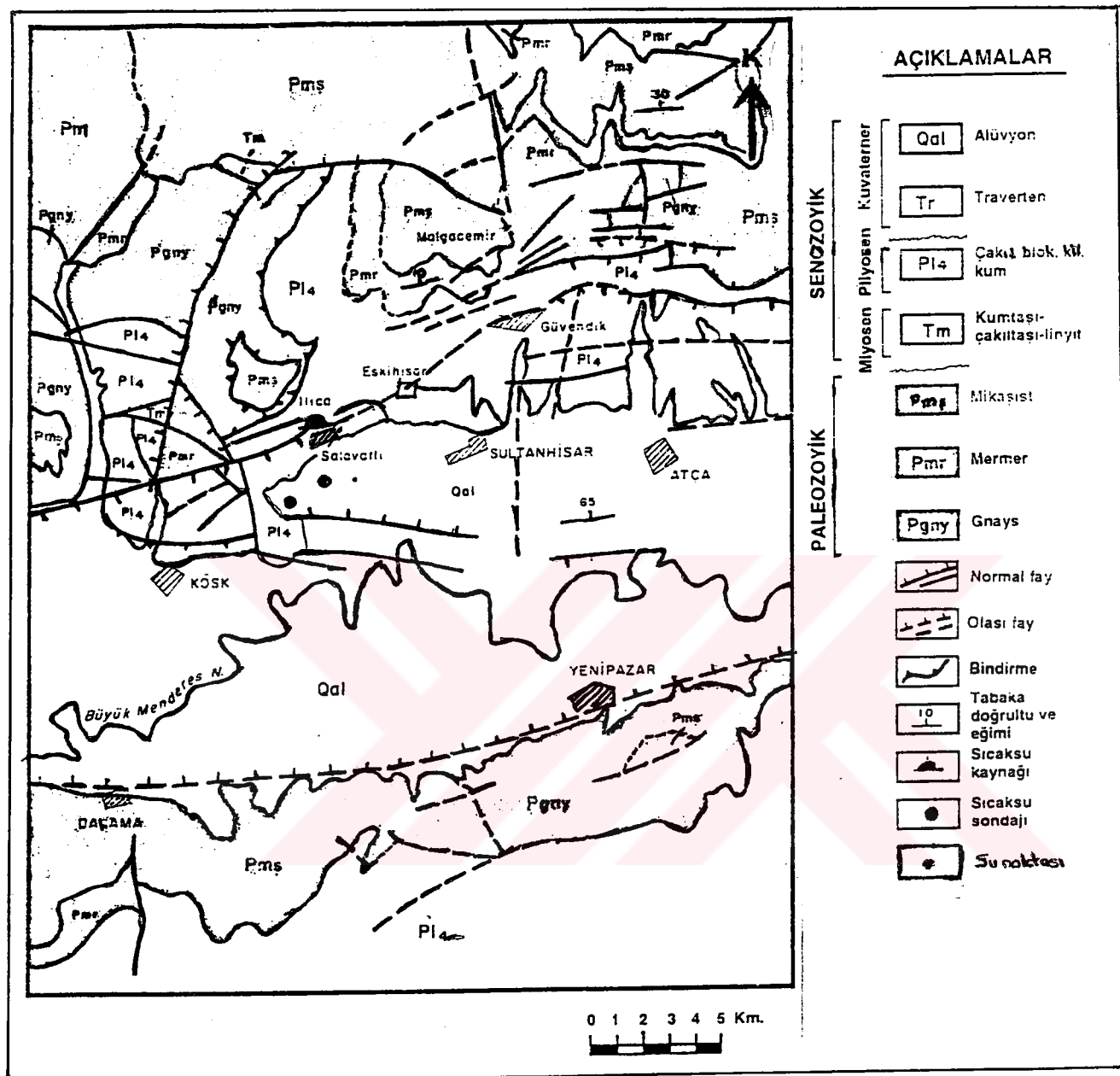
2.1.2 Aydın Sultanhisar Salavathı Jeotermal Alanının Jeolojisi

Aydın Sultanhisar Salavathı jeotermal alanı, Paleozoik yaşlı Menderes Masifi metamorfikleri ile Senozoyik yaşlı tortullardan ibarettir.

Paleozoik yaşlı, Büyük Menderes Grabeni' nin temelini oluşturan kristalen temel alttan üstte doğru şu şekilde sıralanmıştır. Gnayslar en alta yer alır ve feldspat, kuvars ve mika minerallerini içerirler. Mikasistler gnaysların üzerinde yer alırlar ve yer, yer mermerlerin üzerinde de gözlenirler. Mermerlerin üzerinde geçirimsiz oldukları için iyi bir örtü oluştururlar.

Senozoyik, Neojen ve Kuvaterner' de çökelen kayalar ile temsil edilirler. Neojen Orta Miyosen ve Pliyosen yaşlı çökellerden oluşur. Orta Miyosen metamorfik temel üzerine açısal uyumsuzlukla üstler ve iri metamorfik çakıllarla başlar ve üstte doğru kumtaşı, miltaşı ve kiltaşı seviyelerine geçer. Orta Miyosen' den sonra ikinci bir uyumsuzlukla Pliyosen göl çakılları gelir.

Kuvaterner' de Pliyosen çökelleri üzerine uyumsuz olarak gelen gevşek çimentolu, kumtaşı, konglomera ve çakıl, kum, kil ve mil karmaşığından oluşan alüvyon ve yamaç molozu gelişmiştir (Şekil 2.4-5).



Şekil 2.4 Sultanhisar Salavatlı jeotermal alanının jeoloji haritası

(Erişen ve diğ., 1996' dan değiştirilerek)

Üst Sistem	Sistem	Seri	Şınge	LİTOLOJİ	AÇIKLAMA
Kuva terner		Qal		Alüvyon, traverten
		Tr		uyumsuzluk
	Pliyo sen	P14		Çakıl, blok, kil, kum
	Miyo sen	Tm		Kumtaşısı, çakıltaşısı
			Pms	uyumsuzluk
			Pmr	Mikaşist
			Pgny	Mermer
				Gnayalar
					ÖLÇEKSİZ

Şekil 2.5 Aydin Sultanhisar Salavatlı jeotermal alanının genelleştirilmiş kolon kesiti (Erişen ve diğ., 1996' dan değiştirilerek)

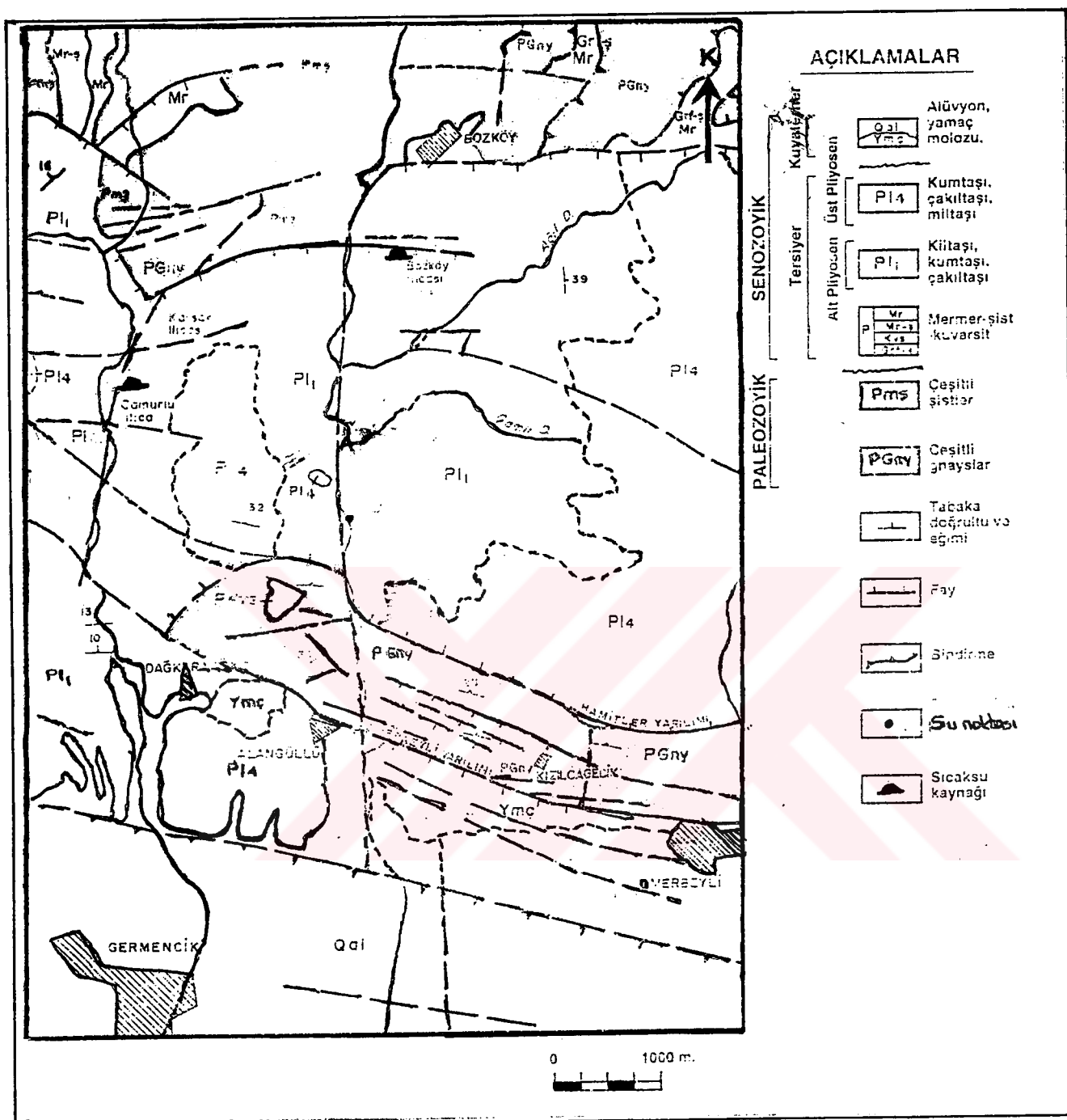
2.1.3 Aydın Germencik Ömerbeyli Jeotermal Alanının Jeolojisi

Bölgelin temelini Menderes Masifi metamorfikleri olarak adlandırılan Paleozoik yaşlı metamorfik birimler oluştururlar. Bunlar alttan üstte doğru gnays, mikaşist, mermer, kalkşist ardalanması şeklindedir. Bu temel üzerinde büyük bir stratigrafik boşluk bilinmektedir. Bu boşluk devresinde Menderes Masifin' deki tektonik gelişim olmuş, aşınma evresinden sonra ise Tersiyer sedimanları çökelmıştır.

Menderes Masifi metamorfiklerinin üzerine uyumsuz olarak Miyosen yaşlı çakıltaşısı, kumtaşı ile başlayıp kiltaşı, miltaşı ardalanması şekliyle devam eden tortullar yer alır. Pliyosen yaşlı çökeller açık gri renkli çakıltaşısı, kumtaşı, kiltaşı ardalanması ile üst Miyosen üzerindedirler. Ayrıca Pliyosen çökellerini kestiği belirlenen genç volkanitler, Pliyosen yaşlı dasit, Pliyo-Kuvaterner yaşlı andezit ve bazaltlar gözlenirler.

En üstte çok gevşek tutturulmuş Pliyo-Kuvaterner çökelleri bulunur. Bunlar sarımsı renkli, kötü boyanmalı, kaba iri bloklu çakılı elemanlardan oluşan gevşek tutturulmuş çakıltaşısı, kumtaşı ardalanmasından meydana gelmiştir.

Kuvaternerler alüvyon, yamaç molozu oluşturmaktadır (Şekil 2.6-7).



Şekil 2.7 Aydin Germencik Ömerbeyli jeotermal alanının genelleştirilmiş kolon kesiti (Erişen ve dig., 1996' dan değiştirilerek)

2.2 Paleozoik Yaşılı Kayalar

Çalışma alanında Paleozoik yaşılı kayalar metamorfik kayalardır. Gnays, şist, mermerler ve metakuvarsit birimlerinden oluşmaktadır.

2.2.1 GnaySLar

Çalışma alanının büyük bir bölümünü Menderes Masifi' nin temellinde yer alan gnaySLar oluşturmaktadır (Şekil 2.8). Dayanıklı ve belirgin formasyonlu olan gnaySLar içerisinde kuvars, feldispat ve mika mineralleri gözlenmektedir. Gözlü ve bantlı özellik gösteren gnaySLarın şistlerle olan dokanağı genellikle yanal ve düşey yönde geçişlidir ve bazı yerlerde faylıdır (Khayat, 1988).



Şekil 2.8 Aydin İmamköy kuzeyindeki ganaySLar içinde gözlenen metakuvarsit merceğinden görünüm

2.2.2 Şistler

Çalışma alanında Menderes Masifi' nin diğer bir kayacıdlarılar (Şekil 2.9). Çeşitli şistlerden oluşurlar. Bileşimlerine göre kuvars şist, kuvars muskovit şist, biyotit şist,

biyotit muskovit kuvars şist, muskovit klorit şist şeklinde ayrılabilirler. Ortaç dayanımlıdırlar ve değişik yönlerde gelişmiş belirgin şistozite gösterirler. Gnayaların üzerinde uyumlu ve geçişli bir dokanakla yer alan şistler bazı alanlarda daha sonra gelişen tektonik olaylar sonucunda eklem takımları, kıvrımlar ve faylar gibi yapısal elemanlar sunmuşlardır (Khayat, 1988).



Şekil 2.9 Aydın Sultanhisar Salavatlı kapıcısı çevresindeki şistlerden görünüm

2.2.3 Mermerler

Çalışma alanında ki mermerler şistlerin üzerinde geçişli ve uyumlu bir şekilde gözlenirler. Beyaz, gri, koyu gri renklerde olan mermerler bazı düzeylerde düzgün tabakalanma gösterirler (Khayat, 1988).

2.2.4 Metakuvarsitler

Çalışma alanında gözlenen metakuvarsitler beyaz, sarı ve açık sarı renklerde mercek ve arakatkı şeklinde gözlenirler (Khayat, 1988).

2.3 Senozoyik Yaşılı Kayalar

Paleozoik yaşılı kayalar üzerine uyumsuz olarak kilitası, kumtaşı, çakıltaşı ardalanmasından oluşan ve birbirleriyle geçiş gösteren Senozoyik yaşılı kırintılı tortullar yer alır.

2.3.1 Çakıltaşı Kumtaşı Kilitası Birimleri

Çalışma alanında çakıltaşı, kumtaşı ve kilitası birimleri ardalanmalı olarak gözlenmektedirler (Şekil 2.10). Yanal ve düşey yönde birbirleriyle geçişlidirler.

Çakıltaşları çapraz tabakalı, ortaç pekleşmiş, gnays, şist, kuvarsit ve mermerlerden oluşan taneler içermektedirler.

Kumtaşları orta kaba taneli, dayanıklı ve iyi katmanlıdırlar (Khayat, 1988).

Kilitşaları orta dayanıklı ve ince katmanlıdır. Çeşitli bitki kalıntıları içerirler (Khayat, 1988).



Şekil 2.10 Aydın İmamköy kuzeyi çakıltaşı kumtaşı kilitası ardalanmasından bir görünüm

2.3.2 Alüvyon ve Yamaç Molozu

Alüvyonlar çalışma alanlarında düz bir topografya sunarlar ve tarım için elverişlidirler. Büyük Menderes Ovasını meydana getirirler.



BÖLÜM 3

AYDIN İLİ JEOTERMAL ALANLARI VE HİDROJEOLOJİK ÖZELLİKLERİ

Bu bölümde kaya birimlerinin hidrojeolojik özellikleri ile Aydın İli jeotermal alanlarından bahsedilecektir. Ayrıca inceleme alanında DSİ ve MTA tarafından yapılan sondajlardan da bahsedilmiştir.

3.1 KAYA BİRİMLERİNİN HİDROJEOLOJİK ÖZELLİKLERİ

Çalışma alanındaki kaya birimleri su içeriklerine göre ayrı, ayrı incelenmiştir.

3.1.1 Gnays Birimi

Menderes Masifi' nin çekirdeğinin oluşturan gnays birimi genel olarak geçirimsiz olmakla birlikte çok fazla çatlaklı olması nedeniyle akifer özelliği taşımaktadır. Gnays birimindeki suların karakterinin oldukça iyi olması ve içme suyu özelliği taşıması nedeniyle bu birimlerden içme suyu temin edilmektedir (Khayat, 1988).

3.1.2 Şist Birimi

Çalışma alanında gnayslarla birlikte görülen temel kayalarındandır. Geçirimsiz kaya özelliği taşımaktadırlar. Ancak eklemli ve çatlaklı olan şistler eklem ve çatlakları boyunca su geçirimliliğini sağlarlar (Khayat, 1988).

3.1.3 Mermer Birimi

Çalışma alanında Paleozoik yaşılı birimler içinde hazne kaya özelliği taşımakla birlikte, jeotermal kaynaklarında kökenini oluştururlar. Akifer özelliği taşıyan bu birimin geçirimsiz şistlerle olan dokanağı kaynakları belirler. Mermer birimi içerisinde erime çatlakları, mağralar ve karstik boşluklar görülmektedir (Khayat, 1988).

3.1.4 Çakıltaşı, Kumtaşı, Kilitaşı Birimleri

Çalışma alanında Senozoyik çakıltaşı, kumtaşı, kilitaşı birimleriyle temsil edilmiştir. Çakıltaşı birimi gevşek tutturulmuş, ortaç pekleşmiş özelliği ile akifer karakteri taşımaktadır. Kumtaşı, kilitaşı ve silttaşısı ile ardalanma göstermesi özelliği ile akifer olma özelliği daha zayıftır. Kilitaşı ise geçirimsiz özelliği ile çakıltaşı ve kumtaşısı arasında geçirimsiz örtü kaya durumundadır (Khayat, 1988).

3.1.5 Alüvyon

Çalışma alanı içerisinde akifer özelliği taşıyan en önemli birimdir. Sulama sularının büyük bir bölümü alüvyondan temin edilmektedir. DSİ' nin alüvyonda açmış olduğu bir çok kuyu vardır. Bunlardan bazılarının debileri 15-35 l/s olduğu görülmektedir (Tablo 3.1).

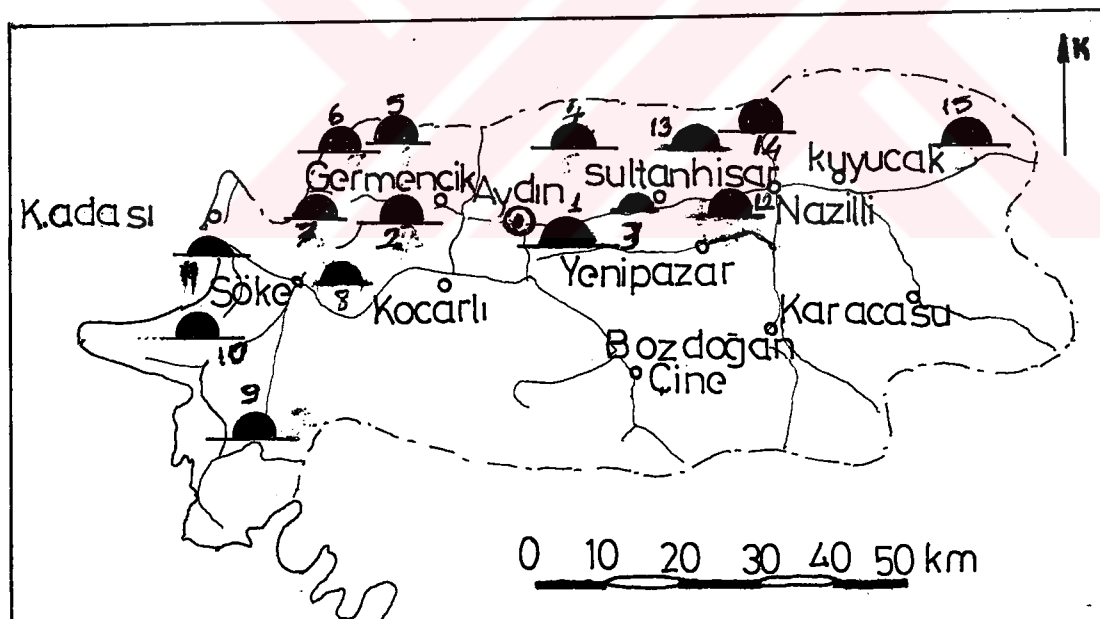
Tablo 3.1 Alüvyonda D.S.İ' nin açmış olduğu sondaj kuyuları (DSİ, 2000)

MEVKİ	DERİNLİK (m)	DEBİ (l/s)	pH	Ec	SERTLİK (Fr)
Aydın Merkez Testaş	100	33,04	6,5	1700	98
Aydın İmamköy araştırma	80	15	7,3	770	45
Sultanhisar sulama koop.	100	30	6,8	610	45
Aydın Erbeyli İncir araştırma	70	22,21	7,4	1200	56
İncirliova Akçeşme Köyü arş.	70	13,42	7,8	920	35

3.2 AYDIN İLİ JEOTERMAL ALANLARI

Bu bölümde Aydın İlçebası , Aydın İmamköy, Aydın Sultanhisar Salavatlı ve Aydın Germencik Ömerbeyli jeotermal alanları ayrıntılı olarak incelenmiştir.

Aydın İli Türkiye' de jeotermal enerji potansiyeli bakımından en yüksek sıcaklığı sahip jeotermal sahalara sahiptir. Aydın Germencik Ömerbeyli Jeotermal sahası 230 °C ' ye varan en zengin jeotermal sahadır. Bunun yanında Aydın İlçebası jeotermal alanı, Aydın İmamköy jeotermal alanı, Aydın Sultanhisar Salavatlı jeotermal alanı, Aydın Söke Sazlıköy jeotermal alanı, Aydın Söke Atburgazı jeotermal alanı, Aydın Kuşadası Davutlar jeotermal alanı, Aydın Kuşadası İtfaiye kuyusu çevresi jeotermal alanı, Aydın Germencik Bozköy kaplıcaları, Aydın Germencik çamur kaplıcaları, Aydın Germencik Ortaklar Gümüş kaplıcaları, Aydın Sultanhisar Güvendik kaplıcaları, Aydın Sultanhisar Malgaçemir alanı, Aydın Nazilli Gedik kaynağı, Aydın Kuyucak Ortakçı kaynaklarının bulunduğu sahalar vardır (Şekil 3.1).



Şekil 3.1. Aydın İli jeotermal alanları (Kilkış ve diğ., 1996)

- 01 Aydın İlçebası jeotermal alanı
- 02 Aydın Germencik Ömerbeyli jeotermal alanı
- 03 Aydın Sultanhisar Salavatlı jeotermal alanı

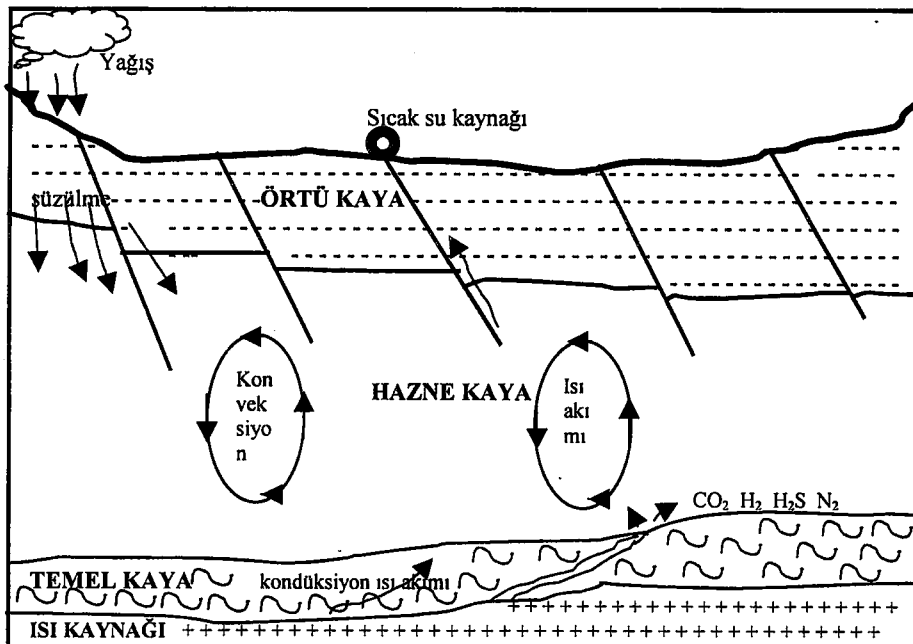
- 04 Aydın İmamköy jeotermal alanı
- 05 Aydin Germencik Bozköy kaplıcaları
- 06 Aydın Germencik çamur kaplıcaları
- 07 Aydın Germencik Ortaklar Gümüş kaplıcaları
- 08 Aydın Söke Sazlıköy jeotermal alanı
- 09 Aydın Söke Atburgazı jeotermal alanı
- 10 Aydın Kuşadası Davutlar jeotermal alanı
- 11 Aydın Kuşadası İtfaiye Kuyusu Çevresi jeotermal alanı
- 12 Aydın Sultanhisar Güvendik kaplıcaları
- 13 Aydın Sultanhisar Malgaçemir alanı
- 14 Aydın Nazilli Gedik kaynağı
- 15 Aydın Kuyucak Ortakçı kaynakları

3.2.1 Aydın İli Jeotermal Alanlarının Oluşumu

Menderes Masifi metamorfik kayaçlarından olan gnays ve kuvars şist gibi kırıklı kayalar ile karstik mermerler ile bazı alanlarda Neojen yaşılı çakıltaşları jeotermal sistemlerin haznesini oluştururlar. Neojen yaşılı kiltaşı ve çamurtaş gibi geçirimsiz kayalar da örtü kaya özelliğindedir. Graben tektoniğine bağlı olarak yüzeye yaklaşmış mağma ısı kaynağını oluşturur.

Batı Anadolu' da açılma tektoniğine bağlı olarak gelişen ve derinlere kadar etkili olan kırık zonları ile sınırlanmış bulunan grabenler içinde tektonik yer, yer volkanik faaliyetlere bağlı jeotermal sistemler oluşmuştur. Derinlere kadar inen kırık zonlarının bulunduğu graben sistemlerinde yüksek entalpili alanlar gelişmiştir.

Büyük Menderes Grabeni' ndeki jeotermal alanlar devirli jeotermal sistem özelliğindedir. Bu jeotermal sistemlerde meteorik sular fay hatları ve tektonik kırıklar boyunca yeraltına süzülürler. Süzülen bu sular graben tektoniğine bağlı olarak yüzeye yaklaşan mağma tarafından ısınılır. Sivilarda yoğunluk farkından dolayı ortaya çıkan konveksiyon ısı akımları ile ısınan sular tektonik hatlar boyunca tekrar yükselerek, yeryüzüne ulaşırlar (Şekil 3.2).



Şekil 3.2 Jeotermal sistemlerin oluşum modeli (Filiz ve挖., 1998)

3.2.2 Aydın İlicabaşı Jeotermal Alanı

Aydın İlicabaşı Aydın İli' nin doğusundadır (Şekil 3.3). Bu jeotermal alanın devamı Aydın İmamköy jeotermal sahasıdır. Aydın İlicabaşı sahasında dört adet sondaj yapılmıştır (Tablo 3.2). Aydın DSİ tarafından yapılan sıcak su sondajları 09/30434 nolu sondaj toplam 200 m delinmiştir. Soğuk su sondajı şeklinde teçhiz edilmiş olması ayrıca gerçek rezervuarın delinmemiş olmasından dolayı gayzer tipinde üretim yapılmıştır. Kuyu teçhizi yeterli olmaması nedeni ile 09/30434-B sondajı yapılmıştır. Yine 200 m delinen kuyu tam teçhizli olmaması ve gerçek rezervuarın delinmemiş olmasından dolayı gaz lifting sistemli yüzey sularını üreten kuyu yüzey borularında oluşan kabuklaşma nedeni ile kuyu üretimden kesilmiştir.

Tablo 3.2 Aydın İlicabaşı jeotermal alanında açılan sondajlar

(Erişen ve挖., 1996).

Kuyu No	Tarih	Derinlik (m)	Sıcaklık (°C)	Debi (l/s)	Üretim Şekli
09/30434(DSİ)	---	200	100	---	Gayzer türü tikanmış
09/30434-B(DSİ)	---	200	100	---	Gayzer türü tikanmış

Tablo 3.2 devam

Ayter-1	1989	471,25	84,5	5-7	Gayzer türü tikanmiş
Ayter-2	1989	355	101,5	2	Gayzer türü tikanmiş

Aydın İlçebası'nda MTA tarafından 1989 yılında sıcak su arama kuyusu açılmıştır. (Şekil 3.4). 417,25 mt delinen ilk sondajda 84,5 °C sıcaklık ölçülmüştür. Açılan ikinci sondaj 355 m delinmiş 101,5 °C sıcaklık ve 2 l/s debi ölçülmüştür.

**Şekil 3.4 Aydın İlçebasında açılan Ayter -1 sondajından bir görünüm**

Ayter -1 kuyu bilgi formu (Kılkış ve diğ., 1996) ;

Sondaj no: Ayter-1

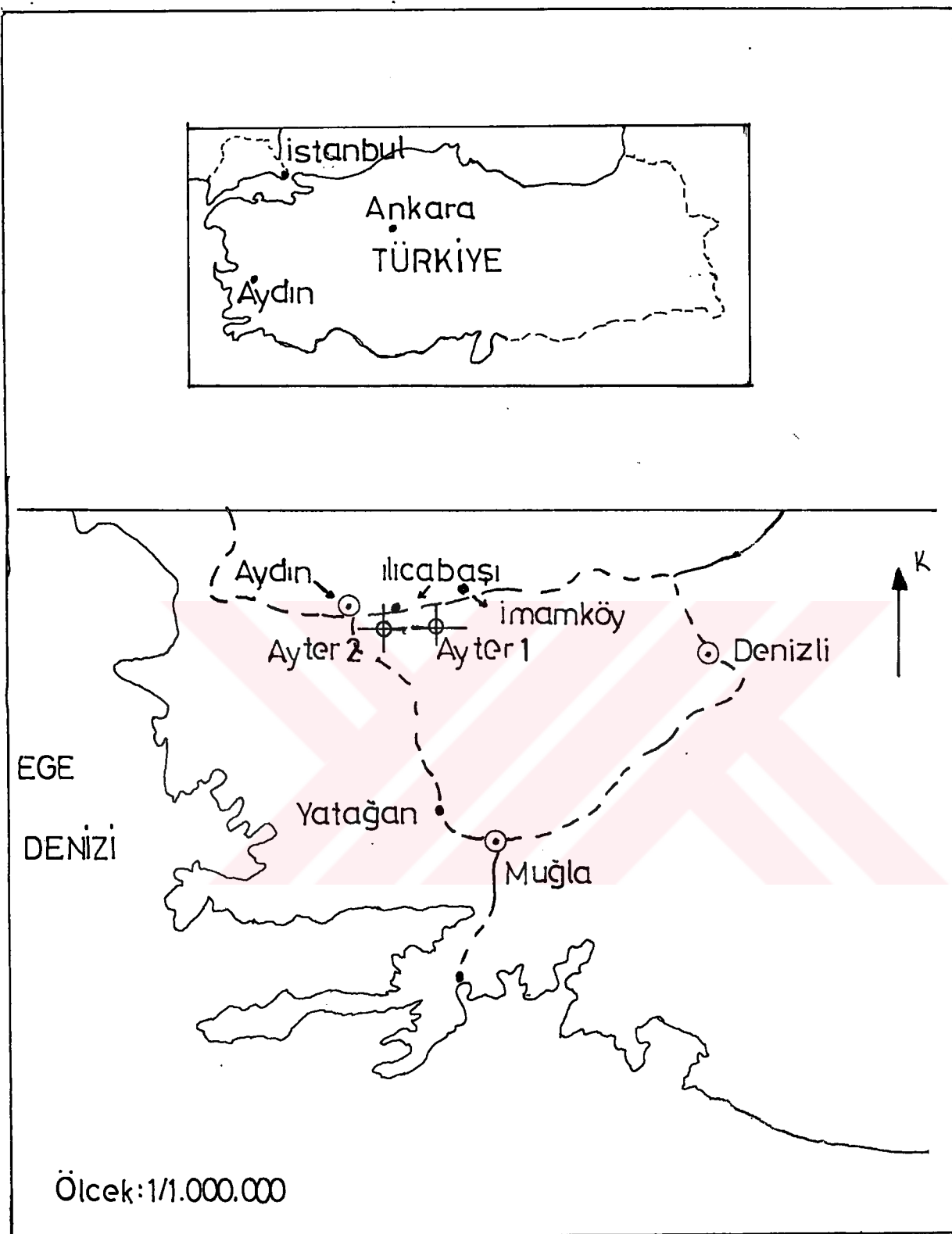
Kuyu Tipi: Sıcak su arama kuyusu

Kule: F-2500-405

Koordinatlar: X; 51407,17 Y; 50236,56 Z; 47

Başlama Tarihi: 09.08.1989

Bitiş Tarihi: 17.09.1989



Şekil 3.3 Aydın İlicabaşı jeotermal alanında açılan sondajların yer bulduru haritası (Kılıkış ve diğ., 1996)

Derinlik: 471,25 m

Kuyu Teçhizi: 0,00-46,00 m 13 - 3/8" kapalı boru

46,00-221,00 m 9 - 5/8" kapalı boru [Üretim]

209,00-221,00 m 6 - 5/8" kapalı boru

221,00-469,00 m 6 - 5/8" filtreli

13 - 3/8" ve 9 - 5/8" kapalı borular dışarıdan çimento ile sabitleştirilmiştir.

Kuyu Ağzı: 10" çapında 16 atm basınçta dayanıklı vana monte edilmiştir.

Kuyu Dibi Sıcaklığı: Maksimum termometre ile ölçülmüş olup, 84,5 °C' dir.

Üretim Tipi: Gayzer tipinde sıcak su, buhar, gaz tipinde üretim yapılmaktadır.

Kullanım Şekli: Ayter- 1 kuyusunda yoğun gaz gelişisi ve birikimi kuyu ağzında yüksek basınç meydana getirmektedir. Bu basınç değerleri 15-20 atm arasındadır.

Kuyu başına monte edilmiş ana vananın veya ana vana altına monte edilmiş yan çıkış vanasının gaz çıkışına imkan verecek şekilde açık bırakılması, ayrıca vana içerisindeki kireçlenmeyi önlemek amacıyla arasında küçük vananın veya ana vananın kapatılması gereklidir

Ayter-2 kuyu bilgi formu (Kilkış ve diğ., 1996) ;

Sondaj no: Ayter-2

Kuyu Tipi: Sıcak su arama kuyusu

Kule: F-2500-405

Koordinatlar: X; 51622,61 Y; 50211,47 Z; 47

Başlama Tarihi: 14.10.1989

Bitiş Tarihi: 10.11.1989

Derinlik: 355 m

Kuyu Teçhizi: 0,00-100,00 m 9 - 5/8" kapalı boru [çimentolu]

0,00-8,00 m 6 - 5/8" kapalı boru

8,00-264,00 m 6 - 5/8" filtreli boru

9 - 5/8" kapalı borular üretim borusu olup çimento ile sabitleştirilmiştir.

Kuyu Ağzı: 10" çapında 16 atm basınçta dayanıklı vana monte edilmiştir. Ayrıca 2" supul vana monte edilmiştir.

Kuyu Dibi Sıcaklığı: 101,5 °C Thermocouple ölçümü

Üretim Tipi: Gayzer tipinde sıcak su, buhar, gaz tipinde üretim yapılmaktadır.

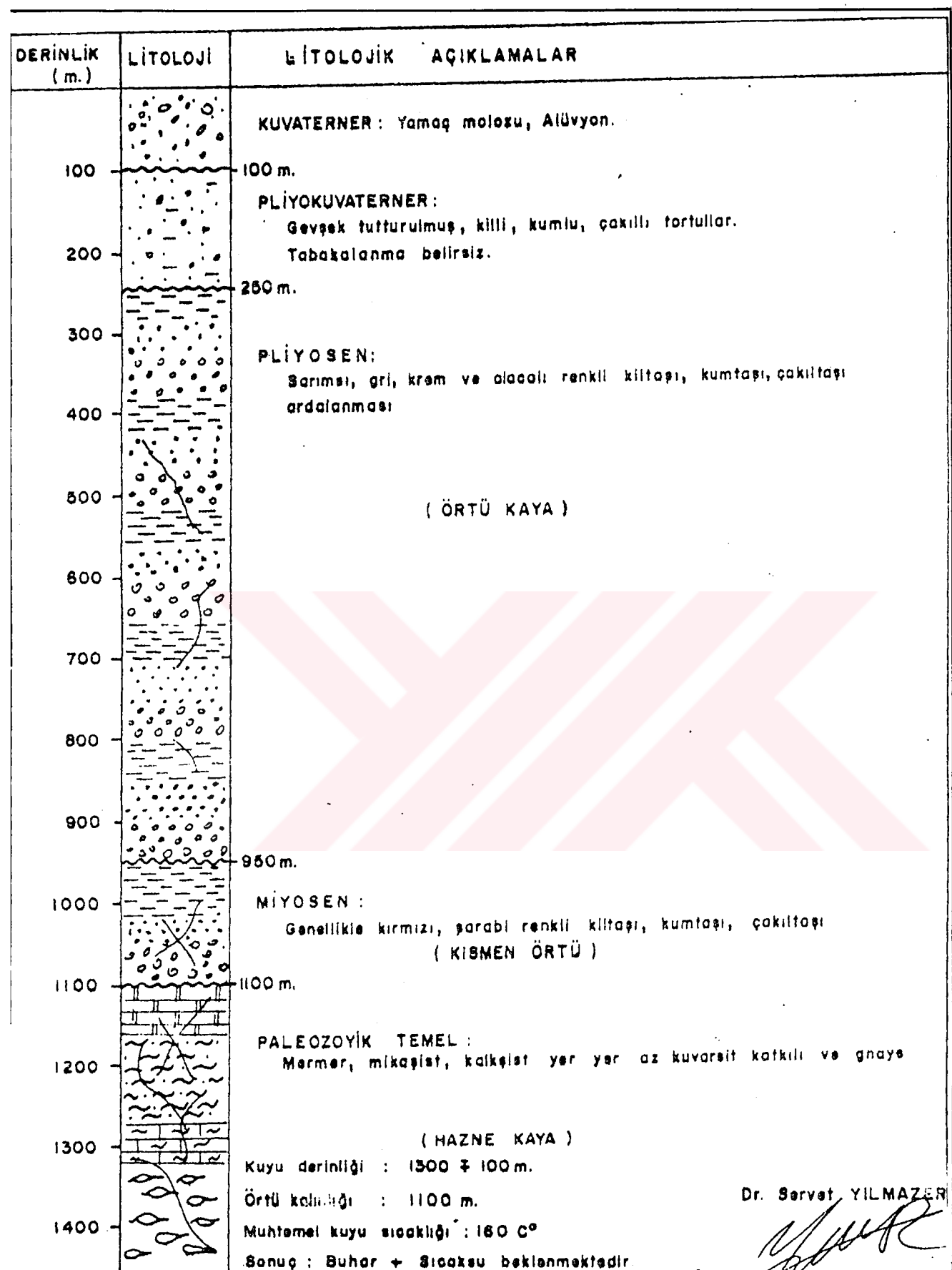
Kullanım Şekli: Ayter- 2 kuyusunda yoğun gaz gelişи ve birikimi kuyu ağzında yüksek basınç meydana getirmektedir. Bu basınç değerleri 15-20 atm arasındadır.

Kuyu başına monte edilmiş ana vananın veya ana vana altına monte edilmiş yan çıkış vanasının gaz çıkışına imkan verecek şekilde açık bırakılması, ayrıca vana içerisindeki kireçlenmeyi önlemek amacıyla arasında küçük vananın veya ana vananın kapatılması gereklidir

3.2.3 Aydın İmamköy Jeotermal Alanı

Aydın İmamköy jeotermal alanı Aydın İli' nin doğusundadır ve Aydın İlçabası jeotermal alanının devamıdır. Aydın İmamköy sahasında iki kaynak vardır. Birisi İmamköy'ün kuzeyinde, diğeri de Nardere kaynağıdır. Aydın İmamköy kaynakları çok düşük debili, düşük sıcaklıklı 35,5-38,5 °C kaynaklardır. Fay zonundan boşalan bir kaynak olması metamorfik temele yakın yüzeylenmesi ve sahanın üst boşalım bölgesinde yer alan kaynağın metamorfiklerden gelen soğuk su karışımı olması nedeni ile düşük ıslılı olması doğaldır.

Bu alanda açılan araştırma kuyuları vardır (Şekil 3.5-6). Bunlar İmamköy ve Yılmazköy araştırma araştırma kuyularıdır. İmamköy araştırma kuyusu 1300 m delinmiş ve 160 °C sıcaklık ölçülmüştür. Yılmazköy araştırma kuyusu 1100 m delinmiş aynı sıcaklık tespit edilmiştir.



Dr. Servet YILMAZER

Şekil 3.5 Aydın İmamköy (İ-1) araştırma kuyusu muhtemel logu (Tikır, 2000)

DERINLIK m.	LİTOLOJİ	LİTOLOJİK AÇIKLAMALAR
I		Yamaç molozu, Alüvyon, KUVATERNER
100	60 m.	PLİYOKUVATERNER Gevşek tutturılmış, killi kumlu çakılı tortullar. Tabakalanma belirsiz
200	200 m.	
300		PLİYOSEN
400		Sarımsı, gri, kremlaçalı pembe renkli kilitası, kumtaşı, çakılıtaşı ardalanmalı tortullar (Pl 3)
500		(ÖRTÜ KAYA)
600		
700	700 m.	MİYOSEN Genellikle kırmızı şarabi renkli kilitası, kumtaşı çakılıtaşı
800	800 m. (KISMEN ÖRTÜ KAYA)	
900		PALEOZOYİK TEMEL
1000		Mermer, mikaşist, kalkşist, yer yer az kuvarsitşist ve gnoys
1100		(HAZNE KAYA)
1200		

Kuyu Derinliği : 1100 ± 100 m.

Örtü Kalınlığı : 800 m.

Muhtemel kuyu sıcaklığı: 160°

Sonuç: Buhar + sıcaksu beklenmektedir.

Dr. Servet YILMAZER

Şekil 3.6 Aydin Yilmazkoy(Y-1) araştırma kuyusu muhtemel logu

(Tikir, 2000)

3.2.4 Aydın Sultanhisar Salavatlı Jeotermal Alanı

Aydın Sultanhisar Salavatlı Jeotermal Alanı Aydın İli' nin doğusunda yer alır. Salavatlı kasabasının içerisinde halen işletilen 38 °C sıcaklıkta 0,5 l/s debili hamam tesislerinde bulunan kaynaklardır (Şekil 3.7). Sahada 1987-1988 yıllarında yapılan sondaj çalışmaları vardır. Bunlar AS-1 ve AS-2 nolu derin jeotermal araştırma kuyularıdır (Şekil 3.8, Tablo 3.3). Yapılan sondajlarda 172 °C sıcaklıklı 300-330 ton/saat üretim debili rezervuarın varlığı ortaya çıkarılmıştır.

**Tablo 3.3 Aydın Sultanhisar Salavath Jeotermal Alanında açılan sondajlar
(Erişen ve diğ., 1996)**

Kuyu No	Tarih	Derinlik (m)	Sıcaklık (t °C)	Debi (l/s)	Üretim Şekli
AS-1	1987	1510	167	93,8	A
AS-2	1987	962	172	---	---



Şekil 3.7 Aydın Sultanhisar Salavath kaplicasından bir görünüm



Şekil 3.8 Aydın Sultanhisar Salavatlı jeotermal sahası içinde yapılan AS-1 nolu sondaj kuyusundan bir görünüm

Aydın Salavatlı-1 Jeotermal Kuyusu Bilgi Formu (Kilkış ve diğ., 1996);

Sondaj No : Aydın Sultanhisar

Mevkii : Salavatlı

Kuyu No : AS-1

Kuyu Tipi : Jeotermal enerji araştırma kuyusu

Kule Tipi : 2 DH 75 A

Koordinatları : X;93365,37 Y;96555,19 Z;131,50 vana üstü

Son Derinlik : 1510

Başlama Tarihi : 06.04.1987

Bitiş Tarihi : 20.07.1987

Zaman : 103 gün

Tabandan Rotary Bushing Yüksekliği : 2,80 m

Kule Sahibi : MTA

Muhafaza Boruları : 20'' kapalı [kondüktör borusu]

0,00-85,50 m 13 3/8'' kapalı [ara muhafaza borusu]

0,00-263,76 m 9 5/8'' kapalı üretim borusu

0,00-716,50 m 8 1/2'' open hole [üretim borusu]

Sonuç : Buhar, sıcak su, gaz 167 °C sıcaklık debi 337,8 ton/hr akışkan

Aydın Köşk Yavuzköy (AS-2) Jeotermal Kuyusu (Kırkış ve diğ., 1996) ;

Sondaj No : Aydın Sultanhisar

Mevkii : Yavuzköy

Kuyu No : AS-2

Kuyu Tipi : Jeotermal enerji araştırma kuyusu

Kule Tipi : 2 DH 75 A

Koordinatları : X;92475,69 Y;95529,59 Z;124,38 rotary tablası

Son Derinlik : 962

Başlama Tarihi : 03.10.1987

Bitiş Tarihi : 21.01.1988

Zaman : 110 gün

Tabandan Rotary Bushing Yüksekliği : 2,80 m

Kule Sahibi : MTA

Muhafaza Boruları : 20'' yüzey muhafaza borusu [kapalı]

0,00-59,36 m 13 3/8'' kapalı [ara muhafaza borusu]

0,00-299,51 m 9 5/8'' kapalı üretim borusu

0,00-767,78 m 8 1/2'' open hole [üretim borusu]

767,78-962 m

Sonuç : Buhar, sıcak su, gaz 172 °C sıcaklık debi 330,0 ton/hr akışkan

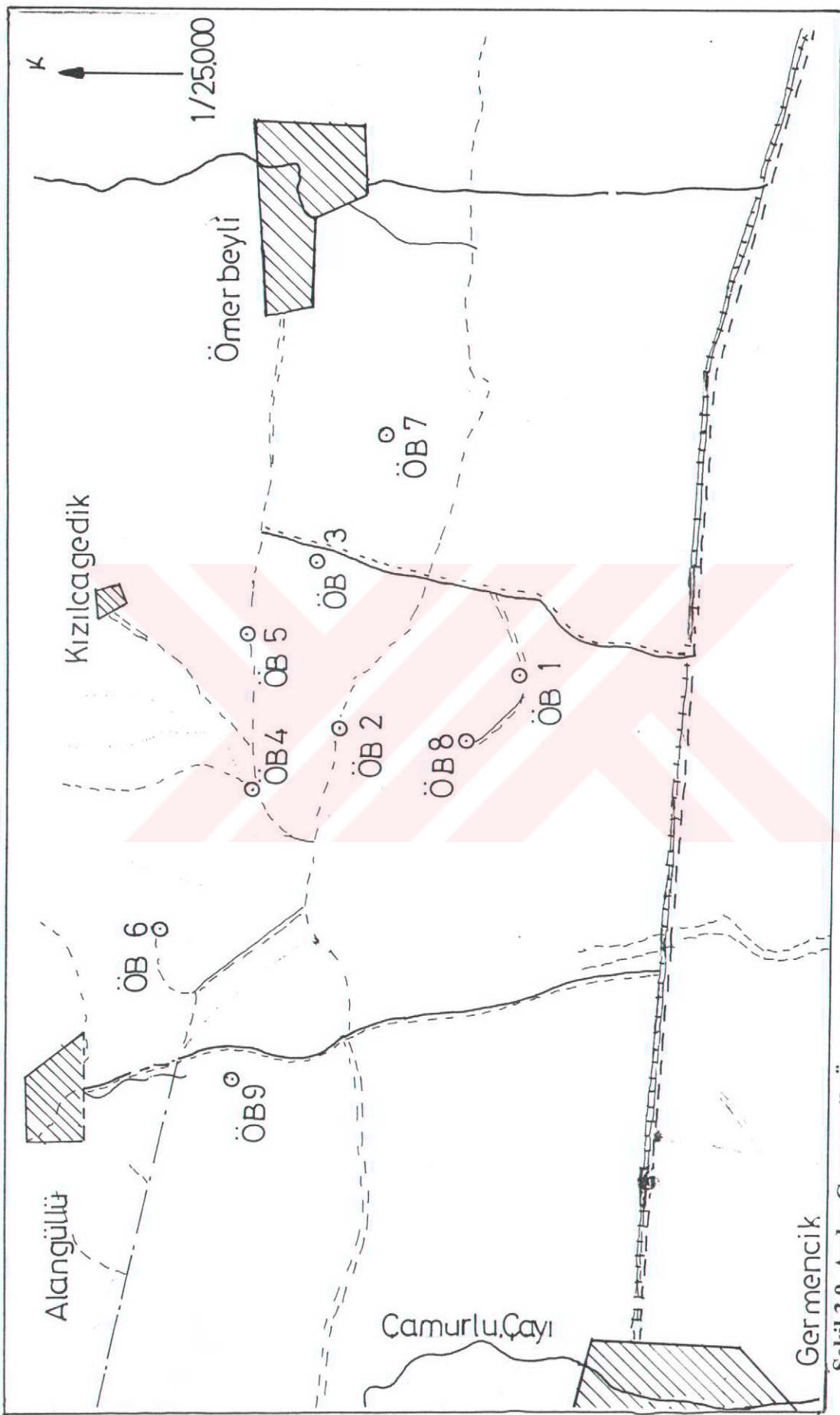
3.2.5 Aydın Germencik Ömerbeyli Jeotermal Alanı

Aydın Germencik Ömerbeyli Jeotermal Alanı Aydın İli' nin batısında yer alır. Bozkoy kaplıcası 59 °C sıcaklıkta, 1,5-2 l/s debili, çamur kaynağı ise 65 °C sıcaklıkta ve 2,5 l/s debili kaynaklardır. Germencik Ömerbeyli jeotermal sahasında

açılmış dokuz adet derin sondaj kuyusu bulunmaktadır (Şekil 3.9-10-11). Germencik Ömerbeyli jeotermal alanında yoğun sıcak su kaynağı ve sahasının sıcaklığının yüksek olduğu bilinmektedir (Tablo 3.4).

**Tablo 3.4 Germencik Ömerbeyli Jeotermal Alanında açılmış sondajlar
(Erişen ve diğ., 1996)**

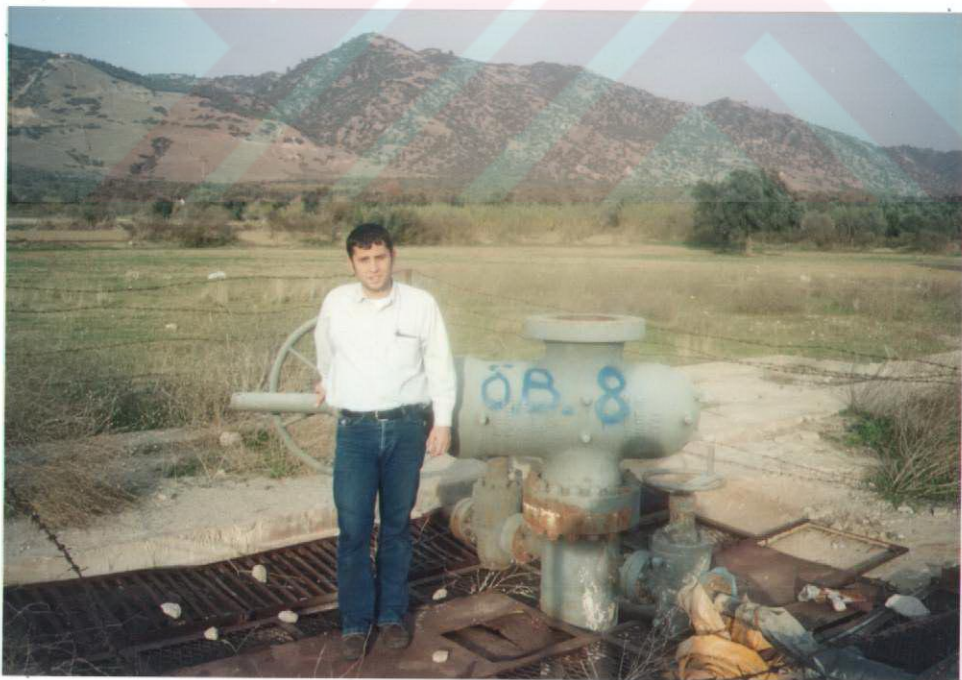
Kuyu No	Tarih	Derinlik (m)	Sıcaklık (°C)	Debi (l/s)	Üretim Şekli
ÖB-1	1982	1000	203	Gayzer tipi	Gayzer tipi
ÖB-2	1982	975,50	231	25	4,5-7 kg/cm ²
ÖB-3	1983	1196,70	230	65	13-15 kg/cm ²
ÖB-4	1984	285	213	180-100	15 kg/cm ²
ÖB-5	1984	1302	221	65	6 bar
ÖB-6	1984	1100	221	140	15 bar
ÖB-7	1985	2398	203	65	2,8 kg/cm ²
ÖB-8	1986	200	219,87	120	5,5 kg/cm ²
ÖB-9	1986	1464,70	223,8	145	7 kg/cm ²



Sekil 3.9 Aydin Germencik Ömerbeyli jeotermal alanı içinde açılan sondajların yer bulduru haritası (Kilkış ve diğ., 1996' dan değiştirilerek)



Şekil 3.10 Aydın Germencik Ömerbeyli jeotermal alanı içinde açılan ÖB-1 nolu sondaj kuyusundan bir görünüm



Şekil 3.11 Aydın Germencik Ömerbeyli jeotermal alanı içinde açılan ÖB-8 nolu sondaj kuyusundan bir görünüm, arka fonda Menderes Masifi metamorfikleri

BÖLÜM 4

AYDIN İLİ JEOTERMAL ALANLARININ HİDROJEOKİMYASAL ÖZELLİKLERİ

Bu bölümde çalışma alanında bulunan sıcak su ve soğuk sularдан alınan su örneklerinin kimyasal analizleri yapılmış ve daha önce yapılan analizlerle karşılaştırmaları yapılmıştır.

Ayrıca alandaki suların içme, sulama ve endüstride kullanma özellikleri yapılan kimyasal analizlerden yola çıkılarak ayrıntılı olarak incelenmiştir.

4.1 TEMEL JEOKİMYASAL HESAPLAMALAR

Bu çalışmada 8 sıcak su ve 2 soğuk su noktası olmak üzere toplam 10 su noktası pilot olarak seçilmiş ve bu noktalardan örnek alınarak kimyasal analizleri yapılmıştır. Bu su noktaları ve kimyasal özellikleri çalışmanın ilerleyen bölgelerinde belirtilecektir. Yapılan bazı temel jeokimyasal tanımlamalar ve kimyasal formüller Şahinci, 1991' den alınmıştır.

Kimya analizlerinde, yeraltı sularında en çok bulunan Anyonlar Cl^- , $\text{SO}_4^{=}$ HCO_3^- , $\text{CO}_3^{=}$ ve Katyonlar Na^+ , K^+ , Ca^{++} , Mg^{++} değerleri ile Si, Li ve B değerleri litrede miligram (mg/l) olarak bulunmuştur. Ayrıca bu noktaların pH ve elektriksel iletkenlikleri de ölçülmüştür.

Su içindeki iyonlar, litrede gram veya miligram olarak tanımlanır. Sudaki iyonlar milyonda bir anlamına gelen "ppm" olarak gösterilir. Litrede miligram ile ppm arasındaki bağıntı şöyledir.

$$\text{ppm (mg/kg)} = (\text{mg/l}) / \text{suyun özgül ağırlığı}$$

Suyun özgül ağırlığı çoğunlukla 1 olarak kabul edildiğinden ppm ile mg/l eş anlamlı olarak kullanılmaktadır. Bazı kimyasal incelemelerde iyonların su içindeki ağırlıkları yerine kimyasal tepkimeye giren miktarların saptanması istenir. Kimyasal tepkimelerde iyonların miktarı litrede miliekivalan (mek/l) ve molarite (mol/l) olarak tanımlanabilir.

$$\text{mek/l} = (\text{mg/l}) / (\text{P/Z}) \quad \text{P} = \text{İyonun atom ağırlığı}$$

$$\text{Molarite} = (\text{mg/l}) / \text{P} \cdot 10^{-3} \quad \text{Z} = \text{İyon değerliği}$$

Sudaki anyon ve katyonların mek/l toplamları birbirine eşit olmalıdır. Anyon ve katyonların kimyasal analizlerinde yapılabilecek hata aşağıdaki bağıntı ile bulunur.

$$e = 100 \cdot (rp - rn) / (rp + rn)$$

$$rp = \text{Sudaki toplam katyon miktarı (mek/l)}$$

$$rn = \text{Sudaki toplam anyon miktarı (mek/l)}$$

e, % 2' den küçük veya eşit olmalıdır. Bu çalışma kapsamında tarafımızdan yapılan analizlerin bir çoğu kabul edilebilir hata sınırı içindedir. Bir kısmında oldukça fazla hata çıkmaktadır. Bu durum kimyasal analiz sırasında tüm iyonları tahlil edilememiş olması, analiz sırasında yapılan hatalar, suyun alındığı tarihten analize kadar geçen süre içinde bir kısım iyonların çökelmesi, kullanılan aletlerin yeterince hassas olmaması ve benzeri nedenlerden kaynaklanmaktadır.

4.1.1 İyonlaşma Gücü (I)

Büyüklük olarak iyonların her birinin stokiyometrik moleritesinin (C) yarısı ile iyon değerliği (z) karesinin çarpımına eşittir (Şahinci, 1991).

$$I = 0,5 (C_1 Z_1^2 + C_2 Z_2^2 + \dots + C_n Z_n^2) = 0,5 C_i Z_i$$

Eğer iyonların mek/l değerleri alınırsa iyonlaşma gücü şöyle bulunur;

$$I = [(rNa^+ / 2) + (rK^+ / 2) + (rCl^- / 2) + (rHCO_3^- / 2) + rCa^{++} + rMg^{++} + rSO_4^{=}] \times 10^{-3}$$

Bağıntıda r = mek/l' dir.

4.1.2 İyon Etkinliği (AC)

Tuzların suda çözünürlüğünün iyonlararası kimyasal tepkime hızlarını etkileyen nedenlerden biridir. İyon etkinliği ile bir iyonun tahlil edilen derişimi (C) arasında şu bağıntı vardır (Şahinci, 1991).

$$AC = F \times C$$

AC = İyon etkinliği (gerçek derişim)

F = İyon etkinlik katsayısı

C = Görünür derişin (molarite)

4.1.3 İyon Etkinlik Katsayısı (F)

İyon etkinlik katsayısı boyutsuzdur ve genellikle birden küçük olduğunda gerçek derişim, görünür derişimden küçüktür. Böylece çözeltilerde bulunan iyonlar, derişimlerinden çok etkinlikleri gerçek derişimleri ile tepkimeleri denetlerler.

İyon etkinlik katsayısının saptanması için değişik bağıntılar verilmiştir. Bunlardan bazıları şunlardır;

a. Debye Hückel Bağıntısı :

$$\log F = -AZ_i^2 \sqrt{I} \quad \dots \quad (I < 0,01 \text{ için})$$

Genişletilmiş Debye Hückel bağıntısı;

$$\log F = -AZ_i^2 \sqrt{I} / (1 + Ba) \quad \dots \quad (I < 0,1 \text{ için})$$

b. Gültenberg Bağıntısı :

$$\log F = -AZ_i^2 \sqrt{I} / (1 + \sqrt{I}) \quad \dots \quad (I < 0,1 \text{ için})$$

c. Davies Bağıntısı :

$$\log F = -AZ_i^2 (\sqrt{I} / 1 + \sqrt{I}) - 0,2 I \quad \dots \quad (I < 0,5 \text{ için})$$

İyon etkinlik katsayılarının (F) hesabı için iyonlaşma gücü (molarite olarak) 0,1' den düşük olan sularda **Debye Hückel** ($\log F = -A Z_i^2 I^{0,5} / 1 + Br_0 I^{0,5}$) bağıntısı kullanılır. A ve Br₀ sabitleri sıcaklık ve basınçla bağlı parametreler olup, 25 °C ve 1 atm basınç koşullarında 0,51 ve 0,33 değerlerine sahiptir. Ancak hesaplamalar kaynak çıkış sıcaklığına göre yapılmalıdır.

İyonlaşma gücü 0,1 ile 0,5 arasında olan suların iyon etkinlik katsayısının hesabında ise **Davies bağıntısı** ($\log F = -A Z_i^2 (I^{0,5} / 1 + I^{0,5} - 0,2 I)$) kullanılır (Filiz, Tarcan ve Gemici, 1998).

I = İyonlaşma gücü

F = İyon etkinlik katsayısı

Z = Değerlik

A = Sıcaklığa bağlı sabittir.

Suda çözülmüş iyonların yüzde değerleri anyonlar ve katyonlar olmak üzere ayrı, ayrı ele alınmıştır.

4.2 İNCELEME ALANINDA ÖRNEK ALINAN SU NOKTALARI

Ayter-1 (Aydın-IIcabaşı)

Aydın İlî' nin hemen doğusundadır. M.T.A tarafından 1989 yılında açılan 471,25 m delinen kuyudan 5-7 l/s debi ve 84,5 °C (kuyu dibi) sıcaklık saptanmıştır. Yapılan sondajlarla bu bölgede ki sıcak suların yüzey suları oldukları saptanmış daha derine inildiği taktirde ana rezervuara yönelik iyi verilen olabileceği ve daha yüksek sıcaklıkların beklenebileceği tahmin edilmektedir. Alınan su örneğinin yüzey sıcaklığı sıcaklığı 45 °C' dir ve debisi düşüktür (Şekil 4.1, Tablo 4.1). pH: 7,03 , iletkenlik 7430 $\mu\text{mho}/\text{cm}$ olan su sodyum, bikarbonat, sülfat fasiyes tipindedir. Bor içeriği 52,25 mg/l ile yüksek değerdedir. Kaplıca tesisleri yoktur ve şu an bölge halkı tarafından yıkamlar için kullanılmaktadır.



Şekil 4.1 Ayter-1 nolu su noktasından bir görünüm

Ayter-2 (Aydın-IIcabaşı)

Aydın İlî' nin doğusunda Ayter-1 sondajının 100 m kadar batısındadır (Şekil 4.2, Tablo 4.2). Ayter 2 sondajı yine M.T.A tarafından 1989 yılında açılmış, 355 m

delinmiş ve 2 l/sn debi tespit edilmiştir. Bu sondaj kuyusundan çıkan verilerde Ayter 1 verilerini desteklemektedir. Kuyu dibi sıcaklığı 101,5 °C' e, yüzey sıcaklığı 55 °C ölçülmüştür. Debisi düşüktür. Çok fazla doygun kalsiyum karbonat içerdikleri için çok seri yüzey kabuklaşmaları oluşmuştur. Ayter 2 sondaj kuyusunun çevresinde bu kabuklaşmalar belirgin bir şekilde gözlenebilmektedir (Şekil 4.3). pH : 6,91 , iletkenlik 5400 $\mu\text{mho}/\text{cm}$ olan su sodyum, bikarbonat, sülfat fasiyes tipindedir. Bor içeriği 49,25 mg/l ile yüksek değerdedir. Çevredeki halk yıkamak için bu suları kullanmaktadır.



Şekil 4.2 Ayter-2 nolu su noktasından bir görünüm



Şekil 4.3 Ayter-2 nolu su noktasında görülen kabuklaşmalar

Sarısı (Sultanhisar-Salavatlı)

Sultanhisar Salavatlı kasabası içerisinde alınan bu su örneği halk tarafından sarısı olarak adlandırılmaktadır(Şekil 4.4, Tablo 4.3). 27°C sıcaklığı, $0,25 \text{ l/s}$ debisi vardır. pH:6,1 , iletkenlik $1731 \mu\text{mho/cm}$ olan su kalsiyum, bikarbonat, sülfat fasiyes tipindedir. $0,48 \text{ mg/l}$ bor içermektedir.

Salavatlı Çeşmesi (Sultanhisar-Salavatlı)

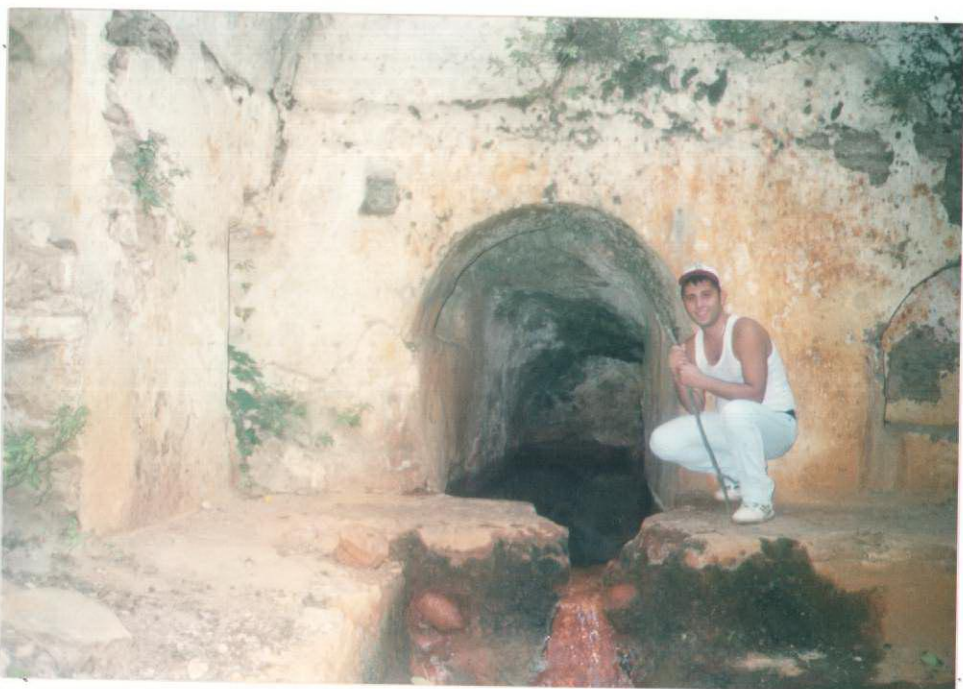
Salavatlı' ya gelmeden yol güzergahı üzerindeki çeşmeden alınan su örneğidir (Tablo 4.4). Alüvyon içerisinde edir. pH:7,52 , iletkenlik $967 \mu\text{mho/cm}$ olan su magnezyum, kalsiyum, bikarbonat, sülfat fasiyes tipindedir.



Şekil 4.4 Salavathı sarısudan bir görünüm

İmamköy Kuzeyindeki Kaynak

İmamköy ilicasının kuzeyindeki kaynaktır (Şekil 4.5, Tablo 4.5). Osmanlılardan veya daha eski çağlardan kalma kubbe görülmektedir. Gnayslardan çıktıığı gözlenen kaynağı sıcaklığı 37°C ve debisi $0,5 \text{ l/s}$ ' dir. Kaynağın eski zamanlardaki çıkış gözeleri ile alterasyon ürünleri çevrede görülebilmektedir (Şekil 4.6). pH : 6,43 , iletkenlik $1709 \mu\text{mho/cm}$ olan su kaynağı magnezyum, kalsiyum, bikarbonat, sülfat fasiyes tipindedir. Bor içeriği $0,48 \text{ mg/l}$ ' den daha azdır.



Şekil 4.5 İmamköy kuzeyindeki kaynaktan bir görünüm



Şekil 4.6 İmamköy kuzeyindeki kaynağı, eski kaynak çıkış gözeleri ve alterasyon ürünleri

İmamköy İlçesi 1. Kaynak

Aydın İli' ne 6 km uzaklıkta ve İmamköy' ün yaklaşık 1 km kadar kuzeyindedir. Neojen' den çıkan kaynağın sıcaklığı 37°C ve debisi 2 l/s' dir. 1968 yılında açılan bir sondaj sonrası ortaya olmuş olup, İmamköy kuzeyindeki kaplıca buraya taşınmıştır. Mevcut konumıyla kendiliğinden (artezyen) akmakta olup, iki ayrı hamam tesisi olarak işletilmektedir (Şekil 4.7, Tablo 4.6). pH: 6,9 , iletkenlik: 1244 $\mu\text{mho}/\text{cm}$ olan su magnezyum, kalsiyum, bikarbonat, sülfat fasiyes tipindedir. Şu an ilkel tesislerde kaplıca tedavilerinde kullanılmaktadır. Böbrek taşları ve ağrılı hastalıklar için şifalıdır. Ayrıca romatizma, mayasıl, ülser ve siyetik gibi hastalıklara da iyi geldiği söylenmektedir.



Şekil 4.7 İmamköy İlçesi 1. kaynağın tesislerinden görünüm

İmamköy İlçesi 2. Kaynak

Bu kaynakta 1. kaynak gibi Neojen' den gelmektedir. 35°C sıcaklığındadır (Şekil 4.8, Tablo 4.7). pH:6,43 , iletkenlik: 1841 $\mu\text{mho}/\text{cm}$ olan su sodyum, kalsiyum, magnezyum, bikarbonat, sülfat fasiyes tipindedir. Bu kaynakta ilkel tesislerde kaplıca tedavilerinde kullanılmaktadır.



Şekil 4.8 İmamköy İlçesi 2. kaynağın tesislerinden görünüm

Bozköy Kaplıca Kaynağı (Germencik)

Aydın İli' nin batısında yer alan Germencik İlçesi' nin kuzeyinde ve ilçeye 10 km uzaklığındadır. Yeni yapılmış modern bir tesis bulunmaktadır. 59°C sıcaklığında olan kaynağın debisi $1-2 \text{ l/s}$ dir (Şekil 4.9, Tablo 4.8). pH: 6,86 , iletkenlik $7020 \mu\text{mho/cm}$, olan su sodyum, bikarbonat, klor fasiyes tipindedir. Bor içeriği $59,75\text{mg/l}$ ile yüksek değerdedir. Romatizma ve ağrılı hastalıklarla, siyatik ve böbrek taşlarına da iyi geldiği bilinmektedir. Banyo yolu ile damar açıcı ve yataştırıcı özelliklere sahiptir. Aynı işletmeye ait olan yerde iki adet derin sondaj kuyusu bulunmaktadır.

Çamur Kaynağı

Bozköy kaplıcası yolu üzerindedir. Kaynağın sıcaklığı 65°C dir (Şekil 4.10, Tablo 4.9). pH :7,4 , iletkenlik: $6890 \mu\text{mho/cm}$ olan su sodyum, bikarbonat, klor fasiyes tipindedir. Bor içeriği $59,75 \text{ mg/l}$ ile yüksek değerdedir. Suyun çıktığı yerde oluşan çamurun ağrılı hastalıklara iyi olduğu söylenmektedir.



Şekil 4.9 Bozköy (Germencik) kaplıcası kaynağından görünüm



Şekil 4.10 Çamur kaynağından(Germencik) bir görünüm

Hıdırbeyli Göleti Yüzey Suyu

Germencik İlçe sınırları içinde yer alan göletten alınan su örneğidir (Tablo 4.10). pH : 8,6 , iletkenlik 1975 $\mu\text{mho}/\text{cm}^2$ dir. Sodyum, klor, magnezyum,bikarbonat fasiyes tipinde olan gölet suyunda 7,26 mg/l bor bulunmaktadır. Bor oranının yüksek olması çevredeki sıcak suların göletin sularına karşıyor olabilme olasılığı ile açıklanabilir.

Yorum

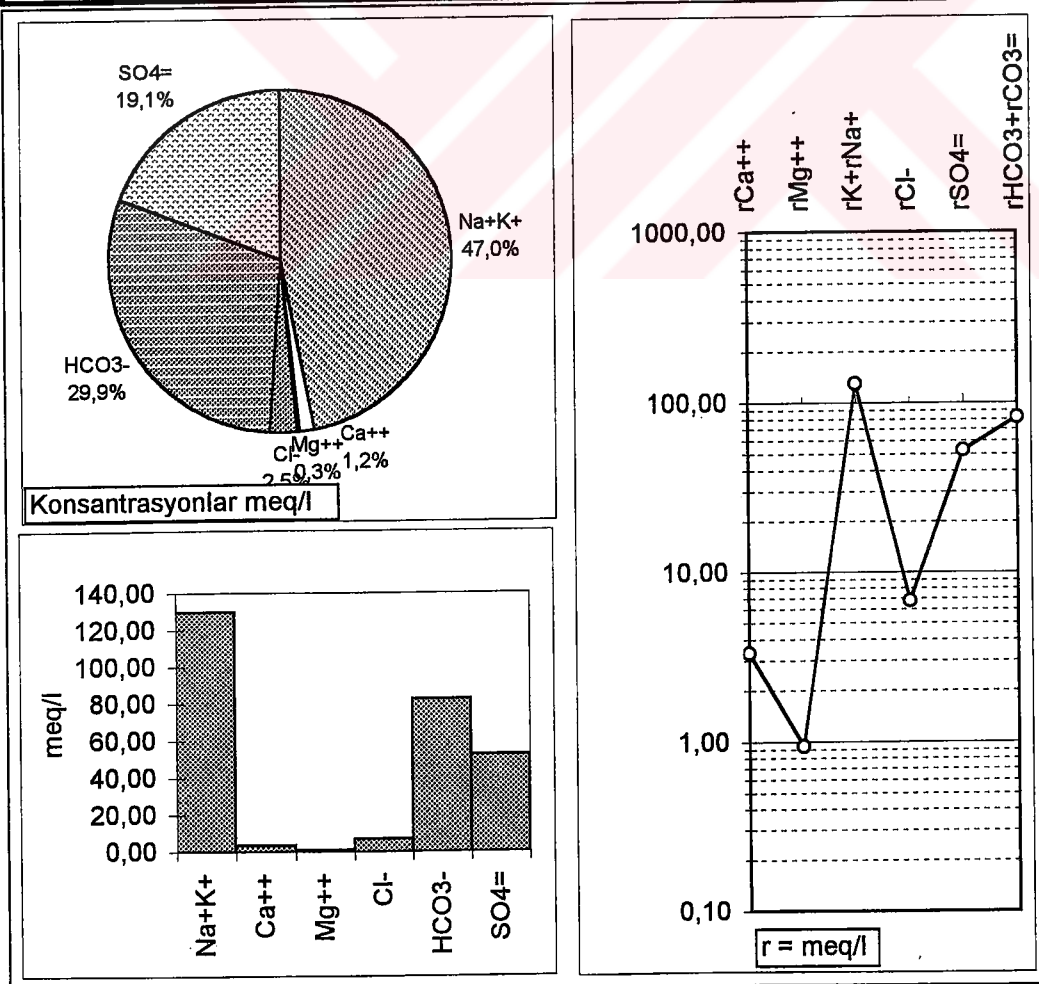
İnceleme alanlarında yapılan kimyasal analizler tablo 4.11' de verilmiştir. Bu tablo ile karşılaştırmalar yaptığımızda görülen farklılıkların sebebinin analizlerin yapımında farklı standartlar kullanılması ile açıklanabilir.

Yapılan kimyasal analizlerin geçmiş yıllarda yapılan analizlerle olan farklılıkları Ayter 1 ve Ayter 2 su noktaları için Erişen ve diğ., 1996 örneklerinin kuyu dibinden alınan örnekler ile yapıldığını, bu çalışmada suların yüzeyden alınan su örnekleri ile yapıldığından kaynaklanıyor olması ile açıklanabilir. İmamköy 1. ve 2. kaynaklarının ise İÜ Tıp Fak., 1975 kimyasal analizler ile karşılaştırıldığında büyük bir uyum söz konusudur. Bu suların sıcaklıklarını aynen koruduğu ve sıcaklıklarında bir değişimin olmadığı görülmektedir. pH'ları, iletkenlikleri ve iyon değerlerinde büyük benzerlikler görülmektedir. Ancak İmamköy 2. kaynağının 1971' den bu yana sodyum değerinde büyük bir artışın olduğu görülmektedir.

Sonuç olarak; geçmiş yıllarda yapılan kimyasal analizler ile bu çalışmada yapılan kimyasal analizlerdeki farklı sonuçlar, her yıl değişen teknik olanaklar ve analizlerin yapımı sırasındaki kişisel hatalar ile açıklanabilir.

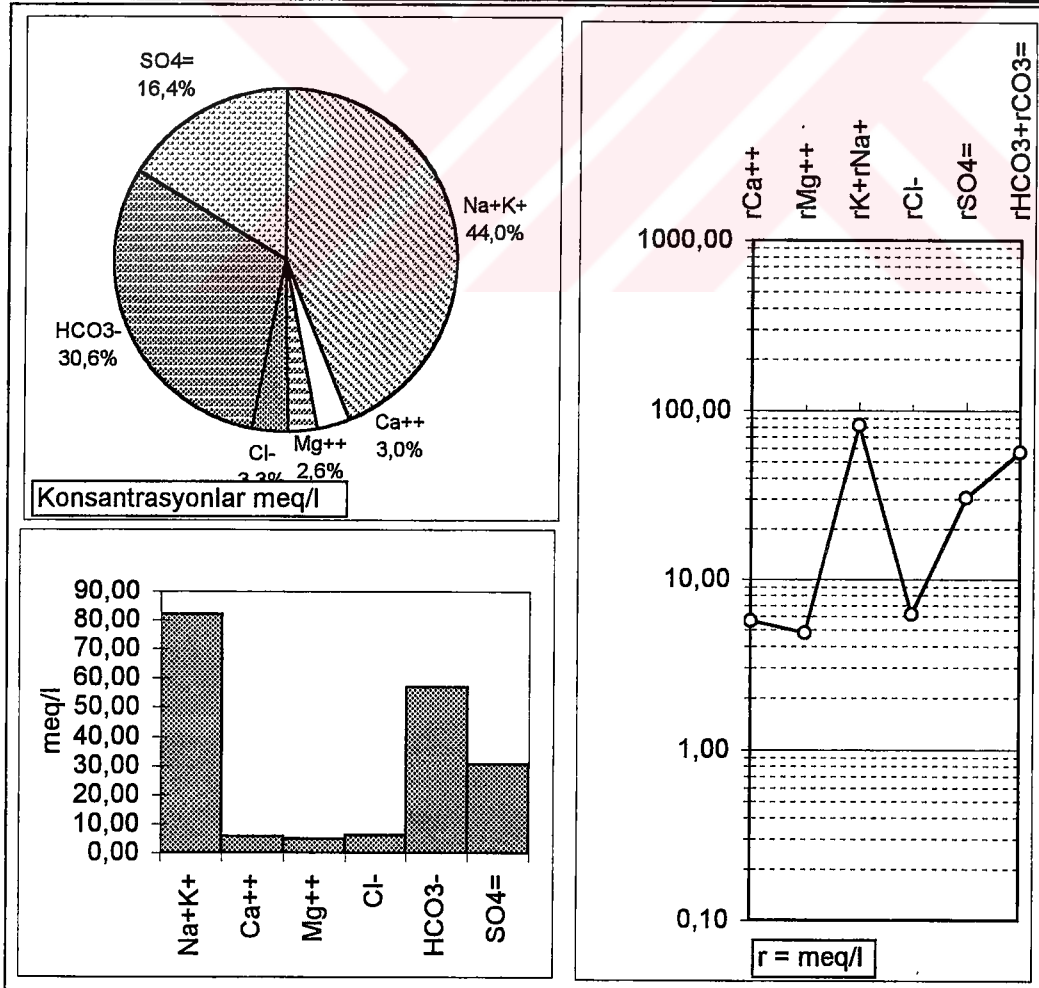
Tablo 4.1 Ayter-1 su noktasının kimyasal özellikleri

Örnek Adı: Ayter -1				°C :	45	pH(-logH)	7,03
Örnekleme Tarihi : 13.12.2000				Lab. :	D.E.Ü.Jeo	EC(µmho/cm)	7430
İYON	mg/l	meq/l	% meq/l	% mg/l	C (mol/l)	.5CZ ²	F
Na ⁺	2867	124,71	93,16	91,4	0,12471	0,0624	0,72
K ⁺	191	4,89	3,65	6,1	0,00489	0,0024	0,70
Ca ⁺⁺	67	3,33	2,49	2,1	0,00167	0,0033	0,32
Mg ⁺⁺	11	0,94	0,70	0,4	0,00047	0,0009	0,38
Cl ⁻	240	6,76	4,77	3,1	0,00676	0,0034	0,70
HCO ₃ ⁻	5026	82,40	58,15	64,5	0,08240	0,0412	0,72
SO ₄ ⁼	2522	52,53	37,07	32,4	0,02627	0,0525	0,27
Toplam Katyon Miktarı (meq/l)	133,869				Toplam Katyon Miktarı (mg/l)	3135,9	
Toplam Anyon Miktarı (meq/l)	141,698				Toplam Anyon Miktarı (mg/l)	7788,0	
Toplam İyon Miktarı (meq/l)	275,567				Toplam İyon Miktarı (mg/l)	10923,9	
İyonlaşma Gücü (mol/l)	0,166				% e (Hata Yüzdesi)	-2,84	
SAR (Sodyum Ad. Oranı) (%)	85,342				Sertlik (Fr)	21,35	
rCl / (rSO ₄ +rHCO ₃) Oranı	0,050				rCa/rMg Oranı	3,56	
SIc (Kalsit Doygunluk İndeksi)	0,635				SIj(Jips Doygunluk İndeksi)	-0,82	
SID(Dolomit Doygunluk İndeksi)	0,491				LogPCO ₂ (CO ₂) Kısımlı Basıncı	-0,40	
Fo (Köpürme Katsayısı)	8113,3				Si (mg / l) Li (mg/l) : 8,59	81,80	
Hidrokimyasal fasiyes tipi: Na-HCO ₃ -SO ₄				B ⁺⁺⁺ (mg / l)			52,25



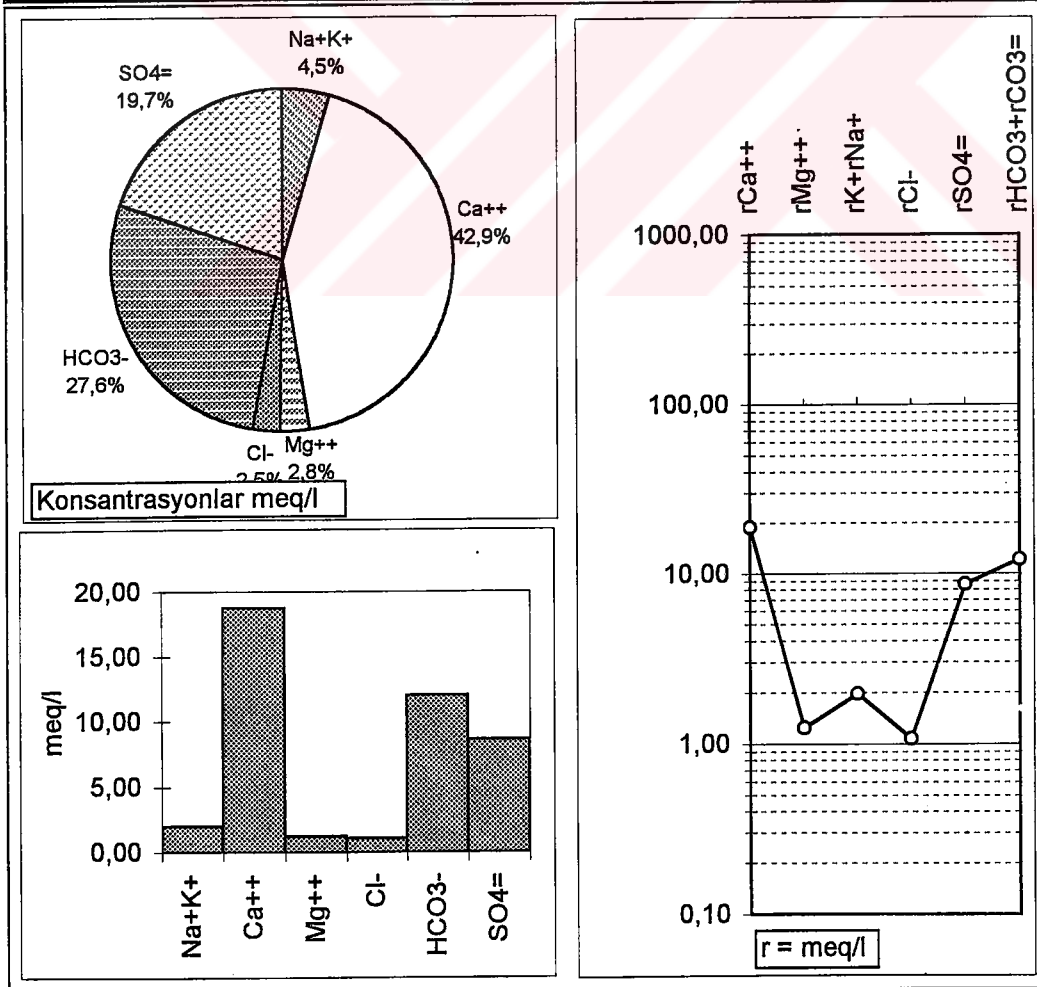
Tablo 4.2 Ayter-2 su noktasının kimyasal özellikleri

Örnek Adı: Ayter-2		°C :	55	pH(-logH)	6,91
Örnekleme Tarihi : 13.12.2000		Lab. :	D.E.Ü.Jeo	EC($\mu\text{mho}/\text{cm}$)	5400
İYON	mg/l	meq/l	% meq/l	% mg/l	C (mol/l) .5CZ ² F AC
Na ⁺	1789	77,82	84,18	84,3	0,07782 0,0389 0,74 0,0578
K ⁺	161	4,14	4,47	7,6	0,00414 0,0021 0,72 0,0030
Ca ⁺⁺	114	5,67	6,13	5,4	0,00283 0,0057 0,36 0,0010
Mg ⁺⁺	59	4,82	5,21	2,8	0,00241 0,0048 0,40 0,0010
Cl ⁻	220	6,20	6,61	4,3	0,00620 0,0031 0,72 0,0045
HCO ₃ ⁻	3477	57,00	60,76	67,3	0,05700 0,0285 0,74 0,0423
SO ₄ =	1470	30,61	32,63	28,4	0,01531 0,0306 0,30 0,0047
Toplam Katyon Miktarı (meq/l)		92,440	Toplam Katyon Miktarı (mg/l)	2122,5	
Toplam Anyon Miktarı (meq/l)		93,815	Toplam Anyon Miktarı (mg/l)	5166,5	
Toplam İyon Miktarı (meq/l)		186,256	Toplam İyon Miktarı (mg/l)	7289,0	
İyonlaşma Gücü (mol/l)		0,114	% e (Hata Yüzdesi)	-0,74	
SAR (Sodyum Ad. Oranı) (%)		33,982	Sertlik (Fr)	52,44	
rCl / (rSO ₄ +rHCO ₃) Oranı		0,071	rCa/rMg Oranı	1,18	
SIc (Kalsit Doygunluk İndeksi)		0,642	SIj (Jips Doygunluk İndeksi)	-0,73	
SID (Dolomit Doygunluk İndeksi)		0,733	LogPCO ₂ (CO ₂) Kısımlı Basıncı	-0,42	
Fo (Köpürme Katsayıları)		5147,2	Si (mg / l) Li (mg/l) : 8,33	77,90	
Hidrokimyasal fasiyes tipi: Na-HCO ₃ -SO ₄		B ⁺⁺⁺ (mg / l)		49,25	



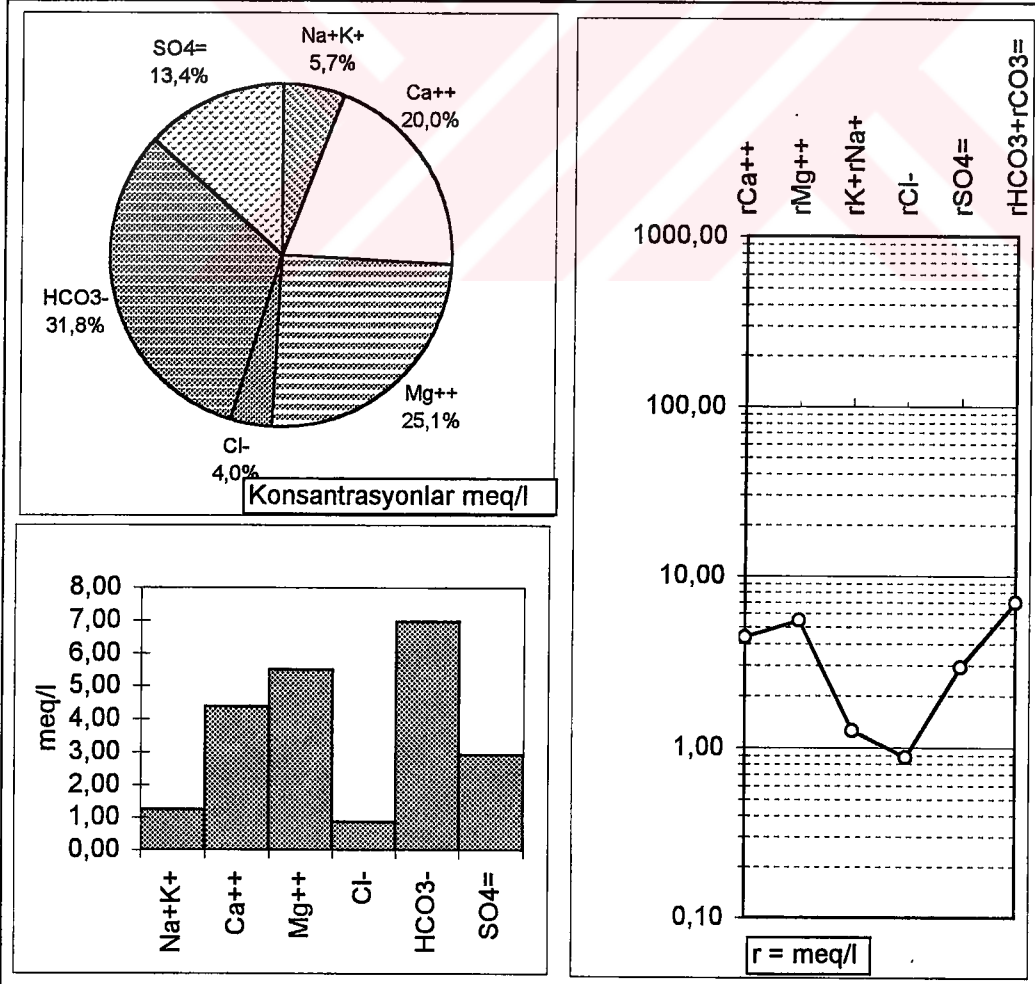
Tablo 4.3 Salavatlı sarısı kimyasal özellikleri

Örnek Adı: Sarısı			°C :	27	pH(-logH)	6,1	
Örnekleme Tarihi :13.12.2000			Lab. :	D.E.Ü.Jeo	EC(µmho/cm)	1731	
İYON	mg/l	meq/l	% meq/l	% mg/l	C (mol/l)	.SCZ ²	F
Na ⁺	40	1,74	7,93	9,1	0,00174	0,0009	0,84
K ⁺	9	0,23	1,04	2,0	0,00023	0,0001	0,83
Ca ⁺⁺	376	18,74	85,38	85,4	0,00937	0,0187	0,53
Mg ⁺⁺	15	1,24	5,66	3,4	0,00062	0,0012	0,55
Cl ⁻	38	1,07	4,93	3,2	0,00107	0,0005	0,83
HCO ₃ ⁻	734	12,04	55,46	62,0	0,01204	0,0060	0,84
SO ₄ =	413	8,60	39,61	34,8	0,00430	0,0086	0,49
Toplam Katyon Miktarı (meq/l)	21,952				Toplam Katyon Miktarı (mg/l)	439,6	
Toplam Anyon Miktarı (meq/l)	21,708				Toplam Anyon Miktarı (mg/l)	1185,1	
Toplam İyon Miktarı (meq/l)	43,661				Toplam İyon Miktarı (mg/l)	1624,7	
İyonlaşma Gücü (mol/l)	0,036				% e (Hata Yüzdesi)	0,56	
SAR (Sodyum Ad. Oranı) (%)	0,550				Sertlik (Fr)	99,92	
rCl / (rSO ₄ +rHCO ₃) Oranı	0,052				rCa/rMg Oranı	15,09	
SIc (Kalsit Doygunluk İndeksi)	-0,104				SIj(Jips Doygunluk İndeksi)	-0,38	
SID(Dolomit Doygunluk İndeksi)	-0,582				LogPCO ₂ (CO ₂) Kismi Basıncı	-0,24	
Fo (Köpürme Katsayısı)	125,7				Si (mg / l)	47,20	
Hidrokimyasal fasiyes tipi: Ca-HCO ₃ -SO ₄					B ⁺⁺⁺ (mg / l)	0,48	



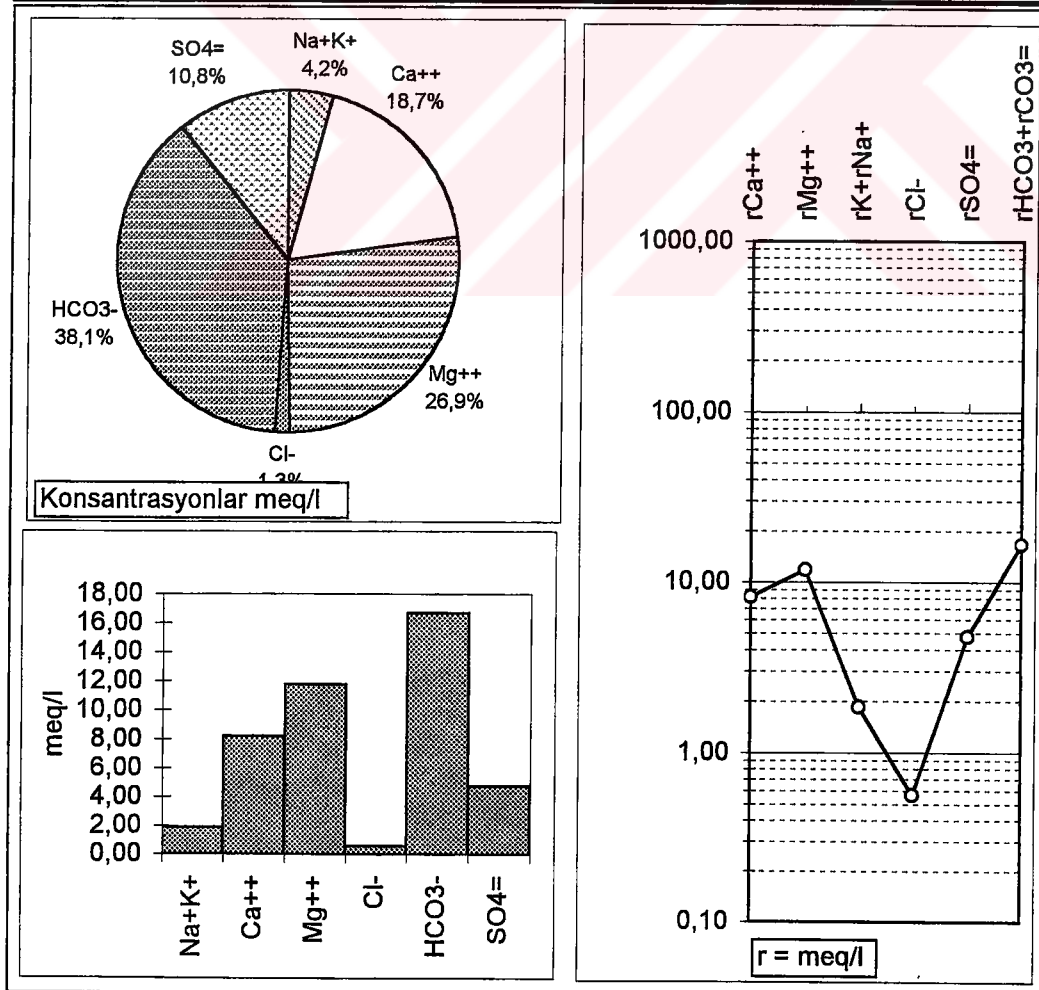
Tablo 4.4 Salavatlı çeşmesi kimyasal özellikleri

Örnek Adı: Salavath çeşmesi	°C :	17	pH(-logH)	7,52
Örnekleme Tarihi : 13.12.2000	Lab. :	D.E.Ü.Jeo	EC(µmho/cm)	967
İYON	mg/l	meq/l	% meq/l	% mg/l
Na ⁺	22	0,95	8,53	11,6
K ⁺	12	0,30	2,72	6,3
Ca ⁺⁺	88	4,37	39,33	46,6
Mg ⁺⁺	67	5,49	49,42	35,5
Cl ⁻	31	0,87	8,12	5,2
HCO ₃ ⁻	425	6,96	64,71	71,3
SO ₄ =	140	2,92	27,17	23,5
Toplam Katyon Miktarı (meq/l)	11,115	Toplam Katyon Miktarı (mg/l)	188,0	
Toplam Anyon Miktarı (meq/l)	10,757	Toplam Anyon Miktarı (mg/l)	595,9	
Toplam İyon Miktarı (meq/l)	21,873	Toplam İyon Miktarı (mg/l)	783,9	
İyonlaşma Gücü (mol/l)	0,017	% e (Hata Yüzdesi)	1,64	
SAR (Sodyum Ad. Oranı) (%)	0,427	Sertlik (Fr)	49,32	
rCl / (rSO ₄ +rHCO ₃) Oranı	0,088	rCa/rMg Oranı	0,80	
SIc (Kalsit Doygunluk İndeksi)	0,538	SIj(Jips Doygunluk İndeksi)	-1,33	
SI _d (Dolomit Doygunluk İndeksi)	0,694	LogPCO ₂ (CO ₂) Kısımlı Basıncı	-1,87	
Fo (Köpürme Katsayısı)	82,4	Si (mg / l)	46,50	
Hidrokimyasal fasyes tipi: Mg-Ca-HCO ₃ -SO ₄	B ⁺⁺⁺ (mg / l)	< 0,48		



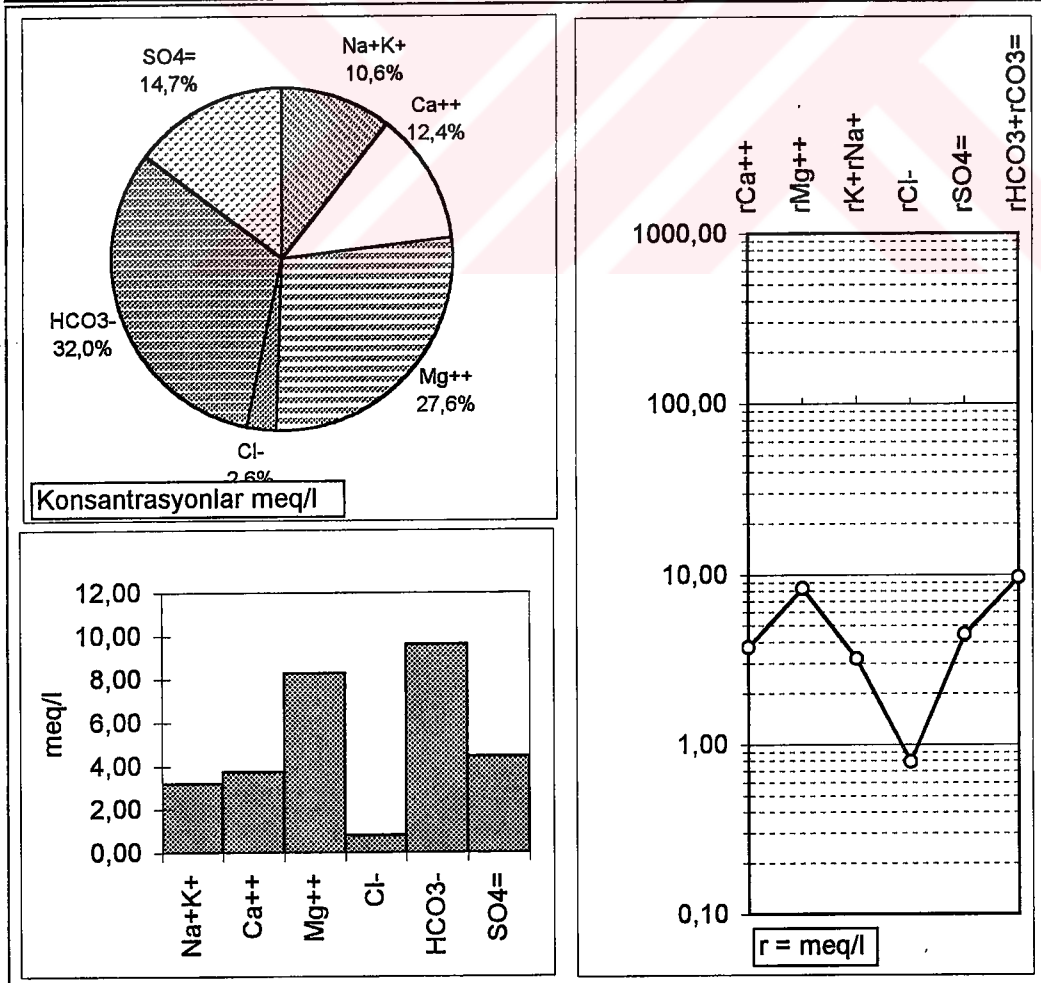
Tablo 4.5 İmamköy kuzeyi kaynağının kimyasal özellikleri

Örnek Adı: İmamköy kuzeyi kaynağı		°C:	37	pH(-logH)	6,43
Örnekleme Tarihi : 13.12.2000		Lab. :	D.E.Ü.Jeo	EC(µmho/cm)	1709
İYON	mg/l	meq/l	% meq/l	% mg/l	C (mol/l) .5CZ ² F AC
Na ⁺	23	1,00	4,57	6,3	0,00100 0,0005 0,84 0,0008
K ⁺	33	0,85	3,92	9,2	0,00085 0,0004 0,83 0,0007
Ca ⁺⁺	164	8,16	37,48	45,1	0,00408 0,0082 0,53 0,0022
Mg ⁺⁺	143	11,77	54,03	39,4	0,00588 0,0118 0,56 0,0033
Cl ⁻	20	0,56	2,57	1,6	0,00056 0,0003 0,83 0,0005
HCO ₃ ⁻	1016	16,66	75,84	80,4	0,01666 0,0083 0,84 0,0140
SO ₄ =	228	4,74	21,59	18,0	0,00237 0,0047 0,50 0,0012
Toplam Katyon Miktarı (meq/l)		21,782	Toplam Katyon Miktarı (mg/l)	362,9	
Toplam Anyon Miktarı (meq/l)		21,963	Toplam Anyon Miktarı (mg/l)	1263,7	
Toplam İyon Miktarı (meq/l)		43,744	Toplam İyon Miktarı (mg/l)	1626,6	
İyonlaşma Gücü (mol/l)		0,034	% e (Hata Yüzdesi)	-0,41	
SAR (Sodyum Ad. Oranı) (%)		0,316	Sertlik (Fr)	99,66	
rCl / (rSO ₄ +rHCO ₃) Oranı		0,026	rCa/rMg Oranı	0,69	
SIc (Kalsit Doygunluk İndeksi)		0,008	SIj(Jips Doygunluk İndeksi)	-1,00	
SID(Dolomit Doygunluk İndeksi)		0,199	LogPCO ₂ (CO ₂) Kısımlı Basıncı	-0,42	
Fo (Köpürme Katsayışı)		128,4	Si (mg / l)	69,50	
Hidrokimyasal fasiyes tipi: Mg-Ca-HCO ₃ -SO ₄		B ⁺⁺⁺ (mg / l)		< 0,48	



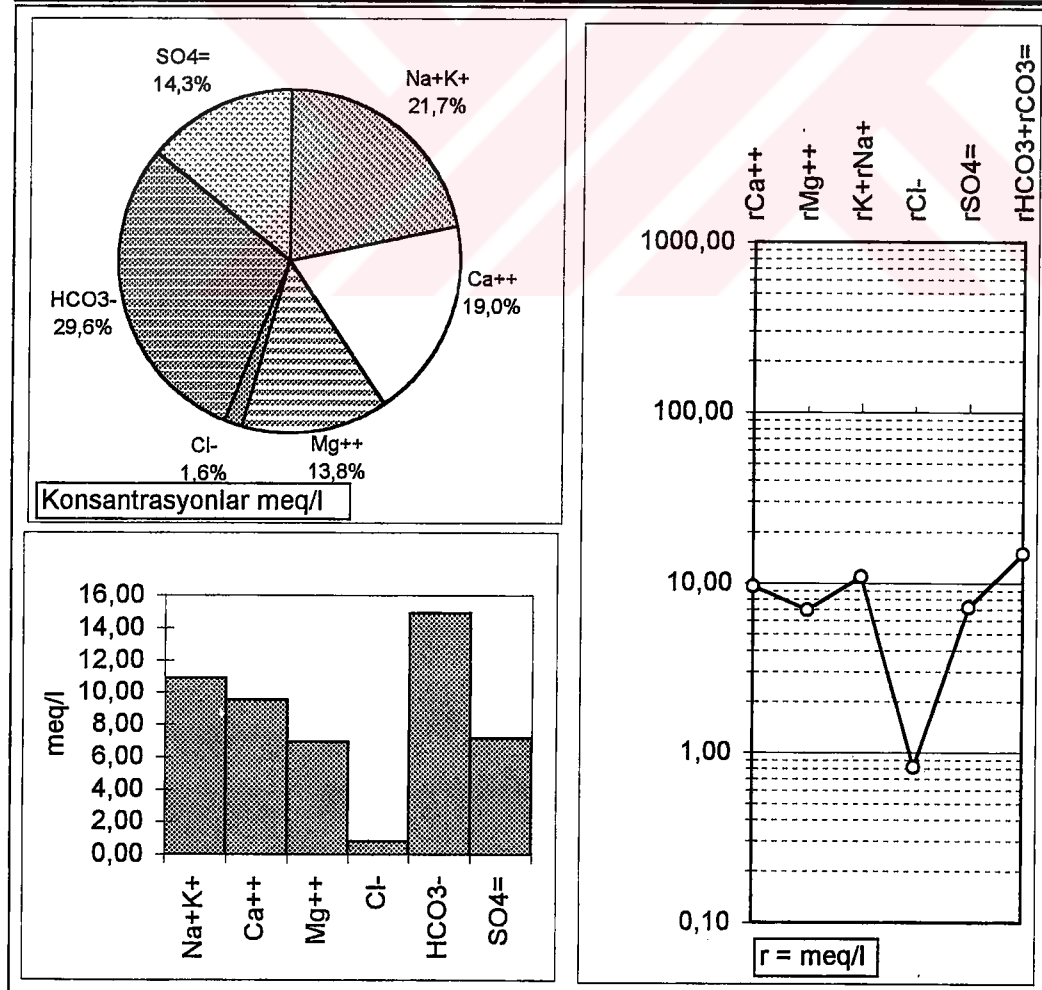
Tablo 4.6 İmamköy ilçesi 1.kaynağın kimyasal özellikleri

Örnek Adı: İmamköy 1.kaynak	°C :	37	pH(-logH)	6,9
Örnekleme Tarihi : 13.12.2000	Lab. :	D.E.Ü.Jeo	EC(µmho/cm)	1244
İYON	mg/l	meq/l	% meq/l	% mg/l
Na ⁺	56	2,42	15,92	21,3
K ⁺	30	0,77	5,06	11,5
Ca ⁺⁺	75	3,73	24,57	28,7
Mg ⁺⁺	101	8,27	54,45	38,5
Cl ⁻	28	0,79	5,33	3,4
HCO ₃ ⁻	586	9,60	64,81	70,9
SO ₄ =	212	4,42	29,86	25,7
Toplam Katyon Miktarı (meq/l)	15,193			Toplam Katyon Miktarı (mg/l) 261,0
Toplam Anyon Miktarı (meq/l)	14,812			Toplam Anyon Miktarı (mg/l) 825,9
Toplam İyon Miktarı (meq/l)	30,005			Toplam İyon Miktarı (mg/l) 1086,9
İyonlaşma Gücü (mol/l)	0,023			% e (Hata Yüzdesi) 1,27
SAR (Sodyum Ad. Oranı) (%)	0,987			Sertlik (Fr) 60,03
rCl / (rSO ₄ +rHCO ₃) Oranı	0,056			rCa/rMg Oranı 0,45
SIc (Kalsit Doygunluk İndeksi)	-0,057			SIj(Jips Doygunluk İndeksi) -1,29
SId(Dolomit Doygunluk İndeksi)	0,224			LogPCO ₂ (CO ₂) Kısımlı Basıncı) -1,12
Fo (Köpürme Katsayısı)	209,9			Si (mg/l) 64,10
Hidrokimyasal fasiyes tipi: Mg-Ca-HCO ₃ -SO ₄	B ⁺⁺⁺ (mg/l)			< 0,48



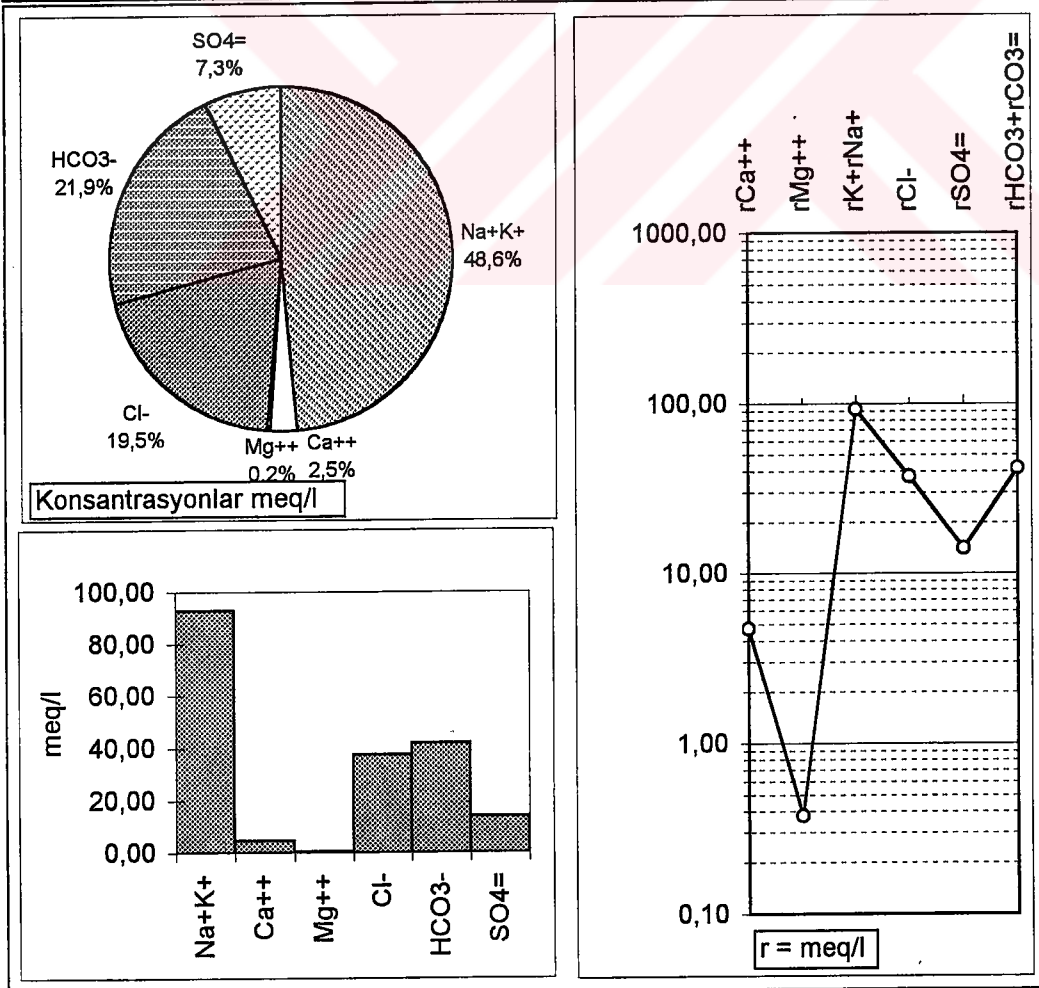
Tablo 4.7 İmamköy ilçesi 2.kaynağın kimyasal özellikleri

Örnek Adı: İmamköy 2.kaynak		°C :	35	pH(-logH)	6,43
Örnekleme Tarihi :13.12.2000		Lab. :	D.E.Ü.Jeo	EC(µmho/cm)	1841
İYON	mg/l	meq/l	% meq/l	% mg/l	C (mol/l) .5CZ ² F AC
Na ⁺	227	9,88	36,14	41,9	0,00988 0,0049 0,84 0,0083
K ⁺	39	1,01	3,68	7,2	0,00101 0,0005 0,83 0,0008
Ca ⁺⁺	191	9,52	34,83	35,2	0,00476 0,0095 0,53 0,0025
Mg ⁺⁺	84	6,93	25,36	15,6	0,00347 0,0069 0,55 0,0019
Cl ⁻	29	0,82	3,58	2,3	0,00082 0,0004 0,83 0,0007
HCO ₃ ⁻	908	14,88	65,10	70,9	0,01488 0,0074 0,84 0,0125
SO ₄ =	344	7,16	31,32	26,8	0,00358 0,0072 0,49 0,0018
Toplam Katyon Miktarı (meq/l)		27,337	Toplam Katyon Miktarı (mg/l)	541,4	
Toplam Anyon Miktarı (meq/l)		22,856	Toplam Anyon Miktarı (mg/l)	1280,3	
Toplam İyon Miktarı (meq/l)		50,193	Toplam İyon Miktarı (mg/l)	1821,7	
İyonlaşma Gücü (mol/l)		0,037	% e (Hata Yüzdesi)	8,93	
SAR (Sodyum Ad. Oranı) (%)		3,444	Sertlik (Fr)	82,27	
rCl / (rSO ₄ +rHCO ₃) Oranı		0,037	rCa/rMg Oranı	1,37	
SIc (Kalsit Doygunluk İndeksi)		0,024	SIj(Jips Doygunluk İndeksi)	-0,76	
SID(Dolomit Doygunluk İndeksi)		0,067	LogPCO ₂ (CO ₂) Kısımlı Basıncı	-0,47	
Fo (Köpürme Katsayısı)		690,8	Si (mg / l) Li (mg/l) : 0,12	83,30	
Hidrokimyasal fasyes tipi: Na-Ca-Mg-HCO ₃ -SO ₄		B ⁺⁺⁺ (mg / l)	< 0,48		



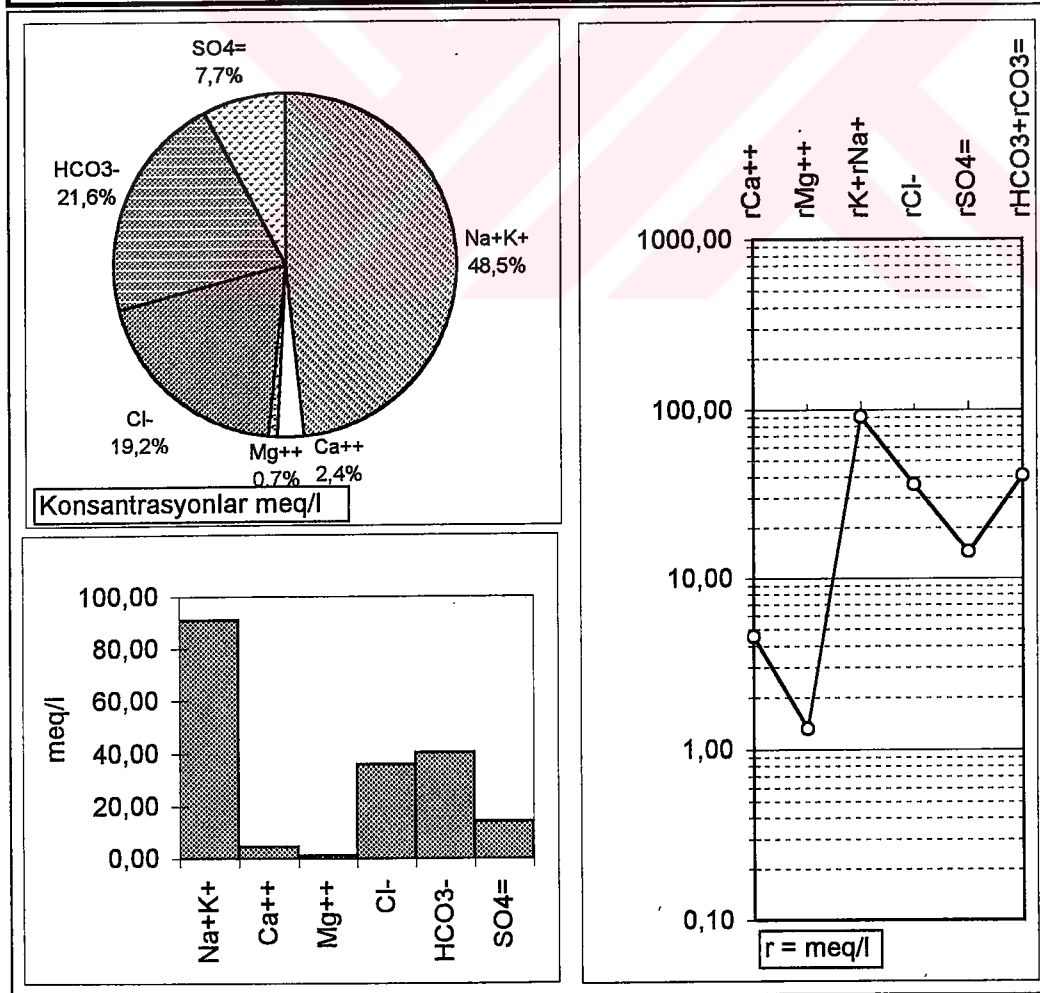
Tablo 4.8 Bozköy kaplıca kaynağının kimyasal özellikleri

Örnek Adı: Bozköy kaplıca kaynağı	°C :	59	pH(-logH)	6,86
Örnekleme Tarihi :13.12.2000	Lab. :	D.E.Ü.Jeo	EC($\mu\text{mho}/\text{cm}$)	7020
İYON	mg/l	meq/l	% meq/l	% mg/l
Na ⁺	2072	90,14	92,07	91,1
K ⁺	104	2,66	2,72	4,6
Ca ⁺⁺	95	4,73	4,83	4,2
Mg ⁺⁺	5	0,38	0,39	0,2
Cl ⁻	1325	37,35	40,10	29,1
HCO ₃ ⁻	2552	41,84	44,93	56,1
SO ₄ ⁼	669	13,94	14,97	14,7
Toplam Katyon Miktarı (meq/l)	97,907		Toplam Katyon Miktarı (mg/l)	2275,4
Toplam Anyon Miktarı (meq/l)	93,125		Toplam Anyon Miktarı (mg/l)	4546,3
Toplam İyon Miktarı (meq/l)	191,032		Toplam İyon Miktarı (mg/l)	6821,7
İyonlaşma Gücü (mol/l)	0,105		% e (Hata Yüzdesi)	2,50
SAR (Sodyum Ad. Oranı) (%)	56,399		Sertlik (Fr)	25,54
rCl / (rSO ₄ +rHCO ₃) Oranı	0,670		rCa/rMg Oranı	12,51
SIc (Kalsit Doygunluk İndeksi)	0,414		SIj(Jips Doygunluk İndeksi)	-1,09
SID(Dolomit Doygunluk İndeksi)	-0,010		LogPCO ₂ (CO ₂) Kısımlı Basıncı	-0,50
Fo (Köpürme Katsayısı)	5796,0		Si (mg / l) Li (mg/l) : 11,93	149,40
Hidrokimyasal fasyes tipi: Na-HCO ₃ -Cl	B ⁺⁺⁺ (mg / l)			59,75



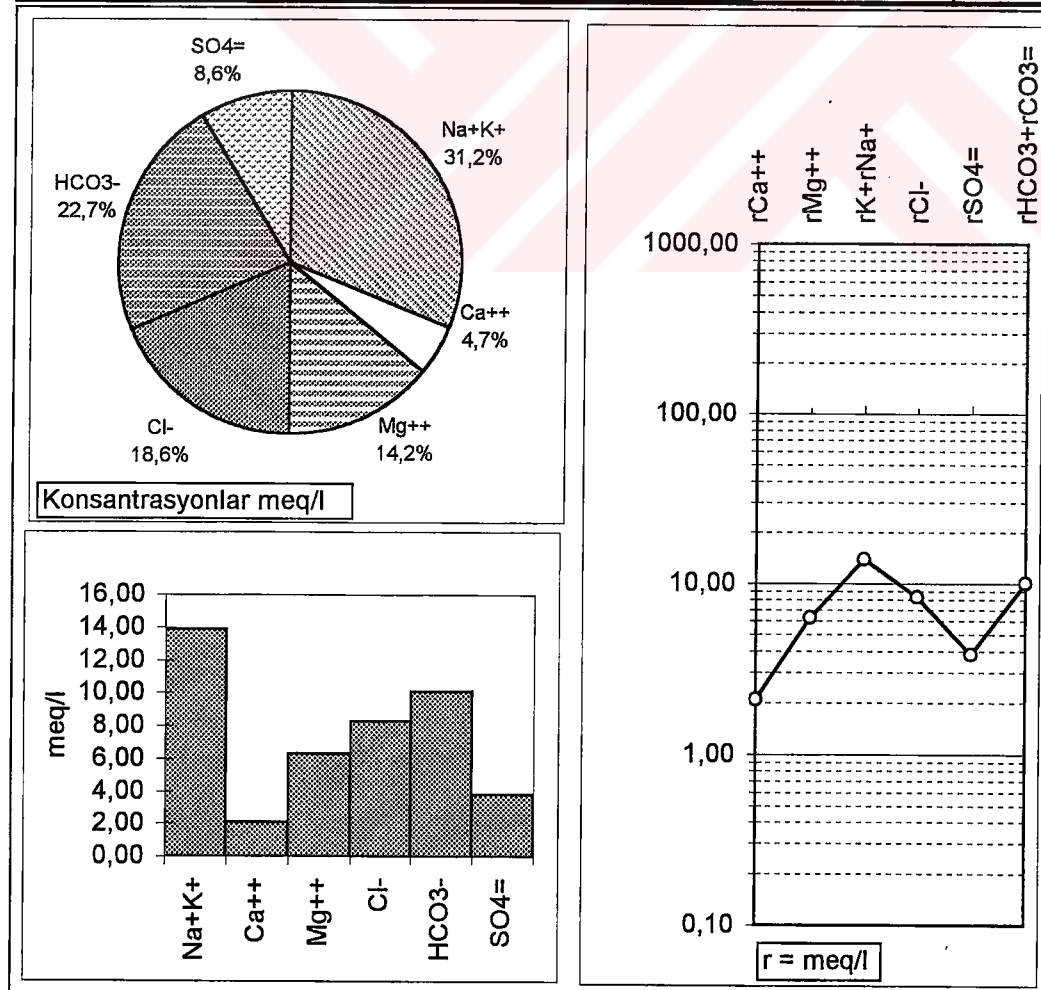
Tablo 4.9 Çamur kaynağı kimyasal özellikleri

Örnek Adı: Çamur kaynağı		°C:	65	pH(-logH)		7,4		
Örnekleme Tarihi : 13.12.2000		Lab. :	D.E.Ü.Jeo	EC(µmho/cm)	6890			
İYON	mg/l	meq/l	% meq/l	% mg/l	C (mol/l)	.SCZ ²	F	AC
Na ⁺	2035	88,52	91,50	91,1	0,08852	0,0443	0,74	0,0659
K ⁺	91	2,34	2,42	4,1	0,00234	0,0012	0,73	0,0017
Ca ⁺⁺	92	4,57	4,72	4,1	0,00229	0,0046	0,36	0,0008
Mg ⁺⁺	16	1,32	1,36	0,7	0,00066	0,0013	0,40	0,0003
Cl ⁻	1275	35,94	39,59	28,8	0,03594	0,0180	0,73	0,0261
HCO ₃ ⁻	2469	40,48	44,59	55,7	0,04048	0,0202	0,74	0,0301
SO ₄ ⁼	690	14,37	15,83	15,6	0,00718	0,0144	0,31	0,0022
Toplam Katyon Miktarı (meq/l)		96,746	Toplam Katyon Miktarı (mg/l)		2233,9			
Toplam Anyon Miktarı (meq/l)		90,784	Toplam Anyon Miktarı (mg/l)		4433,9			
Toplam İyon Miktarı (meq/l)		187,530	Toplam İyon Miktarı (mg/l)		6667,8			
İyonlaşma Gücü (mol/l)		0,104	% e (Hata Yüzdesi)		3,18			
SAR (Sodyum Ad. Oranı) (%)		51,597	Sertlik (Fr)		29,43			
rCl / (rSO ₄ +rHCO ₃) Oranı		0,655	rCa/rMg Oranı		3,47			
SIc (Kalsit Doygunluk İndeksi)		0,893	SIj(Jips Doygunluk İndeksi)		-1,14			
SI _d (Dolomit Doygunluk İndeksi)		0,749	LogPCO ₂ (CO ₂) Kısımlı Basıncı		-1,06			
Fo (Köpürme Katsayış)		5670,7	Si (mg / l) Li (mg/l) : 9,97		126,50			
Hidrokimyasal fasiyes tipi: Na-HCO ₃ -Cl			B ⁺⁺⁺ (mg / l)		59,75			



Tablo 4.10 Hıdırbeyli göleti yüzey suyu kimyasal özelliklerı

Örnek Adı: Hıdırbeyli Göleti yüzey su	°C :	17	pH(-logH)	8,6
Örnekleme Tarihi : 13-12-2000	Lab. :	DEÜ Jeo.	EC(µmho/cm)	1975
İYON	mg/l	meq/l	% meq/l	% mg/l
Na ⁺	292	12,71	57,13	64,1
K ⁺	45	1,15	5,16	9,8
Ca ⁺⁺	42	2,10	9,42	9,2
Mg ⁺⁺	77	6,29	28,29	16,8
Cl ⁻	294	8,29	33,47	25,1
HCO ₃ ⁻	615	10,08	40,72	52,6
SO ₄ ⁼	184	3,83	15,47	15,7
CO ₃ ⁼	77	2,56	10,34	6,6
Toplam Katyon Miktarı (meq/l)	22,241		Toplam Katyon Miktarı (mg/l)	455,4
Toplam Anyon Miktarı (meq/l)	24,758		Toplam Anyon Miktarı (mg/l)	1169,6
Toplam İyon Miktarı (meq/l)	46,999		Toplam İyon Miktarı (mg/l)	1625,0
Iyonlaşma Gücü (mol/l)	0,031		% e (Hata Yüzdesi)	-5,36
SAR (Sodyum Ad. Oranı) (%)	6,204		Sertlik (Fr)	41,93
rCl / (rSO ₄ +rHCO ₃ +CO ₃) Oranı	0,503		rCa/rMg Oranı	0,33
SIc (Kalsit Doygunluk İndeksi)	1,358		SIj(Jips Doygunluk İndeksi)	-1,63
SID(Dolomit Doygunluk İndeksi)	1,602		LogPCO ₂ (CO ₂) Kısımlı Basıncı	-2,88
Fo (Köpürme Katsayısı)	877,3		Si (mg / l) Li (mg/l) : 0,94	15,60
Hidrokimyasal fasyes tipi: Na-Cl-Mg-HCO ₃	B ⁺⁺⁺ (mg / l)			7,26



Tablo 4.11 Geçmiş yıllarda yapılan kimyasal analizler

ÖRNEK ADI	ÖRNEK TARİHİ	$^{\circ}\text{C}$	EC	pH	Na^+	K^+	Ca^{++}	Mg^{++}	Cl^-	HCO_3^-	SO_4^-	KAYNAK
Ayter-1 Aydın İlçebası	1988	65- 77,5	6000	8.07	1560	144	60	34	220	4058	104	Erişen ve diğ., 1996
Ayter-1 Aydın İlçebası	2000	45	7430	7.03	2867	191	67	11	240	5026	2522	Mutlu, 2000 Bu çalışma,
Ayter-2 Aydın İlçebası	1989	80	3700	8.2	1080	128	22	43	203	2952	117	Erişen ve diğ., 1996
Ayter-2 Aydın İlçebası	2000	55	5400	6,91	1789	161	114	59	220	3477	1470	Mutlu, 2000 Bu çalışma,
Salavatlı Kaplıcası	---	40.5	1500	6.1	45	3.6	104	204	16	1025	298	Erişen ve diğ., 1996
Sarısu Salavatlı	2000	27	1731	6.1	40	9	376	15	38	734	413	Mutlu, 2000 Bu çalışma,
Salavatlı Çeşmesi	2000	17	967	7,52	22	12	88	67	31	425	140	Mutlu, 2000 Bu çalışma,
Salavatlı Sondajı AS-1	1987	162	3400	7.1	1100	100	20	3.6	228	2540	153	Erişen ve diğ., 1996
Salavatlı Sondajı AS-2	1988	171.4	4600	7.67	1100	90	14	1.1	233	2831	170	Erişen ve diğ., 1996
İمامköy Kuzeyi Kaynağı	2000	37	1709	6,43	23	33	164	143	20	1016	228	Mutlu, 2000 Bu çalışma,
İمامköy İlçesi 1. Kaynak	1971	38.5	1080	6.72	20.7	5.8	112	90.2	25	488	252	İÜ Tip Fakültesi, 1975
İمامköy İlçesi 1. Kaynak	2000	37	1244	6,9	56	30	75	101	28	586	212	Mutlu, 2000 Bu çalışma,

Tablo 4.11 devam

İÜ Tip Fakültesi, 1975												
İmamoğlu İİcası		1971	35.5	1700	6.56	22.6	7.2	162.4	69.7	20	610	240
2. Kaynak	2000	35	1841	6,43	227	39	191	84	29	908	344	Mutlu, 2000 Bu çalışma, Erişen ve diğ., 1996
İnamköy İİcası	2000	62	---	7.2	1375	68	42	38	1189	2190	128	İÜ Tip Fakültesi, 1975
2. Kaynak	---	---	---	---	---	---	---	---	---	---	---	Bozköy Kaplıcası, Germencik Bozköy Kaplıcası
Germencik Bozköy Kaplıcası	2000	59	7020	6,86	2072	104	95	5	1325	2552	669	Mutlu, 2000 Bu çalışma, Erişen ve diğ., 1996
Germencik Çamur Kaynağı	1971	65	11100	6,42	1198	107	67.2	37.4	1050	1952	27.3	İÜ Tip Fakültesi, 1975
Germencik Çamur Kaynağı	2000	65	6890	7,4	2035	91	92	16	1275	2469	690	Mutlu, 2000 Bu çalışma, Erişen ve diğ., 1996
Germencik ÖB-1 Sondajı	1982	203	---	--	1355	45	50	16	1586	1172	37	İÜ Tip Fakültesi, 1975
Germencik ÖB-2 Sondajı	1983	231	7200	9	1830	189	1.6	0	1359	1525	71	Erişen ve diğ., 1996
Germencik ÖB-3 Sondajı	1984	230	7100	8.78	1775	170	1.6	0.5	1818	1342	204	Erişen ve diğ., 1996
Germencik ÖB-4 Sondajı	1984	213	5400	7.71	1420	135	12	1.7	1500	1440	37	Erişen ve diğ., 1996
Germencik ÖB-5 Sondajı	1984	221	3000	8.43	1387	128	8.4	6.8	1454	1409	46	Erişen ve diğ., 1996
Germencik ÖB-6 Sondajı	1985	221	6200	8.7	1775	180	3.6	<0.1	1882	1202	64	Erişen ve diğ., 1996
Germencik ÖB-7 Sondajı	1988	203	4200	7.53	1100	132	19	6.1	855	1837	51	Erişen ve diğ., 1996

Tablo 4.11 devam

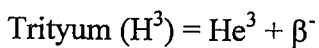
4.3 DOĞAL İZOTOPLARLA (O^{18} , H^2 , H^3) SUYUN YAŞI VE İZLEDİĞİ YOLUN ARAŞTIRILMASI

Hidrojeolojik çevrimin çeşitli kesimlerindeki su hareketlerinin incelenmesi için O^{18} , H^2 , H^3 izotoplari bir izleyici olarak kullanılırlar ve hidrojeolojik sistemlerle ilgili gerek statik ve gerekse dinamik parametrelerin saptanması olanağını sağlarlar.

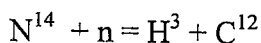
İzotoplarda özellikle döteryum ($H^2=D$), trityum ($H^3=T$) ve O^{18} , kaynakların beslenme alanlarının ve kökenlerinin belirlenmesinde su-hazne kayaç ilişkilerinin saptanmasında, suların bağıl yaşılarının ve jeotermal sistemlerinin saptanmasında, jeotermal sistemlerin hazne kaya sıcaklıklarının saptanmasında ve sıcak-soğuk su karışımı gibi sorunların çözümünde kullanılmaktadır. Bu çalışmada uygulanan yöntemlerde kullanılan izotop analizleri Şimşek ve diğ., 2000 ile Filiz ve diğ., 1999' dan alınmıştır.

4.3.1 Trityum (H^3)

İzotop hidrojeolojisinde çoğunlukla su molekülünün $H^3H^1O^{16}$, $H^1H^1O^{18}$ ve $H^1H^1O^{16}$ türleri kullanılır. Bunlardan H^3 (trityum) hidrojenin radyoaktif izotopu olup yarılanma yaşı 12,26 yıldır. Eski beta ışınımı yaylığından kolayca radyoaktif sayaçlarda saptanabilir.



Trityum' un doğal ve yapay iki kökeni vardır. Doğal kökeni kozmik ışınlardaki nötronların (n) N^{14} üzerine etkimesiyle oluşur.



Trityum' un yapay kökeni nükleer patlamalardır. 1952 yılından sonra atmosferde nükleer denemeler sonucu trityum miktarı hızla artmıştır. Yağışlarda doğal trityum miktarı, bölge ve iklim kuşaklarına bağlı olarak 5-20 trityum birimi (UT) arasında

iken nükleer patlamalar sonucu binlerce trityum birimine erişmişlerdir. Bir trityum birimi (UT), $1 \times 10^{18} H^1$ atomunun içindeki bir atom trityum miktarıdır.

Radyoaktif izotoplarda parçalanma hızı yan etkilerle değişmez.

$$N_t = N_0 \cdot e^{-at}$$

bağıntısı, çürüme ile zaman arasındaki doğrusal ilişkiyi verir. Bağıntıda ;

N_t = t anındaki radyoaktif atom sayısı,

N_0 = Başlangıçtaki radyoaktif atom sayısı

a = Radyoaktif çürüme katsayısı

t = Zaman olarak verilmiştir.

Bağıntıyı “e” tabanından kurtarıp trityum radyoaktif çürüme katsayısını “a” yerine koyarsak trityum yarı ömrü,

$$t_{1/2} = \ln 2 / 0,0564 = 12,268 \text{ yıl olarak bulunur.}$$

4.3.2 O¹⁸ ve H² Kararlı İzotopları

O¹⁸ ve H² (döteryum), su molekülünün duraklı izotoplarındandır. Bunların ölçümleri kütle spektrometresinde yapılmakta ve sonuçlar % 0 δ ile gösterilmektedir. δ değerleri uluslar arası başvuru standarı olarak kabul edilmiş olan SMOW (Standart Mean Ocean Water)' a göre verilmektedir. SMOW, Atlas okyanusu sularının çeşitli noktalarından alınmış deniz suyunun bir karışımıdır. 1 δ yaklaşık olarak 2 ppm O¹⁸ ve 0,3 ppm H², yi karşılamaktadır. δ' nın tanım eşitliği CRAIG tarafından 1961' de geliştirilen bağıntıyla tanımlanır (Filiz, 1982).

$$\delta = (\text{Örneğin izotop oranı} / \text{Standart izotop oranı} - 1) \cdot 1000$$

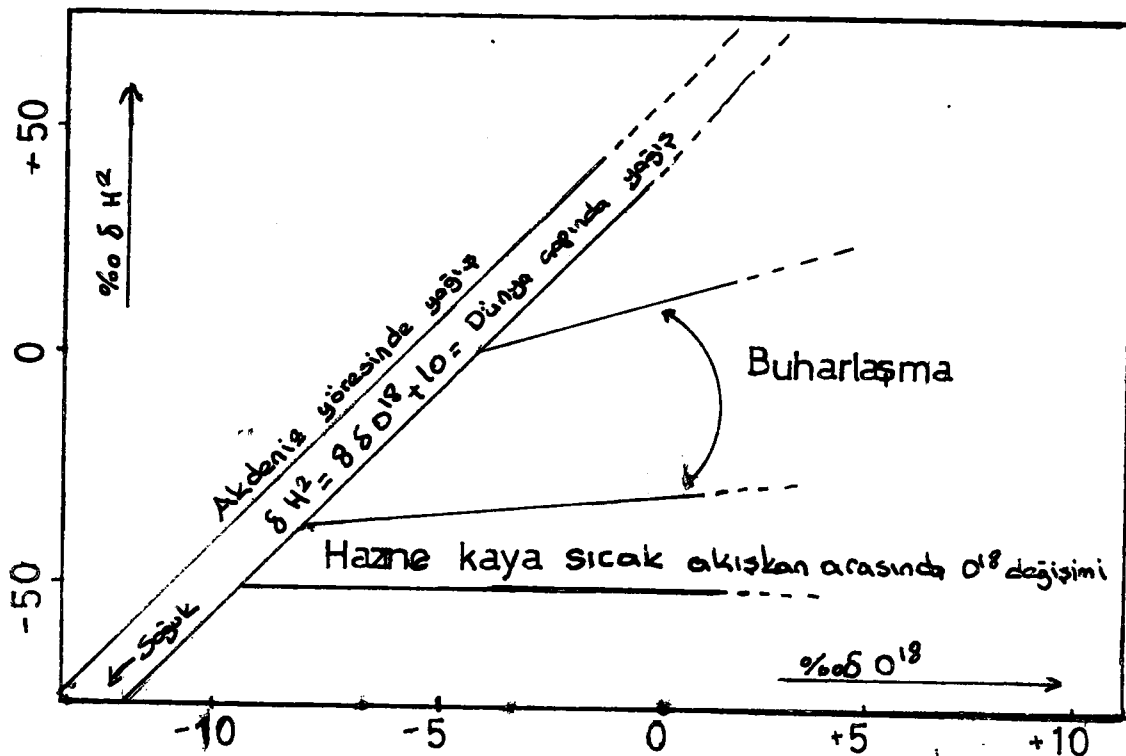
Ölçüm duyarlıklar O¹⁸ için yaklaşık olarak % 0,1 δ , H² için % 2 δ' dir. Okyanuslar, hidrojeolojik devrin başlangıcını ve sonunu oluşturması nedeni ile herhangi bir suyun içерdiği O¹⁸ miktarı okyanus suları ile karşılaştırılır. Eğer suyun deltası -5 ise bu suyun ağır izotoplari, okyanus suları ortalamasına (SMOW)' a göre % 0,5 fakirdir. Tersine delta +5 ise, konu edilen suyun ağır izotoplari (SMOW)' a göre % 0,5 daha zengindir. Yerküresinde doğal sulardaki O¹⁸ miktarı çok değişiktir. Sahra ortalarında +30' a erişen suyun deltası, güney kutbu kar sularında -55' e düşer. Döteryum' da benzer özellik gösterir (Sahrada +150 δ H², güney kutbu kar sularında -150 δ H²).

Buharlaşma ve hazne kaya yapısındaki minerallerle akışkan (su) arasındaki kimyasal tepkimelerde H ve O değişimi, suyun ilkel izotop yapısını etkiler. Suun hafif izotoplari buharlaşma ile ortamdan kolayca ayrılrken, ağır izotoplarsıvı fazda zenginleşir. Buharın yoğunlaşmasında öncelikle ağır izotoplarsıvı faza geçer ve geride kalan artık buhar, ağır izotoplarda fakirleşir.

Böylece birbirini izleyen aynı bulut kütlesinden gelen yağışlarda, bulutlar yağışlarının bir kısmını yüksek bölgelere bıraktıklarından, kırıcı içlerine düşen yağışlar ağır izotoplarda fakirleşir. Şiddetli buharlaşma etkisinde kalan suların ağır izotoplari buharlaşma göstermeyen sulara göre fazladır (Şekil 4.11). Ağır izotop zenginleşmesi, buharlaşmanın şiddetile orantılıdır. Bununla birlikte aynı yörede farklı buharlaşma etkisinde kalan sular O¹⁸ döteryum arasında doğrusal bir ilişki gösterirler.

$$\% \delta H^2 = a \% \delta O^{18} + b$$

Bağıntıda "a", 3' ten büyük, 8' den küçüktür, "b" ise 10' dan küçüktür. Buharlaşma doğrusunun eğimi, yağış doğrusunun eğiminden azdır ve yağış eğrisinin sağında, altında yer alır. Bu iki doğrunun kesim noktası, buharlaşmadan önceki suyun izotop içeriğini tanımlar (Şekil 4.11).

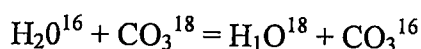


Şekil 4.11 Yağış ve doğal sularda O¹⁸ ile D (H²) ilişkileri (Şahinci, 1991)

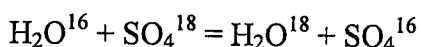
$$\delta D = 8 \delta O^{18} + 22 \quad \text{Akdeniz yöresindeki yağış}$$

$$\delta D = 8 \delta O^{18} + 10 \quad \text{Dünya çapında yağış}$$

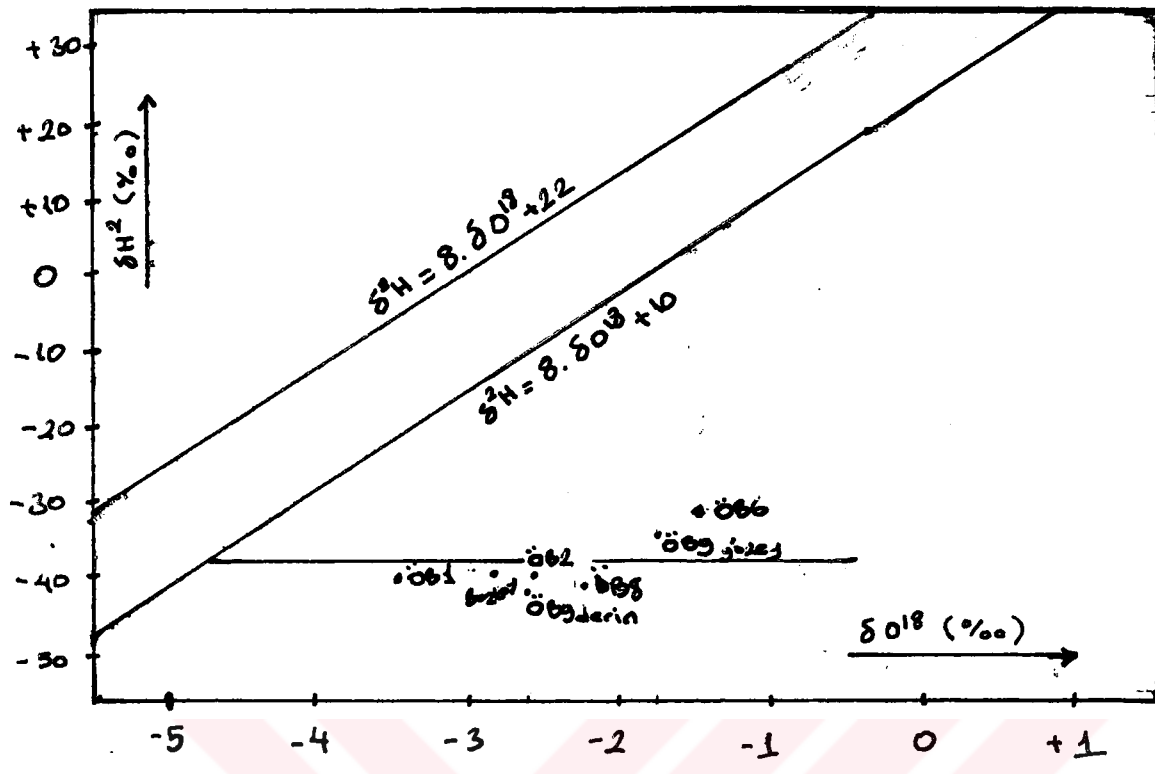
Jeotermal sistemlerin hazne kayalarını oluşturan silikat ve karbonat mineralleri, genellikle O¹⁸, ce zengindir. Kimyasal tepkime sonucu, hazne kayadaki sıcak akışkanın O¹⁸ oranı artar.



ya da ;



Çok yüksek sıcaklıkta kaya-akışkan arasındaki O¹⁸ oranları bire erişir. Buna karşın kayalarda hidrojen mineralleri yok deneyecek kadar az olduğundan, döteryum miktarında fazla değişiklik gözlenmez. Böylece δ O¹⁸ ve δ H² diyagramları üzerinde termal sular soğuk yeraltı sularının ve yağış sularının sağında yer alır (Şekil 4.11). Şekil 4.11 ve şekil 4.12' da yatay bir doğru üzerinde hazne kaya içindeki akışkanın ısı alışverişine bağlı O¹⁸ evrimi gözlenebilir. Bu doğrunun yağış suları doğrusunu kestiği nokta ilksel suyun izotop yapısını belirler.



Şekil 4.12 Germencik Ömerbeyli jeotermal alanındaki su noktalarının O¹⁸-H² diyagramındaki yeri (Şimşek ve diğ., 2000).

Aydın Germencik Ömerbeyli jeotermal alanı içerisinde yapılan izotop analizleri aşağıdaki tabloda gösterilmiştir (Tablo 4.12). Yapılan izotop analiz sonuçları bir bütün olarak değerlendirildiğinde yüksek entalpili, meteorik kökenli (çok az mağmatik bileşen içerebilen yaşlı sular (trityum içermediklerinden en az 50 yıllık) olarak yorumlanabilir (Filiz ve diğ., 1999).

Tablo 4.12 Germencik Ömerbeyli jeotermal alanı içindeki sıcak suların ¹⁸O, ²H=D ve ³H=T izotop analizleri

Germencik Ömerbeyli	δ ¹⁸ O (‰)	δ ² H=D(‰)	δ ³ H(TU)	KAYNAK
Bozköy	-2,78	-40,45	0,89	Şimşek ve diğ., 2000
ÖB-2	-2,64	-41,20	0,23	Şimşek ve diğ., 2000
ÖB-9(Yüzey)	-1,74	-37,90	0,64	Şimşek ve diğ., 2000
ÖB-9(Derin)	-2,6	-41,40	---	Filiz ve diğ., 1999

Tablo 4.12 devam

ÖB-8	-2,27	-41,90	0,50	Şimşek ve diğ., 2000
ÖB-1	-3,53	-40,20	0,69	Şimşekve diğ., 2000
ÖB-6	-1,3	-33	<1	Filiz ve diğ., 1999

4.4 JEOTERMAL SİSTEMLERDE HAZNE KAYA SICAKLIKLARININ SAPTANMASI

Yüzeye erişen sularının sıcaklıkları, genellikle hazne kaya içindeki sıcaklıklardan düşüktür. Sıcak suların yeraltında yüzeye erişirken dokanakta bulunduğu kayalarla ısı alış verisi, soğuk yeraltı suları ile karışımı, hazne kaya sıcaklığının atmosferle ilişkisini kesen geçirimsiz örtü kayaların ince olması veya bulunmayışı gibi nedenler, suların sıcaklıklarının azalmasında başlıca etkendir.

Suların yeraltında izledikleri yol ne kadar kısa ve ne kadar debileri yüksekse sıcaklıkları o oranda hazne kaya sıcaklığına yakındır. Sıcak suların hazne kayadaki sıcaklıkları, verimleri ve kimyasal özellikleri ekonomik yönden büyük önem taşımaktadır.

Sıcak suların hazne kayadaki sıcaklıkları, verimleri ve kimyasal özellikleri ekonomik yönden çok büyük önem taşır. Hazne sıcaklığının saptanmasında çok değişik yöntemler önerilmiştir. Bunlardan bazıları doğal izotop jeotermometreleri, sıç ve derin kuyularda ölçülen sıcaklıklardan yararlanarak hazne kaya sıcaklığının tahmini, jeotermal alanlarda izlenen hidrotermal alterasyon sonucu oluşan kil minerallerinin incelenmesi ve kimyasal jeotermometreler gibi yöntemlerdir. Ancak hazne kayadaki suların sıcaklığı, verimleri ve diğer gerçek bilgiler, hazne kayaya degen inen kuyuların incelenmesinden elde edilir. Sondajların çok pahalı ve bazı durumlarda ekonomik olmaması, her zaman hazne kayaya inilememesi, uzun zaman alması gibi nedenlerle diğer bilimsel incelemelerin olumlu sonuç verdiği yerlerde açılmalıdır.

4.4.1 Kimyasal Jeotermometreler

Diğer Jeotermometre yöntemlerine göre, kimyasal tahlilleri ucuz ve kısa sürede yapıldığından, jeotermal araştırmalarda hazne kaya sıcaklığının tahmininde kimyasal jeotermometrelerden daha fazla yaralanılmaktadır.

Kimyasal jeotermometreler kalitatif ve kantitatif olmak üzere iki bölümde incelenebilir.

4.4.1.1 Kalitatif Kimyasal Jeotermometreler

Bir çok kalitatif jeotermometreler, uçucu elementlerin sıcak akışkanlarda ve zeminde görelî miktarların, dağılımlarına veya zemin gazlarındaki oranlarına dayanır. Termal akışkanlarda bulunan bazı element, bileşik ve oranların sıcaklık hakkında verdikleri görelî bilgiler aşağıda belirtilmiştir.

SiO₂ : Hazne kaya sıcaklığı hakkında en iyi bilgi veren silistir ve kuvarsın dengelenmesi yüksek sıcaklıkta gerçekleşir. Yüksek sıcaklıktaki suda, yaklaşık 180 °C’ de başlayan silis çökelmesi, sıcaklığın düşmesi ile hızla artar. Klorürce fakir, asid sular 100 °C civarında kayalardaki silikatları bozundurarak amorf silisce çok zenginleşebilir. 140 °C ‘ nin üzerinde, örtü kaya tıkama malzemesi olarak genellikle kuvars ve kalseduan izlenir. Opal, kristobalit örtü kaya oluşturmussa düşük sıcaklığı belirler. Doğal gayzerlerde, yüzeyde amorf silis veya kristalleşmiş silis çökelleri, hazne kaya sıcaklığının 180 °C veya daha fazla olabileceğini gösterir.

Yapılan kimyasal analizler sonucunda inceleme alanındaki sıcak suların silis miktarları yüksektir. Bu nedenle söz konusu sıcak su noktalarının hazne kaya sıcaklıklarını yüksektir.

Klorür : Hazne kaya sıcaklığı 150 °C’ nin üzerindeki sularda genellikle 150 ppm’ den fazla klorür (kökeni deniz suyu olanlar dışında) ender sıcak su

sistemlerinde (200°C 'nin üzerinde) ise $40 \text{ ppm}'$ in altındadır. Klorür, sıcak su sistemi ile buhar sistemini ayıran en önemli kriterdir. Bir çok klorür tuzları sıcak sularda çözünür ve sıcak sistemlerde bol bulunur. 400°C 'de bile klorür tuzlarının uçuculuğu önemsizdir. Bu nedenle, düşük basınçlı buhar sistemlerinde klorür azdır, $50 \text{ ppm}'$ in üzerinde klorür izlenirse sıcak su sistemini belirler (Şahinci, 1991).

B, NH_4 , H_2S , Hg, Cl, Na, K, Li, Rb, Cs, As : Bu gibi element ve bileşiklerin bir veya bir kısmının suda fazla bulunması, hazne kaya sıcaklığının yüksek olabileceğini gösterir.

Na / K Oranı : Bu oranın yüksekliği, genellikle hazne kaya sıcaklığının fazla olabileceğini işaret eder. Özellikle bu oran, $20/1 - 8/1$ arasında anlamlıdır. Bu oran ile hesaplanan hazne kaya sıcaklığı, suyun geldiği başlangıç derinlik veya yatay uzaklığın sıcaklığını tanımlar. Yüzeydeki sıcak suyun kimyasal tahlillerine göre silis jeotermometresi ile hesaplanan hazne kaya sıcaklık değeri, Na / K ile bulunandan küçük ise akışkanın hazne kayadan yüzeye gelişinde soğuk sular ile karışmış olabileceği vurgulanır.

Traverten Çökelmeleri : Hazne kaya sıcaklığının düşük olduğunu (100°C civarında) gösterir. Ancak bikarbonatlı sular yer altında soğuduktan sonra kireçtaşlarından geçmiş ise, hazne kaya sıcaklığı yüksek olabilir.

Cl / ($\text{HCO}_3 + \text{CO}_3$) : Bu oran yüksek ise hazne kaya sıcaklığı fazla olabilir.

Mg ve Mg / Ca Oranı : Mg^{++} miktarı ve Mg / Ca oranı küçük ise hazne kaya sıcaklığı yüksek olabilir.

Cl / SO_4 Oranı : Bu oran yüksek ise hazne kaya sıcaklığı yüksektir.

Cl / F Oranı : Bu değer fazla ise hazne kaya sıcaklığı da yüksek olabilir.

H₂ / Diğer Gazlar (Buhar Dışında) Oranı : Bu oran yüksek ise hazne kaya sıcaklığı fazladır. Sıcaklığın düşmesi ile hidrojen diğer gazlara oranla azalır.

4.4.1.2. Kantitatif Kimyasal Jeotermometreler

Kantitatif kimyasal jeotermometrelerin kullanılmasında bazı varsayımlar göz önünde bulundurulur. Bunlardan bazıları şunlardır.

- Sıcak sulardaki kimyasal maddelerin oluşması için gerekli kimyasal tepkimeler hazne kaya ve su arasında gerçekleşmektedir.
- Sıcaklık saptamasında gerekli maddelerin ortaya çıkması için oluşan kimyasal tepkimeler devamlıdır ve tepkimelerin hammaddesi hazne kayada boldur.
- Hazne kaya sıcaklığında kaya ve su arasında kimyasal denge gerçekleşmiştir.
- Hazne kayadan yüzeye erişen sıcak suyun, soğuma sonucunda kimyasal yapısı değişmez veya yeni bir kimyasal denge gerçekleşmez.
- Hazne kayadan gelen sıcak suların, soğuk yeraltı ve yüzey suları ile bir karışımı söz konusu değildir.

Bu varsayımların ilk üçü SiO₂ ve Na- K-Ca jeotermometreleri için kullanılır. Son iki varsayımda tam olarak gerçeği yansıtmaz. Çünkü hazne kayadan yüzeye doğru gelen sıcak suyun soğuması veya soğuk suların karışımı ile kimyasal yapısı değişimdir. Kantitatif kimyasal jeotermometreler çözünürlüğe, iyon değişimine ve iyon etkinliğine bağlı olmak üzere üçe ayrılır.

4.4.1.2.1. Çözünürlüğe Bağlı Jeotermometreler

Silis Jeotermometresi

Kuvars çözünürlüğüne bağlı jeotermometreler, hazne kaya sıcaklığının saptanmasında geniş ölçüde kullanılmaktadır. Bu jeotermometreler 150-225 °C sıcaklıklar arasında iyi sonuç vermektedir. Daha yüksek sıcaklıklarda hazne kayadan yüzeye doğru hareket eden sıcak kanda hızlı silis çökelimi gözlenir. Bu nedenle sıcaklığı 225 °C'ın üzerindeki hazne kayalardan gelen sularda gerçek sıcaklığı yansıtmaz.

Silis jeotermometreleri, kimyasal tepkimeyi etkileyen hazne kaya sıcaklığına veya sıcak suyun yükselirken soğumasına dayanılarak hazırlanmıştır. Silisyumun sıcaklıkla çözünürlüğü artmaktadır. Silisin bu özelliğinden yola çıkılarak çeşitli sıcaklıklar için jeotermometre bağıntıları hazırlanmıştır.

Silis Jeotermometre Bağıntılarının Çıkarılışı

1 Litre suda çözünen deneysel silis miktarları aşağıda verilmiştir. Bu değerler $1/T \text{ } ^\circ\text{K}$ cinsinden ve $\log \text{SiO}_2$ olarak ele alınırsa aşağıdaki değerler bulunur (Tablo 4.13).

Tablo 4.13 Bir litre suda çözünen deneysel silis miktarı

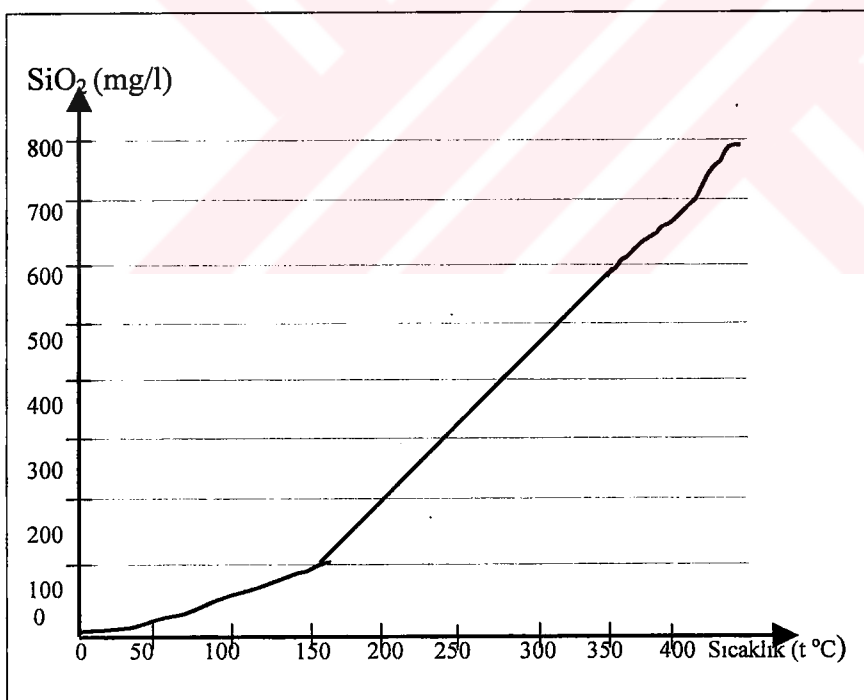
(Fournier and Potter, 1982)

T (°C)	SiO ₂ (mg/l)	T (°K)	1/T (°K) $\times 10^3$	LogSiO ₂
0	2	273,15	3,66	0,30
25	7	298,15	3,35	0,85
50	13	323,15	3,09	1,11
75	25,5	348,15	2,87	1,41
100	46	373,15	2,68	1,66
125	79	398,15	2,51	1,90
150	126	423,15	2,36	2,10

Tablo 4.13 devam

175	190	448,15	2,23	2,28
200	271	437,15	2,11	2,43
225	367	498,15	2,00	2,56
250	471	523,15	1,91	2,67
275	571	548,15	1,82	2,76
300	660	573,15	1,74	2,82
325	738	598,15	1,67	2,87

Bu hesaplanan değerleri önce sıcaklık ($t^{\circ}\text{C}$) yatay eksene, SiO_2 (mg/l) olarak düşey eksene denk gelecek şekilde her sıcaklık değerine karşılık gelen SiO_2 miktarı belirlenerek eğri çizilir. Yaklaşık olarak 175-250 $^{\circ}\text{C}$ arasında egrinin doğrusallık taşıdığı görülür (Şekil 4.13).

**Şekil 4.13 Sıcaklık ($t^{\circ}\text{C}$) ve SiO_2 (mg/l) çözünürlüğü**

Tam bir doğrusallık elde etmek için SiO_2 nin logaritmik değerleri düşey eksene $1/T \text{ } ^\circ\text{K} \times (10^3)$ değerleri de yatay eksene denk gelecek şekilde işaretlenir ve yine yatay eksende $t \text{ } ^\circ\text{C}$ değerleri işaretlenerek eğri çizilir (Şekil 4.13).

Şekil 4.13 'de görüldüğü gibi eğride $50-175 \text{ } ^\circ\text{C}$ arasında bir doğrusallık gözlenmektedir. O halde verilen örnekte bulunacak olan hazne kaya sıcaklığının saptanmasını sağlayan bağıntı $50-175 \text{ } ^\circ\text{C}$ sıcaklıklarında geçerlidir.

Bağıntıyı çıkarmak için $\log \text{SiO}_2$ değerlerine (düşey eksene) y, $1/T \text{ } (^0\text{K}) \times 10^3$ değerlerine de x dersek, Şekil 4.13' deki doğrusallık gösteren kısmın denklemi $y = a + bx$ şeklinde gösterilebilir. a ve b değerleri en küçük kareler yöntemi ile bulunur.

$$a = \frac{\Sigma y \Sigma x^2 - \Sigma x (\Sigma xy)}{n \cdot \Sigma x^2 - (\Sigma x)^2}, \quad b = \frac{n \Sigma xy - \Sigma x \Sigma y}{n \cdot \Sigma x^2 - (\Sigma x)^2}$$

$\log C = 5,117 - 1298 (1000 / T)$ bağıntısı elde edilir.

$$y = a - bx$$

$$\log C = 5,117 - 1291,8 / 2 \quad C = \text{SiO}_2 \text{ (mg/l)}$$

$$T = 1291,8 / 5,117 - \log C \text{ ve } t (^0\text{C}) \text{ ye çevrilirse}$$

$$t \text{ } ^\circ\text{C} = (1291,8 / 5,117 - \log C) - 273,15 \text{ bağıntısı elde edilir.}$$

Yukarıda örnekte uygulanan yolla değişik araştırmacılar değişik silisyum jeotermometre bağıntıları önermişlerdir. Düşük sıcaklıklarda kalseduan, amorf silis veya kristobalit silisin suda çözünürlüğünü denetler (Fournier ve Truesdel, 1973). Silisin allotrop çeşitleri sıcaklığa bağlı olarak $160 \text{ } ^\circ\text{C}$ de kuvars, $120-160 \text{ } ^\circ\text{C}$

arasında kuvars veya kalseduan, 120°C 'nin altında yalnızca kalseduandır (Arnorsan, 1975). 250°C 'ye kadar hazne kaya sıcaklığını veren bağıntılar şunlardır ;

Amorf silis	$t^{\circ}\text{C} = 731 / (4,52 - \log C) - 273,15$
Beta kristobalit	$t^{\circ}\text{C} = 781 / (4,51 - \log C) - 273,15$
Alfa kristobalit	$t^{\circ}\text{C} = 1000 / (4,78 - \log C) - 273,15$
Kuvars	$t^{\circ}\text{C} = 1309 / (5,19 - \log C) - 273,15$
Kalseduan	$t^{\circ}\text{C} = 1032 / (4,69 - \log C) - 273,15$

Silisin değişik koşullarda soğumasına bağlı hazne kaya sıcaklıklarını veren bağıntılar şöyledir ;

Kuvars adyabatik soğuma	$t^{\circ}\text{C} = 1533,5 / (5,768 - \log C) - 273,15$
Kuvars iletimi ile soğuma	$t^{\circ}\text{C} = 1315 / (5,205 - \log C) - 273,15$
Kalseduan iletimi ile soğuma	$t^{\circ}\text{C} = 1015,1 / (4,655 - \log C) - 273,15$

Bağıntılarda C, sıcak suların SiO_2 'yi tanımlar ve mg/l olarak alınır. İnceleme alanındaki sıcak su kaynaklarının SiO_2 değerleri sırası ile şöyledir. Buna göre yukarıda ki bağıntılarla hesaplanan hazne kaya sıcaklıkları aşağıda belirtilmiştir (Tablo 4.14) .

**Tablo 4.14 İnceleme alanındaki suların SiO_2 miktarına göre hesaplanan
hazne kaya sıcaklıkları**

Su Noktası	Alfa kristobalit	Kalseduan	Kuvars	Kuvars adyabatik soğuma	Kuvars iletim ile soğuma
Ayter-1	120,70	148,24	170,72	161,63	170,50
Ayter-2	117,32	144,49	167,44	158,94	167,23

Tablo 4.14 devam

Sarısı	86,82	110,77	137,45	134,04	137,40
İmamköy kuzey	109,99	136,37	160,29	153,05	160,12
İmamköy 1.kaynak	104,92	130,76	155,32	148,95	155,18
İmamköy 2.kaynak	121,95	149,62	171,93	162,62	171,70
Bozköy kap.	165,83	198,51	213,82	196,38	213,34
Çamur kaynağı	152,38	187,77	201,12	186,25	200,72

4.4.1.2.2. İyon Değişimine Bağlı Jeotermometreler

İyon değişim denge sabitleri sıcaklığın etkisindedir. Suda iyon değişimine uğrayan bir çok mineral bulunur ve bunlar jeotermometre olarak kullanılabilir.

Na / K Jeotermometresi

Bu jeotermometreler suda fazla miktarda Ca^{++} iyonu bulunuyorsa, hazne kaya sıcaklığı hesaplamalarında yüksek değerler verir. Na / K jeotermometrelerinin uygulanacağı sıcak suların pH değeri nötre yakın veya hafif alkali, karbonat çökelmelerinin oluşmaması, $\log (\sqrt{\text{Ca} / \text{Na}})$ değerinin 0,5' ten az olması koşulları aranmalıdır. Na / K jeotermometreleri, nötr ve alkali, alkali klorürlü, 180-350 °C sıcaklıklı kayadan gelen sularda iyi sonuçlar vermektedir.

Değişik araştırmacılar tarafından geliştirilen Na / K jeotermometre bağıntılarından bazıları şunlardır (Şahinci, 1991).

Hazne kaya sıcaklığı 25-250 °C arası ;

$$t^{\circ}\text{C} = 933 / [\log (\text{Na} / \text{K}) + 0,933] - 273,15$$

$$t^{\circ}\text{C} = 1319 / [\log (\text{Na} / \text{K}) + 1,966] - 273,15$$

Hazne kaya sıcaklığı 100-275 °C arası ;

$$t^{\circ}\text{C} = 855,6 / [\log (\text{Na} / \text{K}) + 0,857] - 273,15$$

$$t^{\circ}\text{C} = 777 / [\log (\text{Na} / \text{K}) + 0,70] - 273,15$$

Hazne kaya sıcaklığı 100-300 °C arası ;

$$t^{\circ}\text{C} = 1217 / [\log (\text{Na} / \text{K}) + 1,48] - 273,15$$

Bu çalışma alanında yapılan kimyasal analizler sonucunda sıcak su noktalarından elde edilen Na^+ ve K^+ değerleri şöyledir;

SU NOKTASI	Na^+ (mg/l)	K^+ (mg/l)
Ayter -1	2867,1	190,6
Ayter-2	1789,0	161,3
Bozköy kaplıcası	2072,3	103,7
Çamur kaynağı	2035,1	91,2

Buna göre sıcak su noktalarında elde edilen Na / K jeotermometresine göre hazne kaya sıcaklıklarını tablo 4.15 de belirtilmiştir.

Tablo 4.15 Na-K jeotermometresine göre saptanan hazne kaya sıcaklıkları

Su Noktası	1.Bağıntı (°C)	2.Bağıntı (°C)	3.Bağıntı (°C)	4.Bağıntı (°C)	5.Bağıntı (°C)
Ayter-1	168,96	146,51	147,49	140,8	184,88
Ayter-2	198,77	165,05	176,69	172,37	209,02
Bozköy kaplıcası	144,67	130,58	123,32	115,21	164,61
Çamur kaynağı	135,70	124,85	114,70	106,05	157,18

Na - K - Ca Jeotermometresi

Özellikle Ca / Na (mol/l) oranının birden büyük olduğu durumlarda Na / K jeotermometre bağıntıları, hazne kaya sıcaklığı hesaplamalarında çok yüksek değerler vermektedir. Bu olumsuz yönü gidermek için Fournier ve Truesdell (1973) tarafından şöyle bir bağıntı önerilmektedir.

$$t^{\circ}\text{C} = \frac{1647}{\log(\text{Na}/\text{K}) + B \log(\sqrt{\text{Ca}/\text{Na}}) + 2,24} - 273,15$$

Bağıntıda Na, K, Ca mol/l olarak alınır. B bir katsayıdır. Eğer $\log(\sqrt{\text{Ca}/\text{Na}})$ değeri (-) ise $B = 1/3$, (+) ise $B = 4/3$ olarak bağıntıya konur. Ayrıca $B = 4/3$ olarak hesaplanan hazne kaya sıcaklığı 100°C ' den fazla ise $B = 1/3$ alınarak hazne kaya sıcaklığı tekrar hesaplanabilir.

Bu çalışmada Na-K-Ca jeotermometresine göre su noktalarının hazne kaya sıcaklıkları Ayter-1: $160,38^{\circ}\text{C}$, Ayter-2: $163,95^{\circ}\text{C}$, İmamköy kuzeyi kaynağının $56,05^{\circ}\text{C}$, İmamköy 1.kaynağının $148,18^{\circ}\text{C}$, İmamköy 2.kaynağının $123,23^{\circ}\text{C}$, Bozköy kaplıca kaynağının $140,04^{\circ}\text{C}$ ve Çamur kaynağının $135,43^{\circ}\text{C}$ olarak saptanmıştır.

Na- K- Ca Jeotermometresinde Magnezyum Düzeltmesi

Fournier ve Potter (1979), Na- K- Ca jeotermometre bağıntısında bazı koşullarda düzeltmeler yapılmasını önermişlerdir. Buna göre düzeltme katsayısı (R) şu bağıntı ile bulunur.

$$R = (\text{Mg}/\text{Mg} + \text{Ca} + \text{K}) \times 100$$

Bağıntıda iyonlar mek/l olarak alınır. Eğer R, 50' den büyük ise, suların oldukça soğuk bir ortamdan geldiği ve hazne kaya sıcaklığının, kaynakta ölçülen sıcaklığa

yakın olduğu düşünülebilir. Bu nedenle Na - K - Ca bağıntısından elde edilen yüksek hazne kaya sıcaklıklarında bazı düzeltmeler yapılması gereklidir.

Bulunan hazne kaya sıcaklığı 70°C 'nin altında ise düzeltme yapılmaz. Tersine hazne kaya sıcaklığı 70°C 'den fazla ve 5-50 arasında veya daha yüksek ise aşağıda belirtilen bağıntılardan yararlanarak düzeltmeler yapılabilir ve hazne kaya sıcaklığından çıkarılır.

$$t^{\circ}\text{C} = 10,66 - 4,71 R + 325,87 (\log R)^2 - [1,032 - 10^5 (\log R)^2 / T] - [1,968 \times 10^7 - (\log R)^2 / T^2] + 1,605 \times 10^7 (\log R)^3 / T^2$$

Eğer R, 0,5-5 arasında ise şu bağıntı kullanılır ;

$$t^{\circ}\text{C} = -1,03 + 59,971 (\log R) + 145,05 (\log R)^2 - 36711 (\log R)^2 / T - 1,67 \times 10^7 (\log R) / T^2$$

Bağıntılarda $t^{\circ}\text{C}$, magnezyum düzeltme sıcaklığı ($^{\circ}\text{C}$), R, düzeltme katsayısı, T, Na- K- Ca jeotermometresinde hesaplanan hazne kaya sıcaklığıdır ($^{\circ}\text{K}$).

Bu çalışmada R değerleri Ayter-1 10,26, Ayter-2 32,94, Sarısu 2,88, İmamköy kuzeysi kaynağı 56,64, İmamköy 1.kaynağın 64,76, İmamköy 2.kaynağın 39,69, Bozköy kaplıca kaynağının 4,89, Çamur kaynağının 16,03 olarak saptanmıştır. Saptanan R değerleri 70' den küçük olduğu için magnezyum düzeltmesi yapılmasına gerek yoktur.

4.4.1.2.3. İyon Etkinliğine Bağlı Jeotermometreler

Bu tür jeotermometrelerde sıcak akışkanların kimyasal tahlillerinde bulunan iyon değerleri yerine bu iyonları hesaplanan iyon etkinlikleri kullanılır. İyon etkinliğine dayalı kalseduan, Na / K ve Na / Li jeotermometreleridir.

İyon Etkinliğine Bağlı Na / Li Jeotermometresi

Bu tip jeotermometreler için sıcak suyun içerdiği çözünmüş tuz miktarına bağlı olarak, iki değişik Na / Li jeotermometre bağıntısı verilmiştir.

Toplam çözünmüş tuz miktarı 0,30 mol/ kg' dan az sıcak akışkanlar için;

$$t \text{ } ^\circ\text{C} = 1000 / 0,38 + \log (\text{Na} / \text{Li}) - 273,15$$

Toplam çözünmüş tuz miktarı 0,30' a eşit veya daha fazla sıcak akışkanlar için;

$$t \text{ } ^\circ\text{C} = 1195 / 0,13 + \log (\text{Na} / \text{Li}) - 273,15$$

Bağıntılarda $a\text{Na}^+$ ve $a\text{K}^+$ mol/ kg alınır. İnceleme alanındaki bazı su noktalarının hesaplanan hazne kaya sıcaklıklarını tablo 4.16' da verilmiştir.

Tablo 4.16 İnceleme alanındaki suların iyon etkinliğine bağlı Na/Li jeotermometresine göre hesaplanan hazne kaya sıcaklıklarları

SU NOKTASI	HESAPLANAN SICAKLIK (°C)
Ayter-1	173,67
Ayter-2	211,82
İmamköy 2. kaynak	52,79
Bozkoy kaplıca kaynağı	232,41
Çamur kaynağı	217,05

4.5 SU KİMYASI

4.5.1 Suların Kimyasal Özellikleri

Çalışma alanındaki sular, içerdikleri anyon ve katyon miktarlarına (mek/l) göre şöyle sınıflanabilir.

Katyonlar :

$\text{Na}^+ > \text{K}^+ > \text{Ca}^{++} > \text{Mg}^{++}$ Ayter1, Ayter2, İmamköy 2. kay., Bozköy kap., çamur kay.

$\text{Na}^+ > \text{K}^+ > \text{Mg}^{++} > \text{Ca}^{++}$ Hıdırbeyli göleti yüzey suyu

$\text{Ca}^{++} > \text{Na}^+ > \text{K}^+ > \text{Mg}^{++}$ Sarısı

$\text{Mg}^{++} > \text{Ca}^{++} > \text{Na}^+ > \text{K}^+$ Salavatlı çeşmesi, İmamköy kuzeyi kay., İmamköy 1.kay.

Anyonlar :

$\text{HCO}_3^- > \text{Cl}^- > \text{SO}_4^{=}$ Bozköy kaplıca kaynağı, çamur kaynağı, Hıdırbeyli göleti

$\text{HCO}_3^- > \text{SO}_4^{=} > \text{Cl}^-$ Ayter1, Ayter2, Sarısı, Salavatlı çeşmesi, İmamköy kuzeyi

Kaynağı, İmamköy1.kaynak, İmamköy 2.kaynak

4.5.2 Suların Elektriksel İletkenliği

Saf su elektriği çok az geçirdiğinden, iyi bir yalıtkandır. Ancak, saf suya çok az miktarda karıştırılan mineral çözeltisi, suyun iletkenliğini yükseltir. 1 cm^3 suyun elektriksel iletkenliğine " özgül elektriksel iletkenlik" denir. Suyun özgül iletkenliği iyon cinsine, derişimine ve sıcaklığına bağlıdır. Elektriksel iletkenlik sıcaklıkla artar ve birbirleriyle karşılaştırmak için, genellikle 25°C ' ye indirgenerek verilir. Suların elektriksel iletkenliği yüksek ise, çürütme özelliği fazladır.

25°C ' de saf suyun iletkenliği 0,055 mikromho' dur. Laboratuvara elde edilen saf suların elektriksel iletkenlikleri 0,5 ile 5 mikromho ; içilecek suların 30-2000 ; çok tuzlu petrol sularının ise 10000 mikromho' dan fazladır (Tablo 4.17).

Tablo 4.17 Suların elektriksel iletkenliğine göre sınıflaması

EC	SUYUN SINIFI
< 250	Çok iyi
250-750	İyi
750-2000	Kullanılabilir
2000-3000	Şüpheli
>3000	Kullanılmaz

4.5.3 Suların Sertliği

Sertlik, su içinde çözünmüş halde bulunan Ca^{++} ve Mg^{++} bileşiklerinden ileri gelen bir özellikleir. Bu bileşiklerin çoğu Ca^{++} ve Mg^{++} , un oluşturdukları bikarbonatlar, sülfatlar, klorürler ve nitratlardır. Ca^{++} ve Mg^{++} bikarbonatlarından ileri gelen sertliğe "geçici sertlik" denir ve ısıtılmakla CaCO_3 ve MgCO_3 çökelerek bu sertlik giderilir. Suyun ısıtılarak geçici sertliğin giderilmesinin oldukça pahalı olması nedeniyle kimyasal yöntemler uygulanır. Suya amonyak ve sönmüş kireç katıldığında geçici sertlik, karbonat tuzları şeklinde çökelir. Sudaki sertlik ise Ca^{++} ve Mg^{++} , un karbonatlarından başka tuzlardan ileri gelir ve ısıtılarak giderilemez. Bu sertliği azaltmak için suya Na_2CO_3 konur. Kalıcı ve geçici sertliklerin toplamı ise toplam sertliği oluşturur (Şahinci, 1991).

Suların sertliğini gidermek için sulara boraks, trisodyum, fosfat, sodyum, metasilikat gibi maddeler atılır. Bu maddeler, bazik özellikleri nedeniyle, sudaki bikarbonatları karbonat tuzları ile, anyonları ise Ca^{++} ile birleşerek çözünmeyen çökelleri oluştururlar.

Zeolitler olarak tanımlanan sodyum alümina silikatlarının bünyelerindeki Na^+ iyonları, sudaki Ca^{++} ve Mg^{++} iyonları ile yer değiştirerek suyun yumuşamasını sağlar. Günümüzde zeolitlerden daha etkin yapay iyon değiştiriciler (reçineler) suların yumuşatılmasında kullanılmaktadır.

Suların sertliğini ölçmek için değişik yöntemler vardır. Bir Alman sertliği 100 ml suda bulunan 1 mg Ca^{++} miktarıdır. Bir İngiliz sertliği 70 ml suda bulunan 1 mg CaCO_3 'dır. Bir Fransız sertliği ise 100 ml suda bulanan 1 mg CaCO_3 miktarı ile tanımlanır.

$$1 \text{ Fransız Sertliği} = 0,56 \text{ Alman Sertliği} = 0,5 \text{ İngiliz Sertiği}$$

Suların sertliği özel olarak hazırlanmış sabun çözeltileri veya değişik kimyasal yöntemlerle doğrudan saptanır. Ancak bazı bağıntılarla suların sertliği hesap

edilebilir.

$$\text{Toplam Sertlik} = 0,2497 \text{ Ca}^{++} + 0,4115 \text{ Mg}^{++}$$

Ca^{++} ve Mg^{++} , mg/l' dir. Bu bağıntı Fransız Sertliğini verir. Suların sertliği basit olarak Ca^{++} ve Mg^{++} iyonlarının mek/l cinsinden toplamını 5 ile çarpmakla Fransız sertliği cinsinden bulunur. Suları sertliklerine göre sınıflamak mümkündür. Suların Fransız sertliğine göre sınıflaması şöyledir (Tablo 4.18).

Tablo 4.18 Suların Fransız sertliğine göre sınıflaması

FRANSIZ SERTLİĞİ	SUYUN SINIFI
0,0-7,2	Çok Yumuşak
7,2-14,5	Yumuşak
14,5-21,5	Az Sert
21,5-32,5	Oldukça Sert
32,5-54	Sert
54' ten fazla	Çok Sert

İnceleme alanındaki suların yapılan kimyasal analiz sonuçlarına göre Fransız sertlik değerleri aşağıda belirtilmiştir (Tablo 4.19).

Tablo 4.19 İnceleme alanındaki suların sertliklerine göre sınıflaması

SU NOKTASI	SERTLİĞİ (Fr)	SINIFI
Ayter-1	21,35	Az sert
Ayter-2	52,44	Sert
Sarısu	99,92	Çok sert
Salavatlı çeşmesi	49,32	Sert
İmamköy kuzeyi kaynağı	99,66	Çok sert
İmamköy 1.kaynak	60,03	Çok sert
İmamköy 2. kaynak	82,27	Çok sert
Bozköy kaplıcası kaynağı	25,54	Oldukça sert

Tablo 4.19 devam

Çamur kaynağı	29,43	Oldukça sert
Hıdırbeyli göleti	41,93	Sert

Bu sınıflamaya göre inceleme alanındaki suların Ayter-1 az sert su sınıfına, Bozköy kaplıca kaynağı ile çamur kaynağı oldukça sert, Ayter-2, Salavatlı çeşmesi, Hıdırbeyli göleti sert, Sarısı, İmamköy kuzeyi kaynağı, İmamköy 1. ve 2. kaynaklar çok sert su sınıfına girerler.

4.5.4 Suların Kalsit, Dolomit, Jips Doygunluğu ve CO₂ Gaz Basıncı

Suların kalsit, dolomit ve sülfat gibi tuzlarla doygunluğu hakkında bilgi edinmek çok önemlidir. Sondaj kuyuları ve su dağıtım borularında oluşacak kimyasal çökeller sorun yaratabilir. Bu nedenle, açılan kuyu ve kaptaj yapılacak kaynak sularında kimyasal çökelme özelliklerinin önceden bilinmesi gereklidir.

Suların kalsit, dolomit ve sülfat doygunluğu ile CO₂ basınçları, grafik ve hesaplama yöntemleri ile bulunabilir. Bu çalışmada, yalnızca hesaplama yöntemleri üzerinde durulacaktır.

4.5.4.1 Kalsit Doygunluk İndeksi (SIc)

CaCO₃'ün suda çözünmesi su içinde çözünmüş halde bulunan CO₂ gazı ile doğru orantılıdır. CO₂ gazının etkisiyle çözünen CaCO₃'ün kimyasal denklemi şöyledir (Şahinci, 1991).



Suyun sıcaklığına göre kalsit doygunluk indeksi (SIc) şöyledir.

$$\text{SIc} = \log [(\text{aCa}^{++}) (\text{aCO}_3^-)] / \text{Kc}$$

$$\text{Kc} = \text{CaCO}_3 \text{ denge sabitidir.}$$

25 °C ve 1 atm basınç koşulları için aCO_3^- değeri ;

$$(aCa^{++})(aCO_3^-) / (aCaCO_3^-) = K_c = 10^{-8,3} \text{ bağıntısında}$$

$(aH^+) (aCO_3^-) / (aHCO_3^-) = K_2 = 10^{-8,3}$ bağıntısından çekilerek yerine konur. K_2 HCO_3^- 'ün denge sabitidir. a ise iyon etkinliğini (mol/l) tanımlanır.

$$aCO_3^- = K_2 (aHCO_3^-) / (aH^+) \quad (aH^+ = 10^{-pH})$$

Bu durumda $SIC = \log (IAPc / K_c)$ olur.

$$SIC = \log [(aCa^{++})(aHCO_3^-) K_2] / K_c \cdot 10^{-pH}$$

$$K_2 / K_c = 0,01 \text{ (sabit)}$$

$$SIC = \log [(aCa^{++})(HCO_3^-) 0,01] / 10^{-pH}$$

$$IAPc = (aCa^{++})(aHCO_3^-) K_2 / 10^{-pH}$$

$SIC > +0,1$ ise suda $CaCO_3$ çökelmesi izlenir.

$-0,1 > SIC > +0,1$ ise su $CaCO_3$ 'ce doygundur.

$SIC < -0,1$ ise su $CaCO_3$ çözündürür.

Buna göre inceleme alanındaki suların yapılan kimyasal analiz sonuçlarına göre SIC değerleri ve yorumları aşağıdaki tablo 4.20' da verilmiştir.

Tablo 4.20 İnceleme alanındaki suların kalsit doyma indeksleri (SIC) ve yorumları

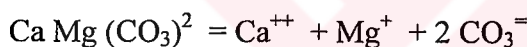
SU NOKTASI	SIC DEĞERİ	YORUMU
Ayter-1	0,635	$CaCO_3$ çökelir
Ayter-2	0,642	$CaCO_3$ çökelir

Tablo 4.20 devam

Sarısu	-0,104	CaCO_3 çözündürür
Salavatlı çeşmesi	0,538	CaCO_3 çökelir
İmamköy kuzeyi kaynağı	0,008	CaCO_3' ce doygundur
İmamköy 1.kaynak	-0,057	CaCO_3' ce doygundur
İmamköy 2.kaynak	0,024	CaCO_3' ce doygundur
Bozköy kaplıca kaynağı	0,414	CaCO_3 çökelir
Çamur kaynağı	0,893	CaCO_3 çökelir
Hıdırbeyli göleti	1,358	CaCO_3 çökelir

4.5.4.2 Dolomit Doygunluk İndeksi (SId)

Dolomit çözünürlüğü, CaCO_3' de olduğu gibi, su içinde çözünmüş CO_2 gazına bağlıdır. Dolomitin sudaki çözünürlüğü ;



Dolomit doygunluk indeksi (SId) şöyledir ;

$$\text{SId} = \log [(\text{aCa}^{++}) (\text{aMg}^{++}) (\text{aCO}_3^-)^2 / \text{Kd}]^{1/2}$$

yada ;

$$\text{SId} = \log [\text{IAPd} / \text{Kd}]^{1/2}$$

$$\text{IAPd} = (\text{aCa}^{++}) (\text{aMg}^{++}) (\text{aHCO}_3^-)^2 (\text{K}_2)^2 / 10^{-2\text{pH}}$$

Kd, dolomit denge sabitidir. 25°C ve 1 atm koşulları için $\text{Kd} = 10^{-17}$, dir. (aCa^{++}) , (aMg^{++}) ve $(\text{aHCO}_3^-)^2$ söz konusu iyonların etkinlikleri $\text{mol/l}'$ dir. SId' nin yorumu kalsit doyma indeksine benzer. Burada $\text{K}_2 = 10^{-10,3}$, dür.

$SId > +0,1$ ise dolomit çökelmesi izlenir.

$+0,1 > SId > -0,1$ ise su dolomitçe doygundur.

$SId < -0,1$ ise su dolomiti çözündürür.

İnceleme alanındaki suların yapılan kimyasal analizleri sonucunda elde edilen dolomit doygunluk indeksleri ve yorumları aşağıdaki tablo 4.21' da verilmiştir.

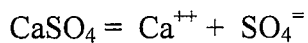
Tablo 4.21 İnceleme alanındaki suların dolomit doyma indeksleri (SId) ve yorumları

SU NOKTASI	SId DEĞERİ	YORUMU
Ayter-1	0,491	Dolomit çökelir
Ayter-2	0,733	Dolomit çökelir
Sarısu	-0,582	Dolomiti çözündürür
Salavatlı çeşmesi	0,694	Dolomit çökelir
İmamköy kuzeyi kaynağı	0,199	Dolomit çökelir
İmamköy 1.kaynak	0,224	Dolomit çökelir
İmamköy 2.kaynak	0,067	Dolomitçe doygundur
Bozköy kaplıca kaynağı	-0,010	Dolomitçe doygundur
Çamur kaynağı	0,749	Dolomit çökelir
Hıdrbeyli göleti	1,602	Dolomit çökelir

4.5.4.3 Jips Doygunluk İndeksi (SIj)

Sülfat iyonları yeraltı sularında daha çok kalsiyum iyonları ile dengededir.

CaSO_4 ' ün suda çözünürlüğü şöyledir.



Jips doyma indeksi yukarıdaki kimyasal dengeye göre şöyle yazılabilir ;

$$SI_j = \log [(a\text{Ca}^{++}) (a\text{SO}_4^-) / K_{\text{CaSO}_4}]$$

K_{CaSO_4} , kalsiyum sülfatın denge sabitidir. 25°C ve 1 atm koşullarında $K_{\text{CaSO}_4} = 10^{-2,31}$, dir. SI_j 'nin yorumu kalsit doygunluk indeksinde olduğu gibidir. Buna göre inceleme alanındaki suların jips doygunluk indeksleri ve yorumları aşağıdaki tablo 4.22' de verilmiştir.

Tablo 4.22 İnceleme alanındaki suların jips doyma indeksleri (SI_j) ve yorumları

SU NOKTASI	SI _j DEĞERİ	YORUMU
Ayter-1	-0,82	CaSO_4 çözündürür
Ayter-2	-0,73	CaSO_4 çözündürür
Sarısu	-0,38	CaSO_4 çözündürür
Salavatlı çeşmesi	-1,33	CaSO_4 çözündürür
İmamköy kuzeyi kaynağı	-1,00	CaSO_4 çözündürür
İmamköy 1.kaynak	-1,29	CaSO_4 çözündürür
İmamköy 2.kaynak	-0,76	CaSO_4 çözündürür
Bozköy kaplıca kaynağı	-1,09	CaSO_4 çözündürür
Çamur kaynağı	-1,14	CaSO_4 çözündürür
Hıdırbeyli göleti	-1,63	CaSO_4 çözündürür

4.5.4.4 Suda Çözünmüş Kısmı CO_2 Basıncının (PCO_2) Saptanması

Suda çözünmüş CO_2 gazının su ile yaptığı tepkimenin denge sabiti aşağıda verilmiştir.

$$K_{\text{CO}_2} = a \text{H}_2\text{CO}_3 / P_{\text{CO}_2}$$

Bağıntıda K_{CO_2} , CO_2 'nin denge sabitidir. 1 atm ve 25°C sıcaklık koşullarında $K_{\text{CO}_2} = 10^{-1,46}$, dir.

Yukarıdaki bağıntıda $a\text{H}_2\text{CO}_3$ yerine ;

$(aH^+) (aHCO_3^-) / (aH_2CO_3) = K_1 = 10^{-6,35}$ bağıntısındaki karşılığı konursa suda çözünmüş kısmi CO_2 gazının basıncı şöyle bulunur.

$$P_{CO_2} (\text{atm}) = (aH^+) (aHCO_3^-) / K_1 \cdot K_{CO_2}$$

$aH^+ = 10^{-pH}$, $K_1 = 10^{-6,35}$, $K_{CO_2} = 10^{-1,46}$ olarak alınırsa inceleme alanındaki suların kısmi karbondioksit gaz basınçları tablo 4.23' de verilmiştir.

Atmosferdeki CO_2 gazının kısmi basıncı $10^{-3,5}$ atm' dir. Eğer sudaki kısmi CO_2 basıncı (P_{CO_2}) atmosferdeki kısmi CO_2 basıncından büyük ise karbonat (kalsit veya dolomit) çökelmesi izlenebilir ve suların tümü atmosfer kısmi basıncından yüksek olduğundan gaz çıkışlıdır.

Tablo 4.23 İnceleme alanındaki suların kısmi CO_2 gaz basınçları (P_{CO_2}) ve yorumları

SU NOKTASI	Log P_{CO_2}	YORUMU
Ayter-1	-0,40	Karbonat çökelebilir
Ayter-2	-0,42	Karbonat çökelebilir
Sarışu	-0,24	Karbonat çökelebilir
Salavatlı çeşmesi	-1,87	Karbonat çökelebilir
İمامköy kuzeyi kaynağı	-0,42	Karbonat çökelebilir
İمامköy 1.kaynak	-1,12	Karbonat çökelebilir
İمامköy 2.kaynak	-0,47	Karbonat çökelebilir
Bozköy kaplıca kaynağı	-0,50	Karbonat çökelebilir
Çamur kaynağı	-1,06	Karbonat çökelebilir
Hıdırbeyli Göleti	-2,88	Karbonat çökelebilir

4.6 SULARIN KİMYASAL SINIFLAMASI

Kimyasal sınıflama, yeraltı sularının kökeni, egemen ve toplam çözünmüş iyon miktarı, değişik formasyonlardan gelen suların karşılaştırılması, içme, kullanma, endüstri ve tarımda kullanılabilme özellikleri gibi bir çok sorunların yanıtlamasında

yardımcı bir faktördür.

Bir çok farklı kimyasal sınıflama vardır. Bu çalışmada suların çözünmüş toplam katı maddelere göre sınıflaması ile Schoeller sınıflamasına degenilmiştir. Ayrıca ilk bakışta istenilen özelliklerin kolayca saptanabilmesi ve karşılaştırma yapılabilmesi amacıyla Schoeller yarı logaritmik diyagram kullanılmıştır.

4.6.1 Çözünmüş Toplam Katı Maddelere Göre Sınıflanması

Su içinde çözünmüş iyonların toplam miktarlarına göre, yeraltı suları şöyle sınıflanabilir (Şahinci, 1991), (Tablo 4.24).

İnceleme alanından alınan suların sınıflaması tablo 4.25' de verilmiştir.

Tablo 4.24 Su içinde çözünmüş iyonların toplam miktarlarına göre suların sınıflaması

SUYUN NİTELİĞİ	SUDA ÇÖZÜNMÜŞ TOPLAM İYON (mg/l)
Tatlı Sular	0 – 1000
Hafif Tuzlu Sular	1000 – 10000
Tuzlu Sular	10000 – 100000
Çok Tuzlu Sular	100000' den fazla

Tablo 4.25 İnceleme alanındaki suların suda çözünmüş toplam iyon miktarına göre sınıflaması ve yorumu

SU NOKTASI	SUDA ÇÖZÜNMÜŞ TOPLAM İYON	SUYUN NİTELİĞİ
Ayter-1	10923,9	Tuzlu sular
Ayter-2	7289,0	Hafif tuzlu sular
Sarısu	1624,7	Hafif tuzlu sular
Salavatlı çeşmesi	783,9	Tatlı sular
İmamköy kuzeyi kaynağı	1626,6	Hafif tuzlu sular

Tablo 4.25 devam

İmamköy 1.kaynak	1086,9	Hafif tuzlu sular
İmamköy 2.kaynak	1821,7	Hafif tuzlu sular
Bozköy kaplıca kaynağı	6821,7	Hafif tuzlu sular
Çamur kaynağı	6667,8	Hafif tuzlu sular
Hıdirbeyli Göleti	1625,0	Hafif tuzlu sular

Bu sınıflamaya göre inceleme alanındaki sulardan Salavatlı çeşmesi tatlı sular, Ayter-1 tuzlu sular, diğer su noktalarının hepsi hafif tuzlu sular sınıfına girmektedir.

4.6.2 Schoeller Sınıflaması

Schoeller, suları klorür, sülfat, karbonat miktarına, iyon, baz değişimine ve anyon katyon derişim ilişkilerine göre sınıflar. İnceleme alanındaki sular, klorür, sülfat ve karbonat, bikarbonat derişimine göre sınıflanmıştır (Şahinci, 1991).

4.6.2.1 Klorür Derişimi

- **Hiper Klorürlü Sular** : Klorür miktarı 700 mek/l' den doygunluğa kadar olan sulardır.
- **Klorotalasik Sular** : Klorür miktarı 420-700 mek/l arasında olan sulardır.
- **Klorürce Zengin Sular** : Klorür miktarı 140-420 mek/l arasındaki sulardır. (Devamlı içilebilen sularda bulunabilecek en yüksek klorür miktarı 40 mek/l' dir.)
- **Orta Klorürlü Sular** : Klorür miktarı 40-140 mek/l arasındaki sulardır.
- **Oligoklorürlü Sular** : Klorür miktarı 15-40 mek/l arasındaki sulardır.
- **Olağan Klorürlü Sular** : Klorür miktarı 15 mek/l' den az olan sulardır. (Yeraltı sularında çoğunlukla klorür miktarı 10 mek/l' den azdır.)

4.6.2.2 Sülfat Derişimi

- **Hiposülfatlı Sular** : Sülfat miktarı 58 mek/l' den fazla olan sulardır. (Deniz sularında ortalama 58 mek/l sülfat bulunur.)

- **Sülfatlı Sular :** Sülfat miktarı 24-58 mek/l arasındaki sulardır. (İçme suları için sülfat üst sınırı 24 mek/l' dir.)
- **Oligosülfatlı Sular :** Sülfat miktarı 6-24 mek/l arasındaki sulardır.
- **Olağan Sülfatlı Sular :** Sülfat miktarı 6 mek/l' den az olan sulardır.

4.6.2.3 Karbonat + Bikarbonat Derişimi

- **Hiperkarbonatlı Sular :** $\text{HCO}_3^- + \text{CO}_3^{=}$ toplamı 5 mek/l' den fazla olan sulardır.
- **Olağan Karbonatlı Sular :** $\text{HCO}_3^- + \text{CO}_3^{=}$ toplamı 2-7 mek/l arasında olan sulardır.
- **Hipokarbonatlı Sular :** $\text{HCO}_3^- + \text{CO}_3^{=}$ toplamı 2 mek/l' den az olan sulardır.

İnceleme alanındaki sulardan Bozköy kaplıca kaynağı ile çamur kaynağı klorür derişimine göre oligoklorürlü sular sınıfına girerler. Diğer su noktalarının hepsi olağan klorürlü sulardandır. Sülfat derişimine göre Ayter-1 ve Ayter-2 su noktaları sülfatlı sular sınıfına girerler, İmamköy 2. kaynak, Bozköy kaplıca kaynağı ve çamur kaynağı oligosülfatlı sular sınıfına girerler. Diğer su noktalarının hepsi olağan sülfatlı sular sınıfındadır. İnceleme alanındaki suların hepsi bikarbonat içermekte ve bu oran 5 mek/l' den fazla olduğu için hiperkarbonatlı sular sınıfındadır.

4.7 SULARIN KULLANMA ÖZELLİKLERİ

Doğal suların çok değişik kullanma alanları vardır. Bu kullanma alanları suyun kimyasal ve fiziksel özelliklerine bağlıdır. Bir çok yazar tarafından değişik sınıflamalar yapılmıştır. Bu çalışmada incelenen suların içme ve sulamada kullanılabilirliği araştırılmıştır.

4.7.1 Suların İçme Özellikleri

Suların içme özelliklerinin saptanması, iklim koşullarına, su potansiyeline ve jeolojik formasyonlara bağlı olarak ülkeden ülkeye değişir. Genel olarak içme

sularının sıcaklığı 7-10 °C arasında bulunmaktadır. 5 °C alt sınır, 18 °C üst sınır kabul edilir. İncelene alanındaki suların sıcaklıkları 18 °C' nin üzerindedir (Şahinci, 1991).

İçme suları renksiz ve kokusuz olmalıdır. İçinde hastalık yapan hiçbir bakterinin bulunmaması gereklidir. Elektriksel iletkenlik (EC) 2200 mikro mho/cm' yi, toplam sertlik (Fransız) 45' i, buharlaşma kalıntısı 1500 mg/l' yi, klorür miktarı 750 mg/l' yi geçmemelidir. İyi bir içme suyunda toplam iyon miktarı 7,5 mek/l' yi geçmez. 15 mek/l' den daha fazla toplam iyonu bulunan sular ancak zorunlu koşullarda içilebilir. İçme ve kullanma sularının pH' 1, 7-8,5 arasında değişir. İçme suları aşındırıcı, çürütücü ve kabuk yapıcı olmamalıdır. Schoeller tarafından geliştirilen ve suyun EC, sertlik (Fr), Na^+ , Cl^- , $\text{SO}_4^{=}$ (mg/l) miktarına göre suların içilebilirlik diyagramı oldukça yaygındır. Aşağıdaki tabloda suların kimyasal analiz sonuçlarına göre içilebilme özellikleri verilmiştir (Şekil 4.14).

İnceleme alanındaki suların Schoeller içilebilirlik sınıflamasına göre Ayter1, Ayter2, Bozköy kaplıca kaynağı, çamur kaynağı zorunlu olmadıkça içilemeyecek sular sınıfına girer, giğer su noktalarından sarısı, Salavatlı çeşmesi, İmamköy kuzeyi kaynağı, İmamköy 1. ve 2. kaynakları ve Hıdırbeyli göleti suları içilebilir sular sınıfında girerler (Tablo 4.26).

Tablo 4.26 İnceleme alanındaki suların kimyasal analiz sonuçlarına göre içilebilme özellikleri

SU NOKTASI	EC ($\mu\text{ho}/\text{cm}$)	SERTLİK (Fr)	Na^+ (mg/l)	Cl^- (mg/l)	$\text{SO}_4^{=}$ (mg/l)
Ayter-1	7430	21,35	2867	240	2522
Ayter-2	5400	52,44	1789	220	1470
Sarısı	1731	99,92	40	38	413
Salavatlı çeşmesi	967	49,32	22	31	140
İmamköy kuzeyi kaynağı	1709	99,66	23	20	228
İmamköy 1. kaynak	1244	60,03	56	28	212
İmamköy 2. kaynak	1841	82,27	227	29	344

Tablo 4.26 devam

Bozköy kaplıca kaynağı	7020	25,54	2072	1325	669
Çamur kaynağı	6890	29,43	2035	1275	690
Hıdırbeyli göleti	1975	41,93	292	294	184

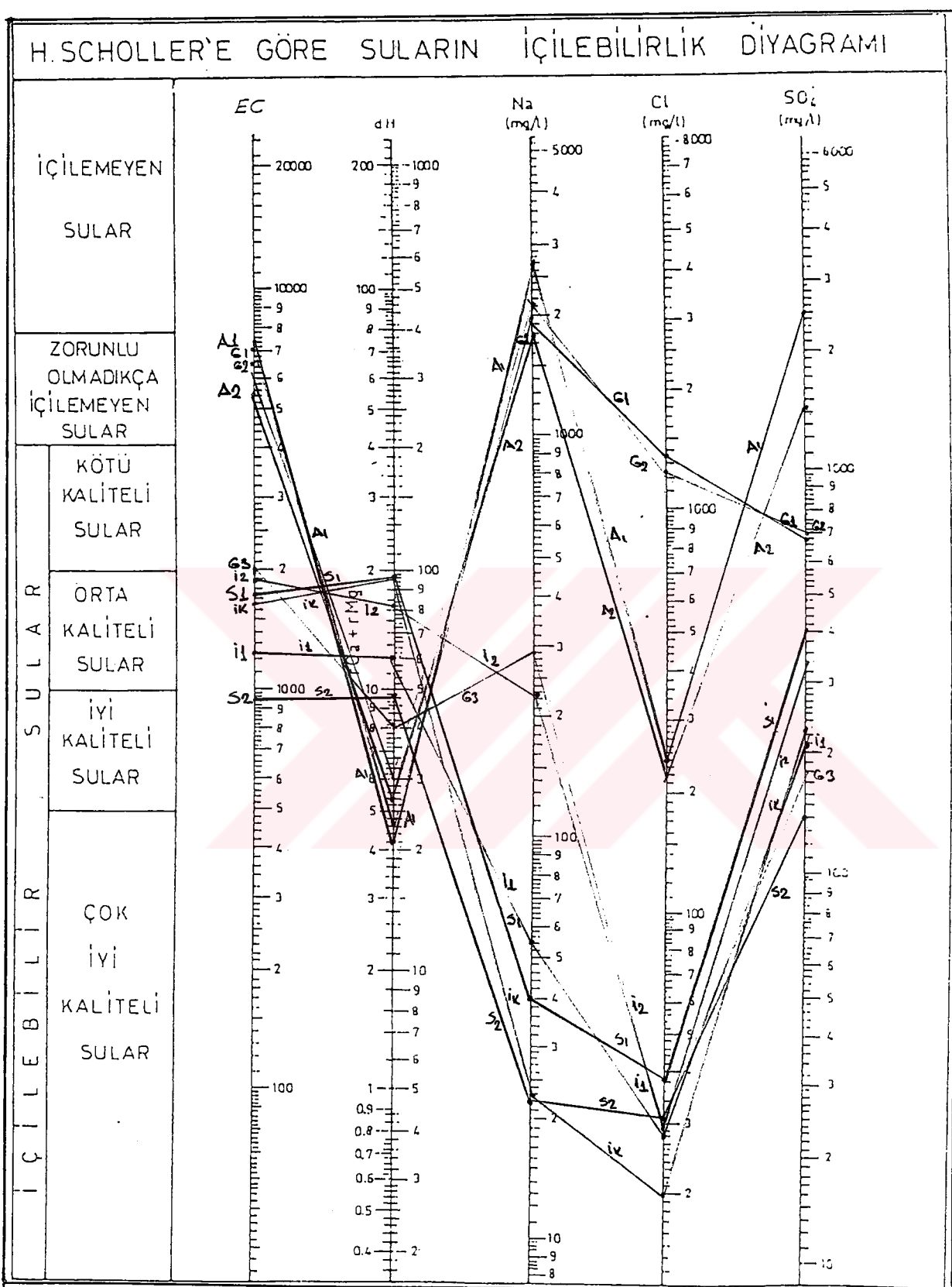
4.7.2 Suların Sulama Özellikleri

Suda çözünmüş iyon miktarı fazla ise bitkilere ve tarımsal toprağa fiziksel ve kimyasal yollarla etkiyerek verimi düşürür. Bu iyonların fiziksel etkisi, bitki yapısındaki hücrelerde osmotik basıncı azaltarak suların dal ve yapraklara erişmesini engeller. Kimyasal yolla ise bitki metabolizmasını bozarlar. Tuzlu sulardaki sodyum, zemindeki kalsiyum iyonları ile yer değiştirerek toprağın geçirgenliğini ve havalandmasını azaltır. Dolayısıyla bitkilerin gelişmesi yavaşlar. Bitkilerin sudaki tuzlara karşı dirençleri farklı olduğundan, sulama için kullanılan suların tuz derişiminin üst sınırını vermek güçtür.

Bitki gelişmesi ile su kalitesi arasındaki ilgi yanında toprağın akaçlaması da önemli yer tutar. Geçirgenliği fazla, akaçlaması iyi tarım topraklarında su, tuzlu da olsa bitkilerin gelişmesini engelmez. Tersine geçirgenliği ve akaçlaması kötü zeminlerde su az tuzlu olsa bile, bitki köklerinde tuz birikimleri oluşarak bitkilerin gelişmesi güçleşir.

Sonuç olarak ; bitkilerin gelişmesini su kalitesinden başka toprağın cinsi, geçirgenliği, akaçlaması, iklim koşulları, kullanılan su miktarı, bitki türü, sulama şekilleri ve uygulanan yetiştirmeye yöntemleri gibi özellikleri de etkiler.

Sulama sularının kimyasal özelliklerini saptamak için çeşitli yöntemler önerilmiştir.



Şekil 4.14 Schoeller'e göre suların içilebilirlik diyagramı

4.7.2.1 Sodyum Tehlikesi (SAR)

Sulama sularında sodyum iyonunun fazla olması, toprağın yapısını bozarak geçirgenliğini azaltır. Sulamadan sonra zeminin üst yüzeylerinde sert bir kabuğun oluşmasına neden olur ve bitki köklerinin havalandırması engellenir. Ayrıca bitkiler için zehirli bir ortam yaratır. Sudaki sodyum miktarı % olarak şöyle bulunur (Şahinci, 1991).

$$\% \text{ Na} = 100 (\text{Na} + \text{K}) / (\text{Ca} + \text{Mg} + \text{K} + \text{Na})$$

Yukarıdaki bağıntının farklı biçimde ifadesi şöyledir ;

$$\text{Sodyum Adsorption Ratio (SAR)} = \text{Na} / \sqrt{(\text{Ca} + \text{Mg})} / 2$$

Bağıntılarda, iyonlar mek/l olarak alınır.

SAR' a göre sulama suları aşağıdaki şekilde sınıflanabilir (Tablo 4.27).

Tablo 4.27 % SAR' a göre sulama sularının sınıflaması

SUYUN NİTELİĞİ	SAR (%)
Çok iyi özellikteki sulama suları	< 10
İyi özellikteki sulama suları	10-18
Orta özellikteki sulama suları	18-26
Fena özellikteki sulama suları	> 26

İnceleme alanındaki su noktaları SAR' a göre sınıflaması aşağıdaki tabloda gösterilmiştir (Tablo 4.28). Buna göre inceleme alanındaki sulardan Ayter1, Ayter2, Bozköy kaplıca kaynağı ve çamur kaynağı fena özellikteki sulama suları sınıfına girerler. Diğer su noktaları ise çok iyi özellikteki sulama suları sınıfına girer.

Tablo 4.28 İnceleme alanındaki suların % SAR' a göre sınıflaması

SU NOKTASI	SAR (%)	SUYUN NİTELİĞİ
Ayter-1	85,342	Fena özellikteki sulama suları
Ayter-2	33,982	Fena özellikteki sulama suları
Sarsu	0,550	Çok iyi özellikteki sulama suları
Salavatlı çeşmesi	0,427	Çok iyi özellikteki sulama suları
İmamköy kuzeyi kaynağı	0,316	Çok iyi özellikteki sulama suları
İmamköy 1. kaynak	0,987	Çok iyi özellikteki sulama suları
İmamköy 2. kaynak	3,444	Çok iyi özellikteki sulama suları
Bozköy kaplıca kaynağı	56,399	Fena özellikteki sulama suları
Çamur kaynağı	51,597	Fena özellikteki sulama suları
Hıdırbeyli göleti	6,204	Çok iyi özellikteki sulama suları

4.7.2.2 Sulama Sularının Wilcox' a Göre Sınıflaması

Wilcox sulama sularını % Na, klorür, sülfat, bor ve elektriksel iletkenliğe karşı duyarlıklarına göre sınıflar (Tablo 4.29).

Wilcox ayrıca düşey eksende % Na miktarı ve yatay eksende EC miktarını belirten suların sulama amacıyla kullanılmasına ilişkin diyagram geliştirmiştir (Şekil 4.15). Verilen EC yatay eksende bulunarak, bu noktadan yatay eksene bir dik çizikler ve % Na' dan çizilen pareleli kestiği nokta suyun özelliğini verir.

İnceleme alanındaki suların % Na, rCl, rSO₄, EC ve bor(B) değerleri tablo 4.31'da verilmiştir. Burada "r" mek/l' yi tanımlar.

Tablo 4.29 Sulama sularının Wilcox' a göre sınıflaması (Şahinci, 1991)

SUYUN SINIFI	% Na	rCl ⁻	r SO ₄ ⁼	EC (mmho/cm)
Çok iyi	< 20	< 4	< 4	< 250
İyi	20-40	4-7	4-7	250-750
Kullanılabilir	40-60	7-12	7-12	750-2000

Tablo 4.29 devam

Şüpheli	60-80	12-20	12-20	2000-3000
Kullanılmaz	> 80	> 20	> 20	> 3000

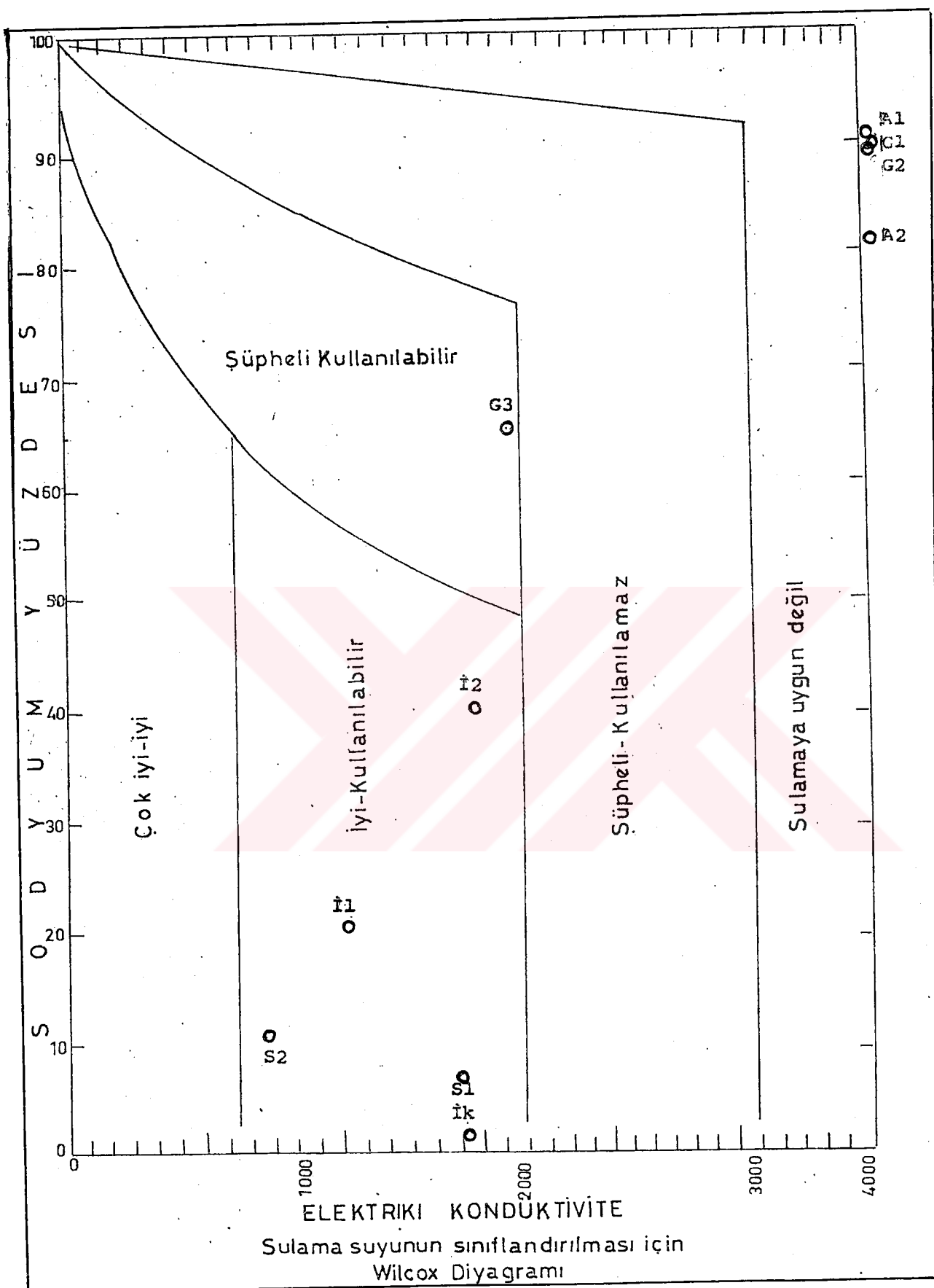
Wilcox sınıflamasında bor miktarıda göz önüne almış ve bor miktarlarına göre aşağıdaki şekilde sınıflama yapmıştır (Tablo 4.30).

Tablo 4.30 Sulama sularının Wilcox sınıflamasında bor miktarına göre sınıflaması

SUYUN SINIFI	SUDA BULUNAN BOR (mg/l)		
	DUYARLI BITK.	YARI DAYANIKLI BITK.	AZ DAYANIKLI BITK.
Çok iyi	< 0,33	< 0,67	< 1,00
İyi	0,33-067	0,67-1,33	1,00-2,00
Kullanılabilir	0,67-1,00	1,33-2,00	2,00-3,00
Şüpheli	1,00-1,25	2,00-2,50	3,00-3,75
Kullanılmaz	> 1,25	> 2,50	> 3,75

Tablo 4.31 İnceleme alanındaki su noktalarının sulama amaçlı Wilcox sınıflamasındaki yeri

SUYUN SINIFI	% Na	r Cl	rSO ₄ ⁻	EC (mmho/cm)	B(mg/l)
Ayter-1	93,16	6,76	52,53	7430	52,25
Ayter-2	84,18	6,20	30,61	5400	49,25
Sarısu	7,93	1,07	8,60	1731	0,48
Salavatlı çeşmesi	8,53	0,87	2,92	967	---
İmamköy kuzeyi kaynağı	4,57	0,56	4,74	1709	---
İmamköy 1. kaynak	15,92	0,79	4,42	1244	---
İmamköy 2. kaynak	36,14	0,82	7,16	1841	---
Bozköy kaplıca kaynağı	92,07	37,75	13,94	7020	59,75
Çamur kaynağı	91,50	35,94	14,37	6890	59,75
Hıdırbeyli göleti	57,13	8,29	3,83	1975	7,26



Şekil 4.15 Wilcox diyagramına göre sulama sularının sınıflanması

Wilcox diyagramına göre Ayter-1, Ayter-2, Bozköy kaplıca kaynağı ve çamur kaynağı sulamaya uygun olmayan kullanılamaz su sınıfına girer. Sarısu, Salavatlı çeşmesi, İmamköy kuzeyi kaynağı, İmamköy 1. kaynak ve İmamköy 2. kaynak su noktaları iyi kullanılabilir, Hıdırbeyli göleti su noktası şüpheli kullanılabilir su sınıfına girer.

4.7.2.3 ABD Tuzluluk Laboratuvarı Diyagramı

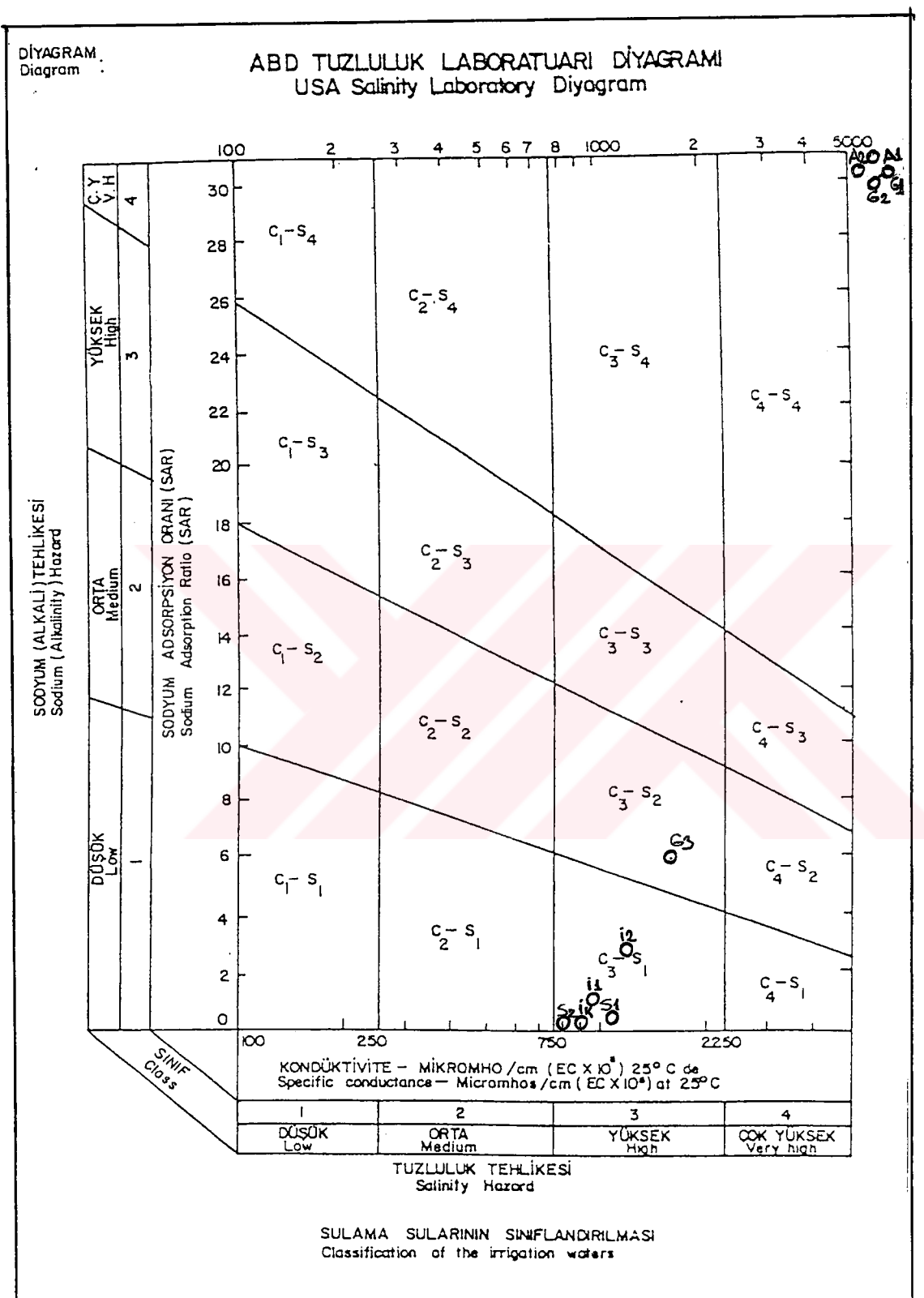
Wilcox diyagramında bazı değişiklikler yapılarak hazırlanan bu diyagramda sulama suları 16 sınıfa ayrılmıştır. Düşey eksende SAR değeri, yatay eksende EC bulunur. Suyun sınıfının saptanması Wilcox diyagramında olduğu gibidir (Şekil 4.16). Bu diyagramın yorumu şöyledir.

4.7.2.3.1 Genel Tuzluluk Özellikleri

- **C₁ (EC 250 mmho/cm' den az), az tuzlu sular :** Her toprakta tüm bitkilerin sulamasına uygundur.
- **C₂ (EC 250-750 mmho/cm), orta tuzlu sular :** Orta akaçlama özelliğindeki topraklarda, tuzluluk tehlikesi olmadan tüm bitkiler sulanabilir.
- **C₃ (EC 750-2250 mmho/cm), tuzlu sular :** Akaçlaması kötü olan arazilerde ve sulamalarda kullanılmaz. Zeminde tuz miktarının gözlenmesi gerekebilir. Bu özellikteki sular kullanılaraksa tuza karşı dayanıklı bitkiler seçilmelidir.
- **C₄ (EC 2250 mmho/cm' den fazla), çok tuzlu sular :** Geçirgenliği ve akaçlaması çok iyi topraklarda, zeminin yıkanmasını sağlamak için bol su verilmelidir. Tuza karşı çok dayanıklı bitki türleri seçilmelidir.

4.7.2.3.2 Sodyum Tehlikesi Özellikleri

- **S₁ (az sodyumlu sular) :** Hemen, hemen tüm topraklarda sodyum tehlikesi yaratmadan kullanılabilir.
- **S₂ (orta sodyumlu sular) :** Geçirgen veya bol jipsli arazilerde kullanılabilir. Yıkama ile toprağın tuzluluğu azaltılabiliyorsa özellikle bu tip sular



Sekil 4.16 ABD Tuzluluk diyagramına göre sulama sularının sınıflanması

kullanılmalıdır.

- **S₃ (yüksek sodyumlu sular)** : Bir çok toprak cinslerinde sodyum tehlikesi olabilir. Çok iyi geçirgen ve akaçlama gösteren arazilerde bol su kullanarak belirli sürelerde yapılacak kimyasal analizlerle sodyum tehlikesi denetlenmelidir.
- **S₄ (çok yüksek sodyumlu sular)** : Genel olarak sulama için uygun değildir. Ancak suyun toplam tuz miktarı düşük ise sulamada kullanılabilir.

Böylece C₁S₁, C₂S₁, C₃S₁ her tür sulamada, C₄S₁, C₃S₂ bazı özel koşullarda kullanılabilir. C₄S₂, C₄S₃ ve C₄S₄ sulamada kullanılmaz.

İnceleme alanındaki suların Ayter1, Ayter2, Bozköy kaplıca kaynağı ve çamur kaynağı C₄S₄ su sınıfına girmektedir ve sulamada kullanılmaz. Sarısu, Salavatlı çeşmesi, İmamköy kuzeyi kaynağı İmamköy 1. kaynak ve İmamköy 2. kaynak su noktaları C₃S₁ su sınıfına girerler ve her tür sulamada kullanılabilirler. Diğer su noktası olan Hıdırbeyli göletinin suları C₃S₂ sınıfına girmektedir ve bazı özel koşullarda kullanılabilir.

4.7.3 Suların Endüstride Kullanılma Özellikleri

Endüstride kullanılan suların özellikleri, kullanma amacıyla göre değişir. Buhar kazanlarında kullanılan sularda köpürme çok önemlidir. Suların köpürmesi, kaynama sırasında su yüzeyine biriken köpüklerden ileri gelir. Bu olayda su fışkırmaları ve önemli su değişimleri buharlaşmayı, kazan sistemlerini olumsuz yönde etkiler. Suların kaynarken köpürmesinin nedeni, su yüzeyinde sodyum ve potasyum tuzlarının çok zengin bir zar tabakasının oluşmasıdır. Suyun kaynarken köpürmesi (F), aşağıdaki bağıntıya göre sınıflanır (Şahinci, 1991).

$$F = 62 r\text{Na}^+ + 78 r\text{K}^+ \quad (r = \text{mek/l})$$

Bu bağıntıya göre suların köpürme özelliği aşağıdaki tablo 4.32' da verilmiştir.

Tablo 4.32 Suların köpürme özelliğinin sınıflaması

F DEĞERİ	SUYUN NİTELİĞİ
$F < 60$	Kaynarken köpürmeyen sular
$60 < F < 200$	Kaynarken köpüren sular
$F > 200$	Kaynarken çok köpüren sular

İnceleme alanındaki suların köpürme özellikleri tablo 4.33' da verilmiştir. Bu sınıflamaya göre inceleme alanındaki sulardan Sarısu, Salavatlı çeşmesi ve İmamköy kuzeyindeki kaynağın kaynarken köpüren sular sınıfına girmektedir. Diğer su noktaları kaynarken çok köpüren sular sınıfına girmektedir.

Tablo 4.33 İnceleme alanındaki suların köpürme özellikleri

SU NOKTASI	F DEĞERİ	YORUMU
Ayter-1	8113,3	Kaynarken çok köpüren sular
Ayter-2	5147,2	Kaynarken çok köpüren sular
Sarısu	125,7	Kaynarken köpüren sular
Salavatlı çeşmesi	82,4	Kaynarken köpüren sular
İmamköy kuzeyi kaynağı	128,4	Kaynarken köpüren sular
İmamköy 1. kaynak	209,9	Kaynarken çok köpüren sular
İmamköy 2. kaynak	690,8	Kaynarken çok köpüren sular
Bozköy kaplıca kaynağı	5796,0	Kaynarken çok köpüren sular
Çamur kaynağı	5670,7	Kaynarken çok köpüren sular
Hıdrbeyli göleti	877,3	Kaynarken çok köpüren sular

Beton yapımında kullanılan sularda genellikle sülfat, 150 mg/l ve serbest CO₂, 20 mg/l üst sınır olarak kabul edilir. Suda sülfatın derişim miktarı betonun parçalanmasında önemlidir. Suda bulunan sülfat miktarına göre betonların etkime dereceleri şöyledir (Tablo 4.34).

Tablo 4.34 Sudaki sülfat miktarına göre betonların etkime dereceleri

ETKİME DERECESİ	SUDAKİ $\text{SO}_4^{=}$ (mg/l)
Pratik olarak yok	0-150
Etkime var	150-1000
Önemli	1000-2000
Çok önemlidir	> 2000

Bu sınıflamaya göre inceleme alanındaki suların betona etkime dereceleri tablo 4.35' de verilmiştir. Bu sınıflamaya göre ise inceleme alanındaki sulardan Ayter-1 su noktasının betona etkisi çok önemlidir. Ayter-2 su noktası önemli, Salavatlı çeşmesinde ise pratik olarak yoktur. Diğer su noktalarında betona etkime vardır.

Tablo 4.35 İnceleme alanındaki su noktalarının sülfat miktarına göre betonların etkime dereceleri

SU NOKTASI	$\text{SO}_4^{=}$ (mg/l)	YORUMU
Ayter-1	2522	Çok önemlidir
Ayter-2	1470	Önemli
Sarısú	413	Etkime var
Salavatlı çeşmesi	140	Pratik olarak yok
İmamköy kuzeyi kaynağı	228	Etkime var
İmamköy 1. kaynak	212	Etkime var
İmamköy 2. kaynak	344	Etkime var
Bozköy kaplıca kaynağı	669	Etkime var
Çamur kaynağı	690	Etkime var
Hıdırbeyli göleti	184	Etkime var

BÖLÜM 5

JEOTERMAL ALANLARDAN KAYNAKLANAN BOR KİRLİLİĞİ

İnsanların ve diğer canlıların yaşamında suyun çok büyük önemi vardır. Ancak giderek artan nüfus, hızlı gelişen endüstri ve sayıları hızla artan fabrikalar suların çok çabuk kirlenmesine neden olmaktadır.

Bu bölümde Büyük Menderes Havzası'ının can damarı olan Büyük Menderes Nehri'ne yörenin bor(B) içeriği yüksek yeraltı sıcak su kaynakları bakımından zengin ve bu suların değişik amaçlarla çıkarılarak enerji üretimi, ısıtma, kaplıca gibi değişik amaçlarla kullanıldıktan sonra atık suların Büyük Menderes Nehri'ne karışması sonucu neden olan bor kirliliği incelenerek alınması gereken tedbirler saptanmıştır.

5.1 Bor Kirliliği

Bor su kirliliğine yol açan kimyasal parametrelerden birisidir. Doğada en az rastlanılan elementlerden olan biri olan bor periyodik tabloda üçüncü grubun en hafif aynı zamanda asidik ve metalik olmayan tek elementidir. Kimyasal bileşiklerini daima oksijen ile oluşturur. Üç değerlimasına karşın B^{+3} katyonuna yüksek iyon potansiyelinden ($i=13,0$) ve düşük iyon çapından ($0,23 \text{ Å}^0$) dolayı doğada hiç rastlanmaz. Örneğin $B_2(SO_4)_3$ veya $B(NO_3)_3$ tuzları doğada yoktur. Bunun yerine bor atomu üç oksijen atomu ile birleşerek BO^{-3}_3 grupları veya BO^{-5}_4 oluşturur. Suyun pH'ına bağlı olarak borun bulunmuş şekli değişir. Asitli sularda ($pH \leq 6$) ortoborik asit egemendir (H_3BO_3) egemendir. Nötr veya alkali doğal sularda tetra-penta-hekza ve diğer poliboratlar gözlenir. Süperjende (düşük sıcaklık ve basınç ortamı)

boratların çökelmesi kalsiyum ve magnezyum etkisindedir. Sıcaklığın yükselmesi ile çözünürlüğü artar. Bu nedenle bor hidrotermal ortamlarda hızlı, süperjende yavaş göç eder. Borun bilinen 112 mineralinin çoğu (% 60'ı) süperjende bulunur ve bunlara borat denir. Hipojende (yüksek sıcaklık ve basınç ortamı) borosilikatlar vardır. Örneğin turmalin, datolit, danburit birer hipojen mineralidir (Filiz, Irmak, & Tarcan, 1994).

Bitkiler için gerekli elementler arasında bulunan bor (B) 'un noksanlığı kadar, fazlalığı da bitkilere zarar vermektedir. Hemen, hemen bütün organizmalarda bor bulunur. Çiceklerde, meyvelerde, mısırda bor miktarı fazladır. Bor bitkilerin büyümesinde büyük etkisi vardır. Özellikle pirinç, patates, domates, pamuk tütün gibi bitkiler bor severdir. Ayrıca bor bitkileri bazı hastalıklardan korur (polen, tohum strilliği gibi). Az miktarda bor tarımda verimi artırmayı özelliği taşımakla beraber, fazlası zehirleyicidir. Ancak bazı bitkiler topraktaki bor miktarının arttılarından etkilenmez, yalnızca kendi gereksinimi kadarını soğurur. Yonca bora karşı dayanıklıdır (Tablo 5.1). Meyve ve zebzeler bor yönünden daha zengindirler ve 10-50 ppm' e kadar bor içerebilirler. İnsan vücutunda 30 ppm' e kadar boş bor görülebilir. Meyve zebzelerle insan vücutuna giren bor organizma tarafından tutulmaz ve idrar ile atılır. İnsan vücutunda tutulan bor 2-5 mg/gün ile 10-20 mg/gün arasında değişir.

**Tablo 5.1 Bitkilerin bor (B) mineraline karşı duyarlılıklarını
(Oruç, 1994' den değiştirilerek)**

DAYANIKLIKLARI	DEĞER(mg/l)	BİTKİLER
Hassas Bitkiler	0,3-1,0 mg/l	Limon, Şeftali, İncir, Üzüm, Ceviz
Yarı Hassas Bitkiler	1,0-2,0 mg/l	Biber, Zeytin, Pamuk, Buğday, Arpa,Mısır
Dayanıklı Bitkiler	2,0-3,0 mg/l	Marul, Lahana, Bakla, Yonca,Soğan

Bölgelinin belli başlı tarımsal ürünlerinden olan incir bora karşı hassas bitkiler sınıfına girerken zeytin ve pamuk yarı hassas bitkiler sınıfına girmektedir (Şekil 5.1-2).



Şekil 5.1 Aydın Germencik Ömerbeyli jeotermal alanı çevresindeki incir bahçelerinden bir görünüm



Şekil 5.2 Aydın İmamköy jeotermal alanı çevresindeki zeytin bahçelerinden bir görünüm

Aydın İli jeotermal alanlar yönünden oldukça zengin bir il olması Büyük Menderes Nehri' nin ve havzanın bor (B) yönünden kirlenmesine sebep olmaktadır. Aydın İlçecabası ve İmamköy, Aydın Sultanhisar Salavatlı, Aydın Germencik Ömerbeyli jeotermal enerji tesisleri ve havzada açılan ve açılacak olan jeotermal kuyuların atıklarında bulunan bor (B) minerali havzanın kirlenmesinde önemli rol oynamakta ve tarımsal faaliyetlerde ciddi tehlikeler yaratmaktadır.

Jeotermal atık sular Büyük Menderes Nehri' nde bor artışına sebep olduğu gibi, sıcaklık artışına tuzluluk ve sodyum artışlarına da sebep olmaktadır. Büyük Menderes Havzası' nın can damarı olan Büyük Menderes Nehri' nin değişik noktalarından alınan su örneklerinde yüksek bor (B) seviyelerine rastlanmıştır (Tablo 5.2).

Tablo 5.2 Büyük Menderes Nehri bor düzeyleri ppm (Oruç, 1994)

SU ÖRNEĞİ ALINAN NOKTA	BOR MİKTARI (ppm)
Feslek Reğulatörü	0,80
Nazilli Köprüsü	0,78
Çine Köprüsü	0,73
Koçarlı Köprüsü	0,69
Bağarası Köprüsü	0,74
Balat Köprüsü	0,74

Büyük Menderes Nehrin' de görülen yüksek bor değerleri jeotermal atık suların nehrin sularına karışığının göstermektedir. Denizli Kızıldere jeotermal enerji santralinden nehre bırakılan atık sular ile ilerde işletilmesi düşünülen Sultanhisar Salavatlı ve Germencik Ömerbeyli jeotermal alanlarındaki derin kuyularından bırakılacak atık suların da nehre gideceği düşünülürse havzada meydana gelebilecek bor kirliliği artacaktır. Oysa Büyük Menderes Havzası için verilen kritik değer 0,67-1.0 mg/l kullanılabilir değerleri aşmamalıdır.

İnceleme alanından alınan su noktalarında bor yüksek değerler taşımaktadır (Tablo 5.3).

Tablo 5.3 İnceleme alanındaki bor değerleri

SU NOKTASI	BOR DEĞERLERİ (mg/l)
Ayter-1	52,25
Ayter-2	49,25
Sarısu	0,48
Salavatlı çeşmesi	< 0,48
İmamköy kuzeyi kaynağı	< 0,48
İmaköy 1. kaynak	< 0,48
İmamköy 2. kaynak	< 0,48
Bozköy kaplıca kaynağı	59,75
Çamur kaynağı	59,75
Hıdırbeyli göleti	7,26

İnceleme alanındaki sulardan sıcaklıkların yüksek olan su noktalarının bor içeriklerinde yüksek olduğu görülmektedir. Özellikle Germencik jeotermal alanı içindeki su noktalarının bor konsantrasyonları yüksek değerler taşımaktadır. Ayrıca Hıdırbeyli göletinin de bor konsantrasyonu yüksektir. Bu alandaki sıcak su kaynaklarının göletin sularına karıştığını göstermektedir. Göletin sularıyla sulanan incir bahçelerinde bor konsantrasyonu yüksek olduğu için verim düşüklüğü olması doğaldır. Geçmiş yıllarda açılan sondaj kuyuları ve ileride açılacak olan sondajlarının atık suları incir ağaçlarında önce sürgünlerde kurumalara ve daha sonra kalite bozulmaları şeklinde zararlar verdiği tespit edilmiştir. İl için önemli kültür bitkisi olan incir, ihraç edilmesiylede il ekonomisine büyük katkı sağlamaktadır. Bu durumda jeotermal atık suların mutlak bir şekilde tarıma olabilecek olumsuz etkisinin ortadan kaldırılması gerekmektedir.

**Tablo 5.4 Geçmiş yıllarda açılan sondajlardaki bor konsantrasyonları
(Erişen ve diğ., 1996)**

KUYU ADI	TARİH	SICAKLIK(°C)	BOR (mg/l)
Ayter-1	1988	65-77,5	45
Ayter-2	1989	80	39
ÖB-1	1982	203	45
ÖB-2	1983	231	71
ÖB-3	1984	230	68
ÖB-4	1984	213	55
ÖB-5	1984	221	56
ÖB-6	1985	221	74
ÖB-7	1988	203	56
ÖB-8	1986	219,87	--
ÖB-9	1987	223,8	68
AS-1	1987	162	54
AS-2	1988	171,4	42

Turuçgiller bora karşı çok duyarlıdırlar. Sulama sularında 0,5 ppm' den fazla bor içeriği gelişmesini dudurur. Aydın İli içerisinde 1.400.000 dolayında narenciye ağacı bulunmaktadır (Şekil 5.3). Aydın Sultanhisar Salavatlı jeotermal alanında açılan ve ileride işletilecek olan kuyuların yüksek bor konsantrasyonları narenciye bahçelerine zarar vereceği bilinmektedir. Özellikle Nazilli, Kuyucak çevresinde ki naranciye bahçelerinde kurumalar, tespit edilmiştir (Oruç, 1994). Ayrıca bahçe sahipleri narenciye ağaçlarının yapraklarının yer, yer zamansız sarardığı ve verim düşüklüğü olduğunu ilgili kuruluşlara da bildirmiştirlerdir.



Şekil 5.3 Aydın Sultanhisar Salavathı jeotermal alanı çevresindeki naranciye bahçelerinden bir görünüm

5.2 Bor Kırlığı İle İlgili Alınması Gerekli Tedbirler

Büyük Menderes Havzası sahip olduğu iklim, toprak özellikleri ve sulama imkanı ile ülkemizin yüksek tarımsal potansiyele sahip havzalarındandır. Yaklaşık 25.000 km^2 , lik bir yağış toplama alanına sahip olan havzanın yıllık su potansiyeli $16,3 \cdot 10^9 \text{ m}^3$, havzaya can veren Büyük Menderes Nehri' nin taşıdığı yıllık su miktarı ise $2,3 \cdot 10^9 \text{ m}^3$ dolayındadır. Ayrıca Aydın İli 18 milyon zeytin, 6 milyon incir, 1,4 milyon narenciye ağacı ve 90 bin ha pamuk alanı ile büyük bir tarımsal potansiyele sahiptir. Buda dolayısıyla, bor kirliliği ile bu kadar büyük bir alanın elden çıkması demektir.

15,4 MW güçte olan Denizli-Kızıldere jeotermal enerji santrali yılda 70 milyon Kws elektrik sağlamaktaadır. Enerji sıkıntısı çekmekte olan yurdumuzda yeni ve ucuz yenilebilir ve çevre dostu olma gibi olumlu özellikleri nedeniylede jeotermal enerjiden olabildiğine yararlanılması gerekmektedir. Denizli-Kızıldere jeotermal

yenilebilir ve çevre dostu olma gibi olumlu özelliklerini nedeniyle de jeotermal enerjiden olabildiğine yararlanılması gerekmektedir. Denizli-Kızıldere jeotermal enerji santralinin sıcak atık suları doğrudan Büyük Menderes Nehri'ne verilmektedir. Yüksek bor konsantrasyonuna sahip olan bu suların soğuk yeraltı sularına veya yüzey sularına karışıyor olması tarımsal alanlar için büyük tehlikeler yaratmaktadır. Sonuç olarak kısa vadeli ve uzun vadeli çözüm önerileri getirilmiştir.

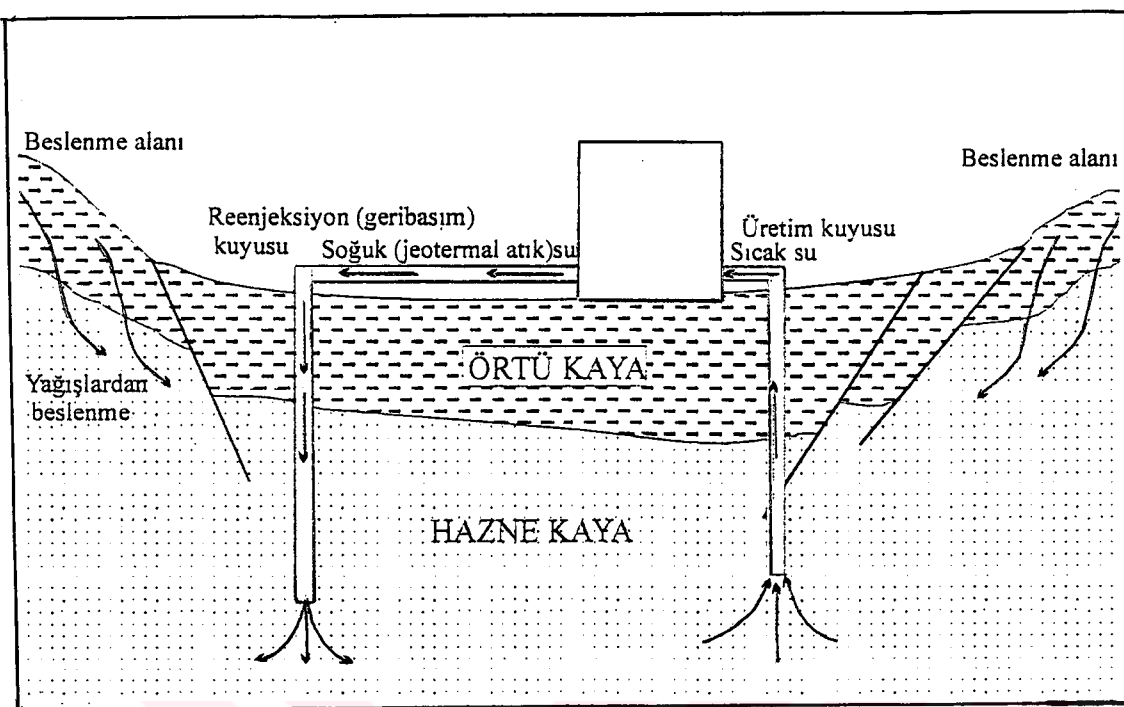
Kısa vadeli olarak Büyük Menders Nehri'nde kurulu Feslek regülatöründen sulanan tarım arazisinde bor kirliliği hat safhaya ulaşmadan Denizli-Kızıldere jeotermal enerji santralinin sulama dönemlerinde durdurulması düşünülmektedir.

Uzun vadeli önlem olarak Denizli-Kızıldere, Germencik-Ömerbeyli, Sultanhisar-Salavatlı, Aydın-Ilicabaşı ve İmamköy jeotermal alanlarında yapılması planlanan üretimlerde atık sıcak suların yer altına (hazneye) geri verilmesi (reenjeksiyon) önerilmektedir. Bu reenjeksiyon olası bor kirlenmesinin yanısıra haznedeki jeotermal rezervin beslenmesi açısından da önemlidir.

5.2.1 Reenjeksiyon

Jeotermal sular yüksek mineral konsantrasyonlarına sahiptirler. Jeotermal suların kullanıldıktan sonra çevreye bırakılması, çevreye ve tarıma büyük zararlar vermektedir. Bu suların kurtulmanın en ucuz ve en kolay yolu tekrar yeraltına basılmasıdır. Bu işlem reenjeksiyon olarak adlandırılmaktadır (Şekil 5.4).

Reenjeksiyon ile çevre kirliliği önlenecek, toprağı, suları ve bitkileri zararlı elementlerden korumuş olacaktır. Ayrıca atık sudaki termal enerji tekrar kazanılacak, üretim nedeniyle oluşan basınç düşüm hızı azaltılacak ve rezervuarın yapay olarak beslenmesi sağlanacaktır. Rezervuar basıncının düşümünün yüzeyde oluşturduğu çökme ve kaymalar önlenmiş olacak ve sahanın ekonomik ömrünün uzatılmasında sağlanmış olacaktır.



**Şekil 5.4 Jeotermal atık suların reeneksiyon yöntemiyle geri basımı
(Filiz ve diğ., 1998)**

BÖLÜM 6

JEOTERMAL ENERJİNİN KULLANIM ALANLARI

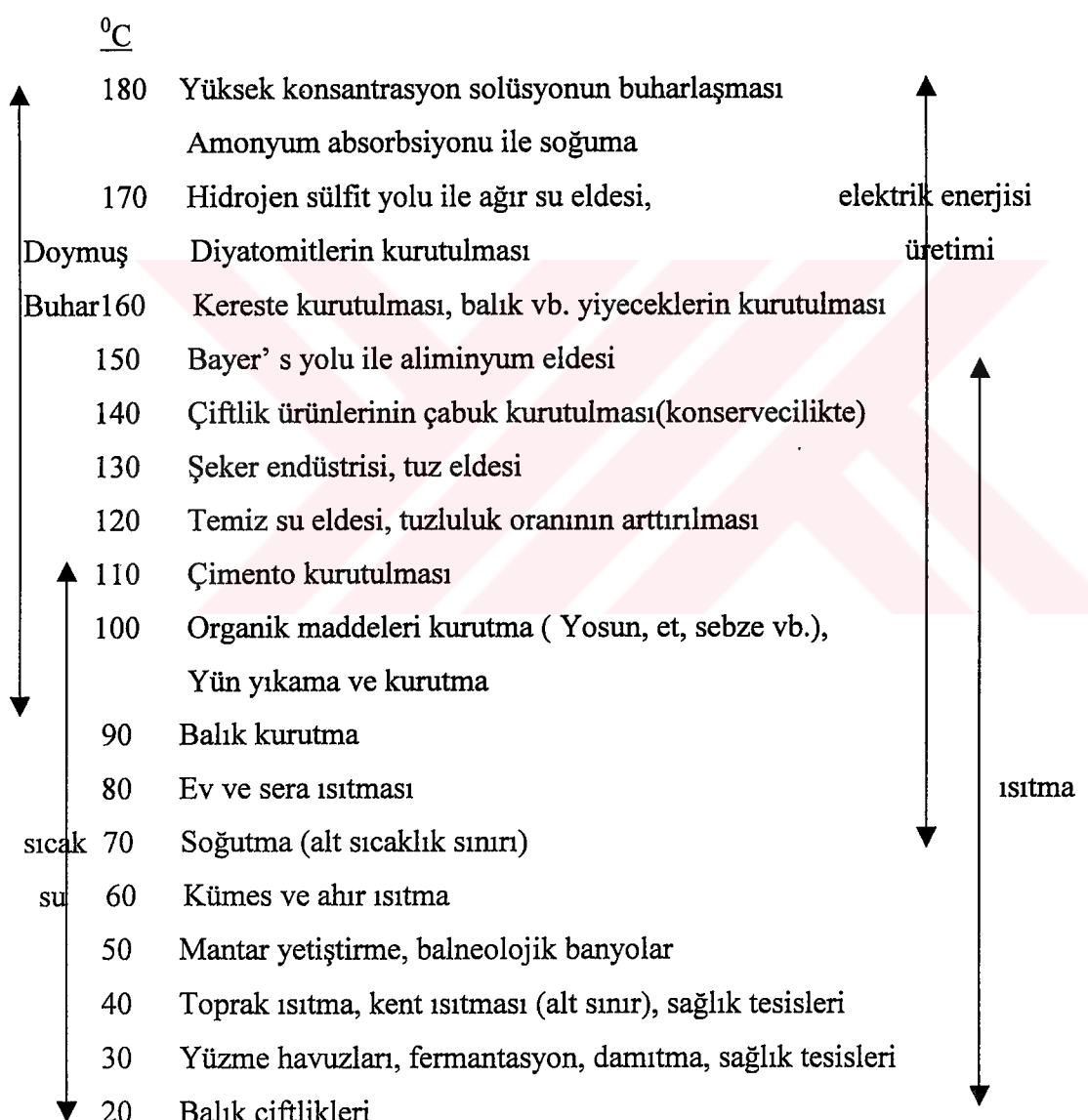
Jeotermal enerji yer kabuğunun çeşitli derinliklerinde birikmiş basınç altındaki sıcaksu, buhar, gaz veya sıcak kuru kayaçların içerisindeki ısı enerjisidir. Başka bir yaklaşımla jeotermal enerji yerin derinliklerinden yüzeye doğru iletilen ısının kullanılabilmesi şeklinde de tanımlanabilir. Bu bölümde jeotermal enerjinin dünyada, Türkiye ve Aydın İl'in deki kullanımından kısaca bahsedilecektir.

6.1 Jeotermal Enerjinin Kullanım Alanları

Jeotermal enerjiden üretim teknolojisi, yer ısısının akışkanlar ve sondajlar aracılığı ile yüzeye çıkartılması ve bu enerjinin elektrik enerjisine dönüştürülmesi, ısı enerjisi şeklinde doğrudan kullanımı, endüstri ve turizm alanlarında kullanılması şeklindedir (Şekil 6.1).

Günümüzde gelişen teknolojiler sayesinde jeotermal akışkan taşıma hattında 0,1-0,3 °C/km sıcaklık kaybı olmakta ve bu da uzak mesafeli jeotermal ısıtma sistemlerinin uygulanması mümkün olmaktadır. Jeotermal akışkanın enerjisi özel olarak dizayn edilmiş 1-1,5 °C yaklaşım sıcaklığı sahip çok yüksek verimli eşanjörle kapalı çevrimde sirküle edilen temiz suya aktarılmaktadır. Enerjinin aktarılmasından sonra doğal jeotermal akışkan suyu mevcut termal tesislere verilmekte veya re-enjeksiyon boru hattı ile yeniden yer altına gönderilmektedir. Böylece rezervuarın üretkenliği artmakta ve bor veya tuzluluktan bitki örtüsüne zarar verilmemektedir.

Türkiye'de ki jeotermal akışkanlar çoğunlukla kalsiyum karbonat veya kalsiyum sülfat orjinli olmakta ve buna bağlı olarak kabuklaşma problemleri yaratmaktadır. Türkiye'de bugünün teknolojisi ile kabuklaşmaya karşı jeotermal akışkanın kısmi basıncı arttırılarak CO₂ gazı sıvı hale dönüştürülmemekte veya üretim kuyusunun derinliklerine kimyasal inhibitör enjekte edilmektedir. Korozyona karşı alınan önlemler ise kısmen inhibitör kullanımı, PE, PVC, PPC, epoxy elyaf veya polyester, özel çelik borular, paslanmaz çelik veya titanyum plaka tip eşanjörlerin kullanımı olmaktadır.



Şekil 6.1 Jeotermal akışkanlarının sıcaklıklarına göre doğrudan kullanım alanları (Kilkış ve diğ., 1996)

6.1.1 Jeotermal Enerji' nin Dünya' da ve Türkiye' de Kullanımı

Dünyada ki önemli jeotermal sahalar dünya' nın jeolojik yapısına bağlı olarak genç tektonizma ve volkanizma kuşakları üzerinde yer alır. Bu kuşaklar;

And Volkanik kuşağı; Güney Amerika' nın batı sahillerinde bulunan bu kuşak Venezuela, Kolombiya, Ekvator, Peru, Bolivya, Şili ve Arjantin' i kapsamaktadır. Bu kuşak çok sayıda aktif volkanizmanın gelişmesine yol açmıştır.

Alp Himalaya Kuşağı; Hindistan Platosu ile Avrasya Platosunun çarşılığının sonucu oluşan bu kuşak Dünya' nın en büyük jeotermal kuşağıdır. 150 km. genişliğinde ve 3000 km. uzunluğunda olan bu kuşak İtalya, Yugoslavya, Yunanistan, Türkiye, İran, Pakistan, Hindistan, Tibet, Çin, Burma ve Tayland' i kapsamaktadır.

Doğu Afrika Rift Sistemi; Aktif olan bu sistem Zambiya, Malavi, Tanzanya, Uganda, Kenya, Etiyopya, Dibuti gibi ülkeleri içine alır.

Karayıp Adaları; Bu adalarda aktif volkanizmanın hakim olduğu kuşakta önemli potansiyel görülmektedir.

Orta Amerika Volkanik Kuşağı; Guetemala, El Salvador, Nikaragua, Kosta Rika ve Panama' yı etkileyen bu kuşak aktif çok sayıda jeotermal sistemin oluşmasına yol açmıştır.

Bunların dışında; Kanada, Amerika Birleşik Devletleri, Japonya, Doğu Çin, Filipinler, Endonezya, Yeni Zelanda, İzlanda, Meksika, Kuzey ve Doğu Avrupa, Bağımsız Devletler Topluluğu gibi ülkelerin bulunduğu bölgelerde farklı tektonik oluşumlar nedeniyle verimli jeotermal sahalar bu kuşaklarda yerleşmişlerdir.

Bugün için jeotermal enerji Dünya' da enerji sektöründe % 0,2 ' lik bir kısmında yer almaktadır. Ancak bazı ülkelerde bu oran büyük ölçüde değişmektedir. Örneğin

Filipinler' de jeotermal santraller toplam kapasitenin % 17' sidir. Bu gün için Dünya ' da 6.275,3 MWe kurulu güçle elektrik üreten santraller vardır.

Jeotermal enerjinin diğer kullanım alanları ise, sıcaklık farklılıklarını dolayısı ile oldukça farklıdır. Bunlar bitki ve balık yetiştirilmesi, hayvan çiftliklerinin, cadde ve havaalanı pistlerinin ısıtılmasında, yüzme havuzu, termal tedavi merkezleri ve turistik tesislerde kullanılmaktadır. Bunların dışında yiyeceklerin kurutulması ve sterilizasyonunda, konservecilikte, ağaç kaplama sanayinde, kağıt ve dokuma endüstrisinde ağartma maddesi olarak, derilerin kurutulması ve işlenmesinde, şeker, ilaç, pastörize süt fabrikalarında, soğutma tesislerinde, ayrıca akışkanın içindeki kimyasal maddelerin eldesinde kullanılmaktadır. 40 °C' den fazla sıcaklığındaki jeotermal akışkan, binaları ve kentleri merkezi sistemle ısıtmada ve de sıcak kullanma suyu olarak kullanılmaktadır. Seraların ısıtılması ile turfanda sebzecilik, meyvecilik, çiçekçilik yapılmaktadır. Tropikal bitki (Japonya), balık (Filipinler, Çin, İzlanda) ve timsah yetiştirciliği (Japonya' da) yapıldığı bilinmektedir. Kimyasal madde üretiminde amonyum bikarbonat, amonyum sülfat, potasyum, klorür İtalya, Japonya, Filipinler, Meksika ve Amerika Birleşik Devletlerinde jeotermal akışkan içindeki CO₂' den kuru buz elde edilmesinde kullanılmaktadır.

Ülkemizin tektonik açıdan etkili bir zon üzerinde bulunması, jeolojik ve meteorolojik koşullarında uygun olması, ülkemize jeotermal enerji yönünden oldukça avantajlı bir konum sağlamaktadır. Türkiye jeotermal kaynaklar zenginliği açısından dünyanın ilk yedi ülkesi arasında yer almaktadır (Yıldız, 1998).

Türkiye' de jeotermal enerji araştırmaları MTA tarafından 1962 yılında sıcak su kaynakları envanteri şeklinde başlamıştır. 1968 Yılında 204 °C sıcaklıklı Kızıldere jeotermal sahası bulunmuş ve ilk jeotermal elektrik üretimi MTA' da imal edilerek kurulan 0,165 Mwe kapasiteli Denizli Kızıldere Jeotermal Pilot Santrali, Kızıldere-Savcılar ve Korutaş köylerine ücretsiz elektrik enerjisi sağlanmıştır. Şu anda Türkiye' de jeotermal elektrik üretimi kurulu gücü 17 Mwe olan Kızıldere Jeotermal Santralin' den gerçekleştirilmektedir. Yıllık enerji üretimi 70 milyon KWh kapasitededir. Ayrıca bu santrale entegre olarak yılda 40.000 ton CO₂ üretimi

gerçekleştirilmiştir.

6.1.2 Jeotermal Enerji' nin Aydın İlin' deki Kullanımı

Aydın İli Türkiye' deki en büyük jeotermal sahalara sahip bulunmaktadır. Bu sebeple Aydın İl merkezinden başlayarak 90 km boyunca 8 km enindeki bir alanda bölgedeki jeotermal enerjinin en rasyonel kullanımını hedefleyen Aydın Belediyesi' nin hazırlamış olduğu master planı bulunmaktadır. Aydın Entegre Mega Jeotermal Enerji Projesi kentsel ısıtma, soğutma, sera ısıtması, kültür balıkçılığı, elektrik üretimi, sanayi proses ısısı temini, kimyasal madde üretimi, kullanım sıcak su temini gibi ihtiyaçların karşılanması amaçlanmıştır. Proje dört bölümden oluşmaktadır.

I. Bölüm: Aydın Belediyesi sınırları içinde kalan alandaki uygulamaları konu almaktadır. Bu bölümde jeotermal saha olarak Aydın Belediye sınırları içinde bulunan İlicabaşı sahasının kullanılması öngörmektedir. Bu bölümde Aydın kent merkezinde 25.000 konut bölgesel ısıtma, soğutma, yaz-kış sıcak su temini 150.000 m² organize sera bölgesi ve organize sanayi bölgesine enerji temini ile elektrik üretimi hedeflenmiştir.

II. Bölüm: Bu alanda Aydın Belediyesi dışında Ovaeymir, Çeştepe ve Tepecik beldeleri ile onbir adet köy yerleşimini içine alan ayrıca kentin batı-doğu gelişme hattında kalan iki büyük sera bölgesini kapsayan uygulamaları içermektedir. Bu bölümde de İlicabaşı jeotermal sahasının değerlendirilmesi öngörmektedir.

III. Bölüm: Aydın'ın Batı Bölgesi; Aydın kentinden Ortaklar beldesine kadar olan 30 km uzunluğundaki bölgeyi kapsamaktadır. Bu bölge için Germencik Ömerbeyli jeotermal sahası değerlendirilecektir. Ayrıca ORMET tarafından elektrik enerjisi üretimi için santral kurulması projesi başlatılmıştır.

IV. Bölüm: Aydın'ın Doğu Bölgesi; Aydın kentinden Kuyucak ilçesine kadar 58 km uzunluğundaki alanı kapsamaktadır. Bu bölgedeki uygulamalar için Salavatlı jeotermal sahasının değerlendirilmesi öngörmektedir.

BÖLÜM 7

SONUÇLAR

İnceleme alanında Menderes Masifi metamorfik kayaları yer alır. Bunlar Paleozoik yaşılı gnays, şist, mermerler ve metakuvarsitlerdir. Bunları Neojen yaşılı kırıntılı tortullar uyumsuzlukla üstlerler. Alüvyon ve yamaç molozunu Kuvaterner yaşılı birimler oluşturmaktadır.

İnceleme alanında bulunan birimlerden metamorfik kayalar jeotermal alanlarının hazne kayalarını kırıntılı tortullar ise örtü kaya sistemini oluşturmaktadır.

İnceleme alanında sekiz sıcak su, iki soğuk su noktası olmak üzere toplam on su noktasından su örnekleri alınmıştır.

İnceleme alanında Ayter-1, Ayter-2, Sarısı, İmamköy kuzeyi kaynağı, İmamköy 1. kaynak, İmamköy 2. kaynak, Bozköy kaplıca kaynağı ve çamur kaynağı sıcak su noktalarını, Salavatlı çeşmesi ve Hıdırbeyli göleti soğuk su noktalarını oluşturmaktadır.

Alınan su örnekleri D.E.Ü. Müh. Fak. jeokimya laboratuvarında kimyasal analizleri yapılarak Na^+ , K^+ , Ca^{++} , Mg^{++} , Cl^- , HCO_3^- , $\text{SO}_4^{=}$, Si, Li^+ ve B^{+++} miktarları (mg/l) ile Ec ve pH değerleri saptanmıştır.

İnceleme alanlarındaki jeotermal alanlar devirsel jeotermal sistem özelliğindedir. Meteorik sular fay hatları ve tektonik hatlar boyunca yeraltına süzülürler ve graben tektoğine bağlı olarak yüzeye yaklaşan mağma tarafından ısıtilır ve ısınan sular tekrar tektonik hatlar boyunca yükselerek yeryüzüne ulaşır.

İnceleme alanındaki sıcak sulardan Aydın İlçabası jeotermal alanının suları sodyum bikarbonat sülfat su tipinde, Aydın Sultanhisar Salavatlı jeotermal alanındaki su noktalarından sarısı kalsiyum bikarbonat sülfat, su tipinde, Aydın İmamköy jeotermal alanının sularından İmamköy kuzeyi kaynağı ile İmamköy 1. kaynak magnezyum kalsiyum bikarbonat sülfat, İmamköy 2. kaynağıın suları sodyum kalsiyum magnezyum bikarbonat sülfat su tipinde, Aydın Germencik Ömerbeyli jeotermal alanının suları sodyum bikarbonat klorürlü su tipindedir. Soğuk su noktalarından Salavatlı çeşmesi magnezyum kalsiyum bikarbonat sülfat su tipinde, Hıdırbeyli göleti sodyum klorür magnezyum bikarbonat su tipindedir.

İnceleme alanındaki sıcak suların yüzey sıcaklıkları 30-65 °C arasında değişmektedir.

Jeotermometre bağıntıları ile hesaplanan hazne kaya sıcaklıkları yüksek sıcaklıklar (150-250 °C) vermektedir. Germencik Ömerbeyli jeotermal alanında açılmış derin sondaj kuyularının sıcaklıkları (203-231 °C) hesaplanan hazne kaya sıcaklıklarını doğrulamaktadır.

Scholler sınıflamasına göre inceleme alanındaki sulardan Bozköy kaplıca kaynağı ile çamur kaynağı oligoklorürlü sular sınıfına girerler. Diğer su noktaları olağan klorürlü su sınıfına girerler.

İnceleme alanındaki sular sülfat derişimlerine göre Aydın İlçabası jeotermal alanındaki sular sülfatlı sular, Germencik Ömerbeyli jeotermal alanının ve İmamköy 2. kaynak oligosülfatlı sular sınıfına girerler. Diğer su noktalarının hepsi olağan sülfatlı su sınıfına girerler.

İnceleme alanındaki suların hepsi bikarbonat içermektedirler ve hiperkarbonatlı sular sınıfına girerler.

İnceleme alanındaki suların sertlikleri yüksektir.

İnceleme alanındaki su noktalarının kalsit, dolomit, jips doygunluğu ve CO₂ kısmi gaz basıncı ile endüstride kullanılma açısından irdelenmiştir.

İnceleme alanındaki tüm sıcak sular bikarbonatlıdır ve yüksek bor derişimine sahiptir. Germencik Hıdırbeyli göleti su noktasında da bor konsantrasyonunun yüksek olması bu bölgedeki sıcak suların dereelere boşadığını ve bu nedenle de bor kirliliğine neden olduğu saptanmıştır.

Jeotermal enerjiden, enerji sıkıntısı çekilen yurdumuzda başta Germencik Ömerbeyli ve Sultanhisar Salavatlı jeotermal sahalarından elektrik enerjisi üretimi ile yararlanılmalı, Aydın İlçabası ve İmamköy jeotermal sahalarından da seralarda, şehir ısıtmacılığında, sıcak su temininde ve modern sağlık tesisleri ile yararlanılmalıdır.

İnceleme alanında görülen bor kirliliğinin önlenmesi için ileride açılacak olan sondajlarda reenjeksiyon planlaması yapılması gerekmektedir.

BÖLÜM 8

KAYNAKÇA

Arnórsson, S. (1978). Aquifer Chemistry of Four High Temperature Geothermal System in Iceland. *Geochimica et Cosmochimica Acta*, 42, 523-536.

Aydın, G., Seferoğlu, S. (1999). Aydın Yöresinde Kullanılan Bazı Sulama Sularının Bor Konsantrasyonlarının Bitki Beslenmesi ve Toprak Kirliliği Açısından İncelenmesi. A.D.Ü. Proje No:Togtag-1767, Aydın.

Aksoy, N. (1997). Kızıldere (Denizli) Jeotermal Enerji Sahasının Reenjeksiyon Olanakları. D.E.Ü., Fen Bilimleri Enstitüsü, Yüksek Lisans Tezi, İzmir (Yayınlanmamış).

Canik, B. (1998). Hidrojeoloji. A.Ü. Fen Fak. Ankara, 232-237, 244-251.

Çakmak, H., (1988). Ömerbeyli (Aydın-Germencik) Köyü Çevresinin Hidrojeolojisi ve Jeotermal Enerji Olanakları. D.E.Ü. Müh. Mim. Fak. Jeoloji Müh. Böl. Bitirme Projesi, İzmir (Yayınlanmamış).

D.S.İ., (2000). Yer altı Suları Daire Başkanlığı. Sözlü Görüşme.

Erişen, B., Akkuş, İ., Uygur, N & Koçak, A.(1996). Türkiye Jeotermal Envanteri, MTA Genel Müdürlüğü, Ankara. 64-86.

Filiz, Ş., (1982). Ege Bölgesindeki Önemli Jeotermal Alanların O¹⁸, H², H³, C¹³ İzotoplarıyla İncelenmesi. Doçentlik Tezi. E.Ü.Y.B.F. (Yayınlanmamış)

Filiz, Ş., Tarcan, G., ve Irmak, U., (1994). Gediz Havzası Yeraltı Sularındaki Bor Kirlenmesi. Türkiye Jeoloji Kurultayı Bülteni, Ankara, Sayı:9, 483-491.

Filiz, Ş., Tarcan, G. Ve Gemici, Ü. (1998). Cevre Jeolojisi ve Yeraltı Suyu Kimyası Dersleri Aydın-Denizli-Alaşehir-Salihli Jeotermal Alanları Teknik Gezi Klavuzu. D.E.Ü., Jeoloji Müh. Böl., İzmir. 15.

Filiz, Ş., Tarcan, G. ve Gemici, Ü. (1999). Germencik (Aydın) Jeotermal Alanlarının Hidrojeokimyasal Açıdan İncelenmesi. D.E.Ü., Müh. Fak. Fen ve Mühendislik Dergisi., Cilt:1, Sayı: 1, 41-64. İzmir.

Fournier, R.O., Truesdell, A.H. (1973). An Empirical Na-K-Ca Geothermometer for Natural Waters. Geochim. et Cosmochim. Acta, vol.37 pp.1255-1275.

Fournier, R.O., Potter, R.W.(1979). Magnesium Correction to the Na-K-Ca Chemical Geothermometer. Geochim. et Cosmochim. Acta, vol.43 pp. 1543-1550.

Fournier, R.O., Potter, R.W. (1982). A Revised and Expanded Silice (Quartz) Geothermometer. Geothermal Research Concil Bull. v.11, p 3-9.

Gökgöz, A., (1984). Aydın ve Yakın Çevresinin Hidrojeolojisi. D.E.Ü. Müh. Mim. Fak. Jeoloji Müh. Böl. Bitirme Projesi, İzmir (Yayınlanmamış).

Güneş, C., (2000). Kütahya Gediz Abide ve Murat Dağı Jeotermal Alanlarının Jeolojik Hidrojeolojik İncelenmesi Sıcak ve Soğuk Suların Jeokimyasal Yorumlanması. D.E.Ü. Jeoloji Müh. Böl. Staj Raporu, İzmir.10-11, (Yayınlanmamış).

İ.Ü.T.F. (1975). Türkiye Maden Suları. İstanbul. 4-11, 32-35.

Khayat, J. R. (1988). Germencik-Kızılçapınar (Aydın) ve Çevresinin Hidrojeolojik İncelenmesi, Sıcak ve Soğuk Suların Jeokimyasal Yorumlanması. D.E.Ü., Fen Bilimleri Enstitüsü, Yüksek Lisans Tezi, İzmir (Yayınlanmamış).

Karamanderesi, İ.H., (1997). Geology And Hydrothermal Alteration Processes In The Salavatlı Aydın Geothermal Field. Doktora Tezi, D.E.Ü. Fen Bilimleri Enstitüsü., İzmir.

Kılıkış, B., Doğan, A.M., Dokuz, İ., Harmanlı, a., & Karagül, N.İ., (1996). Aydın Entegre Mega Jeotermal Enerji Projesi. T.C. Aydın Belediyesi Jeotermal Bölge Isıtma Soğutma Elektrik Üretimi Organize Pilot Sera ve Sanayi Uygulamaları Fizibilite Master Etüdü. Cilt :1-2-3. Aydın.

Oruç, N., (1994). Büyük Menderes Havzasın' da Jeotermal Enerji Üretimi ve Bor Kirliliği. Pamukkale Ü. Müh. Fak. Jeoloji Müh. Böl. Jeotermal Uygulamalar Sempozyumu' 94. Denizli, 350-358 say.

Şahinci, A. (1991). Jeotermal Sistemler ve Jeokimyasal Özellikleri. D.E.Ü. Müh. Mim. Fak. Yayınları, İzmir, 83-131.

Şahinci, A., (1991). Doğal Suların Jeokimyası. D.E.Ü. Müh. Mim. Fak. Yayınları, İzmir, 175-244

Şimşek, Ş., Doğdu, S.M., Akan, B.,& Yıldırım, N., (2000). Chemical And Isotopic Survey Of Geothermal Reservoirs In Western Anatolia, Turkey. Proceeding Word Geothermal Congress. Ankara.1765-1170.

Tarcan, G., (1989). Urla-İçmeler (İzmir) ve Çevresinin Jeolojik ve Hidrojeolojik İncelenmesi, Yeraltı Sularının Jeokimyasal Yorumlanması. Yüksek Lisans Tezi D.E.Ü. Fen Bilimleri Enst., İzmir, 16-19., (Yayınlanmamış).

Tıkır, D., (2000). Aydın Belediyesi Çevre Müdürü, Sözlü Görüşme.

Uyar, M., Sert, M.E., Alyörük, Z., Avşar, B., Özçakan, B.H., & Ceylan, H., (1998).

Aydın İli Çevre Durum Raporu. T.C.Çevre Bakanlığı Aydın Valiliği İl Çevre Müdürlüğü. Aydın.

Yıldız, İ., (1998). Jeotermal Su Kaynaklarının Türk Tarımında Kullanım Olanakları.

A.D.Ü. Jeotermal Enerji Araştırma ve Uygulama Merkezi, Aydın, 63-69 Say.

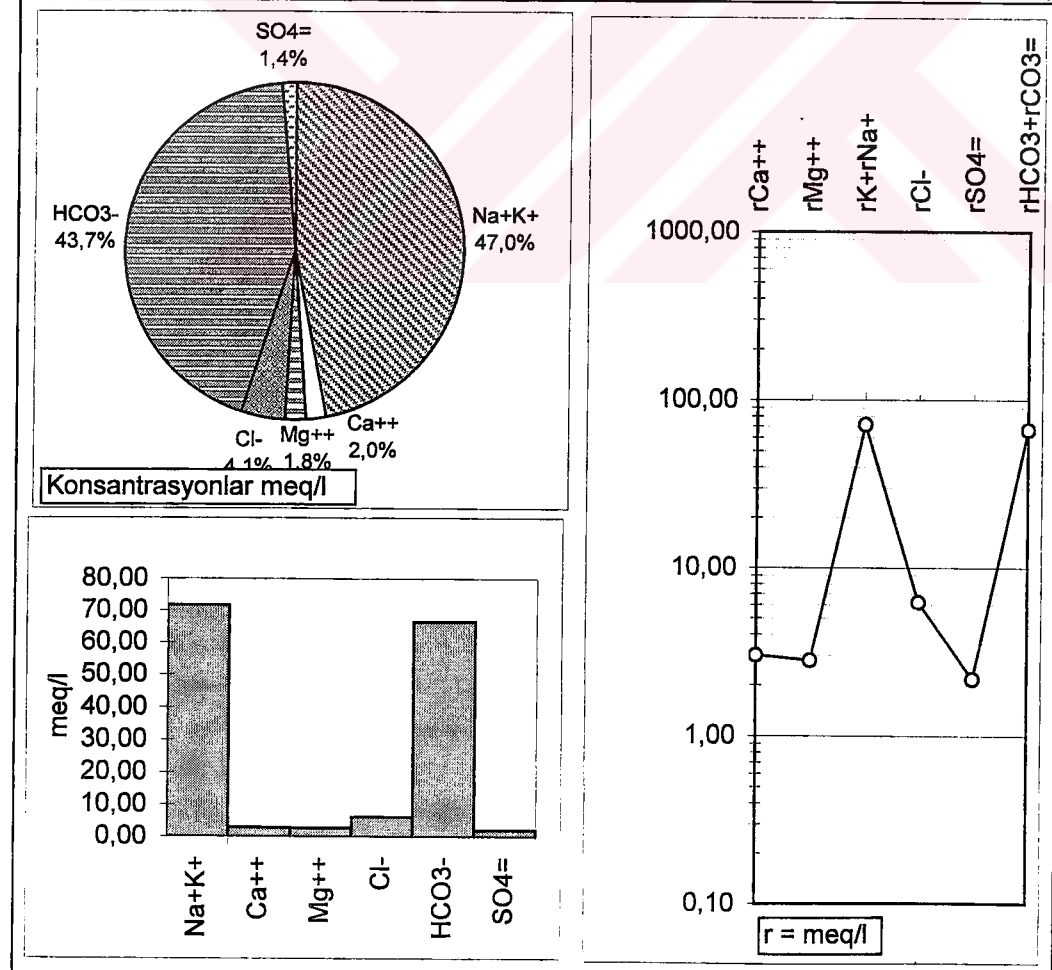
EK-1

AYDIN İLİ JEOTERMAL ALANLARINDA AÇILAN SONDAJLARIN KİMYASAL ANALİZLERİ

(Erişen ve diğ., 1996)

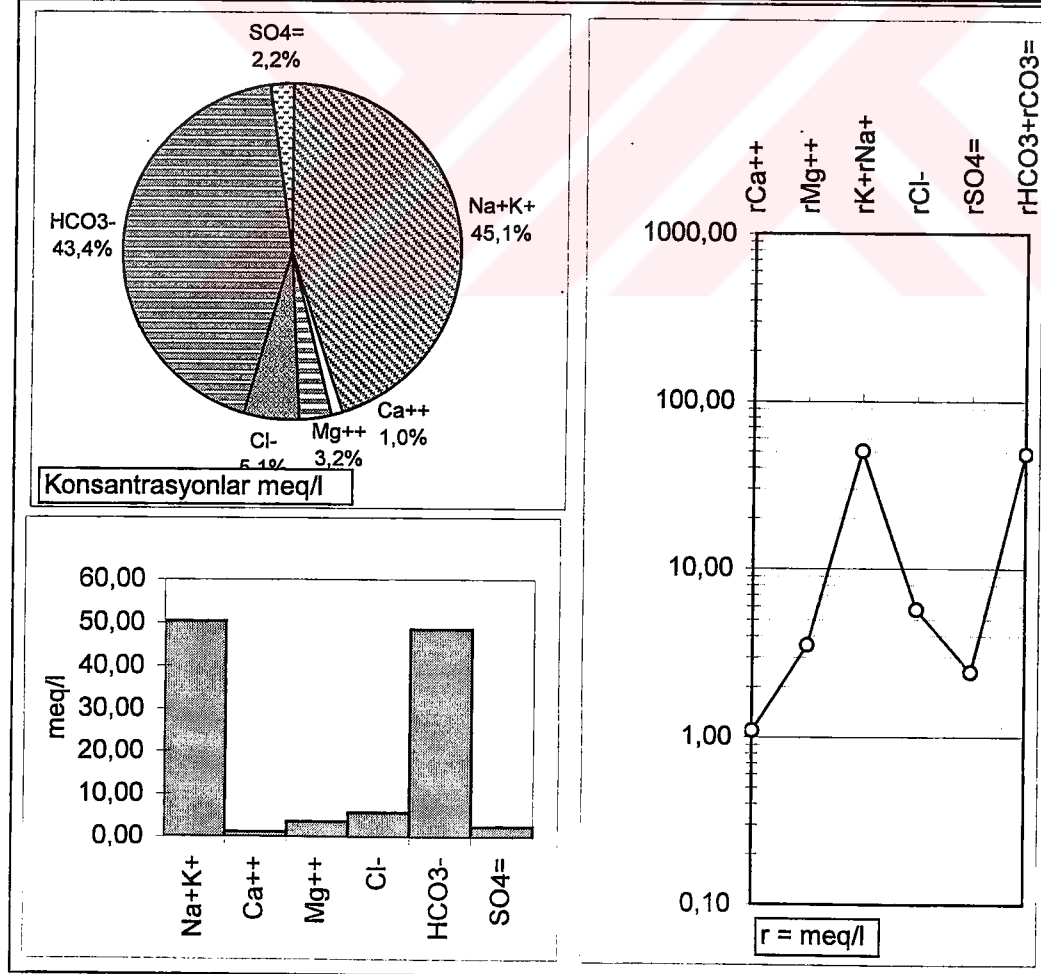
EK

Örnek Adı: Ayter-1		°C :	65-77,5	pH(-logH)	8,07			
Örnekleme Tarihi : 18.10.1988	Lab. :			EC(μmho/cm)	6000			
İYON	mg/l	meq/l	% meq/l	% mg/l	C (mol/l)	.5CZ ²	F	AC
Na ⁺	1560	67,86	87,74	86,8	0,06786	0,0339	0,75	0,0512
K ⁺	144	3,69	4,77	8,0	0,00369	0,0018	0,74	0,0027
Ca ⁺⁺	60	2,99	3,87	3,3	0,00150	0,0030	0,37	0,0006
Mg ⁺⁺	34	2,80	3,62	1,9	0,00140	0,0028	0,41	0,0006
Cl ⁻	220	6,20	8,28	5,0	0,00620	0,0031	0,74	0,0046
HCO ₃ ⁻	4058	66,52	88,83	92,6	0,06652	0,0333	0,75	0,0502
SO ₄ =	104	2,17	2,89	2,4	0,00108	0,0022	0,32	0,0004
Toplam Katyon Miktarı (meq/l)		77,338	Toplam Katyon Miktarı (mg/l)		1798,0			
Toplam Anyon Miktarı (meq/l)		74,892	Toplam Anyon Miktarı (mg/l)		4382,0			
Toplam İyon Miktarı (meq/l)		152,230	Toplam İyon Miktarı (mg/l)		6180,0			
İyonlaşma Gücü (mol/l)		0,080	% e (Hata Yüzdesi)		1,61			
SAR (Sodyum Ad. Oranı) (%)		39,880	Sertlik (Fr)		28,95			
rCl / (rSO ₄ +rHCO ₃) Oranı		0,090	rCa/rMg Oranı		1,07			
SIc (Kalsit Doygunluk İndeksi)		1,616	SIj (Jips Doygunluk İndeksi)		-2,11			
SID (Dolomit Doygunluk İndeksi)		1,725	LogPCO ₂ (CO ₂) Kısımlı Basıncı		-1,51			
Fo (Köpürme Katsayısı)		4495,0	SiO ₂ (mg / l)		64,00			
Hidrokimyasal fasiyes tipi: Na-HCO ₃		B ⁺⁺⁺ (mg / l)			45,00			



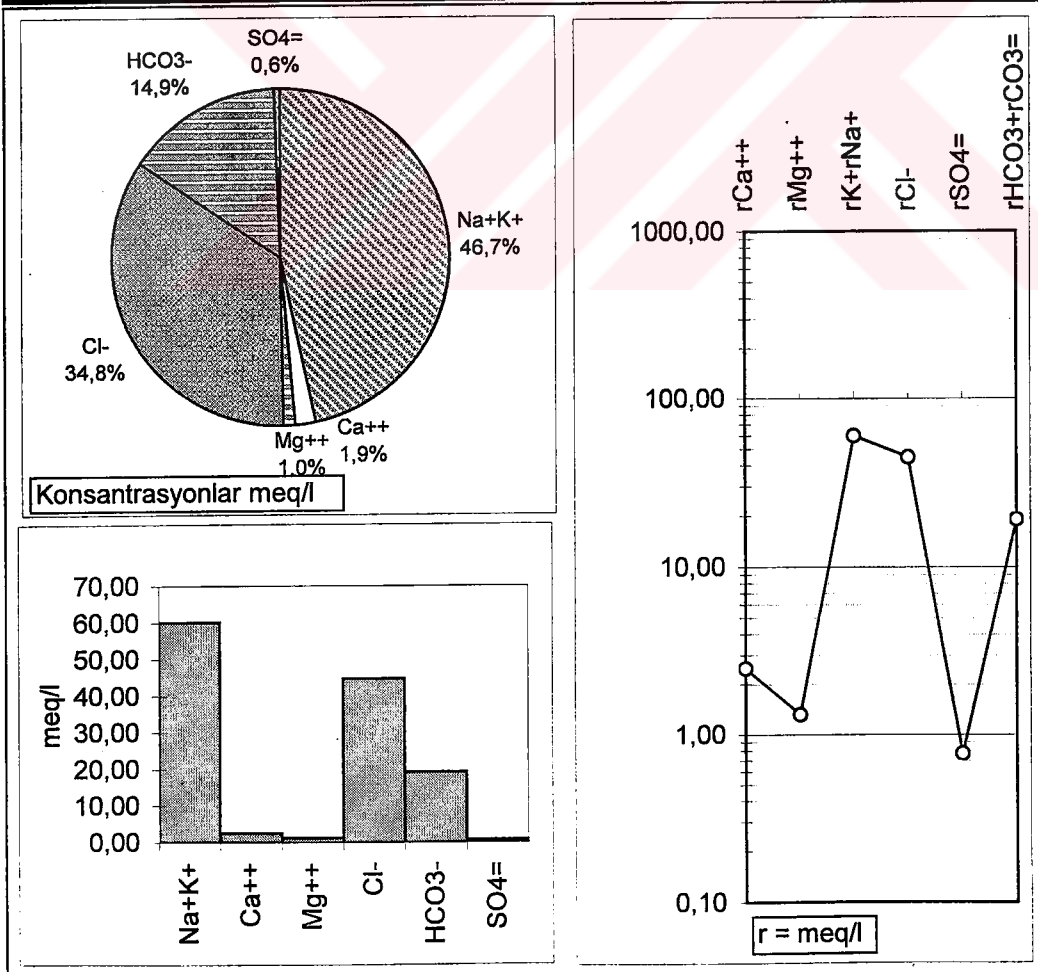
EK

Örnek Adı: Ayter-2			^o C :	80	pH(-logH)	8,2	
Örnekleme Tarihi : 05.12.1989			Lab. :		EC(μmho/cm)	3700	
İYON	mg/l	meq/l	% meq/l	% mg/l	C (mol/l)	.5CZ ²	F
Na ⁺	1080	46,98	85,58	84,8	0,04698	0,0235	0,78
K ⁺	128	3,28	5,98	10,1	0,00328	0,0016	0,76
Ca ⁺⁺	22	1,10	2,00	1,7	0,00055	0,0011	0,41
Mg ⁺⁺	43	3,54	6,44	3,4	0,00177	0,0035	0,45
Cl ⁻	203	5,72	10,12	6,2	0,00572	0,0029	0,76
HCO ₃ ⁻	2952	48,39	85,57	90,2	0,04839	0,0242	0,78
SO ₄ =	117	2,44	4,31	3,6	0,00122	0,0024	0,36
Toplam Katyon Miktarı (meq/l)			54,893	Toplam Katyon Miktarı (mg/l)		1273,0	
Toplam Anyon Miktarı (meq/l)			56,553	Toplam Anyon Miktarı (mg/l)		3272,0	
Toplam İyon Miktarı (meq/l)			111,446	Toplam İyon Miktarı (mg/l)		4545,0	
İyonlaşma Gücü (mol/l)			0,059	% e (Hata Yüzdesi)		-1,49	
SAR (Sodyum Ad. Oranı) (%)			30,862	Sertlik (Fr)		23,17	
rCl / (rSO ₄ +rHCO ₃) Oranı			0,113	rCa/rMg Oranı		0,31	
SIc (Kalsit Doygunluk İndeksi)			1,225	SIj(Jips Doygunluk İndeksi)		-2,40	
SID(Dolomit Doygunluk İndeksi)			1,599	LogPCO ₂ (CO ₂) Kısımlı Basıncı		-1,76	
Fo (Köpürme Katsayısı)			3168,6	SiO ₂ (mg / l)		75,00	
Hidrokimyasal fasiyes tipi: Na-HCO ₃			B ⁺⁺⁺ (mg / l)			39,00	



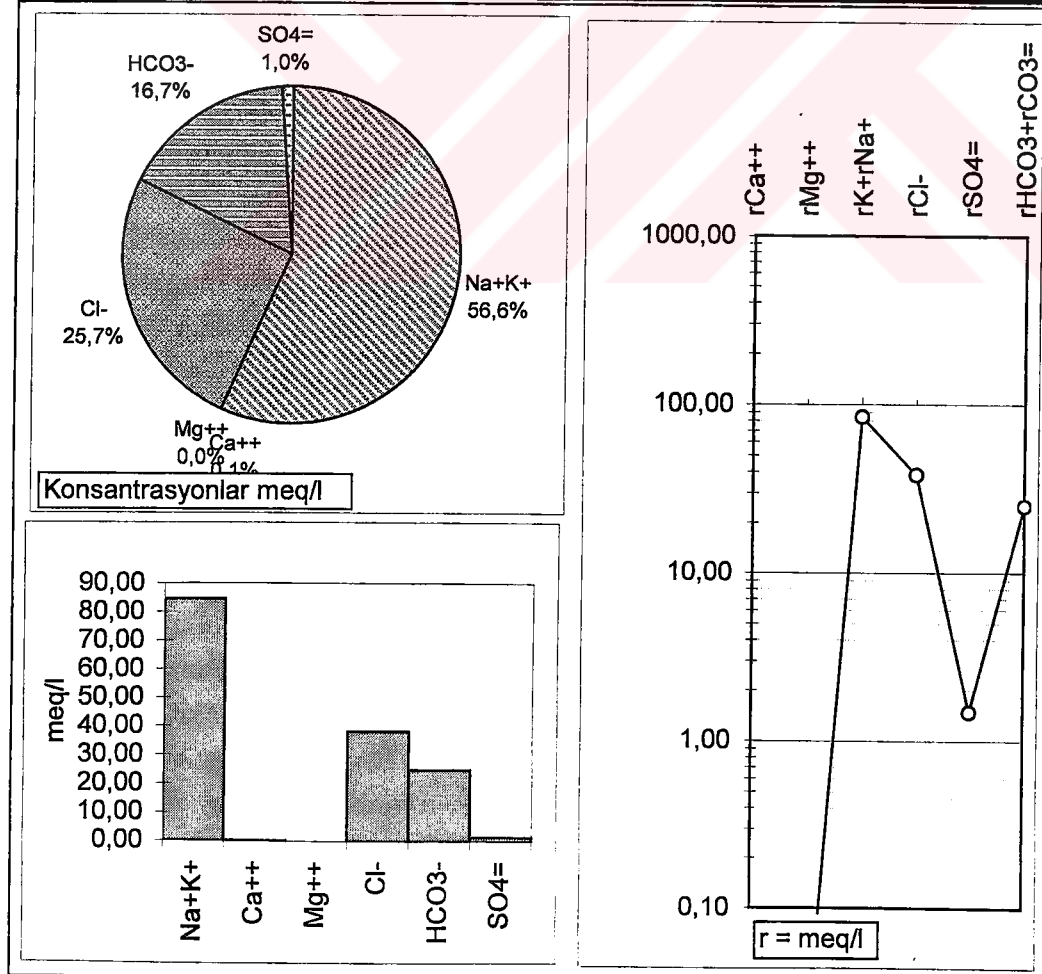
EK

Örnek Adı: ÖB-1				°C :	203	pH(-logH)	0	
Örnekleme Tarihi : 03.11.1982			Lab. :		EC(µmho/cm)		0	
İYON	mg/l	meq/l	% meq/l	% mg/l	C (mol/l)	.5CZ ²	F	AC
Na ⁺	1355	58,94	92,23	92,4	0,05894	0,0295	0,77	0,0453
K ⁺	45	1,15	1,81	3,1	0,00115	0,0006	0,75	0,0009
Ca ⁺⁺	50	2,50	3,90	3,4	0,00125	0,0025	0,39	0,0005
Mg ⁺⁺	16	1,32	2,06	1,1	0,00066	0,0013	0,43	0,0003
Cl ⁻	1586	44,70	69,11	56,7	0,04470	0,0224	0,75	0,0337
HCO ₃ ⁻	1172	19,21	29,70	41,9	0,01921	0,0096	0,77	0,0148
SO ₄ =	37	0,77	1,19	1,3	0,00039	0,0008	0,35	0,0001
Toplam Katyon Miktarı (meq/l)		63,903	Toplam Katyon Miktarı (mg/l)		1466,0			
Toplam Anyon Miktarı (meq/l)		64,686	Toplam Anyon Miktarı (mg/l)		2795,0			
Toplam İyon Miktarı (meq/l)		128,590	Toplam İyon Miktarı (mg/l)		4261,0			
İyonlaşma Gücü (mol/l)		0,067	% e (Hata Yüzdesi)		-0,61			
SAR (Sodyum Ad. Oranı) (%)		42,698	Sertlik (Fr)		19,05			
rCl / (rSO ₄ +rHCO ₃) Oranı		2,237	rCa/rMg Oranı		1,90			
SIc (Kalsit Doygunluk İndeksi)		-7,039	SIj(Jips Doygunluk İndeksi)		-2,58			
SI _d (Dolomit Doygunluk İndeksi)		-7,057	LogPCO ₂ (CO ₂) Kismi Basıncı		6,03			
Fo (Köpürme Katsayısı)		3744,2	SiO ₂ (mg / l)		140,00			
Hidrokimyasal fasiyes tipi: Na-Cl-HCO ₃		B ⁺⁺⁺ (mg / l)			45,00			



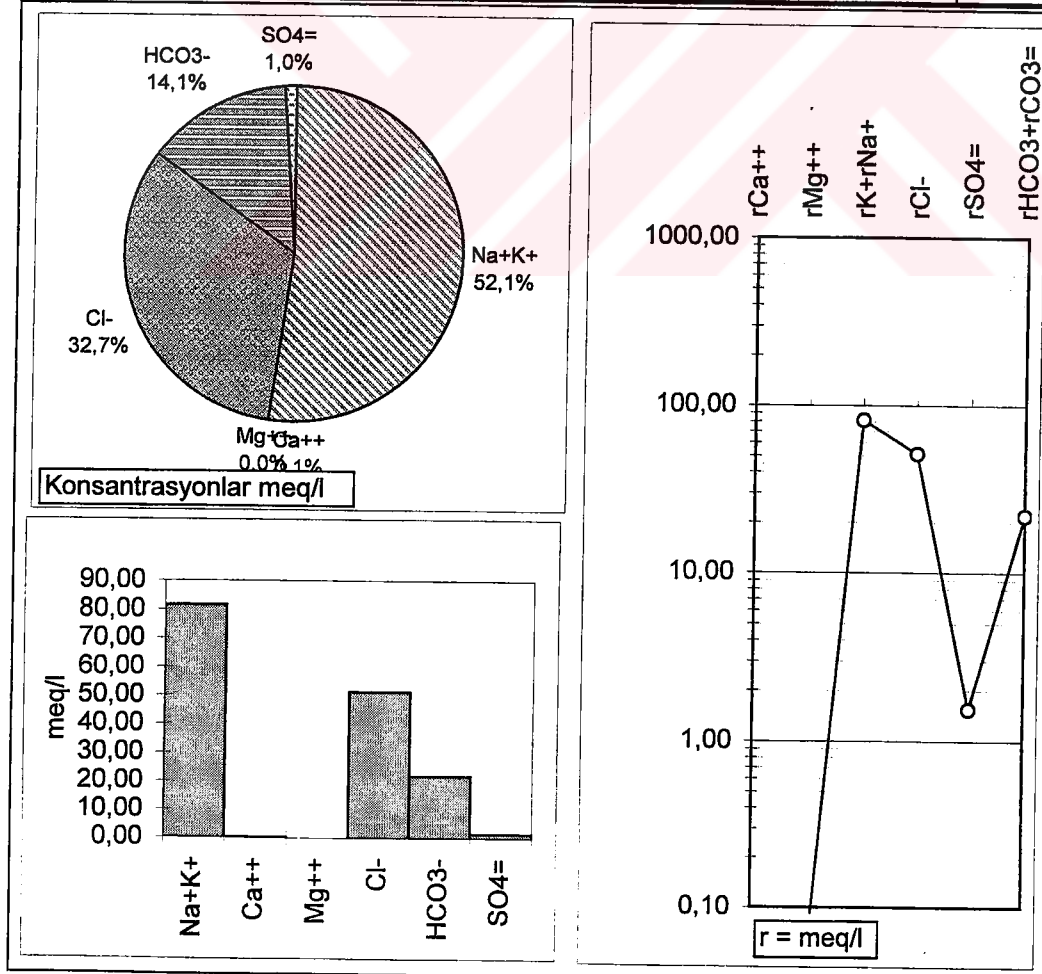
EK

Örnek Adı: ÖB-2				°C :	231	pH(-logH)	9	
Örnekleme Tarihi : 07.06.1983			Lab. :		EC(μmho/cm)	7200		
İYON	mg/l	meq/l	% meq/l	% mg/l	C (mol/l)	.5CZ ²	F	AC
Na ⁺	1830	79,60	94,16	90,6	0,07960	0,0398	0,76	0,0604
K ⁺	189	4,85	5,73	9,4	0,00485	0,0024	0,74	0,0036
Ca ⁺⁺	2	0,08	0,09	0,1	0,00004	0,0001	0,38	0,0000
Mg ⁺⁺	0	0,01	0,01	0,0	0,00000	0,0000	0,42	0,0000
Cl ⁻	1359	38,30	59,13	46,0	0,03830	0,0192	0,74	0,0285
HCO ₃ ⁻	1525	25,00	38,59	51,6	0,02500	0,0125	0,76	0,0190
SO ₄ ⁼	71	1,48	2,28	2,4	0,00074	0,0015	0,33	0,0002
Toplam Katyon Miktarı (meq/l)		84,534	Toplam Katyon Miktarı (mg/l)		2020,7			
Toplam Anyon Miktarı (meq/l)		64,784	Toplam Anyon Miktarı (mg/l)		2955,0			
Toplam İyon Miktarı (meq/l)		149,318	Toplam İyon Miktarı (mg/l)		4975,7			
İyonlaşma Gücü (mol/l)		0,075	% e (Hata Yüzdesi)		13,23			
SAR (Sodyum Ad. Oranı) (%)		379,339	Sertlik (Fr)		0,44			
rCl / (rSO ₄ +rHCO ₃) Oranı		1,447	rCa/rMg Oranı		9,71			
SIc (Kalsit Doygunluk İndeksi)		0,558	SIj(Jips Doygunluk İndeksi)		-3,83			
SiD(Dolomit Doygunluk İndeksi)		0,187	LogPCO ₂ (CO ₂) Kısımlı Basıncı		-2,86			
Fo (Köpürme Katsayısı)		5313,2	SiO ₂ (mg / l)		160,00			
Hidrokimyasal fasiyes tipi: Na-Cl-HCO ₃		B ⁺⁺⁺ (mg / l)			71,00			



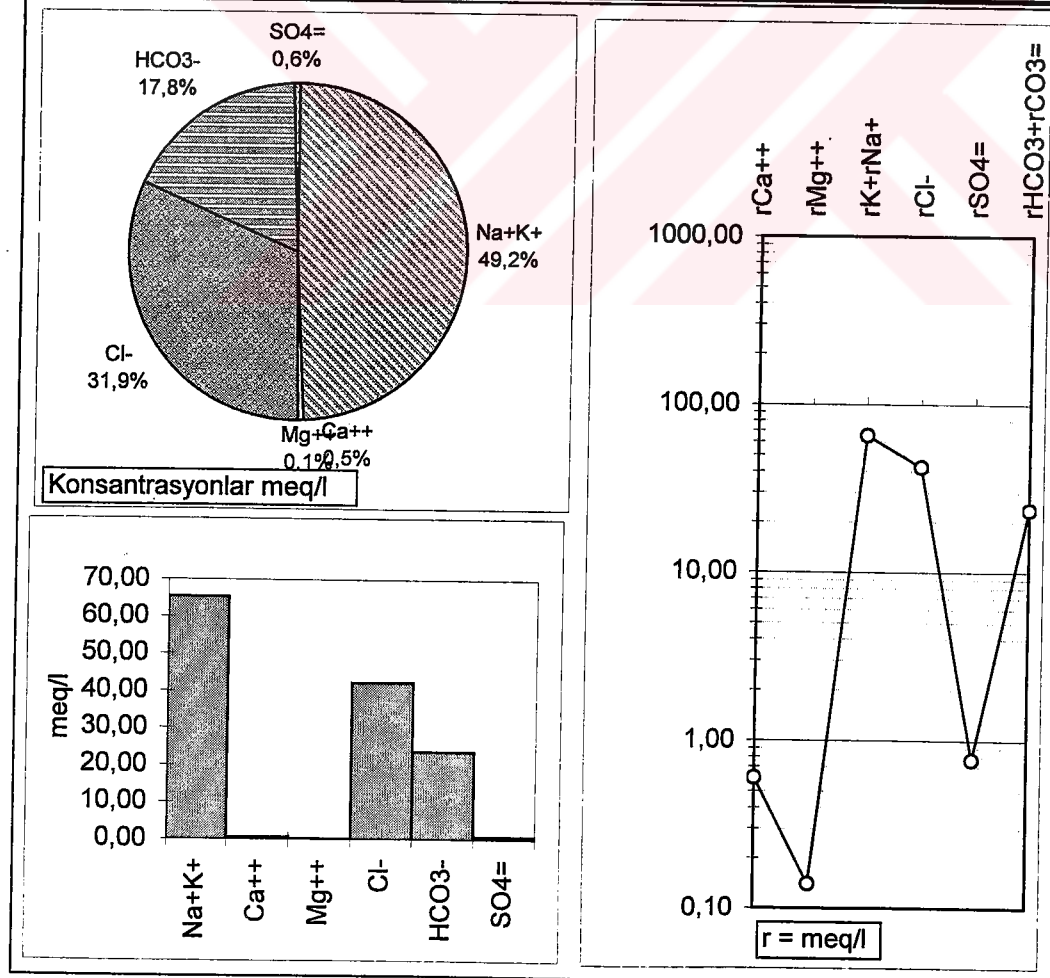
EK

Örnek Adı: ÖB-3				°C :	230	pH(-logH)	8,78
Örnekleme Tarihi : 26.07.1984			Lab. :		EC(µmho/cm)	7100	
İYON	mg/l	meq/l	% meq/l	% mg/l	C (mol/l)	.5CZ ²	F
Na ⁺	1775	77,21	94,52	91,2	0,07721	0,0386	0,76
K ⁺	170	4,36	5,34	8,7	0,00436	0,0022	0,74
Ca ⁺⁺	2	0,08	0,10	0,1	0,00004	0,0001	0,37
Mg ⁺⁺	1	0,04	0,05	0,0	0,00002	0,0000	0,42
Cl ⁻	1818	51,24	68,52	56,2	0,05124	0,0256	0,74
HCO ₃ ⁻	1342	22,00	29,42	41,5	0,02200	0,0110	0,76
SO ₄ ⁼	74	1,54	2,06	2,3	0,00077	0,0015	0,33
Toplam Katyon Miktarı (meq/l)	81,687				Toplam Katyon Miktarı (mg/l)	1947,1	
Toplam Anyon Miktarı (meq/l)	74,783				Toplam Anyon Miktarı (mg/l)	3234,0	
Toplam İyon Miktarı (meq/l)	156,471				Toplam İyon Miktarı (mg/l)	5181,1	
İyonlaşma Gücü (mol/l)	0,079				% e (Hata Yüzdesi)	4,41	
SAR (Sodyum Ad. Oranı) (%)	313,947				Sertlik (Fr)	0,60	
rCl / (rSO ₄ +rHCO ₃) Oranı	2,177				rCa/rMg Oranı	1,94	
SIc (Kalsit Doygunluk İndeksi)	0,274				SIj(Jips Doygunluk İndeksi)	-3,83	
SI _d (Dolomit Doygunluk İndeksi)	0,253				LogPCO ₂ (CO ₂) Kısımlı Basıncı	-2,70	
Fo (Köpürme Katsayısı)	5126,9				SiO ₂ (mg / l)	55,00	
Hidrokimyasal fasiyes tipi: Na-Cl-HCO ₃	B ⁺⁺⁺ (mg / l)						68,00



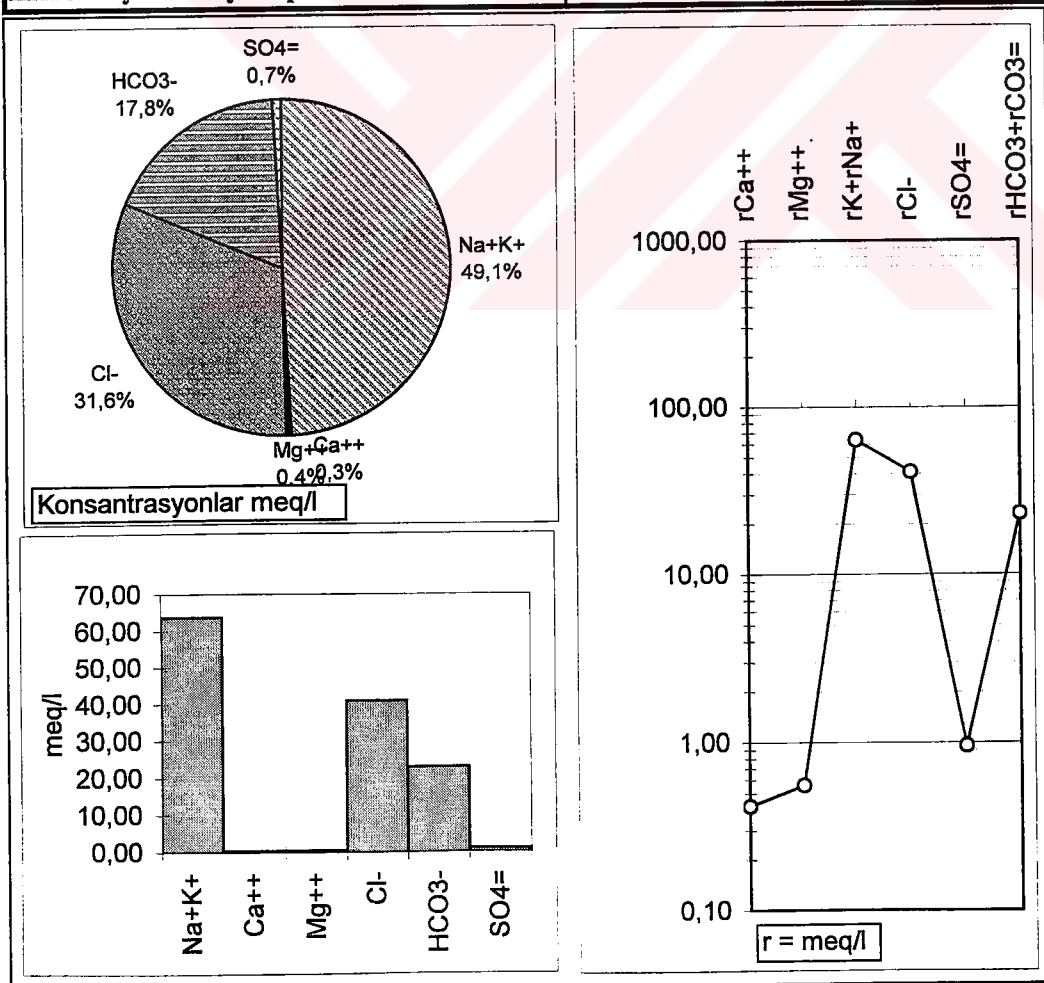
EK

Örnek Adı: ÖB-4		$^{\circ}\text{C}$:	213	pH(-logH)	7,71			
Örnekleme Tarihi : 26.07.1984		Lab. :		EC($\mu\text{mho/cm}$)	5400			
İYON	mg/l	meq/l	% meq/l	% mg/l	C (mol/l)	.5CZ ²	F	AC
Na ⁺	1420	61,77	93,63	90,5	0,06177	0,0309	0,77	0,0474
K ⁺	135	3,46	5,25	8,6	0,00346	0,0017	0,75	0,0026
Ca ⁺⁺	12	0,60	0,91	0,8	0,00030	0,0006	0,39	0,0001
Mg ⁺⁺	2	0,14	0,21	0,1	0,00007	0,0001	0,43	0,0000
Cl ⁻	1500	42,28	63,43	50,4	0,04228	0,0211	0,75	0,0319
HCO ₃ ⁻	1440	23,61	35,42	48,4	0,02361	0,0118	0,77	0,0181
SO ₄ ⁼	37	0,77	1,16	1,2	0,00039	0,0008	0,35	0,0001
Toplam Katyon Miktarı (meq/l)	65,966	Toplam Katyon Miktarı (mg/l)	1568,7					
Toplam Anyon Miktarı (meq/l)	66,656	Toplam Anyon Miktarı (mg/l)	2977,0					
Toplam İyon Miktarı (meq/l)	132,622	Toplam İyon Miktarı (mg/l)	4545,7					
İyonlaşma Gücü (mol/l)	0,067	% e (Hata Yüzdesi)	-0,52					
SAR (Sodyum Ad. Oranı) (%)	101,638	Sertlik (Fr)	3,69					
rCl / (rSO ₄ +rHCO ₃) Oranı	1,734	rCa/rMg Oranı	4,28					
SIc (Kalsit Doygunluk İndeksi)	0,139	SIj(Jips Doygunluk İndeksi)	-3,20					
SID(Dolomit Doygunluk İndeksi)	-0,056	LogPCO ₂ (CO ₂) Kismi Basinci	-1,59					
Fo (Köpürme Katsayısı)	4099,5	SiO ₂ (mg / l)	53,00					
Hidrokimyasal fasyes tipi: Na-Cl-HCO ₃	B ⁺⁺⁺ (mg / l)		55,00					



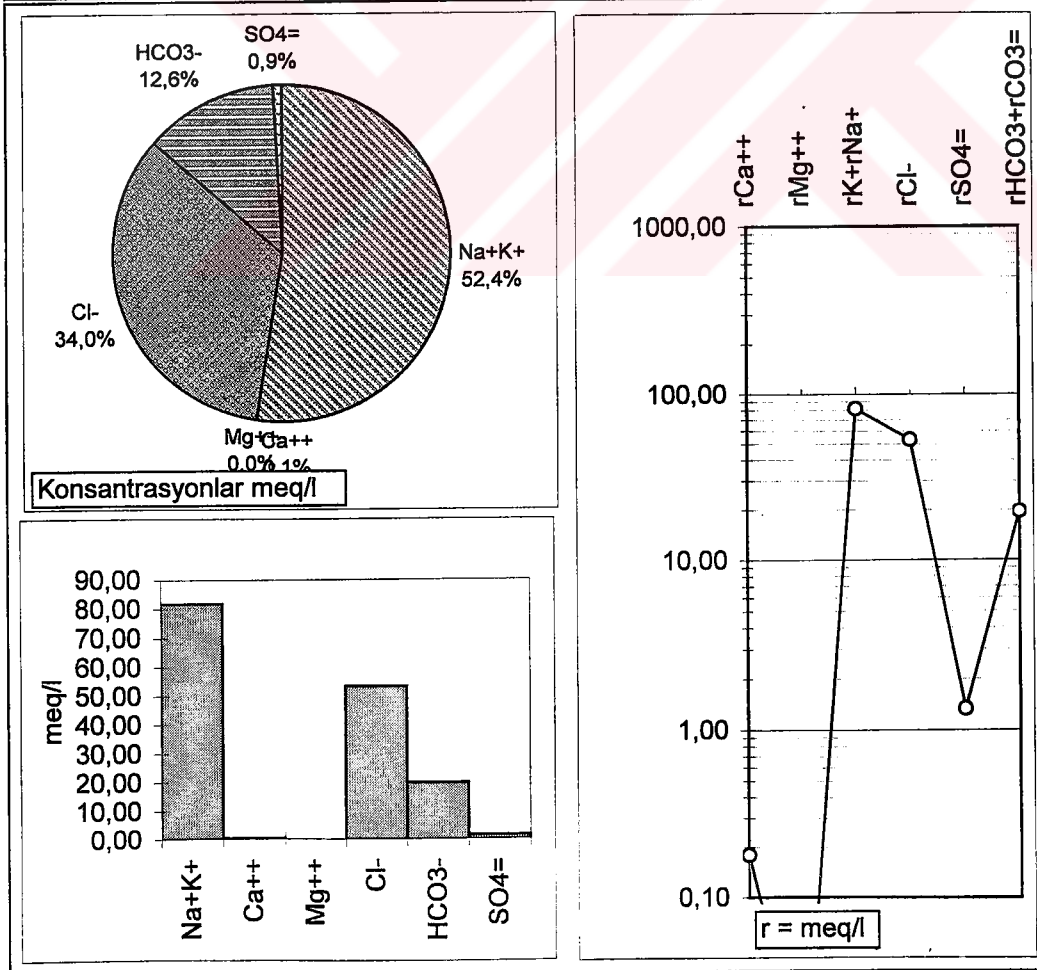
EK

Örnek Adı: ÖB-5			°C :	221	pH(-logH)		8,43	
Örnekleme Tarihi : 08.01.1984			Lab. :		EC(μmho/cm)		3000	
İYON	mg/l	meq/l	% meq/l	% mg/l	C (mol/l)	.5CZ ²	F	AC
Na ⁺	1387	60,33	93,40	90,6	0,06033	0,0302	0,77	0,0464
K ⁺	128	3,28	5,08	8,4	0,00328	0,0016	0,76	0,0025
Ca ⁺⁺	8	0,42	0,65	0,5	0,00021	0,0004	0,40	0,0001
Mg ⁺⁺	7	0,56	0,87	0,4	0,00028	0,0006	0,43	0,0001
Cl ⁻	1454	40,98	63,01	50,0	0,04098	0,0205	0,76	0,0310
HCO ₃ ⁻	1409	23,10	35,51	48,4	0,02310	0,0115	0,77	0,0178
SO ₄ ⁼	46	0,96	1,47	1,6	0,00048	0,0010	0,35	0,0002
Toplam Katyon Miktarı (meq/l)			64,591	Toplam Katyon Miktarı (mg/l)		1530,2		
Toplam Anyon Miktarı (meq/l)			65,039	Toplam Anyon Miktarı (mg/l)		2909,0		
Toplam İyon Miktarı (meq/l)			129,630	Toplam İyon Miktarı (mg/l)		4439,2		
İyonlaşma Gücü (mol/l)			0,066	% e (Hata Yüzdesi)		-0,35		
SAR (Sodyum Ad. Oranı) (%)			86,258	Sertlik (Fr)		4,89		
rCl / (rSO ₄ +rHCO ₃) Oranı			1,704	rCa/rMg Oranı		0,75		
SIc (Kalsit Doygunluk İndeksi)			0,698	SIj (Jips Doygunluk İndeksi)		-3,26		
SID (Dolomit Doygunluk İndeksi)			0,881	LogPCO ₂ (CO ₂) Kısımlı Basıncı		-2,32		
Fo (Köpürme Katsayısı)			3996,5	SiO ₂ (mg / l)		209,00		
Hidrokimyasal fasyes tipi: Na-Cl-HCO ₃			B ⁺⁺⁺ (mg / l)				56,00	



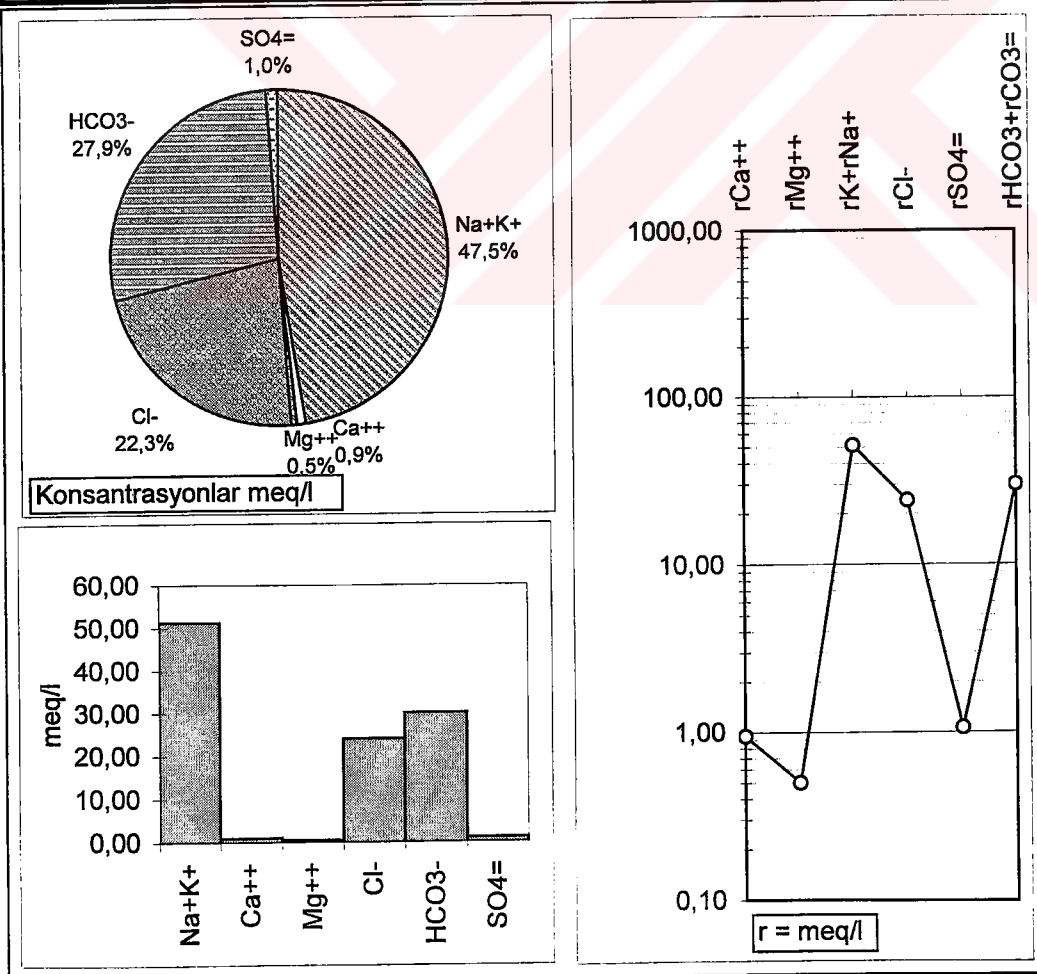
EK

Örnek Adı: ÖB-6		°C :	221	pH(-logH)	8,7			
Örnekleme Tarihi : 05.03.1985	Lab. :			EC(µmho/cm)	6200			
İYON	mg/l	meq/l	% meq/l	% mg/l	C (mol/l)	.5CZ ²	F	AC
Na ⁺	1775	77,21	94,14	90,6	0,07721	0,0386	0,76	0,0583
K ⁺	180	4,62	5,63	9,2	0,00462	0,0023	0,74	0,0034
Ca ⁺⁺	4	0,18	0,22	0,2	0,00009	0,0002	0,37	0,0000
Mg ⁺⁺	0	0,01	0,01	0,0	0,00000	0,0000	0,42	0,0000
Cl ⁻	1882	53,05	71,60	59,8	0,05305	0,0265	0,74	0,0393
HCO ₃ ⁻	1202	19,70	26,60	38,2	0,01970	0,0099	0,76	0,0149
SO ₄ ⁼	64	1,33	1,80	2,0	0,00067	0,0013	0,33	0,0002
Toplam Katyon Miktarı (meq/l)		82,011	Toplam Katyon Miktarı (mg/l)		1958,7			
Toplam Anyon Miktarı (meq/l)		74,084	Toplam Anyon Miktarı (mg/l)		3148,0			
Toplam İyon Miktarı (meq/l)		156,094	Toplam İyon Miktarı (mg/l)		5106,7			
İyonlaşma Gücü (mol/l)		0,079	% e (Hata Yüzdesi)		5,08			
SAR (Sodyum Ad. Oranı) (%)		251,914	Sertlik (Fr)		0,94			
rCl / (rSO ₄ +rHCO ₃) Oranı		2,521	rCa/rMg Oranı		21,84			
SIc (Kalsit Doygunluk İndeksi)		0,499	SIj(Jips Doygunluk İndeksi)		-3,54			
SID(Dolomit Doygunluk İndeksi)		-0,047	LogPCO ₂ (CO ₂) Kısımlı Basıncı		-2,67			
Fo (Köpürme Katsayısı)		5146,9	SiO ₂ (mg / l)		41,00			
Hidrokimyasal fasiyes tipi: Na-Cl-HCO ₃		B ⁺⁺⁺ (mg / l)			74,00			



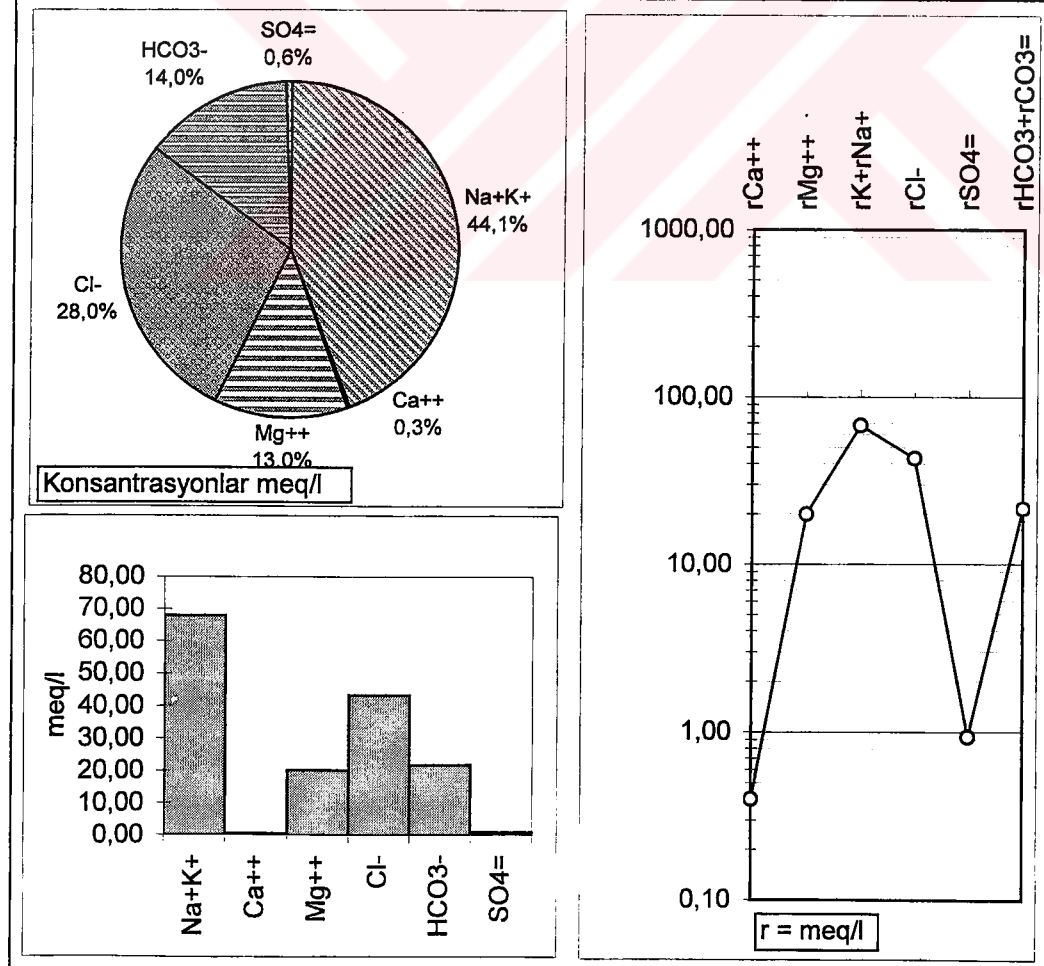
EK

Örnek Adı: ÖB-7			°C :	203	pH(-logH)		7,53
Örnekleme Tarihi : 14.04.1988			Lab. :		EC(µmho/cm)		4200
İYON	mg/l	meq/l	% meq/l	% mg/l	C (mol/l)	.SCZ ²	F
Na ⁺	1100	47,85	90,82	87,5	0,04785	0,0239	0,78
K ⁺	132	3,38	6,42	10,5	0,00338	0,0017	0,77
Ca ⁺⁺	19	0,95	1,80	1,5	0,00047	0,0009	0,42
Mg ⁺⁺	6	0,50	0,95	0,5	0,00025	0,0005	0,45
Cl ⁻	855	24,10	43,60	31,2	0,02410	0,0120	0,77
HCO ₃ ⁻	1837	30,11	54,48	67,0	0,03011	0,0151	0,78
SO ₄ =	51	1,06	1,92	1,9	0,00053	0,0011	0,37
Toplam Katyon Miktarı (meq/l)			52,681	Toplam Katyon Miktarı (mg/l)		1257,1	
Toplam Anyon Miktarı (meq/l)			55,276	Toplam Anyon Miktarı (mg/l)		2743,0	
Toplam İyon Miktarı (meq/l)			107,957	Toplam İyon Miktarı (mg/l)		4000,1	
İyonlaşma Gücü (mol/l)			0,055	% e (Hata Yüzdesi)		-2,40	
SAR (Sodyum Ad. Oranı) (%)			56,198	Sertlik (Fr)		7,25	
rCl / (rSO ₄ +rHCO ₃) Oranı			0,773	rCa/rMg Oranı		1,89	
SIc (Kalsit Doygunluk İndeksi)			0,298	SIj (Jips Doygunluk İndeksi)		-2,81	
SID (Dolomit Doygunluk İndeksi)			0,278	LogPCO ₂ (CO ₂) Kismi Basıncı		-1,30	
Fo (Köpürme Katsayısı)			3230,5	SiO ₂ (mg / l)		214,00	
Hidrokimyasal fasiyes tipi: Na-HCO ₃ -Cl			B ⁺⁺⁺ (mg / l)			56,00	



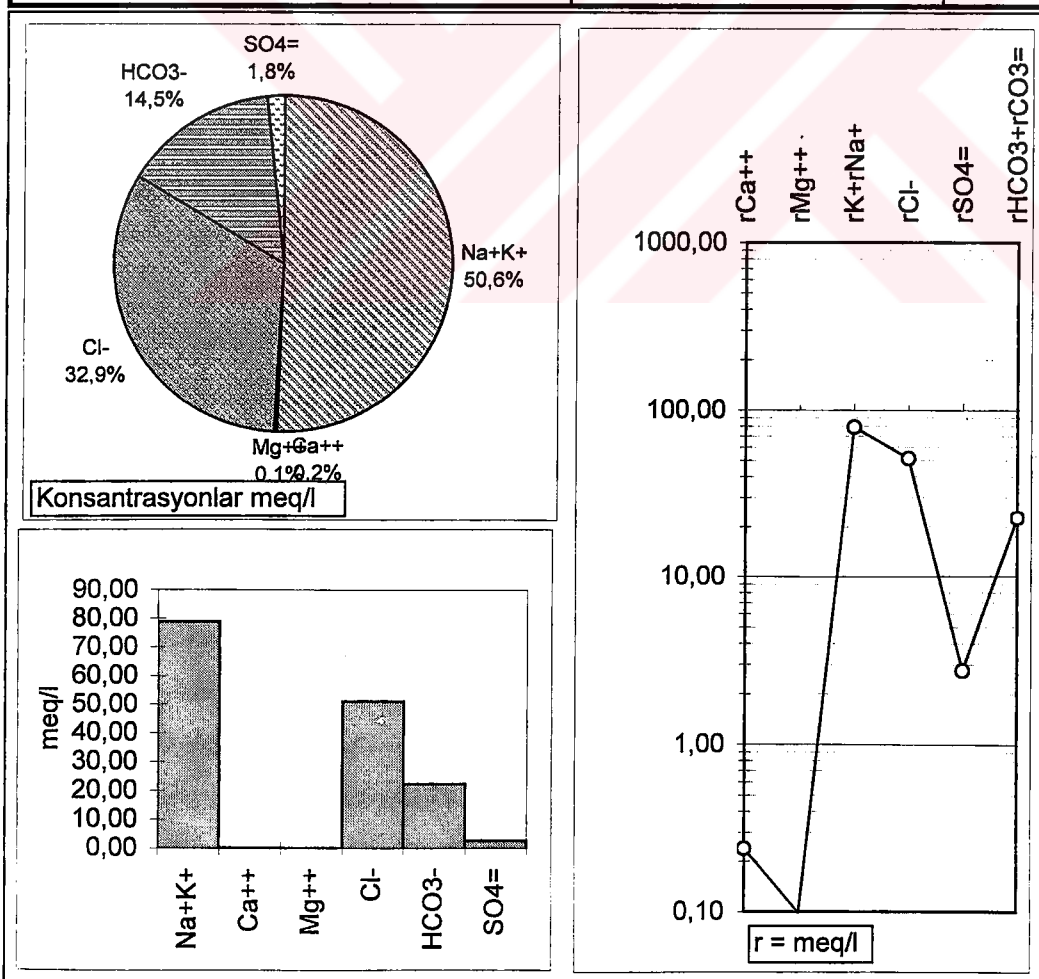
EK

Örnek Adı: ÖB-8			°C :	219,87	pH(-logH)	8,87		
Örnekleme Tarihi : 22.07.1986			Lab. :		EC(µmho/cm)	6600		
İYON	mg/l	meq/l	% meq/l	% mg/l	C (mol/l)	.5CZ ²	F	AC
Na ⁺	1550	67,42	76,45	85,4	0,06742	0,0337	0,75	0,0504
K ⁺	15	0,38	0,44	0,8	0,00038	0,0002	0,73	0,0003
Ca ⁺⁺	8	0,40	0,45	0,4	0,00020	0,0004	0,36	0,0001
Mg ⁺⁺	243	19,98	22,66	13,4	0,00999	0,0200	0,41	0,0040
Cl ⁻	1528	43,07	65,66	52,9	0,04307	0,0215	0,73	0,0315
HCO ₃ ⁻	1317	21,59	32,91	45,6	0,02159	0,0108	0,75	0,0161
SO ₄ =	45	0,94	1,43	1,6	0,00047	0,0009	0,31	0,0001
Toplam Katyon Miktarı (meq/l)		88,188		Toplam Katyon Miktarı (mg/l)		1816,0		
Toplam Anyon Miktarı (meq/l)		65,595		Toplam Anyon Miktarı (mg/l)		2890,0		
Toplam İyon Miktarı (meq/l)		153,783		Toplam İyon Miktarı (mg/l)		4706,0		
İyonlaşma Gücü (mol/l)		0,088		% e (Hata Yüzdesi)		14,69		
SAR (Sodyum Ad. Oranı) (%)		21,119		Sertlik (Fr)		101,91		
rCl / (rSO ₄ +rHCO ₃) Oranı		1,912		rCa/rMg Oranı		0,02		
SIc (Kalsit Doygunluk İndeksi)		1,036		SIj (Jips Doygunluk İndeksi)		-3,38		
SI _d (Dolomit Doygunluk İndeksi)		2,011		LogPCO ₂ (CO ₂) Kısımlı Basıncı		-2,80		
Fo (Köpürme Katsayısı)		4210,1		SiO ₂ (mg / l)		286,00		
Hidrokimyasal fasiyes tipi: Na-Mg-Cl-HCO ₃		B ⁺⁺⁺ (mg / l)				-		



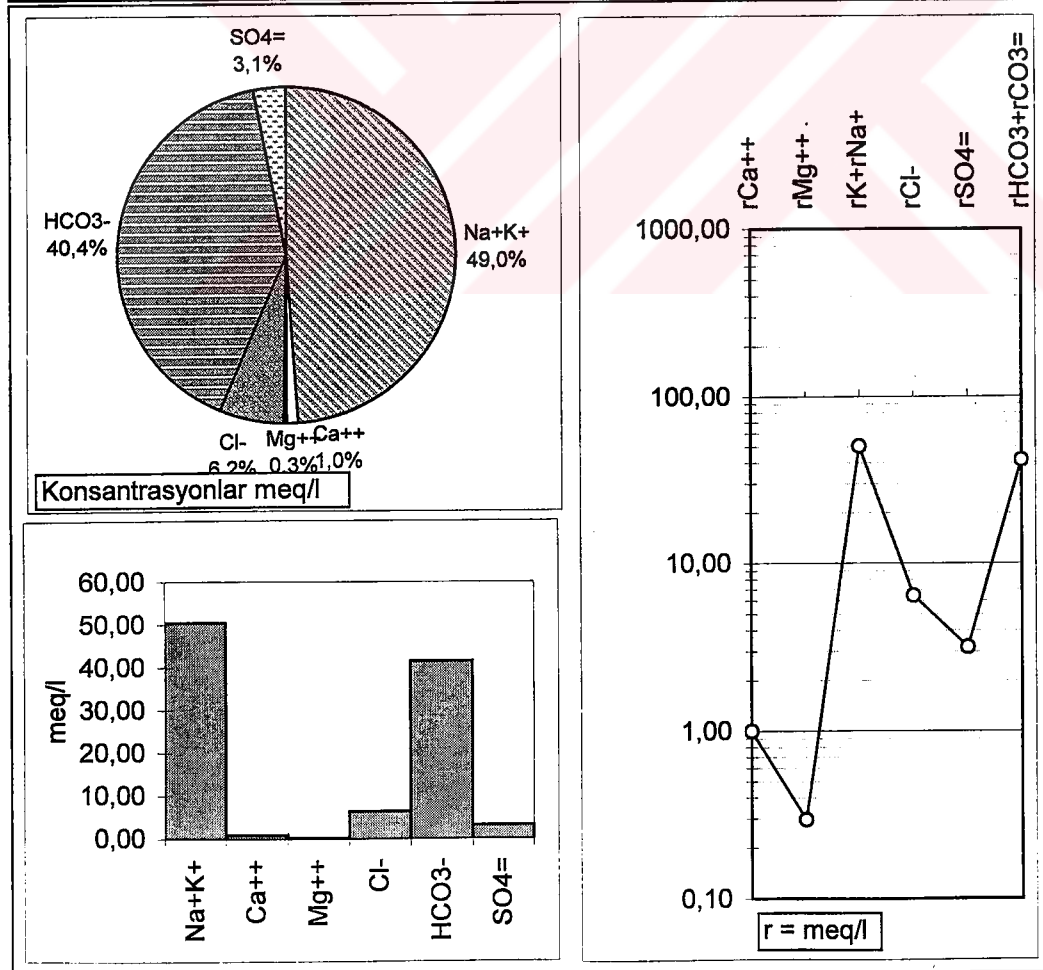
EK

Örnek Adı: ÖB-9				°C :	223,8	pH(-logH)	8,6
Örnekleme Tarihi : 12.05.1987			Lab. :		EC(µmho/cm)	6500	
İYON	mg/l	meq/l	% meq/l	% mg/l	C (mol/l)	.5CZ ²	F
Na ⁺	1750	76,12	96,17	94,0	0,07612	0,0381	0,76
K ⁺	105	2,69	3,40	5,6	0,00269	0,0013	0,74
Ca ⁺⁺	5	0,24	0,30	0,3	0,00012	0,0002	0,37
Mg ⁺⁺	1	0,10	0,12	0,1	0,00005	0,0001	0,42
Cl ⁻	1819	51,27	66,93	54,7	0,05127	0,0256	0,74
HCO ₃ ⁻	1376	22,56	29,45	41,3	0,02256	0,0113	0,76
SO ₄ =	133	2,77	3,62	4,0	0,00139	0,0028	0,33
Toplam Katyon Miktarı (meq/l)		79,151	Toplam Katyon Miktarı (mg/l)		1861,0		
Toplam Anyon Miktarı (meq/l)		76,598	Toplam Anyon Miktarı (mg/l)		3328,0		
Toplam İyon Miktarı (meq/l)		155,749	Toplam İyon Miktarı (mg/l)		5189,0		
İyonlaşma Gücü (mol/l)		0,079	% e (Hata Yüzdesi)		1,64		
SAR (Sodyum Ad. Oranı) (%)		185,107	Sertlik (Fr)		1,69		
rCl / (rSO ₄ +rHCO ₃) Oranı		2,024	rCa/rMg Oranı		2,43		
SIc (Kalsit Doygunluk İndeksi)		0,581	SIj(Jips Doygunluk İndeksi)		-3,10		
SID(Dolomit Doygunluk İndeksi)		0,512	LogPCO ₂ (CO ₂) Kısımlı Basıncı		-2,51		
Fo (Köpürme Katsayısı)		4929,4	SiO ₂ (mg / l)		286,00		
Hidrokimyasal fasyes tipi: Na-Cl-HCO ₃		B ⁺⁺⁺ (mg / l)			68,00		



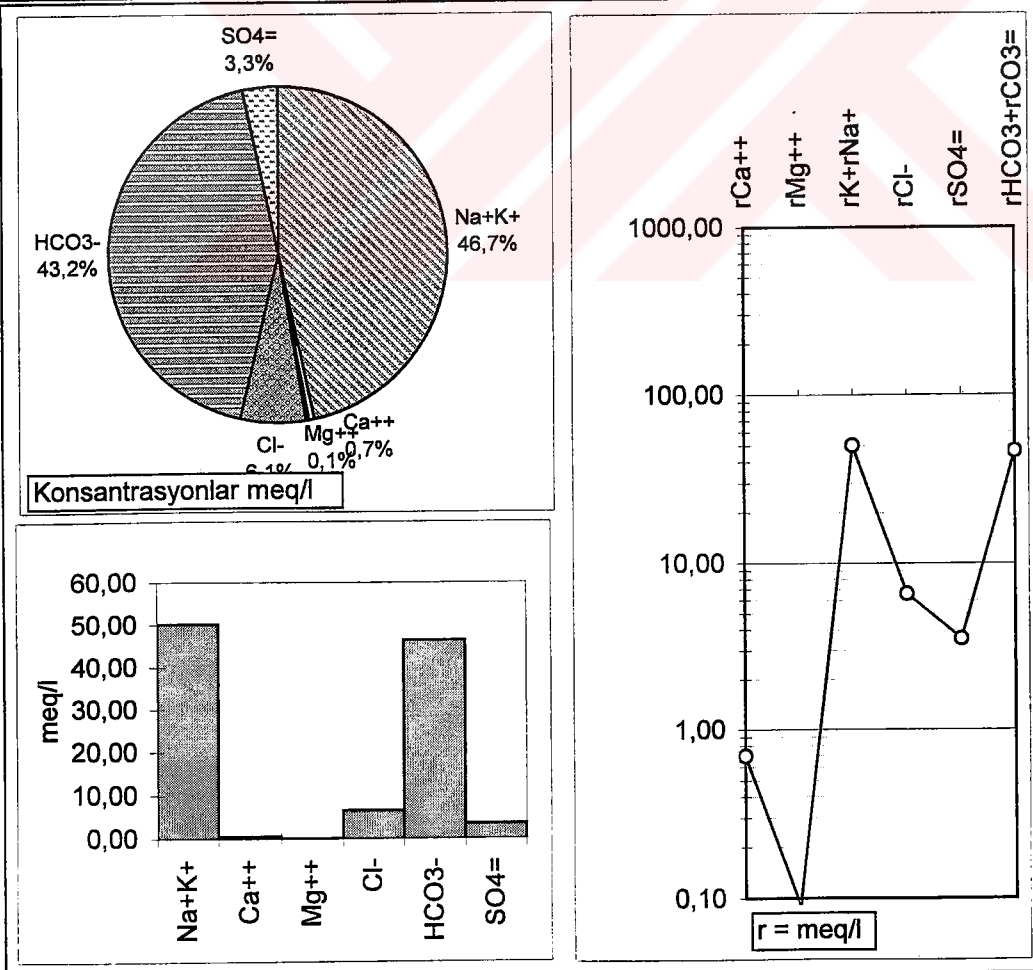
EK

Örnek Adı: AS-1			°C :	162	pH(-logH)		7,1
Örnekleme Tarihi : 24.09.1987			Lab. :		EC(µmho/cm)		3400
İYON	mg/l	meq/l	% meq/l	% mg/l	C (mol/l)	.SCZ ²	F
Na ⁺	1100	47,85	92,54	89,9	0,04785	0,0239	0,78
K ⁺	100	2,56	4,96	8,2	0,00256	0,0013	0,77
Ca ⁺⁺	20	1,00	1,93	1,6	0,00050	0,0010	0,42
Mg ⁺⁺	4	0,30	0,57	0,3	0,00015	0,0003	0,46
Cl ⁻	228	6,43	12,54	7,8	0,00643	0,0032	0,77
HCO ₃ ⁻	2540	41,64	81,24	87,0	0,04164	0,0208	0,78
SO ₄ ⁼	153	3,19	6,22	5,2	0,00159	0,0032	0,38
Toplam Katyon Miktarı (meq/l)			51,705	Toplam Katyon Miktarı (mg/l)		1223,6	
Toplam Anyon Miktarı (meq/l)			51,253	Toplam Anyon Miktarı (mg/l)		2921,0	
Toplam İyon Miktarı (meq/l)			102,958	Toplam İyon Miktarı (mg/l)		4144,6	
İyonlaşma Gücü (mol/l)			0,054	% e (Hata Yüzdesi)		0,44	
SAR (Sodyum Ad. Oranı) (%)			59,483	Sertlik (Fr)		6,47	
rCl / (rSO ₄ +rHCO ₃) Oranı			0,143	rCa/rMg Oranı		3,37	
SIc (Kalsit Doygunluk İndeksi)			0,035	SIj(Jips Doygunluk İndeksi)		-2,30	
SID(Dolomit Doygunluk İndeksi)			-0,110	LogPCO ₂ (CO ₂) Kısımlı Basıncı		-0,73	
Fo (Köpürme Katsayısı)			3166,5	SiO ₂ (mg / l)		100,00	
Hidrokimyasal fasiyes tipi: Na-HCO ₃				B ⁺⁺⁺ (mg / l)		54,00	



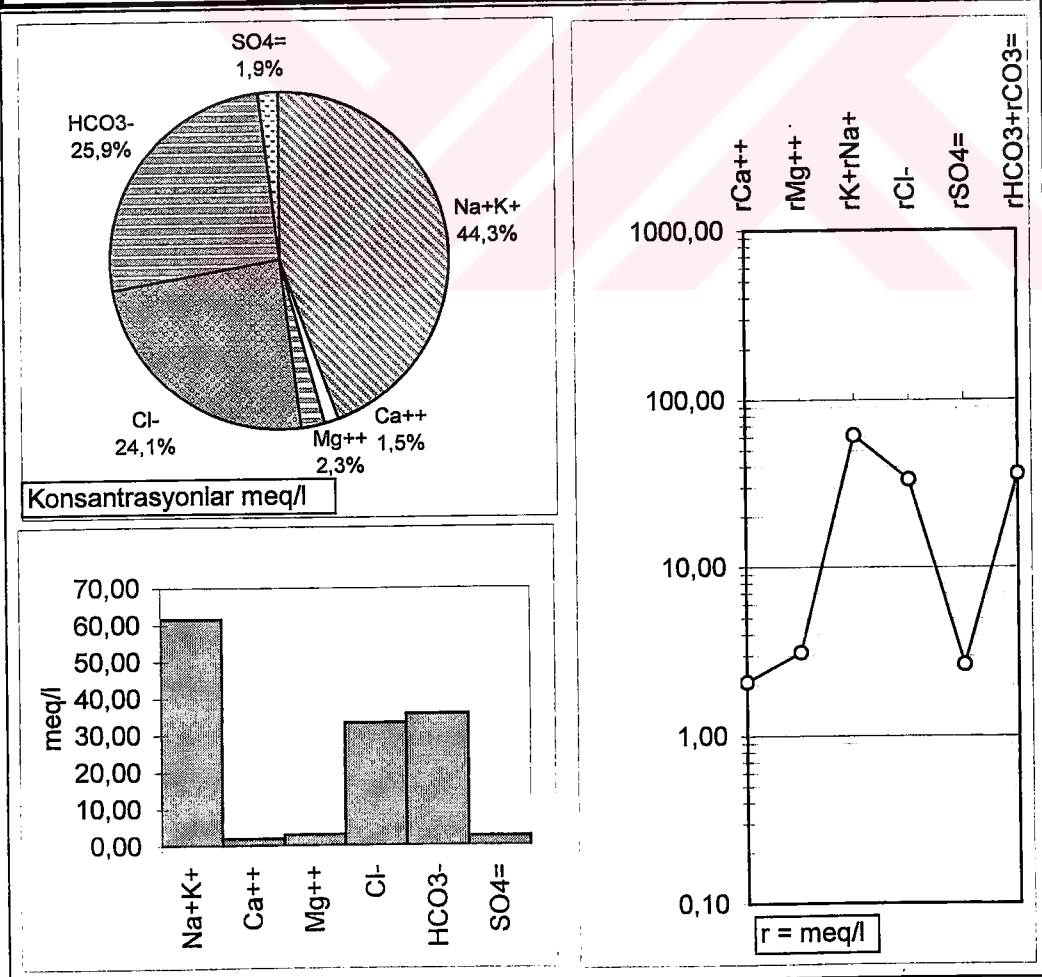
EK

Örnek Adı: AS-2				°C :	171,4	pH(-logH)	7,67
Örnekleme Tarihi : 1988			Lab. :		EC(µmho/cm)	4600	
İYON	mg/l	meq/l	% meq/l	% mg/l	C (mol/l)	.5CZ ²	F
Na ⁺	1100	47,85	93,92	91,3	0,04785	0,0239	0,78
K ⁺	90	2,31	4,53	7,5	0,00231	0,0012	0,77
Ca ⁺⁺	14	0,70	1,37	1,2	0,00035	0,0007	0,42
Mg ⁺⁺	1	0,09	0,18	0,1	0,00005	0,0001	0,45
Cl ⁻	233	6,57	11,62	7,2	0,00657	0,0033	0,77
HCO ₃ ⁻	2831	46,41	82,11	87,5	0,04641	0,0232	0,78
SO ₄ =	170	3,54	6,27	5,3	0,00177	0,0035	0,37
Toplam Katyon Miktarı (meq/l)			50,944	Toplam Katyon Miktarı (mg/l)		1205,1	
Toplam Anyon Miktarı (meq/l)			56,519	Toplam Anyon Miktarı (mg/l)		3234,0	
Toplam İyon Miktarı (meq/l)			107,462	Toplam İyon Miktarı (mg/l)		4439,1	
İyonlaşma Gücü (mol/l)			0,056	% e (Hata Yüzdesi)		-5,19	
SAR (Sodyum Ad. Oranı) (%)			76,175	Sertlik (Fr)		3,95	
rCl / (rSO ₄ +rHCO ₃) Oranı			0,131	rCa/rMg Oranı		7,72	
SIc (Kalsit Doygunluk İndeksi)			0,491	SIj (Jips Doygunluk İndeksi)		-2,42	
SID (Dolomit Doygunluk İndeksi)			0,166	LogPCO ₂ (CO ₂) Kısımlı Basıncı		-1,25	
Fo (Köpürme Katsayı)			3146,5	SiO ₂ (mg / l)		178,00	
Hidrokimyasal fasyes tipi: Na-HCO ₃			B ⁺⁺⁺ (mg / l)			42,00	



EK

Örnek Adı: Bozköy kaynağı				⁰ C :	62	pH(-logH)	7,2
Örnekleme Tarihi : 12.05.1987				Lab. :		EC(μ mho/cm)	0
İYON	mg/l	meq/l	% meq/l	% mg/l	C (mol/l)	$^{.5}CZ^2$	F
Na ⁺	1375	59,81	89,57	90,3	0,05981	0,0299	0,77
K ⁺	68	1,74	2,61	4,5	0,00174	0,0009	0,75
Ca ⁺⁺	42	2,10	3,14	2,8	0,00105	0,0021	0,39
Mg ⁺⁺	38	3,13	4,68	2,5	0,00156	0,0031	0,43
Cl ⁻	1189	33,51	46,49	33,9	0,03351	0,0168	0,75
HCO ₃ ⁻	2190	35,90	49,81	62,4	0,03590	0,0180	0,77
SO ₄ =	128	2,67	3,70	3,6	0,00133	0,0027	0,34
Toplam Katyon Miktarı (meq/l)		66,773		Toplam Katyon Miktarı (mg/l)		1523,0	
Toplam Anyon Miktarı (meq/l)		72,081		Toplam Anyon Miktarı (mg/l)		3507,0	
Toplam İyon Miktarı (meq/l)		138,854		Toplam İyon Miktarı (mg/l)		5030,0	
İyonlaşma Gücü (mol/l)		0,073		% e (Hata Yüzdesi)		-3,82	
SAR (Sodyum Ad. Oranı) (%)		37,018		Sertlik (Fr)		26,10	
rCl / (rSO ₄ +rHCO ₃) Oranı		0,869		rCa/rMg Oranı		0,67	
SIc (Kalsit Doygunluk İndeksi)		0,352		SIj (Jips Doygunluk İndeksi)		-2,13	
SID (Dolomit Doygunluk İndeksi)		0,560		LogPCO ₂ (CO ₂) Kısımlı Basıncı		-0,90	
Fo (Köpürme Katsayısı)		3844,1		SiO ₂ (mg / l)		134,00	
Hidrokimyasal fasyes tipi: Na-HCO ₃ -Cl		B ⁺⁺⁺ (mg / l)				44,00	



EK-2

AYDIN İLİ JEOTERMAL ALANLARINDA AÇILAN SONDAJLARIN KUYU LOGLARI

(Kulkış ve diğ., 1996)

AYDIN - GERMENCIK - ÖMER BEYLİ 08-1 JEOTermal SÖNCAJı
KUYU SITİRME LOGU EK: 08-08-01

**AYDIN - GERMENCIK - ÖMERBEYLİ ÖB-2 JEOTermal Sondajı
KUYU BITİRME LOGU**

$x = 93.525.3$ $y = 56.150.3$ $z = 71 \text{ m.}$

Br. Tas: 17-8-1982
GII : Tas: 20-1-1982

**AYDIN - GERMEÇİK - OMERBEYLİ ÖB-3 JEOTERMAL SONDAJı
KUYU BITİRME LOGU**

$\alpha = 94.222$ $\gamma = 14.007$ $\beta = 31.79 \text{ m.}$

Spec. T-45: 4-3-1943
S-1. T-45: 12-12-1943

AYDIN - GERMENCİK - ÖMERBEYLİ ÖB-4 JEOTermal SONDAJI

KUYU BITİRME LOGU

841.146:12-3-1204

AYDIN - GEHMENCİK - OMERBEYLİ OB-5 JEOTERMAL SONDASI

KUYU BITİRME, LOGU

$\bar{x} = 35.525$ $\bar{y} = 36.578$ $L = 80.42$

Bar. Date: 10-5-1984
Rec. Date: 11-6-1984

AYDIN-GERMENCIK-OMERBEYLİ .ÖB-6 JEOTERMAL SONDAJI
KUYU BITIRME LOGU

AYDIN- GERMENCİK- ÖMERBEYLİ. ÖB7 JEOTERMAL SONDAJİ
KUYU BİTİRME LOGU

X : 92.844.84 Y : 57.324.58 Z : 44
Son derinlik : 2388

Baş. Tarihi : 27.2.1985
Bit. Tarihi : 21.10.1985

P A L E O Z O Y I K S E N O Z D I Y E R G E S T E R M A S S I F I M E T A M O R F I K L E R I	Üst Sınır Sistem Alt Sınır Geçer	MUHAFIZA BORUSU	DERİNLİK(m)	LITOLOJİ AÇIKLAMALAR	ÇAMUR KAÇAKLARI	ÇAMUR ÇIKIŞ SICAKLIK ÖLCÜLERİ				
						20	40	60	80	100
13.3/8	132.08	20	62	ALÜVYON						
			100	ÇAKILTAŞI KİL						
			122							
			200	KUMTAŞI						
			300	ÇAKILTAŞI	-280m=2m					
			358	MILTASI						
			400							
			500	KİL+ÇAKIL						
			549	KİL+ÇAKILTAŞI						
			600	KİL+KİLİÇAKIL						
			602.94	ardalanması						
			650							
			700	G NAYS :						
				Gri kırıl beyaz	-601-680-100					
				yıl yıl pembe	-680-680-2m					
				renklerde kuvarsit	-700-700-3m					
			800	fuldispatlı plajla-						
				taslı, blötit ve						
			900	muskovitlidir.						
			938							
			1000	KUVARSIT	-987m=2m					
				FİLLİT						
			1100	KALKSİST						
				KLORİTSİST						
			1109	MERMER						
				MERMER						
			1200	KALKSİST						
			1206							
			1300	MERMER						
			1359.48							
			1400							
			1500	1525						
				KUVARS.						
			1600	KLORİT						
				SERİZİT SİST						
			1700	1700						
				KUVARSİT						
			1800	KUVARSİT-KLORİT						
				1800						
			1900	KUVARS-SERİZİT						
				FELDSPAT. SİST						
			1925	KUVARS-KLORİT						
			1984	SERİZİT-KLORİT						
			2000	AMFIBOOL SİST						
				Aktinolit, Albit, az						
			2100	spilitor, Hornit ve						
				blötit sist. Karbonit						
			2200	zaklinite, Kuvars ve						
				Kalsit mevcut.						
			2244	Albit						
			2300	SERİZİT SİST						

**AYDIN - GERMENCIK - ÖMERBEYLI (ÖB-8) JEOTERMAL
SONDAJ KUYU BITİRME LOGU**

2:610 Y=56098.84 Z=56.80 m vano Üstü
DERİNLİK: 2000 m ÖLÇEK: 1/10.000

Başlama tarihi: 30.1.1986
Bitiş tarihi: 25.5.1986

AYDIN - GERMENCİK - ÖMERBEYLİ (ÖB-9) JEOTermal Sınırbaşı Kuyu Bitirme Logu

SQNBAJ KUYU BITİRME LOGU

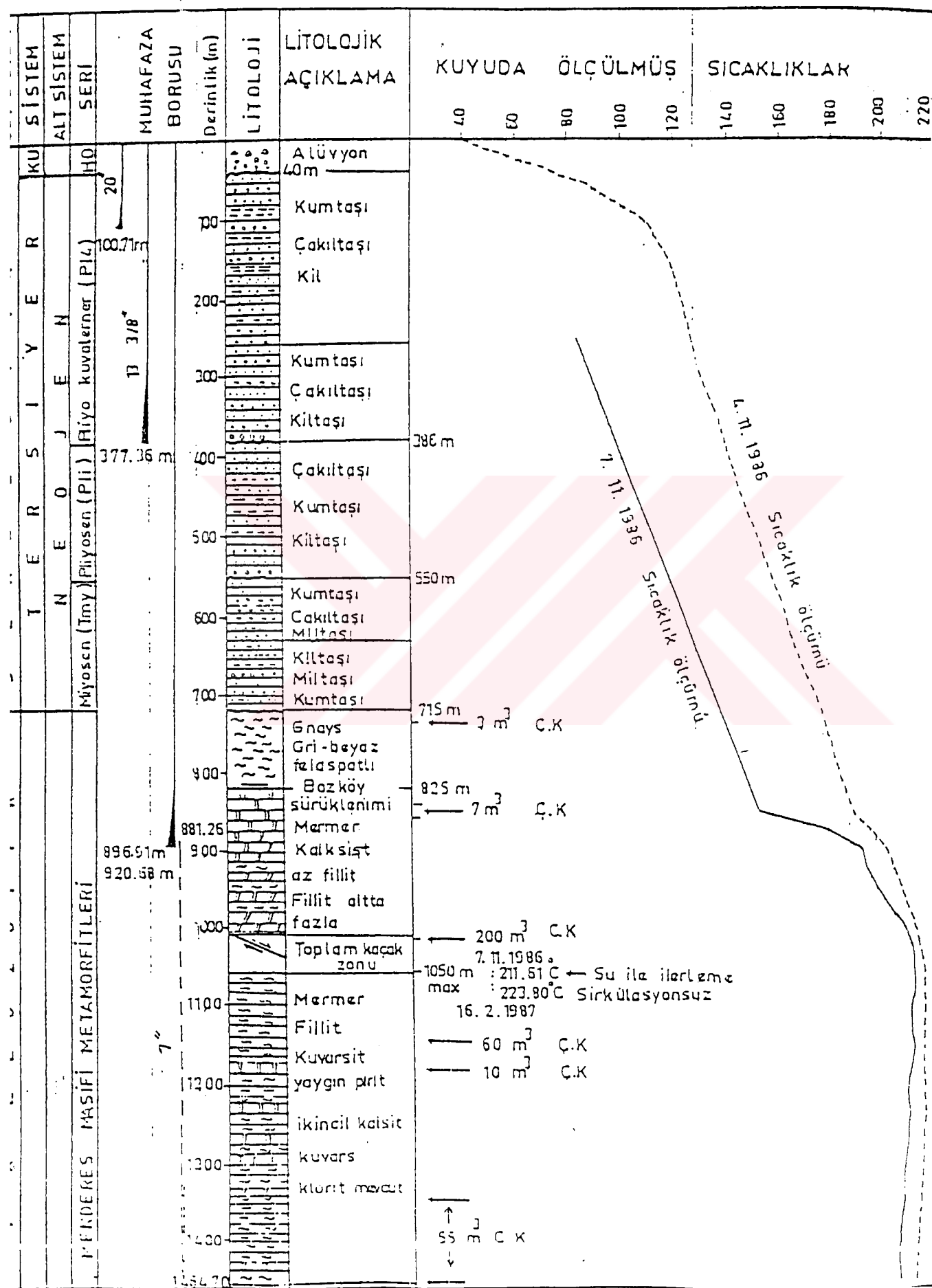
Başlama tarihi: 27.8.1986

Bitis tarihi: 3. 11. 1986

16 V = 54782.48 Z = 68.60 m.

ÖLÇEK: 1/6600

RINLIK: 1464.70 m



AYDIN - SULTANHISAR - SALAVATLI (AS-1) JEOTERMAL SONDAJ KUYU

BITİRME LOGU

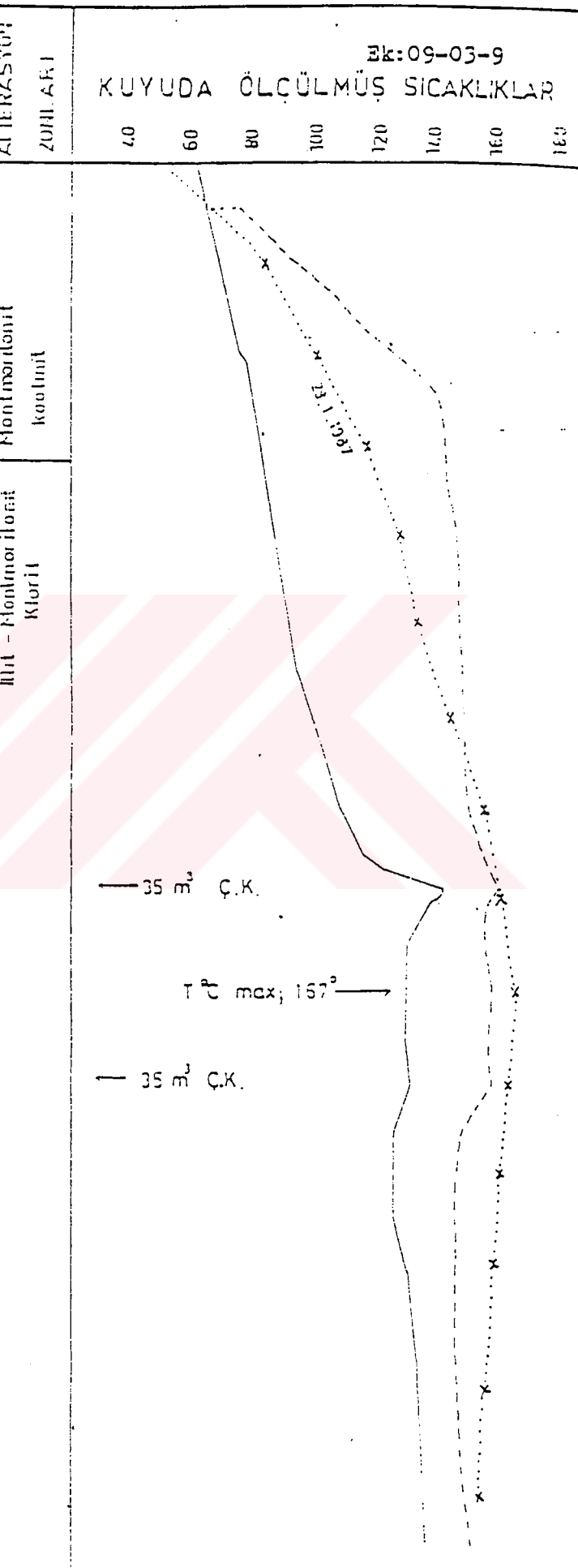
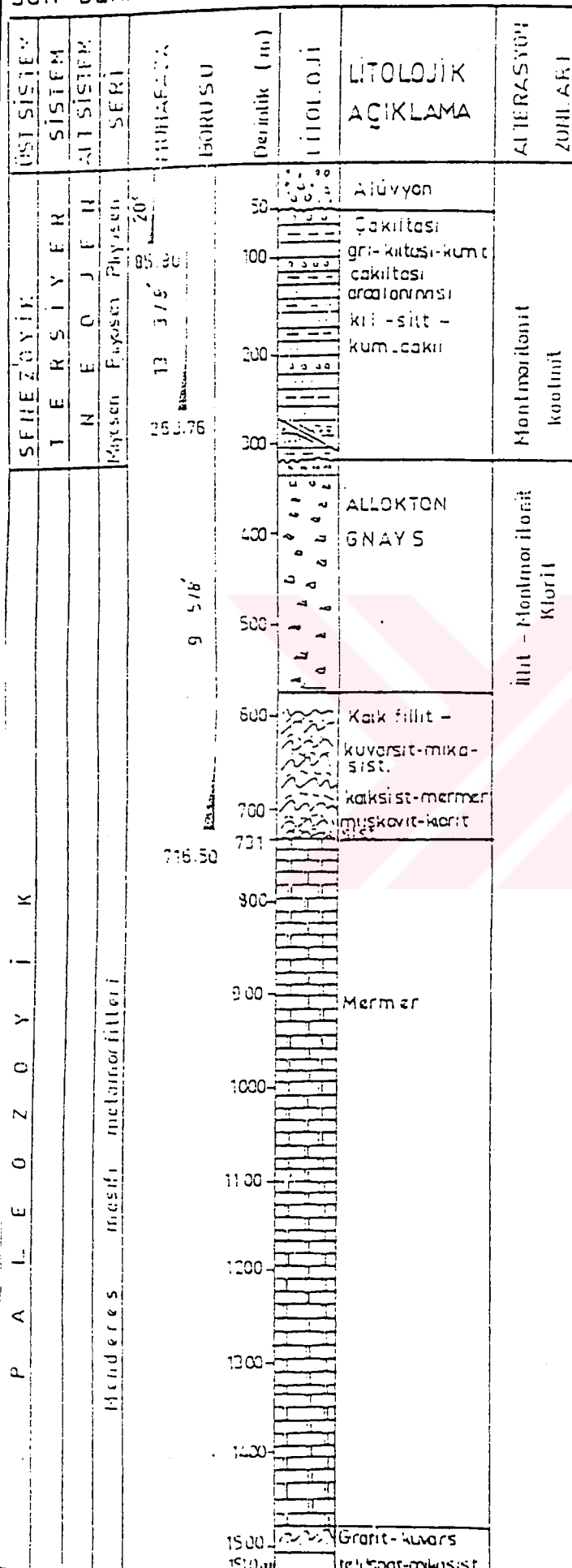
Başleme tarihi: 6. 4. 1987

55.37 Y = 96655.19 Z = 131.50 Vana Üstü

Bitiş tarihi: 20. 7. 1987

SON DERİNLİK: 1510m

ÖLÇEK: 1/6600



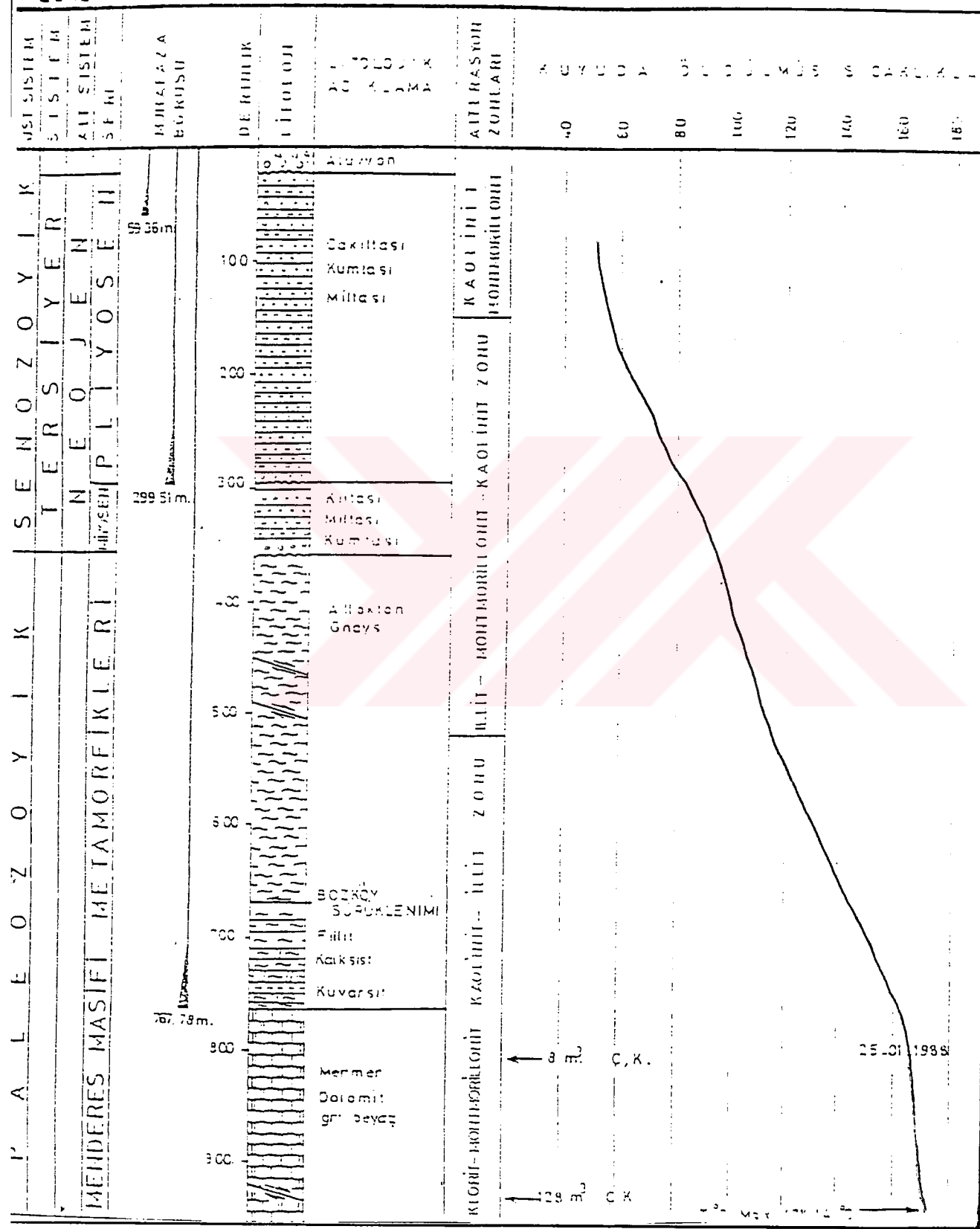
**AYDIN - KÖSK - YAVUZKÖY (AS-2) JEOTERMAL
SONDAJ KUYU SİTİRMESİ LOGU**

X = 92.475.63
Y = 95.529.59
Z = 124.38 Rotorv

Basılmış tarihi : 03-10-1987
Bitiş tarihi : 20-01-1988

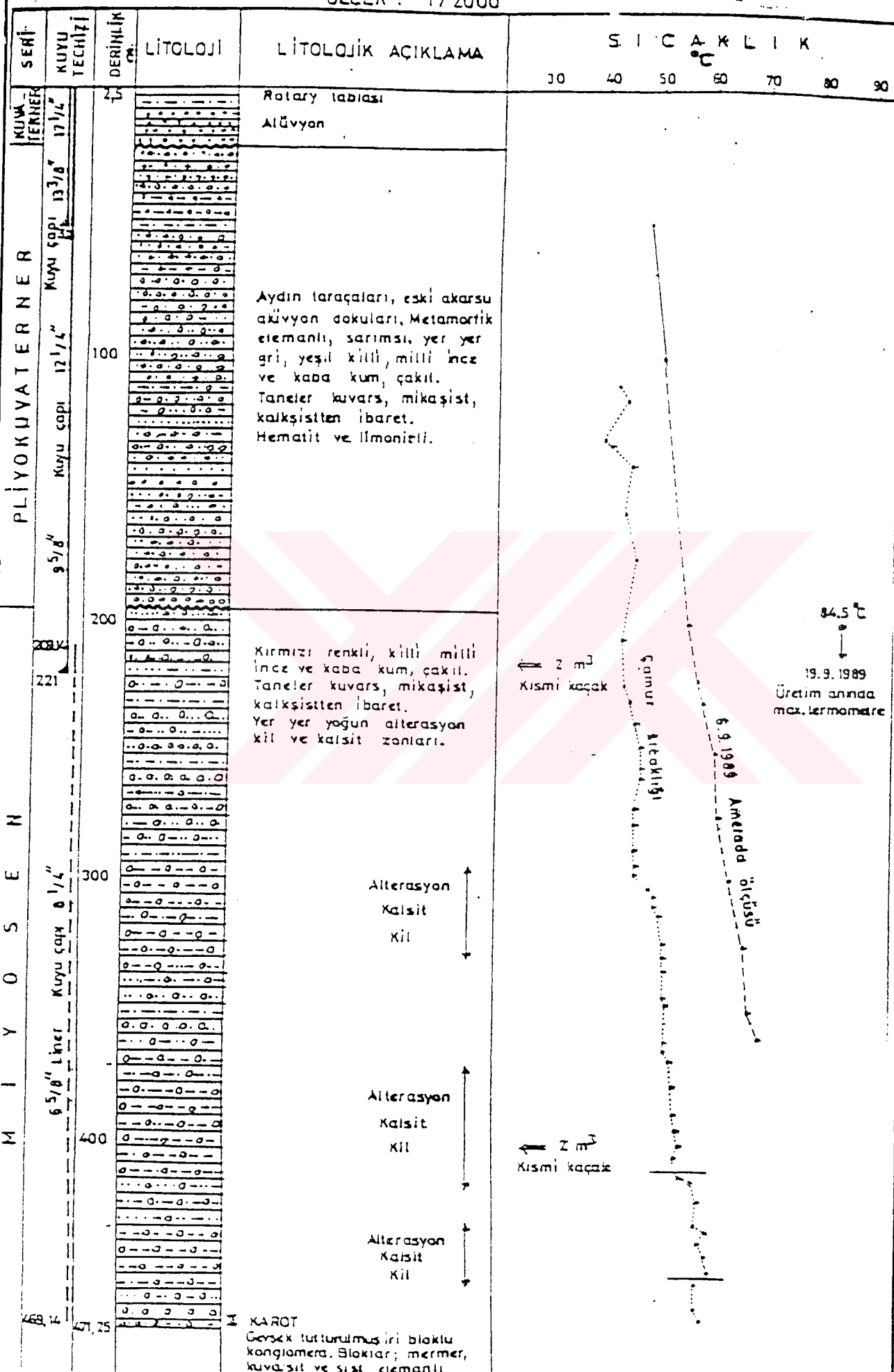
EK:09-03-11

Ölçek : 1-5.000



**AYTER-1 (AYDIN) İLICABAŞI SİCAKSU KUYUSU
BİTİRME LOGU**

ÖLÇEK : 1/2000



**AY TER - 2 (AYDIN) İLICABAŞI SİCAKSU KUYUSU
BITİRME LOGU**

ÖLÇEK : 1/2000

SERİ	KUYU TECHNİ	DEBİHLİK	LİTOLOJİ	FAY ZONU	LİTOLOJİK AÇIKLAMA	SİCAKLIK						
						40	50	60	70	80	90	100
2,5					Rotary tablası Alüvyon							
4												
100					Aydın taracaları, eski akarsu alüvyon dolguları. Metamorfik elementli, sarımsı, yer yer gri, yeşil kılıçlı, milli ince ve kaba kum çakıl. Taneler kuvars, mikaşist, kalksistten ibaret Hematit ve limonitli.							
167												
200					Metamorfik elementli sanmsı kahve renkli çakıl kum kumtaşı yer yer miltası alt seviyelere doğru ince taneli kumtaşı.							
287					Asit alterasyonlu. Taze kalsit oluşumlu.							
300					Ince taneli kumtaşı metamorfik elementli üst seviyeler açık genellikle kırmızı renkli. Fay kılıçlı ve kalsit dolgulu. Yer yer miltası.							
355												